

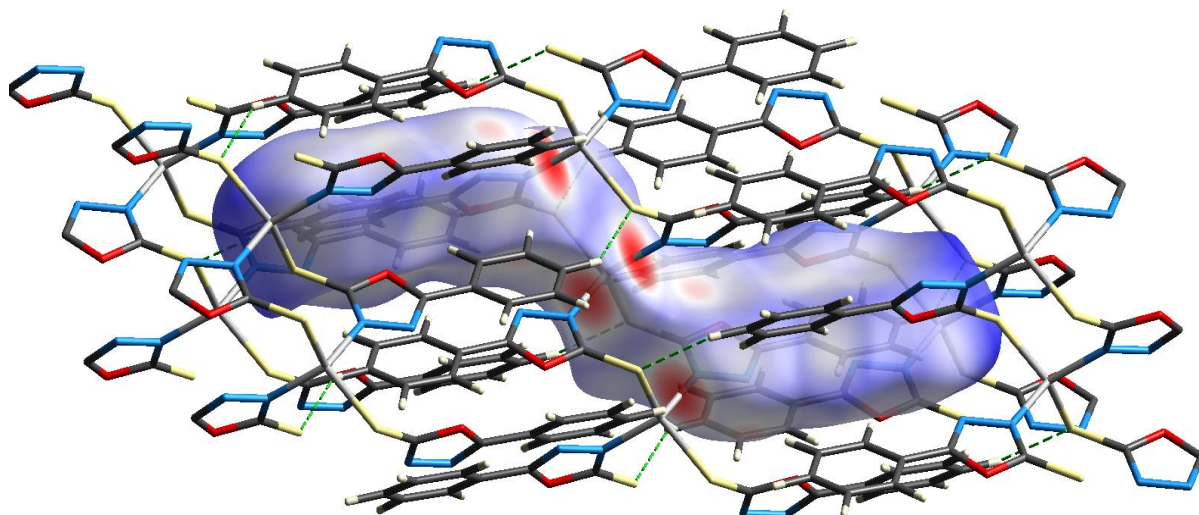
**O‘ZBEKISTON RESPUBLIKASI
OLIV TA‘LIM, FAN VA INNOVATSIYALAR VAZIRLIGI
TOSHKENT DAVLAT STOMATOLOGIYA INSTITUTI**



M.A.PIRIMOVA

**Cu^{2+} , Zn^{2+} , Co^{2+} , Ni^{2+} VA VO_2^+ METALLARNING 1,3,4-OXSADIAZOL
HOSILALARI BILAN GOMO- VA GETEROMETALLI
KOMPLEKS BIRIKMALARI SINTEZI VA TADQIQOTI**

MONOGRAFIYA



TOSHKENT – 2025 y

UDK: 546.05.541.49

BBK:547.76

Mualliflar:

Pirimova M.A. – TDSI Tibbiy va biologik kimyo kafedrası PhD. assistenti

Taqrizchilar:

1.Xojimetov A.A. –b.f.d., TDSI Tibbiy va biologik kimyo kafedrası professori

2. Ibragimova M.R. – O‘z RFA Umumiy va noorganik kimyo instituti
k.i.x.,PhD

Ushbu monografiya Toshkent davlat stomatologiya instituti Kengashining 2025 yil 26 martdagi 6/7-son qo‘shma majlisi qaroriga asosan nashrga tavsiya etilgan.

ISBN:

© M.A.Pirimova

© Afzalzoda nashriyoti, 2025

Monografiyada Cu^{2+} , Co^{2+} , Ni^{2+} , Zn^{2+} va VO_2^+ metallarning 1,3,4-oksadiazol hosilalari bilan gomo- va geterometalli kompleks birikmalarini sintezi va tuzilishini o‘rganishga oid bo‘lgan tajriba va laboratoriya tadqiqotlari natijalari keltirilgan. Geterometalli kompleks birikmalarning biologik ta’sir doirasi gomometalli kompleks birikmalarnikiga qaraganda bir qator faolliklarga ega: dissotsiyalanish darajasi yuqori, yuqori antioksidantlik faollikga ega, dissotsiyalanganda donor markazlarining ko‘p bo‘lishi sababli turli biokimyoviy jarayonlarda ishtirok etadi, korroziya jarayonida anaerob bakteriyalarning devoriga elektrofil ta’sir etib korroziyalanish jarayonini oldini oladini olishi yoritib berilgan.

Monografiya materiallari bakalavrlar, magistrlar, ilmiy-tadqiqot institutlari ilmiy xodimlari va universitet o‘qituvchilari uchun foydali bo‘lishi mumkin.

MUNDARIJA

KIRISH	5
I BOB. 1,3,4-OXSADIAZOL HOSILALARI VA ULAR ASOSIDAGI KOMPLEKS BIRIKMALARNING OLINISHI, XOSSALARI	7
1.1. Oksadiazol hosilalarining sintezi, tuzilishi, fizik-kimyoviy va biologik xossalari.....	7
1.2. Oksadiazollarning kompleks birikmalari.....	29
1.3. Metallovanadatlar, olinishi, xossalari.....	35
I bob bo'yicha xulosalar.....	39
II BOB. 1,3,4-OXSADIAZOL HOSILALARINING Co^{2+}, Ni^{2+}, Cu^{2+}, Zn^{2+} va VO_2^+ BILAN GOMO- VA GETEROMETALLI KOMPLEKS BIRIKMALARI SINTEZI	40
2.1. Reaktivlar, tadqiqotning metodlari va tahlillari	40
2.2. Co^{2+} , Ni^{2+} , Cu^{2+} , Zn^{2+} ionlarning 1,3,4-oksadiazol hosilalari asosidagi kompleks birikmalari sintezi	42
2.3. Kompleks birikmalar tarkibidagi elementlar miqdorini SEM – EDT va rentgenofluoressent tahlil usullari bilan aniqlash.....	49
II – bob bo'yicha xulosalar.....	60
III BOB. 1,3,4-OXSADIAZOL HOSILALARI ASOSIDAGI GOMO-, GETEROMETALLI KOMPLEKS BIRIKMALARINI FIZIK- KIMYOVIY TADQIQOT USULLARI YORDAMIDA O'RGANISH	61
3.1. Ligandlarning reaksiya qobiliyatini yarim emperik kvant-kimyoviy usulda o'rganish.....	61
3.2. Ba'zi 3d-metallarni NH_4VO_3 bilan oksadiazoltion hosilalari asosida gomo- va geterometalli kompleks birikmalarini IQ-spektroskopiya usulda o'rganish	71
3.3. Sintez qilingan koordinatsion birikmalarning diffuz qaytarilish elektron spetrlari tahlili.....	89

3.4. Sintez qilingan kompleks birikmalarning rentgenfazaviy tahlil tadqiqoti.....	91
3.5. Geterometalli koordinatsion birikma rentgenfazaviy tahlil natijalarini Fullprof dasturi yordamida qayta ishlashdan olingan natijalarning strukturaviy tahlili	95
3.6. YuESX-mass spektrometriya usuli yordamida $[V_4O_{12}](L^I+H^+)_4$ kompleksini o'rganish.....	100
3.7. Oksadiazoltion hosilalari asosida gomo- va geterometalli kompleks birikmalarini termik tahlil usuli bilan o'rganish.....	102
3.8. Sintez qilingan kompleks birikmalarning rentgenstruktur tahlili.....	113
3.9. $[(ZnL^2)_n]$ kompleks birikmaning Hirshfeld sirt tahlili.....	119
3.10. Koordinatsion birikmalarni barqarorlik konstantasini Babko usulida aniqlash.....	121
3.11. Sintez qilingan kompleks birikmalarning biologik faolligini o'rganish.....	125
III – bob bo'yicha xulosalar.....	133
XULOSA	137
FOYDALANILGAN ADABIYOTLAR RO'YXATI	138

KIRISH

Ushbu monografiyada Co^{2+} , Ni^{2+} , Cu^{2+} , Zn^{2+} tuzlarining VO_2^+ hamda 1,3,4-oksadiazol hosilalari bilan gomo- va geterometalli kompleks birikmalarini sintez qilish, komplekslar sintezida qo'llanilgan geterohalqali ligandlarning elektron tuzilishi, energetik va geometrik parametrlari hamda reaksiya qobiliyatini zamonaviy kvant-kimyoviy usullar yordamida hisoblash, olingan koordinatsion birikmalarning tarkibi, tuzilishi va xossalari zamonaviy fizik-kimyoviy usullar yordamida tahlil qilish; gomo- va geterometalli kompleks birikmalar tarkibi, tuzilishi va xossalari orasidagi bog'liqlikni aniqlash; yangi sintez qilingan moddalarning korroziyaga qarshi ingibitorlik va *in vitro* sharoitida antioksidantlik faolliklarini baholash kabi vazifalar amalga oshirilgan.

Tadqiqotlarimizda birinchi marta Co^{2+} , Ni^{2+} , Cu^{2+} , Zn^{2+} ionlarining VO_2^+ va 1,3,4-oksadiazol hosilalari asosidagi gomo- va geterometalli kompleks birikmalarini sintez qilishning optimal sharoitlari ishlab chiqilgan bo'lib, Co^{2+} , Ni^{2+} , Cu^{2+} , Zn^{2+} ionlarining VO_2^+ va 1,3,4-oksadiazol hosilalari (L^{1-3}) bilan jami 39 ta gomo- va geterometalli yangi kompleks birikmalari sintez qilingan. Ligandlarning tuzilishi kvant-kimyoviy usullar yordamida $L^{1,2}$ bidentat ligandlar ekanligi va komplekslarda tiol guruhining S atomi va oksadiazol halqasining N3 atomi orqali, L^3 ligandi esa karboksil guruhidagi O atomlari orqali metall ionlariga bidentat koordinasiyalanish ehtimolligi aniqlangan. $[\text{Ni}_2\text{V}_4\text{O}_{12}(\text{L}^2)_4] \cdot 2\text{H}_2\text{O}$ kompleksning kristall tuzilishi ilk bor X-Ray ga asoslangan monokristall rentgen strukturaviy tahlil usuli yordamida aniqlangan.

Monografiyada rentgenstrukturaviy analiz usuli yordamida $[\text{Zn}(\text{L}^2)_2]_n$ kompleksning fazoviy tuzilishi, geometriyasi, ichki va molekulararo vodorod bog'larning ta'siri natijasida, polimer tuzilishli kompleksning $[\text{Zn-S-C-N-Zn-S-C-N}]$ sakkiz a'zoli "kreslo" hosil qilishi va kompleksning geometriyasi siqilgan tetraedrik shaklda ekanligi isbotlangan. $[\text{Zn}(\text{L}^2)_2]_n$ tarkibli kompleks birikmaning fazoviy tuzilishi va barcha kristallografik kattaliklari aniqlanib, Cambridge Crystallographic Data Center xalqaro ma'lumotlar bazasiga joylashtirilgan.

Ligandlarning termik barqarorligi L^3 -(2-karboksimetiltio-5-fenil-1,3,4-oksadiazol), L^2 -(5-fenil-1,3,4-oksadiazol-2(3H)-tion/tiol), L^1 -(5-(4-piridil)-1,3,4-oksadiazol-2(3H)-tion/tiol) qatori bo'yicha ortishi hamda gomometalli kompleks birikmalarning termik barqarorligi geterometalli kompleks birikmalarnikidan yuqoriligi aniqlangan. Ligandlar va sintez qilingan kompleks birikmalarning termogrammalaridagi endo- va ekzoeffektlarning hosil bo'lish sabablari aniqlanib, termik destruksiya mahsulotlari identifikasiyalandi. Gomometalli kompleks birikmaning termik barqarorligi geterometalli kompleks birikmanikidan yuqoriligi aniqlandi va bu holat geterometalli komplekslarda d-orbitallarning qoplanishi natijasidagi HOMO-LUMO= Δ ayirmasining farqi gomometalli komplekslardagiga nisbatan kichik bo'lishi bilan izohlandi.

Gomo- va geterometalli kompleks birikmalarning barqarorligi taqqoslanganda gomometalli kompleks birikmalarning barqarorligi nisbatan yuqoriligi aniqlandi, bu geterometalli kompleks birikmalarning quyi gidratlanish energiyasiga ega bo'lishi hamda geterometalli kompleksning markaziy qismida zaryadlangan $[V_4O_{12}]^{4-}$ siklning mavjudligi bilan izohlandi. kompleks tarkibida $[V_4O_{12}]^{4-}$ ning mavjudligi Gibbs energiyasining kamayishiga olib keladi, bu esa erituvchida kompleksning gidratlanishini oshishi hisobiga bo'lishi ko'rsatildi

Monografiyada 1,3,4-oksadiazol hosilalari (L^{1-3}) hamda ular asosida sintez qilingan kompleks birikmalarning antioksidantlik faolligi *in vitro* usulida fitokimyoviy tekshiruv orqali baholangan bo'lib, L^1 asosida yangi sintez qilingan $[Cu_2V_4O_{12}(L^1)_4] \cdot 2H_2O$, $[Zn_2V_4O_{12}(L^1)_4] \cdot 2H_2O$, $[V_4O_{12}](L^1+H^+)_4$ komplekslarning antioksidantlik faolligi boshqalarga nisbatan yuqori ekanligi o'rganilgan. Gomo- va geterometalli kompleks birikmalarning antioksidantlik faolligi o'zaro solishtirilganda, geterometalli kompleks birikmalarning faolligi yuqoriligi kuzatildi. Bu geterometalli kompleks birikmalar tarkibidagi elektronodonor vazifasini bajarishi mumkin bo'lgan metall atomlarining ko'pligi orqali izohlangan.

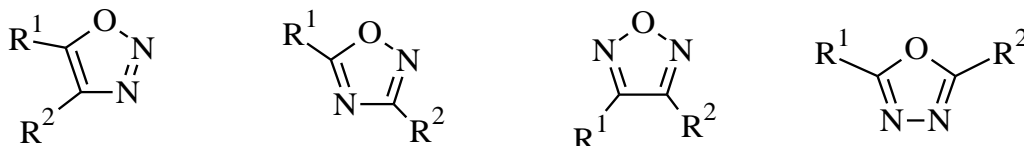
L^3 asosidagi $[Cu(L^3)_2(H_2O)_2]$, $[Zn(L^3)_2(H_2O)_2]$ larning anaerob bakterial biokorroziyaga qarshi ingibitorlik xossasi o'rganildi, kompleks birikma

tarkibidagi -N=C-O- guruhi bakteriya hujayrasining nukleofil markazi bilan ta'sirlashib xujayra devorini yemirishi sababli, litotrof bakteriyalardan korrozion himoya ta'siri 76-80% samaraga ega bo'lgan biokorroziya ingibitori ekanligi aniqlangan.

I BOB. 1,3,4-OXSADIAZOL HOSILALARI VA ULAR ASOSIDAGI KOMPLEKS BIRIKMALARNING OLINISHI, XOSSALARI

1.1-§. Oksadiazol hosilalarining sintezi, tuzilishi, fizik-kimyoviy va biologik xossalari

Besh a'zoli geterotsikllardan oksadiazolning tuzilishini ko'rib chiqamiz. Oksadiazollar tarkibidagi kislorod va azot atomlarining o'zaro joylashishiga qarab quyidagi oksadiazollar mavjud:



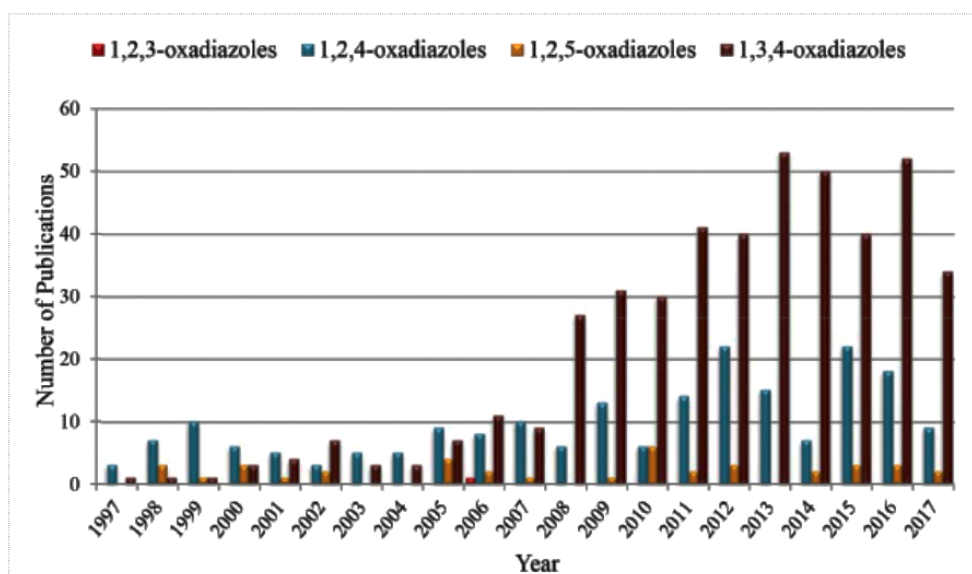
1,2,3-oksadiazol 1,2,4-oksadiazol 1,2,5-oksadiazol 1,3,4-oksadiazol

Xamma bu birikmalar (yoki uning hosilalari) laboratoriyada sintez qilingan hamda oksadiazol halqasi tutuvchi tabiiy birikmalar ma'lum emas. Diazol halqasiga kislorod atomining kiritilishi uning nukleofilligini kamaytiradi. Boshqa tomondan, oksobirikmalarga elektrofil reagentlar hujum qilganda siklni barqarorlashtiradi. Bunday sharoitlarda halqadagi o'rinbosarlar muhim rol o'ynaydi [1-3].

Ishda ligand sifatida 1,3,4-oksadiazol hosilalari tanlab olinganligi sababli, adabiyotlardan 1,3,4-oksadiazol hosilalarining olinishi, xossalari va ishlatilishi haqidagi ma'lumotlar tahlil qilindi.

1,3,4-Oksadiazol hosilalari biologik ta'siri ko'p qirrali bo'lganligi sababli muhim ahamiyatga ega. Xususan 1,3,4-oksadiazol halqasini o'z ichiga olgan birikmalar o'ziga xos shish va yallig'lanishga qarshi xususiyatlarga ega [1, 4, 5]. Shuningdek turli xil radikal almashingan oksadiazol hosilalari boshqa qiziqarli ta'sirga ega ekanligi aniqlandi, masalan, analgetik [4, 5], antimikrob [6, 7], silga qarshi [8, 9], tutqanoqqa qarshi [10- 13], OITS ga qarshi faollik [14], 1,3,4-

oksadiazollar yurak-qon tomir kasalligini davolovchi dorilar [15, 16], pestitsidlar, insektitsidlar [17], pufak fibrozini va prostata saratonini davolovchi [18-20] va boshqa faolliklari mavjud.

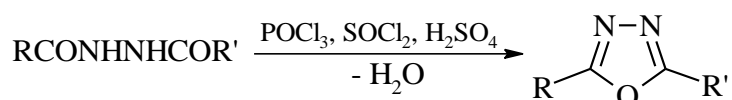


1-Rasm. 1997-2017 yillar oralig‘ida oksadiazol hosilalari bo‘yicha nashrlar

Diagramma ma’lumotlaridan (1-rasm) ko‘rinib turibdiki, 1,3,4-oksadiazollarning hosilalari olimlar tomonidan eng istiqbolli yo‘nalishlardan deb hisoblanadi.

1,3,4-Oksadiazol hosilalarini sintez qilishning umumiy tartiblari

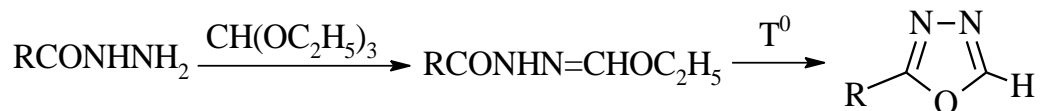
1,3,4-Oksadiazollarni olishning eng qulay usuli [8, 9, 21, 22, 23] adabiyotlarda keltirilgan bo‘lib, unda sintez uchun degidratlovchi qo‘shimchalar ishtirokida gidrazin hosilalaridan suv, spirt, vodorod sulfid va boshqalarni ajratib olgan holda sikllash yo‘li bilan olingan. Diatsillangan gidrazinni POCl_3 , yoki SOCl_2 , yoki H_2SO_4 bilan kuchli qizdirish natijasida 1,3,4-oksadiazol halqasi hosil bo‘lgan (1-reaksiya).



1-Reaksiya. Diatsillangan gidrazindan 1,3,4-oksadiazol olinishi

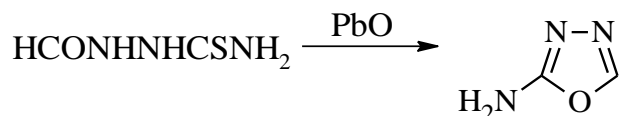
[10] Adabiyotda ultrabinafsha spektr natijalari oksadiazollarda benzolning aromatik tizimidagi o‘xshash π bog‘lanish tizimi borligini ko‘rsatgan. 1,3,4-Oksadiazol halqasidagi uglerod atomi uchun kislotali muhitda protonlanishi va

halqaning ochilishi ma'lum bo'lmaganligi sababli, elektrofil almashinish reaksiyasiga kirishmasligi o'rganilgan. 2-Aril-1,3,4-oksadiazollari karbon kislota gidrazidlariga mo'l miqdordagi trietilortoformiat ta'sir ettirish yo'li bilan olingan (1-sxema).



1-Sxema. 2-Aril-1,3,4-oksadiazollarni olinishi

[13, 14, 24] Ishda mualliflar 2-amino-1,3,4-oksadiazolni, tiosemikarboziddan PbO katalizatori ishtirokida vodorod sulfidni ajratib olish orqali sintez qilingan. Ushbu jarayonda 2-amino-1,3,4-oksadiazol bilan bir qatorda 3-merkaptio-1,2,4-triazolning sezilarli miqdori hosil bo'lgan (2-reaksiya).

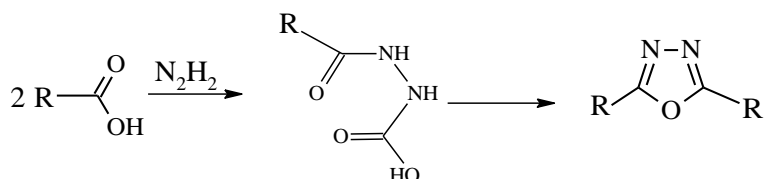


2-Reaksiya. 2-Amino-1,3,4-oksadiazolni olinishi

2-Amino-1,3,4-oksadiazol sintez qilingan bo'lsada, uning nomlanishi haqida adabiyotlarda 1929 yilga kelib Shtoll va Ferenbax tomonidan ma'lumot berilgan. 1916 yilda Boygolt bazi α -ketokislotalarni semikarbazonlarini yod bilan oksidlab, atsilesemikarbozid sintez qilish jarayonida o'zi bilmagan holda 2-amino-1,3,4-oksadiazol sintez qilgan. U keyingi ishlarida Papov bilan davom ettirib, ushbu birikma tuzilishini gidroksitriazol tuzilishidek deb taklif etishgan. Girard, Boygolt va Papovning "gidroksitriazol" reaksiyasini ishqoriy muhitda olib borib, u sintez qilingan moddani 5-almashingan-3-gidroksi-1,2,4-triazol deb aniqlagan. Shu bilan birga u Boygolt reaksiyasida triazol hosilasi hosil bo'lganligini va ularning tautomerlanish reaksiyalariga o'xshashligini takidlagan. Va nihoyat, 1929 yilda Stolle va Ferenbax 2-amino-1,3,4-oksadiazol to'g'risida ma'lumot berishgan, bunda ular 5-almashingan oksadiazollar haqida ham ma'lumot bergan. Shu bilan birga, 2-amino-1,3,4-oksadiazolning 5-almashingan holatdagi hosilalarining 1-atsiltiosemikarbazidlarning sikllanishi nitijasida olinishi keyinchalik Xoggort tomonidan bayon etilgan [13, 14, 25].

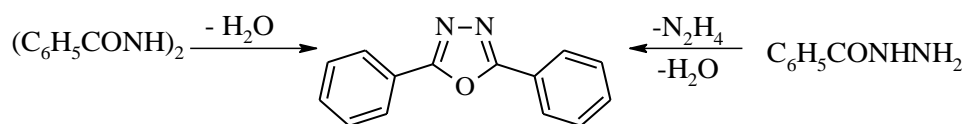
Simmetrik va nosimmetrik 2,5-diaril-1,3,4-oksadiazollarning olinishi

Simmetrik 2,5-diaril-1,3,4-oksadiazollar [26, 27] adabiyotdagi usullarda 2-sxema bo'yicha olinadi.



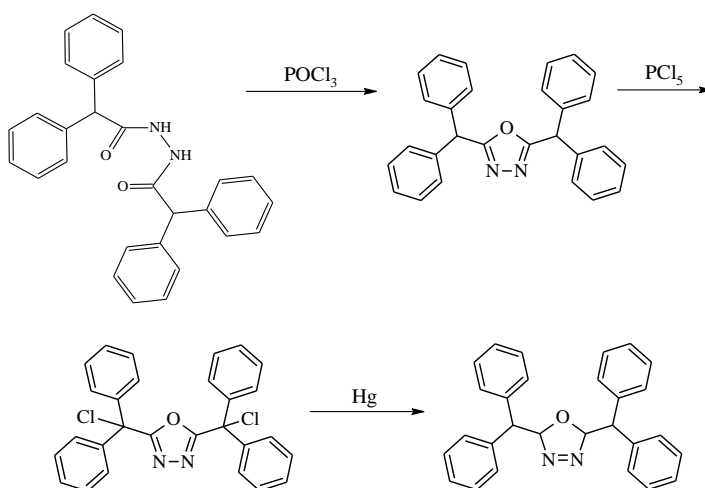
2-Sxema. 2,5-Diaril-1,3,4-oksadiazollarning olinishi. Bu yerda R=aril.

[28] Mualliflar tomonidan dibenzilgidrazinning 250-300°C da siklodehidrogenlanishi natijasida 2,5-difenil-1,3,4-oksadiazol olingan (3-sxema).



3-Sxema. 2,5-Difenil-1,3,4-oksadiazolning olinishi

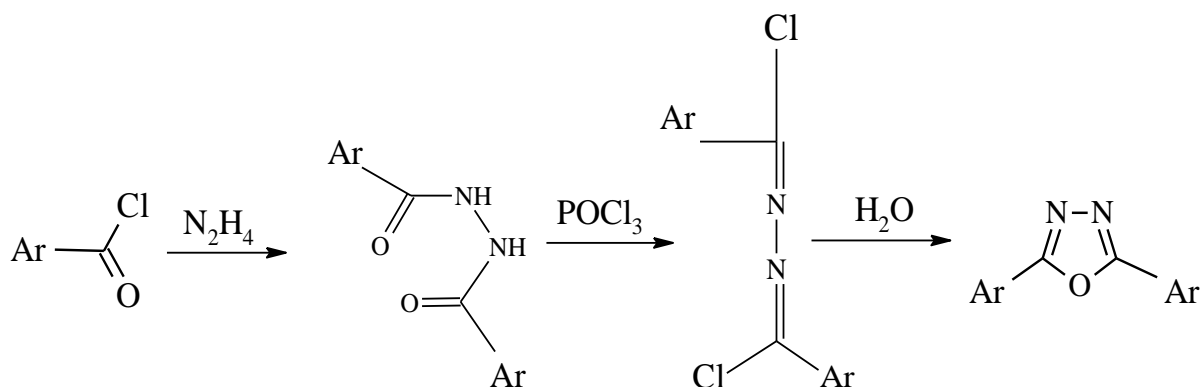
1,3,4-Oksadiazol halqasining hosil bo'lishida quyidagi: xlorosulfon kislota, oltingugurt xloridi, fosfor pentaoksidi, n-toluolsulfokislota, uning kislota xloridi, tionilxlorid, fosfor oksixloridi, rux xloridi, kislota anhidridlari, fosfor pentaxloridi, sulfat kislota kabi gigroskopik vositalar yordam bergan [29-32].



4-Sxema. 2,5-Dibenzgidril-1,3,4-oksadiazol, uning hosilalari olinishi

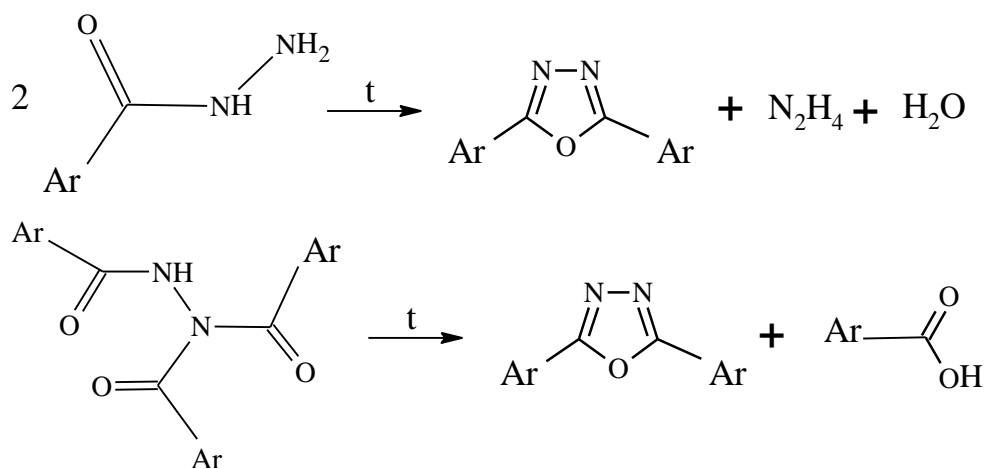
2,5-Dibenzgidril-1,3,4-oksadiazol va uning hosilalari [16] adabiyotdagi 4-sxema bo'yicha olinadi.

2,5-Diaril-1,3,4-oksadiazol hosilalarini [33] adabiyotdagi metodika bo'yicha, 5-sxemaga muvofiq ham sintez qilish reaksiya unumining yuqoriligi bilan muhim hisoblanadi.



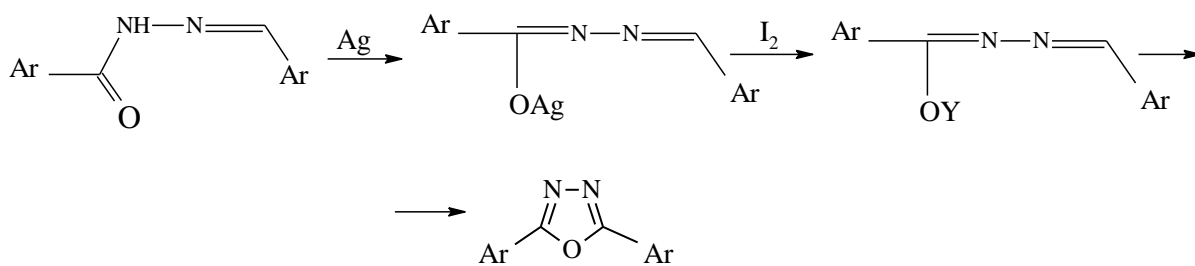
5-Sxema. 2,5-Diaril-1,3,4-oksadiazollarning olinishi

Simmetrik 2,5-diaril-1,3,4-oksadiazollarning olinishi [10, 34] mualliflar tomonidan keng o'rganilgan bo'lib, bunda tegishli diarilgidrazinlarning 180-350°C da to'g'ridan-to'g'ri qizdirish yoki ularga fosfor angidrid, tionilxlorid yoki oksalat kislota xloridi ta'siri ostida olingan. Oksadiazol halqasi gidrazidning xlorlovchi vositalar bilan kumush nitrat ishtirokidagi reaksiyasi natijasida sikllangan. 2,5-Diaril-1,3,4-oksadiazollar quyidagi reaksiya tenglamaga muvofiq mono- yoki triatsilgidrazinlarni qizdirish orqali hosil bo'lgan (3-reaksiya).



3-Reaksiya. Simmetrik 2,5-diaril-1,3,4-oksadiazollarning olinishi

1,2-Diarilgidrazinlarning kumush yoki simob tuzlariga yod ta'sir ettirilganda va diarilgidrazinlarning kumush tuzlari qizdirilganda 2,5-diaril-1,3,4-oksadiazol olingan (6-sxema) [10].



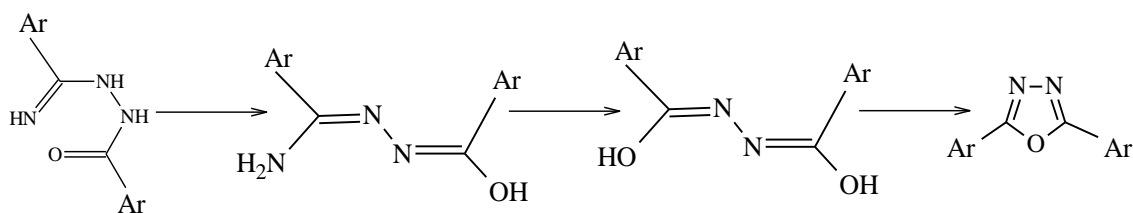
6-Sxema. 2,5-Diaril-1,3,4-oksadiazolni olinishi

Shuningdek, [33] adabiyotda gidrozonlar uglerod tetraxloridida xlorlanganda va ishqoriy muhitda yoki izoamil nitrit bilan kaliy ferrotsianidning suyultirilgan eritmasi bilan qaynatilganda ham 2,5-diaril-1,3,4-oksadiazollar olingan. Gidrazonlarning kumush tuzlariga kislota xlorangidridlarini ta'sir ettirish natijasida oksadiazollarning quyidagi turlari hosil bo'lganligini kurishimiz mumkin.



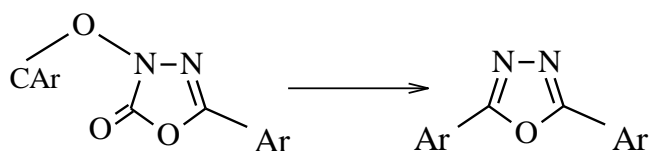
2,5-Diaril-1,3,4-oksadiazol hosilalari

1,3,4-Oksadiazolning aril hosilalarini olish usullari [33] adabiyotda keltirilgan bo'lib, unda karbon kislota monoatsilgidrazinning 80-160°C da imidoefirgidroxloridlari bilan o'zaro ta'siridan yoki olingan mahsulotni nitrat kislota ishtirokida qayta ishlab 7-sxema bo'yicha olingan.



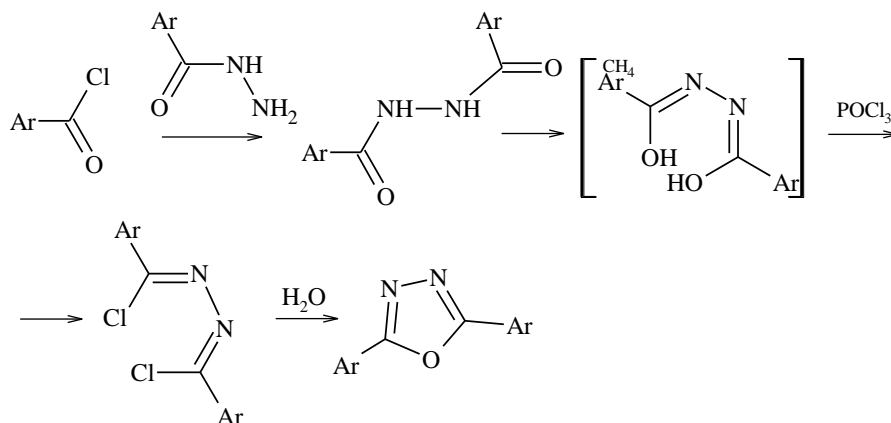
7-Sxema. 1,3,4-Oksadiazolning aril hosilalarini olinishi

[16] Adabiyotda 2,5-diaril-1,3,4-oksadiazollar ham 1,3,4-oksadiazolon-5 hosilalarini 280°C da parchalab olingan (4-reaksiya).



4-Reaksiya. Simmetrik 2,5-diaril-1,3,4-oksadiazollarning olinishi

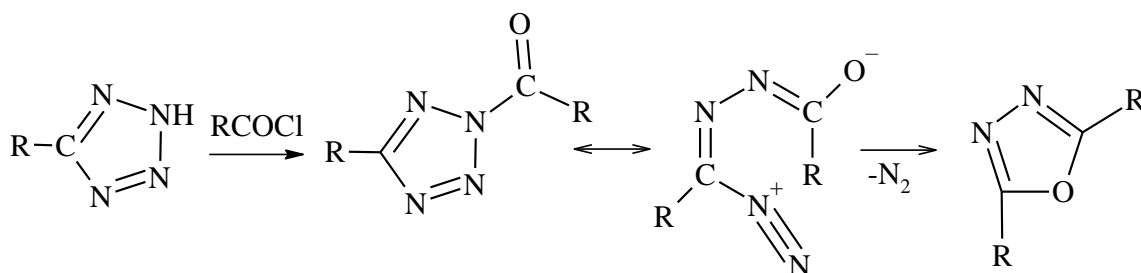
Bunday birikmalarni olish uchun odatda [26] adabiyotdagi keltirilgan sxema qo'llaniladi (8-sxema).



8-Sxema. 2,5-diaril-1,3,4-oksadiazollarning olinishi

8-Sxema yordamida 1,3,4-oksadiazollarning aralash aril hosilalari sintez qilingan, shuningdek, 2,5-difenil-1,3,4-oksadiazolning mono- va bifunksional hosilalarini olish uchun foydalanish mumkinligi o'rganilgan.

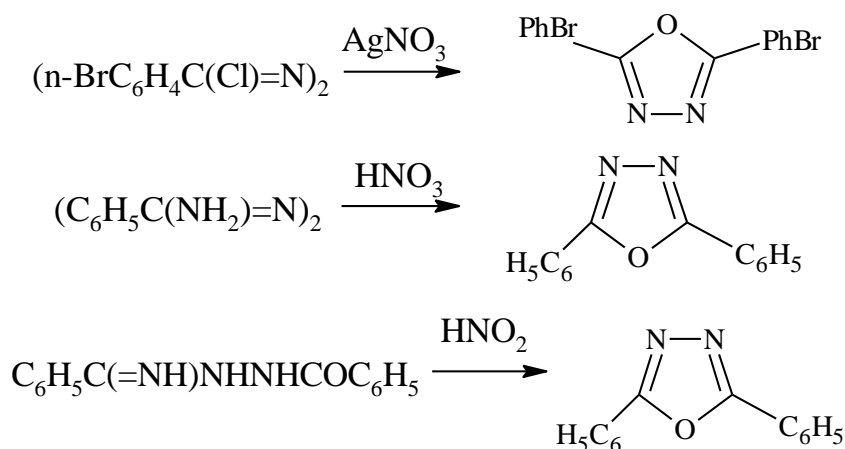
Simmetrik 2,5-diaril-1,3,4-oksadiazollar [32, 34] adabiyotda keltirilgan usulda ya'ni, karbon kislotalarni xlorangid-ridlarini 5-almashingan tetrazollar bilan piridin ishtirokida qizdirilganda yuqori unum bilan hosil bo'lgan. Ushbu reaksiyaning sxemasi quyidagicha taklif etilgan (9-sxema).



9-Sxema. Simmetrik 2,5-diaril-1,3,4-oksadiazollarning olinishi

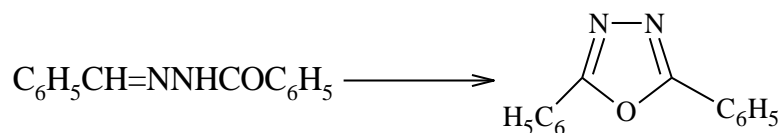
2,5-Almashingan-1,3,4-oksadiazollarga issiq suv yoki kumush nitrat eritmasi ta'sirida oraliq mahsulot sifatida diatsilgidrazidlar, bis- α -xlorbenzilidengidrazinlar hosil bo'lgan. Shunga o'xshash siklning yopilishi bis-

α -aminobenzilidengidrazinlarga nitrat kislota, kumush nitrat ta'sir ettirilganda simmetrik tuzilishli 2,5-diaril-1,3,4-oksadiazollarni olish mumkin (5-reaksiya) [35- 37].



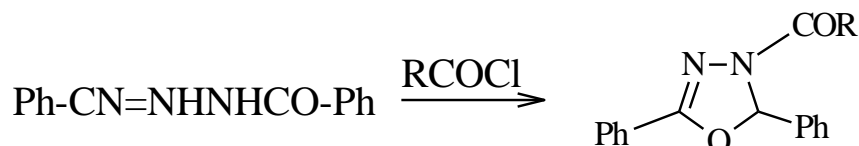
5-Reaksiya. Simmetrik 2,5-diaril-1,3,4-oksadiazollarning olinishi

Kaliy ferritsianid yoki izoamilnitritning ishqoriy eritmalari benzoilgidrazon benzaldegidni 2,5-difenil-1,3,4-oksadiazolga aylantiradi. Ushbu reaksiyada, dastlabki oksidlanish yoki galogenlanish jarayonlari azotga qaraganda uglerod atomida yuqoriroq boradi (6-reaksiya) [37].



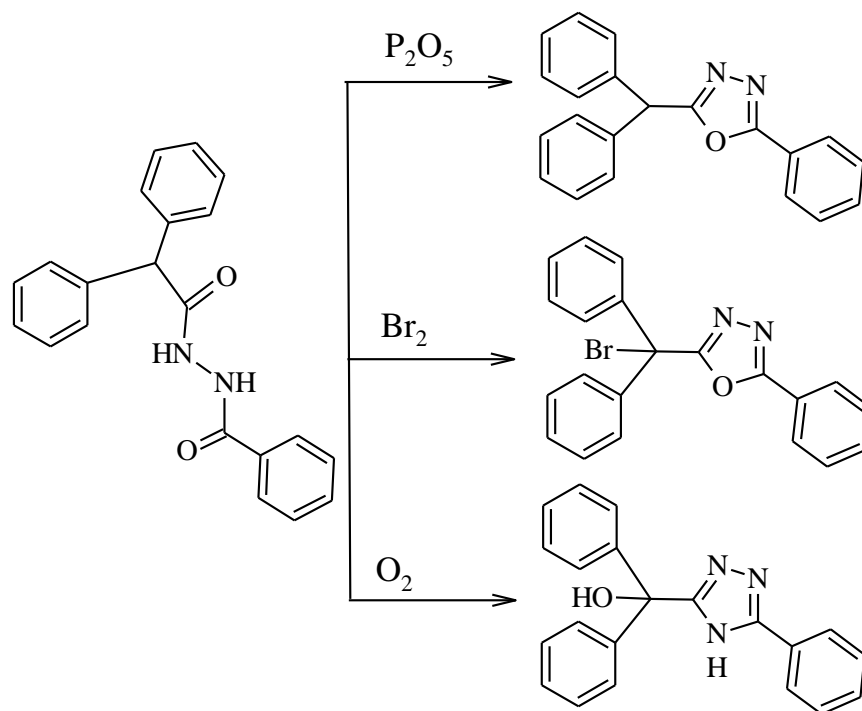
6-Reaksiya. 2,5-Difenil-1,3,4-oksadiazolning olinishi

[37] Adabiyotda benzoilgidrazon benzaldegidning kumushli tuzini atsetil xlorid yoki benzol bilan inert erituvchida qayta ishlash natijasida, quyidagi reaksiya tenglamaga muvofiq 2,5-difenil-4-gidro-3-atsil-1,3,4-oksadiazol hosil bo'ladi (7-reaksiya).



7-Reaksiya. 2,5-Difenil-4-gidro-3-atsil-1,3,4-oksadiazolning olinishi

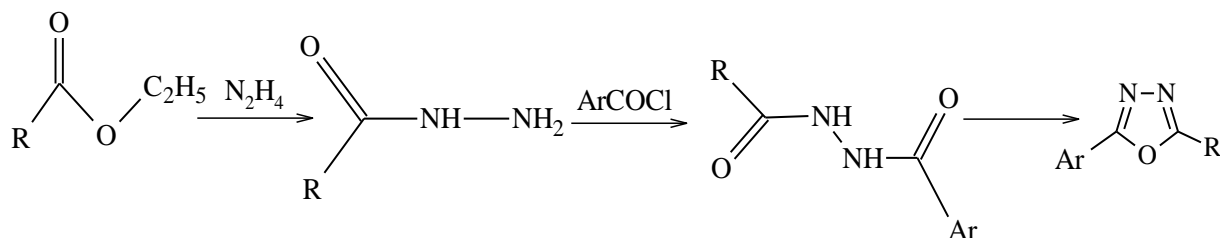
Yana bir qiziqarli sintez usuli [38, 39] adabiyotda keltirilgan bo'lib, bunda fosfor anhidrid, brom, kislorod bilan difenilsirka kislota benzoilgidrazidini qizdirish orqali 5-benzgidril-2-fenil-1,3,4-oksadiazol hosilalarini olinishini ko'rishimiz mumkin (10-sxema).



10-Sxema. Oksadiazol hosilalarining olinishi

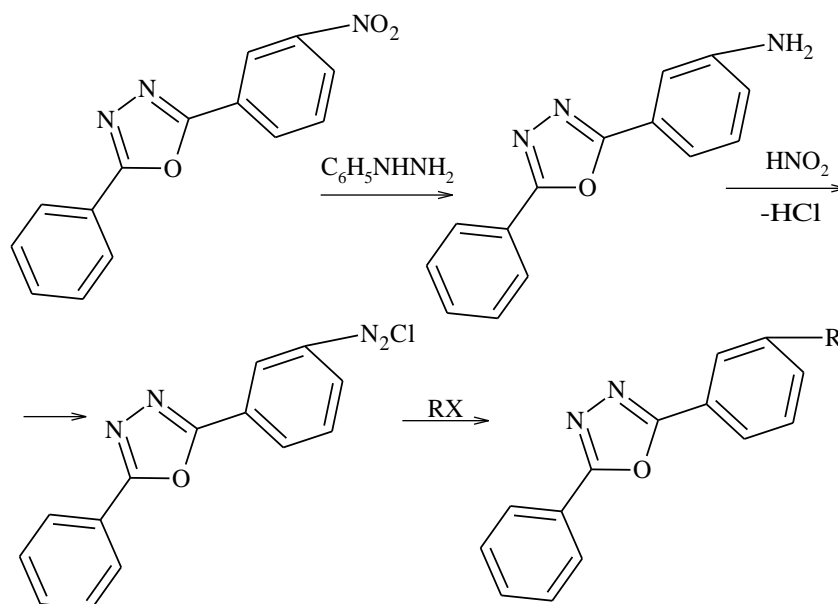
2-Alkil-5-aril-1,3,4-oksadiazol hosilalarining olinishi

[23, 39-41] Mualliflarning olib borgan tadqiqotlar o'rganilganda, umumiy holatda 2-alkil-5-aril-1,3,4-oksadiazollar quyidagi 11-sxema bo'yicha olingan.



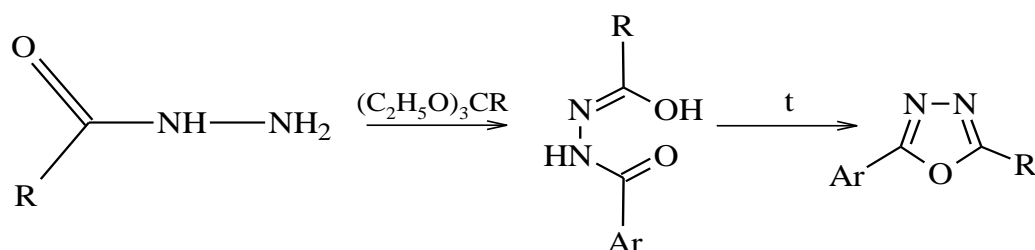
11-Sxema. 2-Alkil-5-aril-1,3,4-oksadiazolning olinishi.

Yuqoridagi 11-sxemadan foydalanish funksional guruhlarning ishlatiladigan reagentlar bilan o'zaro ta'siri natijasida murakkablashishi mumkin. Ushbu hodisani oldini olish uchun [41] mualliflar tomonidan quyidagi sxema ishlab chiqilgan (12-sxema).



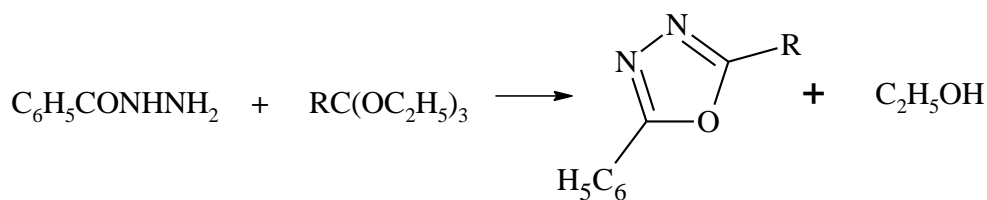
12-Sxema. Oksadiazollarning olinishi

Alifatik gidrazidlarning benzoillanish kinetikasi [42] adabiyotda keltirilgan bo‘lib, bunda suyultirilgan eritmalar, xona xaroratida 1,2-diatsilgidrazinning olinishi o‘rganilgan. 2-Alkil-5-aril-1,3,4-oksadiazolning hosilalari 2-aril-1,3,4-oksadiazollarning sinteziga o‘xshash sharoitlarda gidrazidlarni kislota ortoeffirlari bilan reaksiyasi natijasida olingan (13-sxema).



13-Sxema. 2-Alkil-5-aril-1,3,4-oksadiazolning hosilalarining olinishi

2-Alkil-5-aril-1,3,4-oksadiazollarni yuqori ortoeffirlardan quyidagi reaksiya tenglamaga muvofiq olish mumkin, bunda ularga tegishli bo‘lgan 2-alkil-5-aril-1,3,4-oksadiazollar olinadi (8-reaksiya) [26].

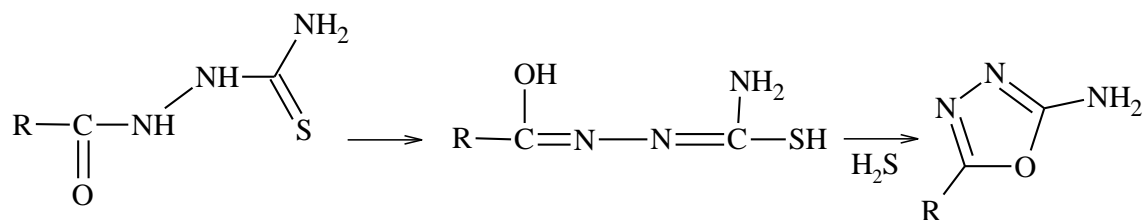


8-Reaksiya. 2-Alkil-5-aril-1,3,4-oksadiazolning olinishi

2,5-Almashingan 1,3,4-oksadiazol hosilasining olinishi

2,5-Almashingan 1,3,4-oksadiazol hosilalarini olinish usullarini tahlil qilar ekanmiz, adabiyotlarda 2-amino-1,3,4-oksadiazol hosilalarining olinishi va biologik faolligining yuqoriligi haqida ko'pgina ma'lumotlar keltirilgan.

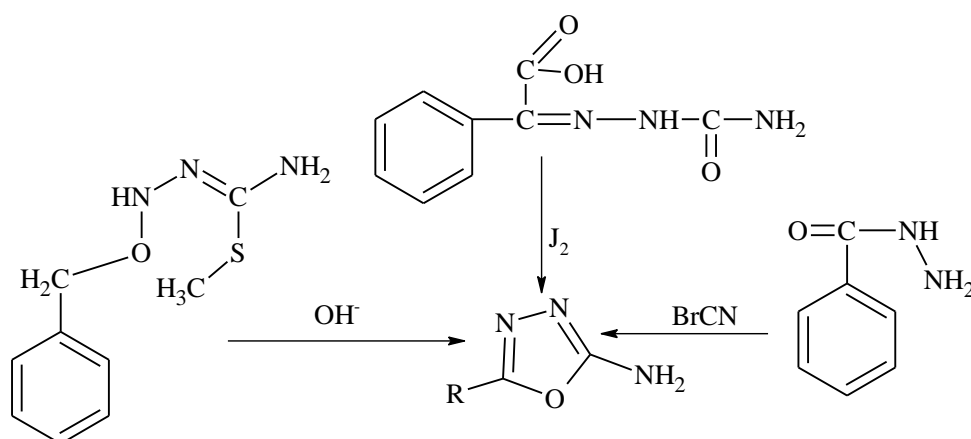
2-Amino-1,3,4-oksadiazol va uning hosilalari [43, 44] adabiyotdagi quyidagi 14-sxema bo'yicha qo'rg'oshin oksidi yordamida tiosemikarbozidlardan vodorod sulfidni ajratish orqali olingan.



14-Sxema. 2-Amino-1,3,4-oksadiazol hosilalarining olinishi

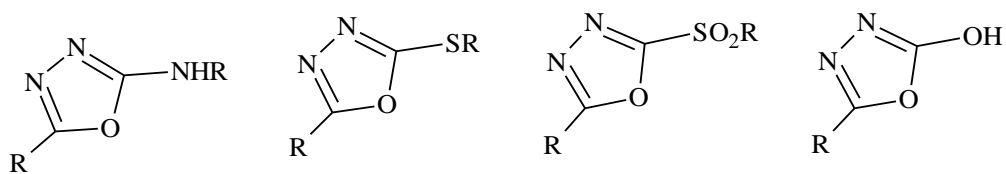
2-Amino-1,3,4-oksadiazol hosilalarining olinishda sintez tiosemikarbazidning 95% li spirtidagi eritmasi va mo'l miqdordagi qo'rg'oshin oksid ishtirokida uzoq vaqt qizdirish natijasida yuqori unum bilan hosil bo'lishi o'rganilgan [44].

Yuqorida keltirilgan sintez usullaridan tashqari, 2-amino-5-fenil-1,3,4-oksadiazol [44] adabiyotda keltirilgan, quyidagi 15-sxema bo'yicha sintez qilinadi:



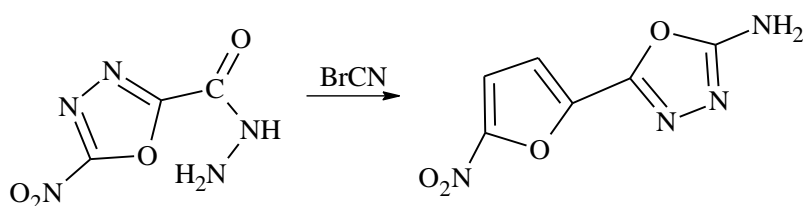
15-Sxema. 2-Amino-5-fenil-1,3,4-oksadiazolning olinishi

Tiosemikarbazid hosilalarini qizdirish yoki gigroskopik moddalar ta'sir ettirib, quyidagi 2,5-almashingan 1,3,4-oksadiazol hosilalari olingan [45]:



[45] Adabiyotda semikarbazon benzaldegidga 5%li natriy gipobromid eritmasi ta'sir ettirilganda 2-amino-5-fenil-1,3,4-oksadiazol hosil bo'lgan va uning boshqa bir qator hosilalari olingan.

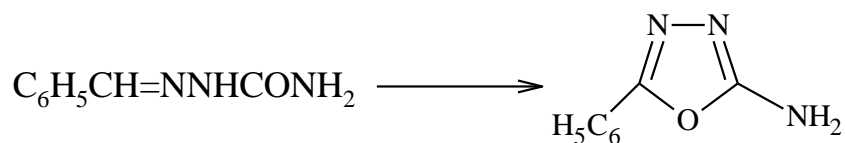
Geterotsiklik kislota gidrazidi va bromsian ishtirokida 2-amino-1,3,4-oksadiazolning geterotsiklik hosilalari sintezi [46] adabiyotda o'rganilgan bo'lib, quyidagi reaksiyaga muvofiq sintez olib borilgan (9-reaksiya):



9-Reaksiya. 2-Amino-1,3,4-oksadiazolning geterotsiklik hosilasi sintezi

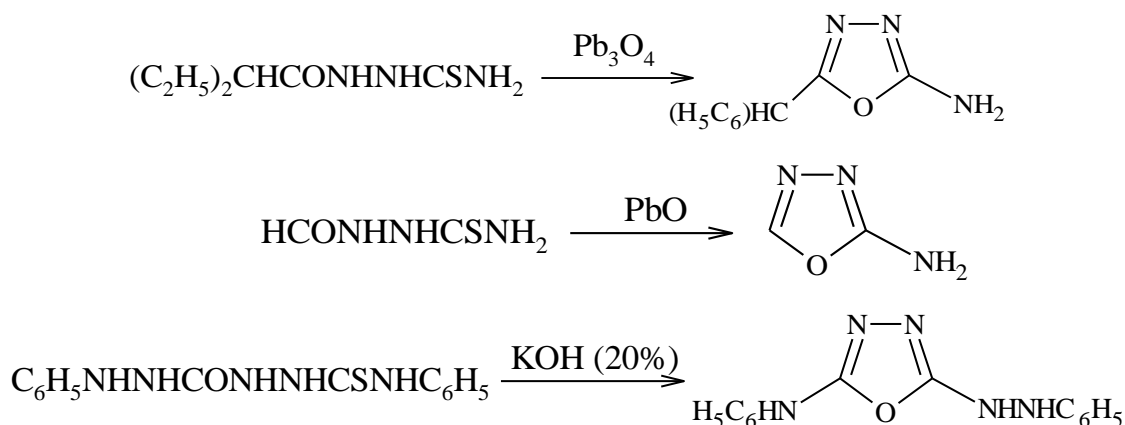
[46, 47] Ishning mualliflari taklif etgan usul bilan bir qator 1,3,4-oksadiazol hosilalari sintez qilingan. Ushbu usulda geterotsiklik kislota xlorangidridlarini tiosemikarbozid bilan sikllanishi natijasida tegishli oksadiazol hosil bo'lgan.

Semikarbozonga gipiodit benzaldegid yoki natriy gipobromitning ta'siri natijasida 2-amino-5-fenil-1,3,4-oksadiazol hosil bo'lgan [43]. Ushbu reaksiyada, dastlabki oksidlanish yoki galogenlanish jarayonlari azotga qaraganda uglerod atomida yuqoriroq boradi (10-reaksiya).



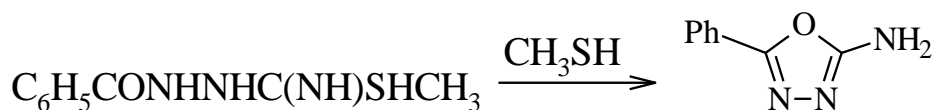
10-Reaksiya. 2-Amino-5-fenil-1,3,4-oksadiazolning olinishi

[43] Mualliflar qo'rg'oshin oksid yoki simob oksidi ishtirokida ba'zi atsiltiosemikarbozidlardan vodorod sulfid ajralib chiqib sikllanishi natijasida 1,3,4-oksadiazollarga aylanishini o'rganishgan. Shunga o'xshash sikllanish jarayoni kaliy ishqori ishtirokida ham kuzatiladi(11-reaksiya).



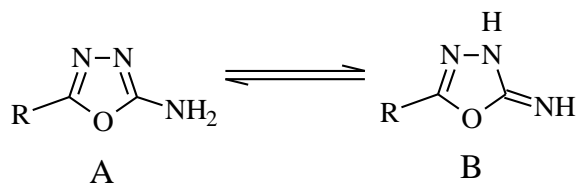
11-Reaksiya. 2,5-Almashingan 1,3,4-oksadiazol hosilalarining olinishi

1-Benzoiltiomochevinaning S-metilhosilasi piroliz paytida metilmerkaptanni yo‘qotadi va 2-amino-5-fenil-1,3,4-oksadiazolga aylanadi. Ushbu jarayon yuqori unum bilan boradi (12-reaksiya) [10].



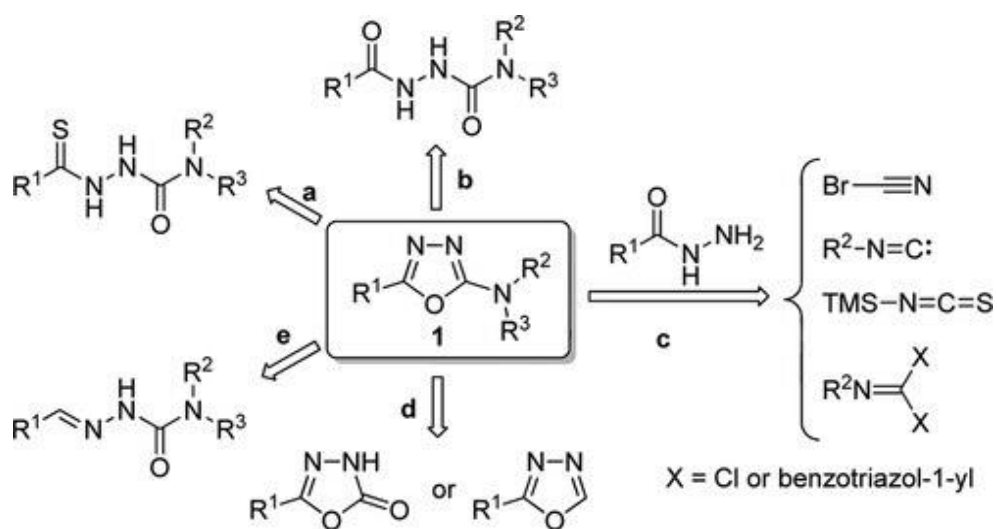
12-Reaksiya. 2-amino-5-fenil-1,3,4-oksadiazolning olinishi

2-Amino-1,3,4-oksadiazollar erituvchi tabiatiga qarab ikki tautomer shaklda reaksiyaga kirishishi mumkin [48]. A tuzilishning oksadiazollari ma’lum benziliden va ftalil hosilalarini tayyorlash bilan aniqlangan.



[49] Ishda mualliflar tomonidan 2-amino-1,3,4-oksadiazollarning termik xossalari o‘rganilgan, ularning aksariyati kuchsiz qizdirish natijasida eriydi.

Yuqorida keltirilgan usullardan tashqari [50-61] adabiyotlardagi mualliflar tomonidan 2-amino-5-o‘rin almashingan-1,3,4-oksadiazollarning olinishi umumiy holatda 16-sxemada keltirilgan. Bunda umumiy holatda 2-amino-5-o‘rin almashingan-1,3,4-oksadiazollarni olishda dastlab yarimkarbohid/tiosemikarbohid va tegishli aldegidlarning kondensatsiyasi amalga oshiriladi, so‘ngra S-O/C-S bog‘ining I₂ ta’sirida oksidlash orqali sintez qilib olinadi.



16-Sxema. 2-Amino-5-o‘rin almashingan-1,3,4-oksadiazollarning olinishi.

1,3,4-Oksadiazollarning fizik-kimyoviy xossalari

1,3,4-Oksadiazol – suyuqlik, 150° C ga yaqin haroratda qaynaydi. 2,5-Almashingan-1,3,4-oksadiazol hosilalari – rangsiz moddalar. 2,5-Almashingan-1,3,4-oksadiazol nosimmetrik aromatik molekula, uning rezonans energiyasi 167,2 KJ/mol. Uning tarkibidagi bog‘lar infraqizil spektroskopiya usulida o‘rganilganda C=N bog‘ining 1640-1650 cm^{-1} va C-O bog‘ining 1020 cm^{-1} da yutilish chiziqlarini aniqlash mumkin. YaMR ma’lumotlariga ko‘ra, kimyoviy ekvivalent protonlar CDCl_3 da, 8,73 ppm sohada o‘zgarish beradi. 1,3,4-Oksadiazollarning eruvchanligi o‘rganilganda, turli xil oksadiazol hosilalarining suvda eruvchanligi bir xil emasligi va ularning erish qobilyati o‘rinbosarlar tabiatiga bog‘liq. Masalan, 2,5-dimetil-1,3,4-oksadiazol har qanday nisbatda suv bilan aralashadi, 2,5-difenil-1,3,4-oksadiazolning suvdagi eruvchanligi atigi 0,03% ni tashkil etadi [62, 63].

1,3,4-Oksadiazolning asosiy fizik ko‘rsatkichlari quyidagi 1-jadvalda keltirilgan.

1-Jadval

1,3,4-Oksadiazolning asosiy fizik ko‘rsatkichlari

Xossa	Ko‘rsatkichi
Molekulyar massa	70.051 g/mol
Molekulyar formula	$\text{C}_2\text{H}_2\text{N}_2\text{O}$

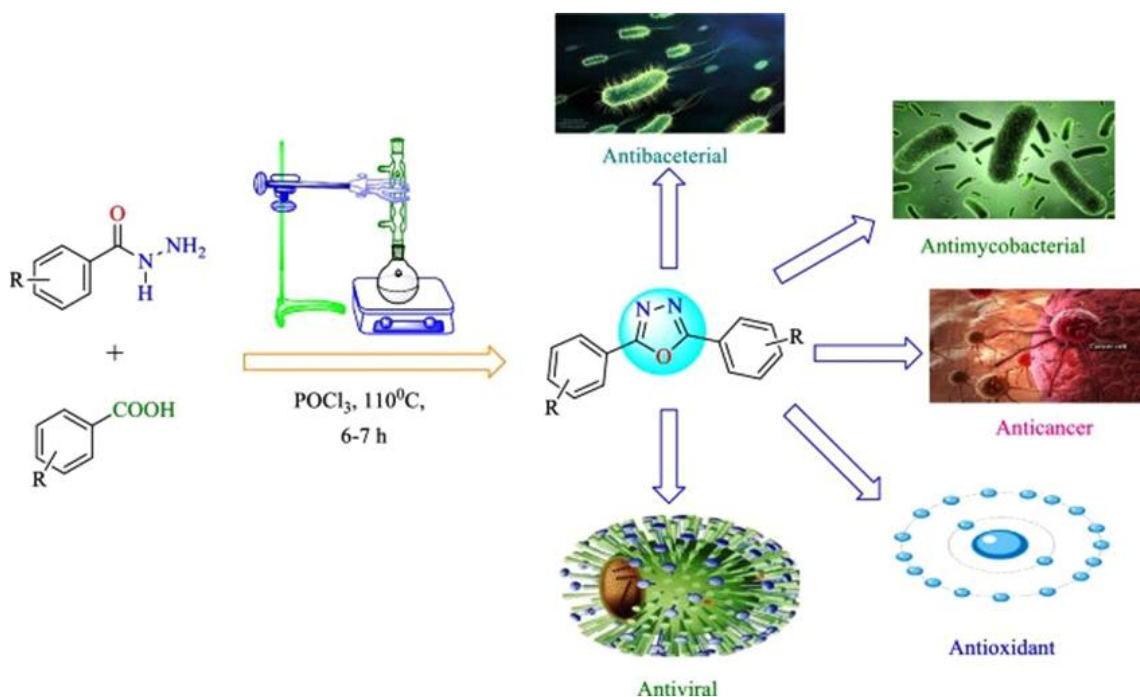
Zichligi	1.2 g/sm ³
Suyuqlanish harorati	-4.26 °C
Qaynash harorati	150 °C
25 °C bug‘ bosimi	5.0 mm s.u.
Hosil bo‘lish entalpiyasi	31.1 kj/mol
Nur sindirish ko‘rsatkichi	1.416

1,3,4-Oksadiazolning nosimmetrik hosilalari ko‘p hollarda simmetrik hosilalariga qaraganda past haroratda qaynaydi va suyuqlanadi [64].

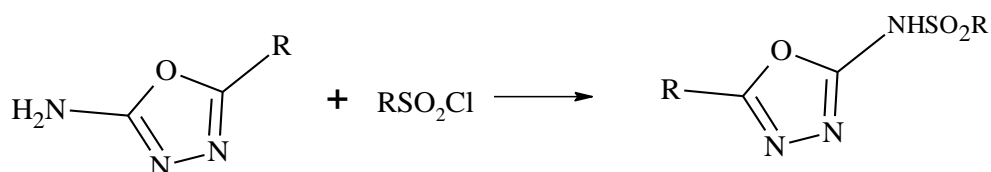
1,3,4-Oksadiazolning ba‘zi hosilalarning lyuminessiya xossasi [65] mualliflar tomonidan o‘rganilgan bo‘lib, bunda kuchli elektronoakseptor guruh saqlamagan ba‘zi 1,3,4-oksadiazol 2,5-hosilalari kristall holatida, qutbsiz yoki kam qutbli erituvchilarda va polistirolida lyuminessiyalanishi keltirilgan.

1,3,4-Oksadiazol hosilalarining biologik xossalari

Ma‘lum bo‘lgan birikmalar orasida 1,3,4-oksadiazollar biologik faolligi yuqoriligi bilan katta qiziqish uyg‘otgan [7]. 1,3,4-Oksadiazollarning biologik faolligining turlicha bo‘lishi ular tarkibidagi radikallarning o‘zgartirilishi natijasida sodir bo‘ladi.



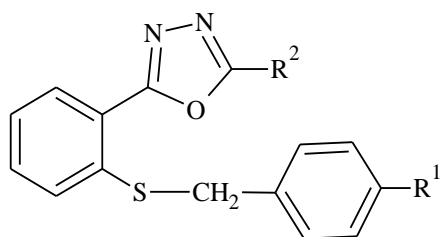
[66-76] Adabiyotlardagi mualliflar tomonidan oksadiazollar penitsillin guruhining vakillari sifatida logorifmik o'sish bosqichida bo'lgan mikroorganizmlarga bakteritsid ta'sir ko'rsatishi o'rganilgan. Bu ularning bakterial xujayra, xujayra devori tarkibiy qismlarining biosintezini ingibirlash qobiliyatiga bog'liq bo'lib, ularning boshqarilishida ma'lum bir ferment transpeptidaza ishtirok etganligi, penitsillinlar fermentining peptid substratiga strukturaviy o'xshashligi tufayli antibiotik u bilan transpeptidazaning faol markazi bilan kurashishi o'rganilgan. Antibiotik molekulasini fermentning faol markazi bilan o'zaro ta'siri qaytmas reaksiya hisoblanadi. Azollarning bakterial xujayraga ta'siri xujayra devori tarkibiy qismlarining sinteziga bevosita ta'sir ko'rsatishi bilan bog'liq. 1,3,4-Oksadiazollarning boshqa hosilalari dori-darmonlarni tayyorlashda qo'llanilgan. Sulfoxloridlarning 1,3,4-oksadiazolning aminohosilasi bilan ta'sirlashib sulfamidli preparat sintez qilingan, u esa dori moddalarini olish uchun ishlatiladi (13-reaksiya):



13-Reaksiya. 1,3,4-Oksadiazolning aminohosilasi sulfamidli preparat sintezi

Tibbiyot kimyosida oksadiazol hosilalarini o'z ichiga olgan molekularlar katta ahamiyatga ega. Quyida 1,3,4-oksadiazol hosilalarining biologik ta'siri, o'zgarishiga qarab turlicha bo'lganligi uchun alohida ko'rib chiqamiz:

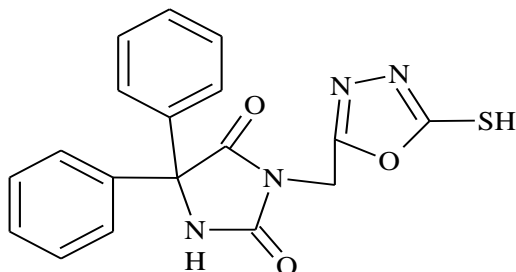
Tutqanoqqa qarshi faollik- 2-o'rin almashingan-5-(2-benziltiofenil)-1,3,4-oksadiazollar quyidagi hosilalari sintez qilingan va tutqanoqqa qarshi qarshi vosita sifatida qo'llanilgan. 1,3,4-oksadiazol halqasi va ftor o'rini bosuvchi benzoilning para- holatiga aminoguruh kiritish orqali tutqanoqqa qarshi faolligini oshganligini ko'rish mumkin [77, 78].



2-o‘rin almashingan-5-(2
benziltiofenil)-1,3,4-oksadiazol
hosila-lari $R_1=H, F, Cl$; $R_2=NH_2, SH,$
SMe

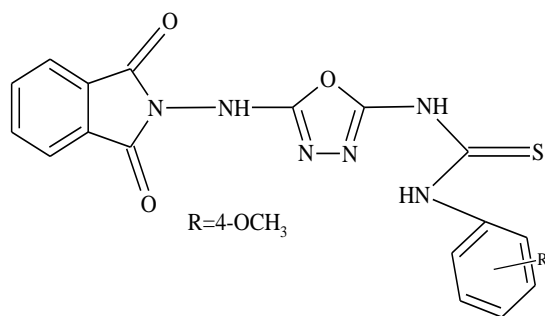
Ataluren va zibotentan birikmalari mos ravishda pufak fibrozini va prostata saratonini davolash uchun klinik tadqiqotlarning so‘nggi bosqichlari o‘rganilmoqda [5, 7, 79, 80]. Shunisi etiborga loyiqki, raltegravir aralashmasi OITS infeksiyasini davolash uchun sotuvga chiqarilgan [81].

Fenitoin va tiosemikarbazid, 1,3,4-oksadiazol, 1,3,4-tiadiazol yoki 1,2,4-triazol o‘rtasidagi gibridlar sintez qilindi va tutqanoqqa karshi faolligi sinovdan o‘tkazildi. Dastlabki tutqanoqqa qarshi faollik standart sichqonlarda elektroshok (MES) va teri osti pentilenetetrazol (scPTZ) skrining yordamida amalga oshirildi, rotorodli sinov yordamida neyrototsiklik aniqlandi. Bular orasida 3-[(5-Sulfanil-1,3,4-oksadiazol-2-il)metil]-5,5-difenilimid-azolidin-2,4-dion birikma 100mg/kg dozada scPTZ testida eng yuqori ximoya (80%) ko‘rsatgan [82].

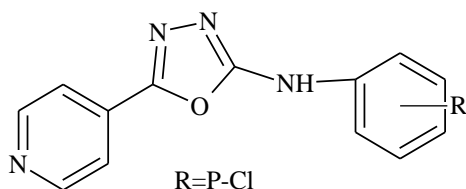


3 - [(5-Sulfanil-1,3,4-oksadiazol-2-
il) metil] -5,5-difenilimid-azolidin-
2,4-dion

[83-86] Adabiyotlarda yangi 1,3,4-oksadiazol ftalamid hosilalari (1-{5-[(1,3-diokso-1,3-digidro-2N-izoindol-2-il)amino]-1,3,4-oksadiazol-2-il}-3-(4-metoksifen-il)tio-mochevina) hamda 2- (xlorfenil) amino-5- (4-piridil) -1,3,4-oksadiazollar MES tekshiruvda faol va fenitoinga qaraganda kamroq neyrotoksikligi aniqlangan va shu sababli eng istiqbolli antikonvulsantga aylangan.

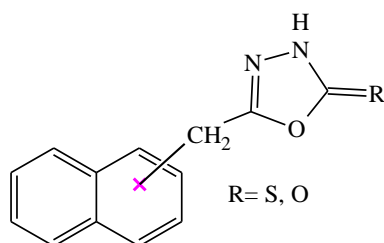


1-{5-[(1,3-diokso-1,3-digidro-2N-izoindol-2-il) amino]-1,3,4-oksadiazol-2-il}-3-(4-metoksifen-il) tiomochevina



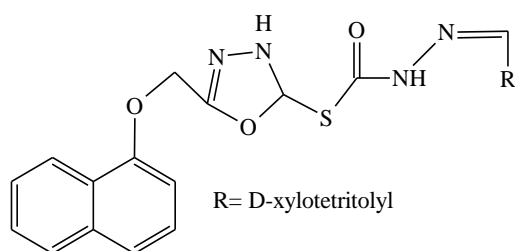
2- (xlorfenil) amino-5- (4-piridil) -1,3,4-oksadiazol

[6, 18, 87-90] Adabiyotlarda yangi sintez qilingan 1,3,4-oksadiazol hosilalarida mikroblarga qarshi faollik ega bo'lgan: 5-(1-/2-naftiloksimetil)-1,3,4-oksadiazol-2(3N)-tion, 2-amino-5-(1-/2-naftiloksimetil)-1,3,4-oksadiazol, 5-(naftiloksimetilning 1-/2-hosilalari) -1,3,4-oksadiazol 2(3H)-1- va/yoki 2-naftollar sintez qilingan. S.stafilokokk , E.koli , R.tayoqchalari , S.Albicans va S.parapsilozlarga qarshi faollikni (konstratsiya 64–256 mkg/ml) namoyon qiladi.



5-(1-/2-naftiloksimetil)- 1,3,4-oksadiazol hosilalari

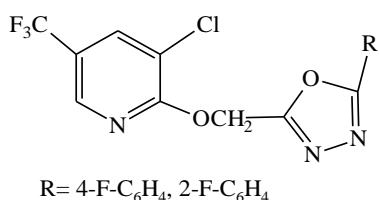
[81, 91, 92] Adabiyotlarda yangi sintez qilingan birikmalar OITS ga qarshi faollik namoyon qilgan, CEM-SS hujayralari yoki yangi odamning periferik qon mononuklyar hujayralari yordamida OITS mikrotitrator tahlilidan foydalangan holda teskari transkriptaza ingibitori sifatida baholangan. Oksadiazol hosilalari orasida birikma eng yuqori OITS faollikni ko'rsatgan va IC₅₀ qiymati 1,44 mkm ga teng.



1,3,4-oksadiazolning gidrazid va imidrazon hosilalari

R= D-xylotetritolyl

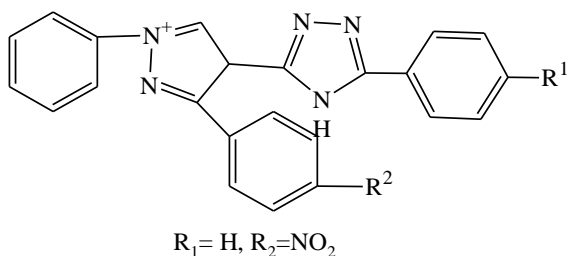
1,3,4-Oksadiazolning 2-(5-(trifluorometil) piridiloksimetil)-5-aril hosilalari insektitsid faolligikni namoyon qilgan va sintez usuli ishlab chiqilgan va sintez qilingan. Barcha oksadiazollar ko‘proq insektitsid faollikka ega, ayniqsa benzol halqasida ftor bo‘lganda, muhim insektitsid faollikni namoyon etadi [93; 63-66 b]



2-(5-(triflormetil) piridiloksimetil)-5-aril-1,3,4-oksadiazol hosilalari

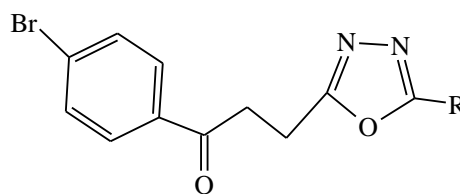
R= 4-F-C₆H₄, 2-F-C₆H₄

[94] Adabiyot mualliflari 2-[3-(4-bromfenil)propan-3-on]-5-(o‘rinalmashinganfenil)-1,3,4-oksadiazol hosilalarini 3-(4-brombenzoil)propion kislotlardan sintez qilib olingan, ushbu sintez metodikalarni ishlab chiqishdan asosiy maqsadi nojo‘ya ta’sirlarsiz, yallig‘lanishga qarshi va og‘riq qoldiruvchi faollikka ega ekan bo‘lgan dori vositalarini olish bo‘lgan va ushbu maqsadga erishilgan. Quyidagi sintez qilingan birikmada yuqori yallig‘lanishga qarshi faollik aniqlangan.



R₁= H, R₂=NO₂

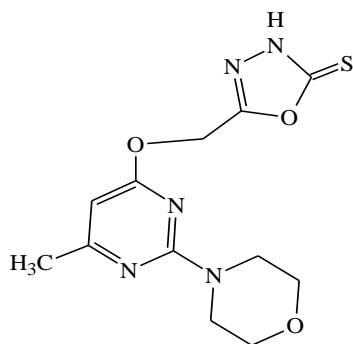
2-fenil-5-(1,3-difenil-1N-pirazol-4-il)-1,3,4-oksadiazol



R= C₆H₅, 2-Cl-C₆H₄

Fenil almashingan 1,3,4-oksadiazollar

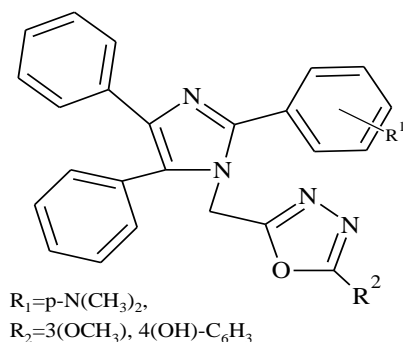
[95] Adabiyot o'rganilganda 5- (6-metil-2-almashingan 4-pirimidiniloksimetil)-2,3-digidro-1,3,4-oksadiazol-2-tionlar va ularning 3-morfolinometil hosilalari sintezi va tabiiy sharoitda ularning yallig'lanishga qarshi faollik natijalari tavsiflangan. Sinab ko'rilgan birikmalarning aksariyati yallig'lanishga qarshi ta'sir ko'rsatdi, ularning faolligi va ularning bazilari atsetilsalitsil kislotasiga qaraganda ancha faolligi xulosa qilingan.



5- (6-metil-2-almashingan-4-pirimidiniloksimetil) -2,3-digidro-1,3,4oksadiazol-2-tionlar

1,3,4-Oksadiazol hosilalarining yuqorida keltirilgan biologik ta'sirlaridan tashqari u yurak-qon tomir kasalliklarida xam qo'llaniladi.

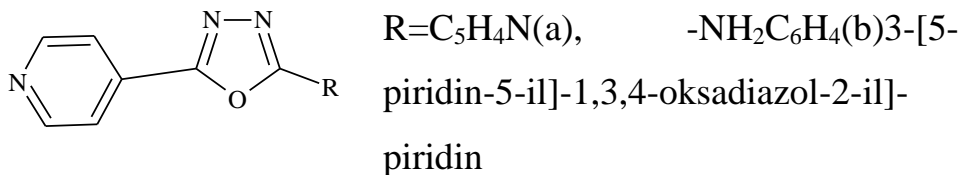
Yurak-qon tomir faoliyatini yaxshilaydigan, imidazol o'rnini bosadigan bir qator yangi oksadiazol hosilalari sintez qilingan va ularning faolligi gepotenziv va o'tkir toksikligi uchun in vivo sinovidan o'tkazilgan. Sinovdan o'tkazilgan birikmalardan imidazol o'rnini bosadigan bir qator yangi oksadiazol hosilalaridan quyida keltirilgan birikma, kolloidinning etalon preparatiga qaraganda eng yuqori faollikni namoyon etgan [96, 97].



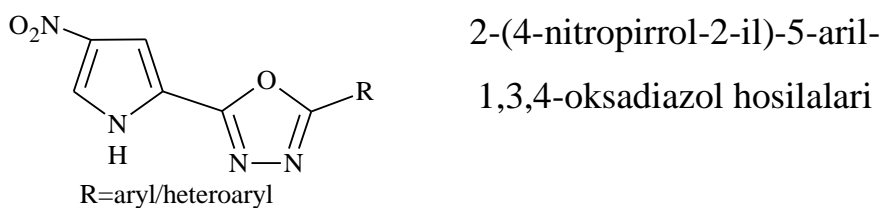
Imidazol o'rnini bosadigan bir qator yangi oksadiazol hosilalari

Ko'pgina adabiyotlar o'rganilganda bir qancha 1,3,4-oksadiazol hosilalari tuburkulezga qarshi faollikka ega ekanligi aniqlandi.

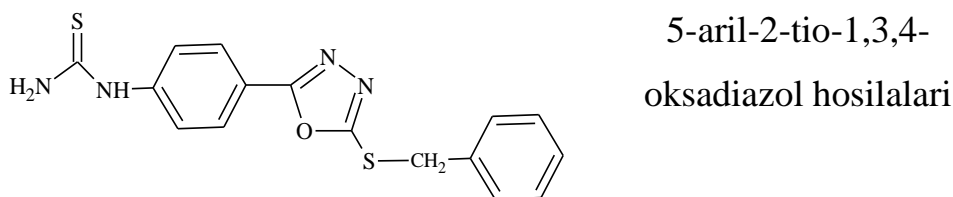
[98, 99] Adabiyotda 3-[5-piridin-5-il]-1,3,4-oksadiazol-2-il]-piridin qatori hosilalarining deyarli barchasi tuberkulezga qarshi faollikni namoyon qilgan, (a)- R= -C₅H₄N va (b)- R= -NH₂C₆H₄ birikmalari boshqa birikmalarga qaraganda yuqori faollikka egaligi xulosa qilingan.



[100] Mualliflar tomonidan sintez qiligan 2-(4-nitropirrol-2-il)-5-aril-1,3,4-oksadiazol hosilalari orasida birikma yuqori tuberkulezga qarshi (0,46 mkg / ml) faollikni namoyon etgan u standart izoniazid (0,40 mkg / ml) dan yuqori ko'rsatkichni namoyon etgan.

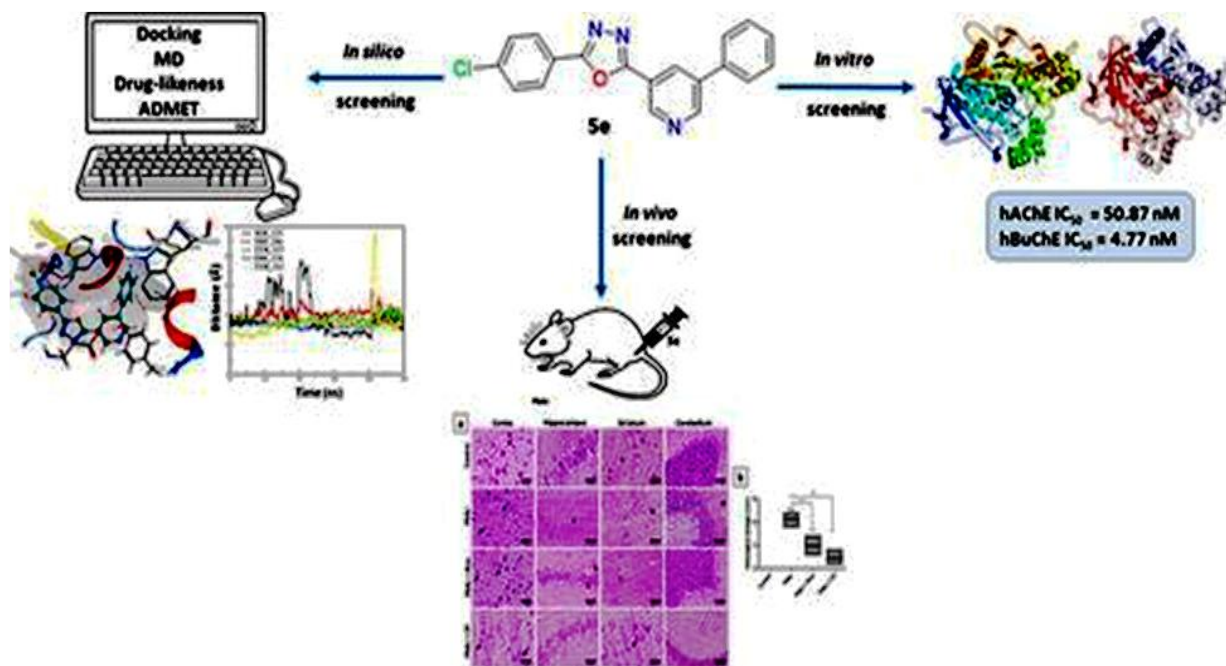


5-Aril-2-tio-1,3,4-oksadiazol hosilalari antimikrobakterial faollik va tuberkulez H37Rv mikrobakteriyasiga qarshi faolligi o'rganilgan. Sintez qilingan 30-37 chi birikmalar yuqori faollikni namoyon qilishi, 12,5 mkg/ml da 90% gacha ingibirlik qilishi aniqlangan [101].



[102- 104] Adabiyotlar tahlili olib borilganda ko'pgina sintez qilingan birikmalarning farmakologik ta'siri molekulyar doking usuli bilan o'rganilganligiga guvohi bo'ldik. Molekulyar doking uchun tanlab olingan ligandning inson organizmida optimal konformatsiyasi tanlab olinadi, bu holat organizmdagi ayrim jarayonlarni sinab ko'rish orqali baholanadi va qaysi

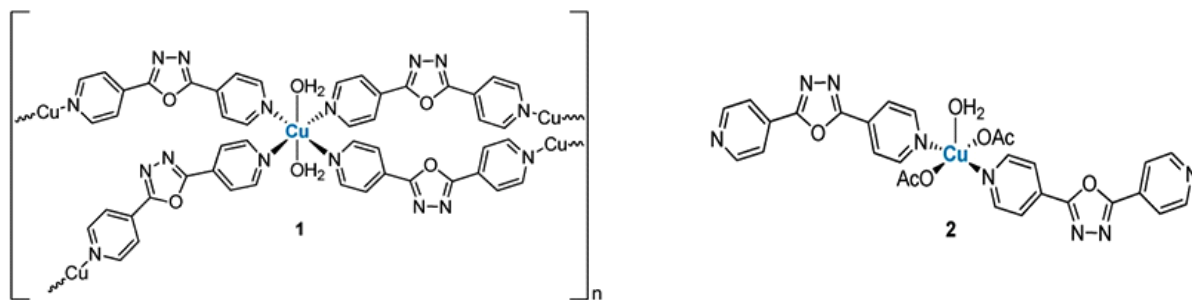
jarayonda bog‘lanishning erkin energiyasi minimal qiymatga ega bo‘lsa optimal konformatsion holatga erishilgan deb baholanadi. 1,3,4-oksadiazol hosilalarining saratonga qarshi va yallig‘lanish qarshi faolliklari dastlab ushbu in vivo usulda baholanib, so‘ngra in vitro usulida sichqonlarga ta’sir mexanizmlari o‘rganilib dori vositasi sifatida qo‘llanilib kelinmoqda.



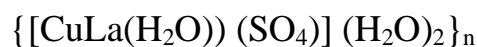
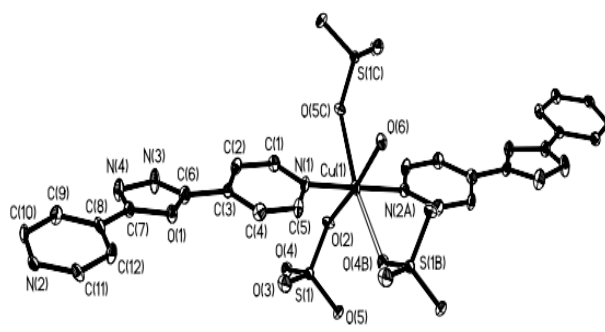
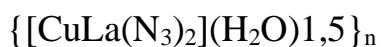
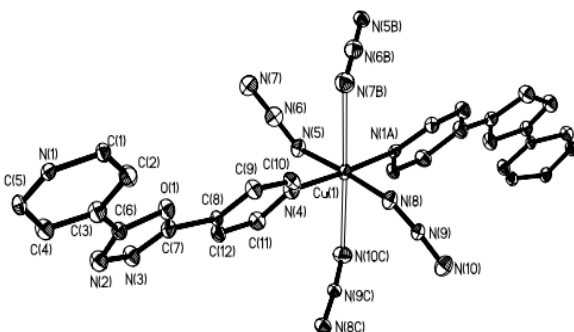
1.2-§. Oksadiazollarning kompleks birikmalari

Miao Du guruhi azolari 2000-yillarning boshlarida koordinatsion polimerlarning sintezi va tavsifiga asoslangan muvafaqqiyatli tadqiqot ishlarini yaratgan, [105- 112] ushbu ishlarda asosiy qurilish bloklari sifatida piridil almashingan 1,3,4-oksadiazollar ishlatilgan. Du va uning hamkasblarining g‘oyasi 1,3,4-oksadiazolli ligandlarni turli xil metallar bilan koordinatsiyalanishi, yangi materiallarga bo‘lgan qiziqishning ortishi bilan ko‘p qirrali koordinatsion birikmalari olingan. Birinchi kompleks birikma Cu^{2+} va 2,5 bis(4-piridil)-1,3,4-oksadiazol (La) yordamida sintezi ishlab chiqilgan bo‘lib, markaziy oksadiazol halqasi va ikkita 4-piridinlardagi azot atomlari orasida 137°C burchakka ega ekanligi o‘rganilgan. Bunda ikkita birikma olingan, reaksiya ligandning metanol/suvli eritmasi va Cu^{2+} ning perxloratli yoki atsetatli eritmasi 2:1 mol

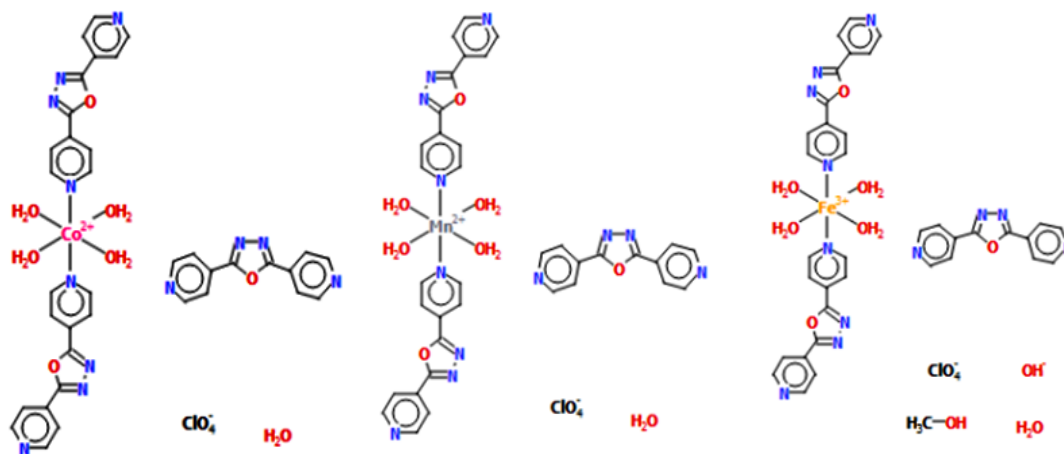
nisbatda aralashtirib $\{[\text{Cu}(\text{La})_2(\text{H}_2\text{O})_2](\text{ClO}_4)(\text{OH})(\text{H}_2\text{O})_{2,5}\}_n$ va $[\text{Cu}(\text{La})_2(\text{OAc})_2(\text{H}_2\text{O})](\text{H}_2\text{O})_2(\text{CH}_3\text{OH})$ mos ravishda olingan. Xuddi shu reaksiya perxlorat tuzining o'rniga Cu^{2+} atsetat yordamida amalga oshirilganda koordinatsion polimerlarni olishmagan, ammo kutilmagan mononuklyar kompleks, bu yerda Cu^{2+} markaziy atom ikkita oksadiazol ligandlari bilan koordinatsiyalanadi. Ikkita atsetat anioni va bitta suv molekulasi apikal holatda koordinatsiyalangan.



$\{[\text{Cu}(\text{La})_2(\text{H}_2\text{O})_2](\text{ClO}_4)(\text{OH})(\text{H}_2\text{O})_{2,5}\}_n$ muhim ahamiyatga ega ekanligini hisobga olgan holda, Miao Du ushbu kompleks birikmaga anion almashinuvi reaksiylari yordamida boshqa Cu^{2+} komplekslarini sintez qilgan. NaN_3 va Na_2SO_4 ning suvli eritmasiga $\{[\text{Cu}(\text{La})_2(\text{H}_2\text{O})_2](\text{ClO}_4)(\text{OH})(\text{H}_2\text{O})_{2,5}\}_n$ qo'shilgandan so'ng ikkita yangi $\{[\text{CuLa}_2(\text{N}_3)_2](\text{H}_2\text{O})_{1,5}\}_n$ va $\{[\text{CuLa}_2(\text{H}_2\text{O})](\text{SO}_4)](\text{H}_2\text{O})_2\}_n$ birikma olindi. Ikki yangi birikmaning kristall tuzilishida anion qatlamlari bilan bog'langan chiziqli cheksiz $[-\text{CuL}_2-]_n$ zanjirlar mavjudligi aniqlangan [107].



Keyingi ishlarda ham ayni ligand bilan Mn^{2+} , Fe^{2+} , Fe^{3+} , Co^{2+} va Zn^{2+} lar ishtirokida kompleks birikmalar sintez qilingan.

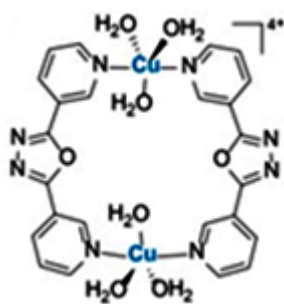


[CoLa₂(H₂O)₄]

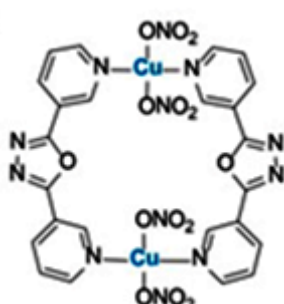
[MnLa₂(H₂O)₄]

[FeLa₂(H₂O)₄]

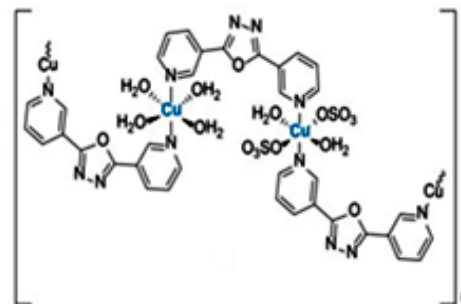
Du va uning hamkasblari bundan tashqari boshqa oksadiazol hosilasi asosida sintez olib borgan, yani 2,5 bis(3-piridil)-1,3,4-oksadiazol (Lb) ishtirokida Cu²⁺ ning [Cu₂(Lb)₂(H₂O)₆](ClO₄)₄, [CuLb(NO₃)₂]₂(CH₃CN)₂, [Cu₂(Lb)₂(H₂O)₆(SO₄)₂]_n komplekslari sintez qilingan, bunda erituvchi (CH₃CN-H₂O) va metall/ligand (1:1) nisbatda turli xil anionlar (ClO₄⁻, NO₃⁻ va SO₄²⁻) ishtirokida olib borilgan [106]. Bunda uch xil yangi kompleks birikma: [Cu₂(Lb)₂(H₂O)₆](ClO₄)₄, [CuLb(NO₃)₂]₂(CH₃CN)₂ va [Cu₂(Lb)₂(H₂O)₆(SO₄)₂]_n sintez qilingan.



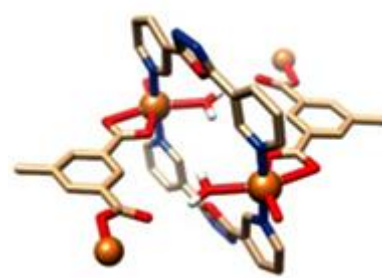
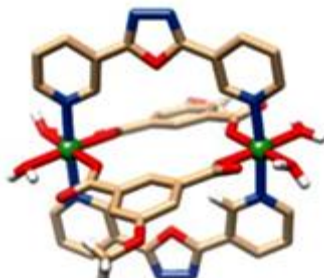
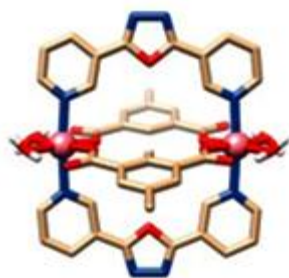
[Cu₂(Lb)₂(H₂O)₆](ClO₄)₄



[CuLb(NO₃)₂]₂(CH₃CN)₂

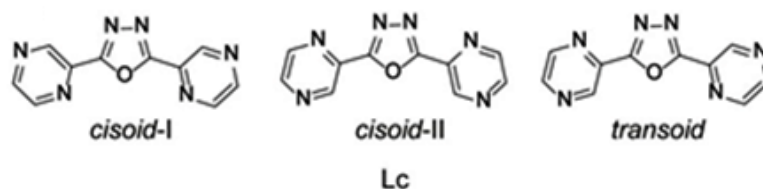


[Cu₂(Lb)₂(H₂O)₆(SO₄)₂]_n

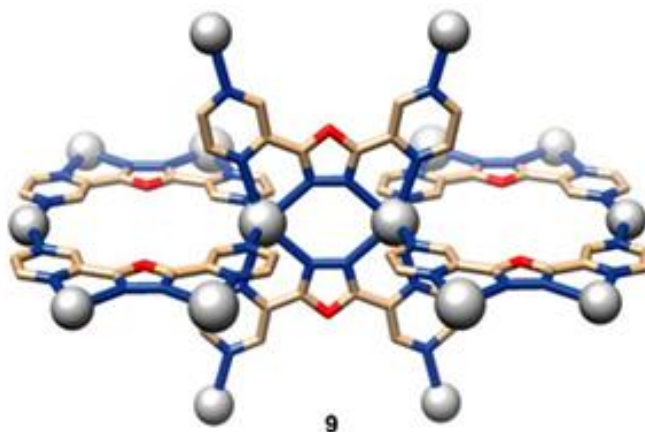


Co²⁺, Ni²⁺ va Cu²⁺ ning 2,5 bis(3-piridil)-1,3,4-oksadiazol (Lb) ishtirokida olingan kompleksining tuzilishi.

2005 Yilda Du va boshqalar Ag(I)(X=BF₄⁻, AsF₆⁻, CF₃SO₃⁻ va SbF₆⁻) tuzlarining boshqa oksadiazolli ligand, 2,5 bis (pirazin) -1,3,4 -oksadiazol (Lc) bilan reaksiyasi o'rganilgan. Ushbu oksadiazol hosilasining La va Lb ga qaraganda donor markazlari ko'pligi turli xil metallokomplekslar olishga imkon yaratishi sababli tanlab olingan [108]. CHCl₃/OH(CH₂)₂OH/CH₃OH muhitida olingan kompleks birimlari umumiy holatda {{Ag(Lc)]-X·erituvchi}_n ko'rinishga ega bo'lgan to'rtta polimer kompleks birikma olingan. {{Ag(Lc)]-X·erituvchi}_n kompleks birimada har bir kumush atomi ikkita ligand bilan (sisoid II konfiguratsiyasida) pirazin azot atomi va oksadiazol azot atomi va ikkita boshqa ligandlardan yana ikkita pirazindagi azot atomlari bilan koordinatsiyalanishi bilan hosil bo'ladi. Shu bilan birga, xar bir oksadiazol ligand to'rtta kumush atomlari bilan koordinatsiyalanib, psevdotetraedrik tugunlarni hosil qilgan[108].



2,5 bis (pirazin) -1,3,4-oksadiazol (Lc) ligand cstrukturasi.

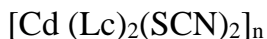
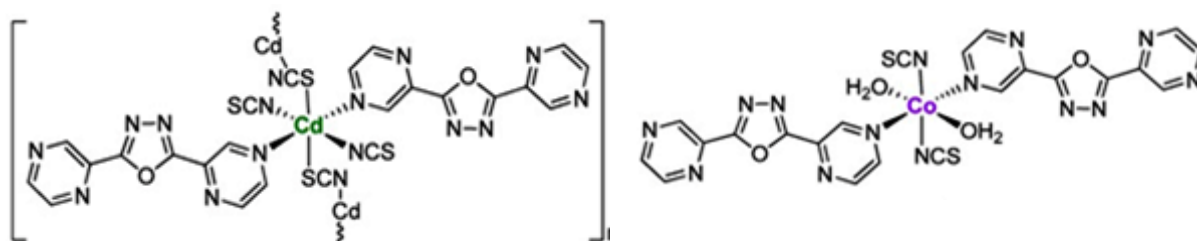


Ag(I) bilan 2,5 bis (pirazin) -1,3,4-oksadiazolning polimer kompleks birikmasi

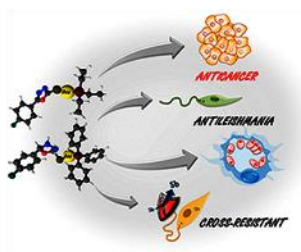
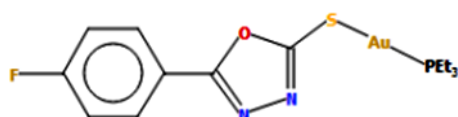
Bir yil o'tgach, Du va uning hamkasblari tiotsianat ishtirokida Lc ligandi va Cd(II) yoki Co(II) perxlorat tuzlari yordamida yangi sintezni amalga oshirdilar[109].

CH₃CN/H₂O da teskari sovutgich ulangan holatda 30 daqiqa davomida stixiometrik nisbatda 1:1:3 nisbatda (metall: ligand: SCN) aralashtirib

qizdirilganda ikki xil kompleks birikma olingan: $[Cd(Lc)_2(SCN)_2]_n$ va uch o'lovli vodorod bog'lanish mavjud bo'lgan $[Co(Lc)_2(SCN)_2(H_2O)_2](CH_3CN)_2(H_2O)_2$ kompleks birimlari xosil bo'lgan. $[Cd(Lc)_2(SCN)_2]_n$ kompleks birikma rentgenstruktur tahlil usuli yordamida o'rganilganda, bu yerda Cd^{2+} bilan Lc bilan hosil qilgan kompleks birikmasi oktoedrik shaklda, ushbu ligand sizoid-I ning shakllanishida monodentat ligand sifatida koordinatsiyalangan (kumush ionlari holatida bo'lganidan farq qilgan). Bundan farqli o'laroq, $[Co(Lc)_2(SCN)_2(H_2O)_2](CH_3CN)_2(H_2O)_2$ kompleksning rentgenstruktur tahlil natijalari shuni ko'rsatdiki, markaziy Co^{2+} atomi ikkita Lc ligandlari bilan monodentant holatda, ikkita azot atomlari SCN va ikkita suv H_2O molekullari bilan koordinatsiyalangan [109].



Rakka va leyshmaniyaga qarshi vosita sifatida (5-(4-ftorfenil)-1,3,4-oksadiazol-2-tion va (5-(4-nitrofenil)-1,3,4-oksadiazol-2-tiolato)trifenilfosfinning Au^+ bilan kompleks birikmalari sintez qilingan [108].



(5-(4-ftorfenil)-1,3,4-oksadiazol-2-tiolato)-(trietilfosfin)-oltin(I)

Fazoviy guruh: P 1(2),

Yacheyka parametralari:

$$a=7,8973(2) \text{ \AA}$$

$$b=11,0693(3) \text{ \AA}$$

$$c=20,5122(5) \text{ \AA},$$

$$\alpha=96,043(2)$$

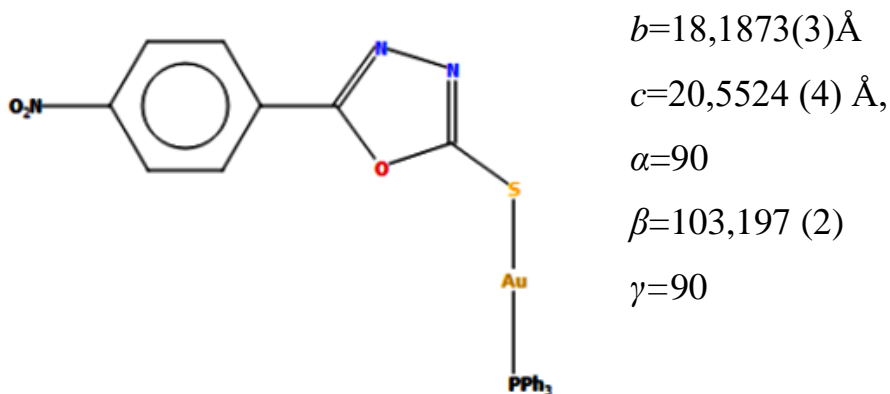
$$\beta=100,128(2)$$

$$\gamma=94,847(2)$$

Fazoviy guruh: P 2₁/n (14),

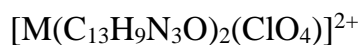
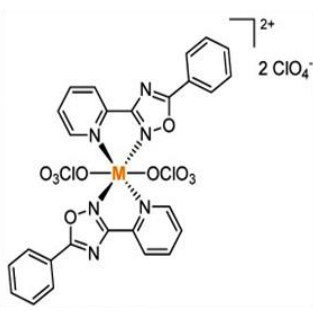
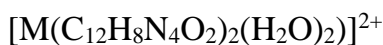
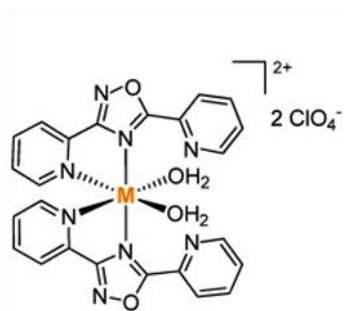
Yacheyka parametralari:

$$a=13,2854(2) \text{ \AA}$$

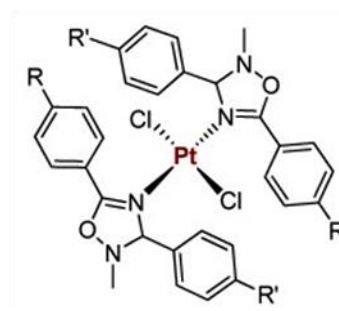


(5-(4-nitrofenil)-1,3,4-oksadiazol-2-tiolato)trifenilfosfin-oltin(I)

2010 va 2011 yillar orasida Terenzi va boshqalar Ni^{2+} , Cu^{2+} va Zn^{2+} larning 3,5-bis-(2-piridil)-1,2,4-oksadiazol va 3-(2-piridil)-5-(fenil)-1,2,4-oksadiazollar asosida, $[\text{M}(\text{C}_{12}\text{H}_8\text{N}_4\text{O}_2)_2(\text{H}_2\text{O})_2]^{2+}(\text{ClO}_4)_2$, $[\text{M}(\text{C}_{13}\text{H}_9\text{N}_3\text{O})_2(\text{ClO}_4)]^{2+}(\text{ClO}_4)_2$ ($\text{Cu}(\text{II})$, $\text{Zn}(\text{II})$, $\text{Ni}(\text{II})$) va $[\text{Pt}(\text{C}_{17}\text{H}_{20}\text{N}_2\text{O}_3)_2\text{Cl}_2]$, $[\text{Pt}(\text{C}_{14}\text{H}_{10}\text{N}_2\text{O}_2)_2\text{Cl}_2]$ seriyalari sintez qilingan [20, 109-112].



$\text{M}=\text{Cu}(\text{II}), \text{Zn}(\text{II}), \text{Ni}(\text{II})$

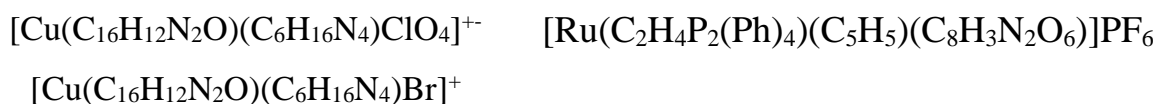
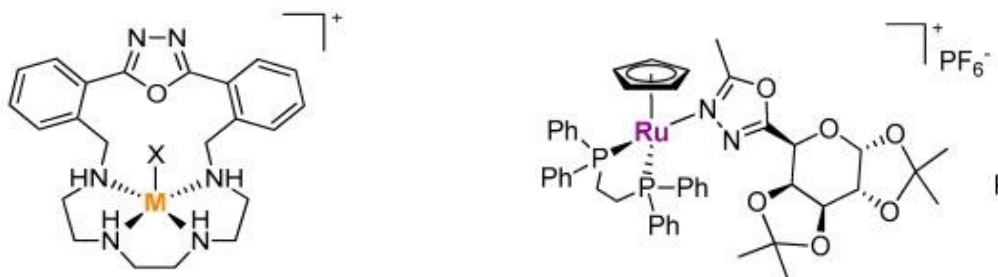


$\text{R}=\text{OCH}_2\text{CH}_2\text{OCH}_3, (\text{H})$

$\text{R}'=\text{H} (\text{OH})$

Mualliflar $[\text{Cu}(\text{C}_{13}\text{H}_9\text{N}_3\text{O})_2(\text{ClO}_4)]^{2+}(\text{ClO}_4)_2$ shish kasalligiga qarshi faollikni namoyon qiluvchi kompleks birikmaga etibor qaratishga qaror qilishgan. Ligand juda faol emas, $[\text{Cu}(\text{C}_{12}\text{H}_8\text{N}_4\text{O}_2)_2(\text{H}_2\text{O})_2]^{2+}(\text{ClO}_4)_2$ kompleks birikmasi har ikkala hujayra hayotiyiligini pasaytirgan va 24 soatlik davolanishdan so'ng IC 50 qiymatini taxminan 10 mkM tashkil etgan. Bundan tashqari, [113, 114] adabiyotda hujayra morfologik tahlili va oqim sitometriyasi tahlilida saraton hujayralarining hujayralar siklining G0/G1 bosqichida joylashgan DNK parchalanishi bilan apoptotik o'limi aniqlangan

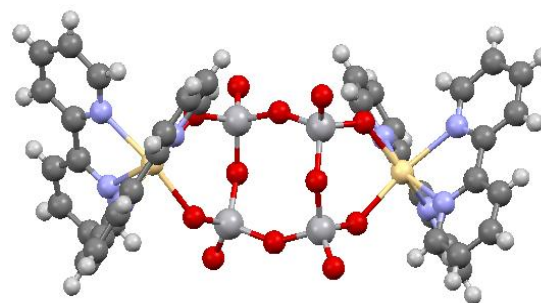
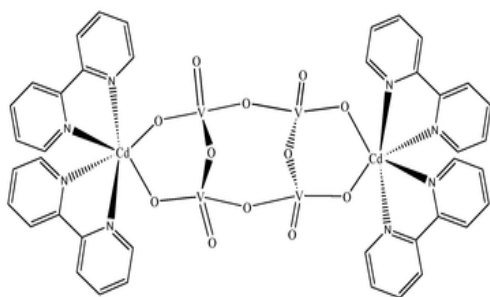
[109-112] Adabiyotlarda sintez qilingan neytral trans-platina(II) li hosilalari $[\text{Pt}(\text{C}_{17}\text{H}_{20}\text{N}_2\text{O}_3)_2\text{Cl}_2]$ va $[\text{Pt}(\text{C}_{14}\text{H}_{10}\text{N}_2\text{O}_2)_2\text{Cl}_2]$ sisplatinaga chidamli hujayralar modellarida nisbatan faol bo'lgan, tadqiqotchilar fikriga ko'ra geterotsiklik ligandlar sisplatinaga nisbatan qo'shimcha ta'sir o'tkazishga imkon bergan.



Yaqinda Fernandes guruhi 1,3,4-oksadiazol N-koordinatsion markazlari, mos ravishda $[\text{Cu}(\text{C}_{16}\text{H}_{12}\text{N}_2\text{O})(\text{C}_6\text{H}_{16}\text{N}_4)\text{ClO}_4]^+$, $[\text{Cu}(\text{C}_{16}\text{H}_{12}\text{N}_2\text{O})(\text{C}_6\text{H}_{16}\text{N}_4)\text{Br}]^+$ va $[\text{Ru}(\text{C}_2\text{H}_4\text{P}_2(\text{Ph})_4)(\text{C}_5\text{H}_5)(\text{C}_8\text{H}_3\text{N}_2\text{O}_6)]\text{PF}_6$ bilan ishlaydigan laktatsiya qilingan galaktozaning fruktoza va uglevodlarning hosilalari ligandlari bilan 5-siklopentadienil, Ru(II) yangi kompleks birikmalarining sintezi va sitotoksilligi haqida ma'lumot berishgan [115].

1.3-§. Metallovanadatlar, olinishi, xossalari

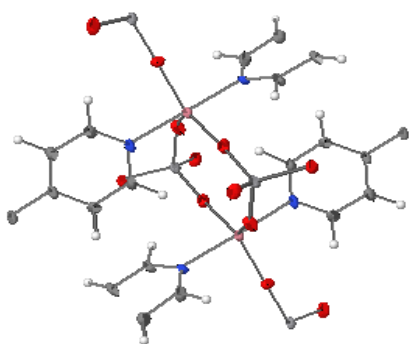
Ushbu ishda biz 1,3,4-oksadiazol hosilalarining vanadatlar ishtirokidagi geterometalli kompleks birikmalarni sintezini amalga oshirishimiz uchun adabiyotlardagi metallovanadatlarning sintezi tahlil qilindi: [116] mualliflar tomonidan 0,25 mmol $\text{Cd}(\text{Oac})_2 \cdot 2\text{H}_2\text{O}$ va 0,5 mmol 2,2' biperidin va NH_4VO_3 ishtirokida 1-tetravanadat bis[bis(2,2' biperidin)-kadmiy(II)] kompleks birikma sintez qilingan. Sintez qilingan aralash metalli kompleks birikmaning tuzilishi RSA yordamida o'rganilgan.



$M_r = 1245.30$; Ortorombik, $a = 16.287(7)\text{\AA}$; $b = 17.201(9)\text{\AA}$; $c = 34.070(16)\text{\AA}$;
 $V = 9545(8)\text{\AA}^3$; $Z = 8$

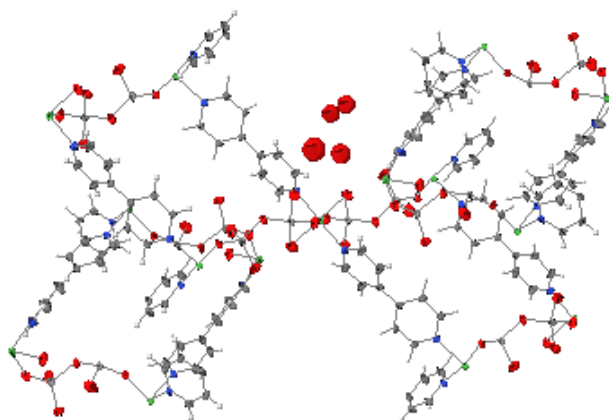
Poli[[kobalt(II)- μ -(geksaoksavanadium- $O:O'$)]- μ -bipiridin- $N:N'$], $[\text{Cd}_2\text{V}_4\text{O}_{12}(\text{C}_{10}\text{H}_8\text{N}_2)_4]$ tarkibli ikki simmetriya o'qiga ega molekula sintez qilingan. $\{\text{V}_4\text{O}_{12}\}$ halqasi ikkita $\{\text{Cd}(\text{C}_{10}\text{H}_8\text{N}_2)_2\}$ bo'laklari bilan qo'shni vanadiyli qismning okso- guruhleri orqali bog'langan. $\text{C}_{10}\text{H}_8\text{N}_2$ ligandlari ishtirokida π - π o'zaro ta'siri tufayli molekula a va b tekisligiga parallel qatlamlar hosil qilib yig'iladi.

Gidrotermal usulda $[\text{CoV}_2\text{O}_6(\text{C}_{10}\text{H}_8\text{N}_2)]$ kompleksi olingan va element tahlil, IQ spektroskopiya RSA fizik-kimyoviy tadqiqot usullarida o'rganilgan. Struktura 4,4'-bipiridin ligandlari orqali uch o'lchamli tarmoqlangan $[\text{Co}_2\text{V}_4\text{O}_{12}]$ bimetallic oksidli qatlamidan tuzilgan [117].



Fazoviy guruh: P1,
 Yacheyka parametrlari:
 $a = 8.1634(9)\text{\AA}$;
 $b = 8.5720(10)\text{\AA}$;
 $c = 10.1710(10)\text{\AA}$;
 $\alpha = 87.079(5)$;
 $\beta = 75.833(4)$;
 $\gamma = 75.233(6)$;
 $V = 667.2(2)\text{\AA}^3$; $Z = 2$

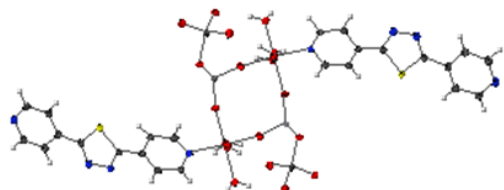
Gidrotermal usulda [118, 119] adabiyotda poli[[[diakva(μ -4,4' bipiridil) - dinikel(II)] bis(μ -4,4' bipiridil)-di- μ -geksaoksodivanadat(2-)] 2.5-gidrat], $[\text{Ni}_2(\text{V}_2\text{O}_6)_2(\text{C}_{10}\text{H}_8\text{N}_2)_3(\text{H}_2\text{O})_2] \cdot 2.5\text{H}_2\text{O}$, sintez qilingan hamda element, IQ- va RS tahlil usullari yordamida o'rganilgan.



Fazoviy guruh: $C2/c$,
 Yacheyka parametrlari:
 $a=30.3799(9)\text{\AA}$
 $b=11.2402(3)\text{\AA}$
 $c=11.5366(3)\text{\AA}$
 $\beta=105.9610(10)$
 $V=3787.6(2)\text{\AA}^3$
 $Z=4$

Struktura $[V_2O_6]$, $[Ni(4,4'\text{-bipy})_4O_2]$ va $[Ni(H_2O)_2(4,4'\text{-bipy})_2O_2]$ va kristalizatsion suvdan tashkil topgan. Ni atomi va bitta bipiridil gruppasi simmetriya markazida joylashgan. $[Ni(H_2O)_2(4,4'\text{-bipy})_2O_2]$ kompleks birikma quyi kategoriyali triklin singoniyali, iikilamchi simmetriya o'qiga kompleks birikma hosil qilgan.

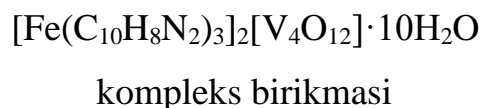
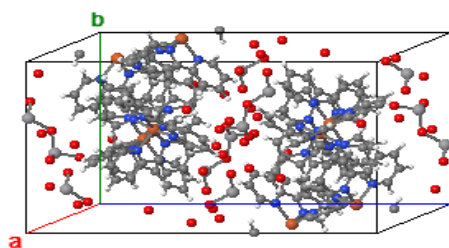
Kobalt atsetat, V_2O_5 va 2,5-bis(4-piridil)-1,3,4-tiadiazollarning gidrotermal usulda sintezi olib borilganda, $[Co(V_2O_6)(C_{12}H_8N_4S)(H_2O)_3]$ -katen-poli[[bis[triakva[2,5 bis(4-piridil)-1,3,4-tiadiazol]kobalt(II)]]-14-tetranadat] tarkibli kompleks birikmasi, Co^{3+} oksidlanish darajasiga ega bo'lgan buzilgan oktaedrik polimer tuzilishga ega bo'lgan, geterometalli kompleks sintez qilingan [120]. Ushbu kompleks birikmada koordinatsiya piridin halqasidagi azot atomi orqali, tetranadat qism esa ikkitadan kislorod atomlari orqali borgan.



Katen-poli[[bis[triakva[2,5 bis (4-piridil)-1,3,4-tiadiazol] ko-balt(II)]]-14-tetranadat] kompleks birikmasi

[121] mualliflar tomonidan metavanadat, temir(II) tuzlari va azotdonor saqlagan xelatlanuvchi ligandning gidrotermal sintezi amalga oshirilganda (96) $[Fe(C_{10}H_8N_2)_3]_2[V_4O_{12}] \cdot 10H_2O$ tarkibli, simmetriya markazida bitta $[V_4O_{12}]$ siklik vanadat mavjud bo'lgan, ikkita diskret oktaedr $[Fe(C_{10}H_8N_2)_3]^{2+}$ lari orqali qurshalgan $10H_2O$ solvat molekula bilan qurshalgan murakkab tuzilishli kompleks birikma. Anion va koordinatsion kation qismlari ketma-ketlikda

joylashib alohida qatlamlar hosil qiladi. Anion qatlamida suv molekulari solvatlangan holatda bo‘ladi va anion qism bilan vodorod bog‘lanish orqali bog‘langan.



O‘rganib chiqilgan adabiyotlar tahlili shuni ko‘rsatdiki, 1,3,4-oksadiazol hosilalari asosidagi geterometalli kompleks birikmalar haqida adabiyotlarda xech qanday ma'lumotlar mavjud emas, gomometalli kompleks birikmalari esa kam o‘rganilgan, ularning spektral xossalari, tarkibi, komplekslarning amaliyotdagi xossalari va ularning barqarorligi haqidagi yetarli holda o‘rganilmagan.

Ushbu tadqiqot ishini amalga oshirishda biz inson organizmi uchun muhim ahamiyatga ega bo‘lgan mikrobiogen elementlarni tanlab oldik. Ulardan vanadiy inson organizmida energiya ishlab chiqarishda, uglevodlar va yog‘larning metabolizmida, xolesterin ishlab chiqarishni kamaytirishda, ateroskleroz va yurak-qon tomir kasalliklarini davolashda, asab tizimini normal ishlashida, hujayralar bo‘linishini boshqarishda va saraton, qandli diabetga qarshi vosita sifatida ishlatishda muhim ahamiyatga ega. Kobalt esa tirik organizmlardagi turli oqsil moddalari, aminokislotalar, platsenta va boshqalar bilan bog‘langan bo‘ladi hamda nixoyatda katta ahamiyatga ega bo‘lgan vitamin B₁₂ (kofaktor) tarkibiga kiradi. Kobalt qon hosil bo‘lishida ishtirok etadi. U temir ionlarining yangi hosil bo‘layotgan qizil qon tanachalardagi gemoglobin tarkibiga kirishini jadallashtiradi. Shu sababli kamqonlik kasalliklarida temirli moddalar bilan birgalikda Cu²⁺ va Co²⁺ tuzlarini qo‘llash yaxshi natijalar beradi. Nikel arginaza fermentini faollashtiradi va oksidlanish jarayoniga ta’sir ko‘rsatadi. Rux (zink) – barcha fermentlar tarkibiga kiruvchi yagona metall bo‘lib, uning o‘rnini boshqa metall bosa olmaydi. Rux ko‘plab modda almashinuvi jarayonlarida ishtirok etib, tanadagi barcha hujayralarning normal ishlashini ta’minlaydi. Rux insulin gormoni tarkibiga

kirib, uning gipoglikemik ta'sirini oshiradi. Qand kasalligida siydik orqali organizmdan chiqib ketadigan rux miqdori normadagidan 3-4 barobar ortiq bo'ladi. Bu biogen elementning ahamiyatli xususiyatlaridan yana biri uning organizmning immunitetni oshirishda ishtirok etishidir. Mis esa qon hosil bo'lish jarayonida ishtirok etadigan elementdir. U eritrotsitlar tarkibiga kirib, ularning yetilishiga va gemoglobin sinteziga ijobiy ta'sir ko'rsatadi. Bunda mis ta'sirida temirning almashinish jarayonlarining faollashuvi kuzatiladi. Mis organizmdagi karbon suv almashinuviga ta'sir etadi.

I bob bo'yicha xulosalar

Adabiyotlar tahlili shuni ko'rsatadiki, Yaponiya, Avstriya, Turkiya hamda Chexiyaning nufuzli universitetlarida oksadiazol hosilalari sintezi va ularning xossalari o'rganish ustida ko'plab ilmiy ishlar olib borilmoqda. Oksadiazol hosilalarining saraton, yallig'lanish, infeksiya, diabet, pufak fibrozi, tutqanoqqa qarshi, tuberkulezga qarshi biologik foalligi yuqoriligi sababli oxirgi vaqtda ushbu birikmalarga qiziqish ortmoqda. Nashr etilgan ishlarda ligand tarkibidagi radikallarning turlichaligi va qo'shimcha ligandlar tanlashda aniq birlik bo'lmaganligi sababli, metall va ligand tabiatiga qarab komplekslarning tuzilishi va xossalari, kompleks hosil qilish xarakterini kuzatish qiyin. Oksadiazol hosilalarining tuzilishi va xossalari batafsil darajada o'rganilgan va ularning yuqori amaliy ahamiyati hisobga olingan bo'lsada, 1,3,4-oksadiazol hosilalari koordinatsion kimyo nuqtai nazaridan yetarlicha o'rganilmagan.

Xozirgi kunga qadar oksadiazol hosilalarining gomometalli kompleks birikmalari tadqiq etilgan, lekin adabiyotlarda Co(II), Ni(II), Cu(II), Zn larning V(V) bilan geterometalli kompleks birikmalari haqida ma'lumotlar yo'q. Geterometalli kompleks birikmalarni sintez qilishda vanadiy metalli katta qiziqish uyg'otadi. Vanadiy inson organizmida energiya ishlab chiqarishda, uglevodlar va yog'larning metabolizmida, ateroskleroz va yurak-qon tomir kasalliklarini davolashda, xolesterin ishlab chiqarishni kamaytiradi, asab tizimini normal ishlashi uchun zarur mikroelement hisoblanadi. Shu munosabat bilan 1,3,4-oksadiazol hosilalari asosidagi gomo- va geterometalli kompleks birikmalarni sintez qilish va ularning fizik-kimyoviy va biologik xossalari aniqlash muhim ilmiy ahamiyatga ega.

II BOB. 1,3,4-OXSADIAZOL HOSILALARINING Co^{2+} , Ni^{2+} , Cu^{2+} , Zn^{2+} va VO_2^+ BILAN GOMO- VA GETEROMETALLI KOMPLEKS BIRIKMALARI SINTEZI

2.1-§. Reaktivlar, tadqiqotning metodlari va tahlillari

Kompleks birikmalar sintez qilish uchun metallarning kristalizatsion holatdagi tuzlaridan: Co^{2+} , Ni^{2+} , Cu^{2+} , Zn^{2+} xlorid, atsetat, nitratlari hamda NH_4VO_3 tuzining «a.u.t.» markasidan foydalanildi. Foydalanilgan organik erituvchilar ma'lum metodika [122] bo'yicha tozalandi va quritildi.

Sintez qilingan birikmalarning elementlar tahlili va mikrostrukturasi Oxford Instruments (Buyuk Britaniya) tizimli mikro analizatorlari yordamida JSM-7001 firma JEOL skanerlovchi-elektron mikroskopida (Yaponiya) tadqiqotlar o'tkazildi. 30 kV kuchlanish bilan 1,2 nm gacha bo'lgan mikroskopning o'lchamlari (ikkilamchi elektronlarda izolyasiya), 0,5dan 30 kV gacha tezlashtirish, $\times 10$ dan $\times 1000\ 000$ gacha kattalashtirish, 20 nA gacha nur oqimida, B dan U gacha element tahlili olib borildi. O'rganilgan namunalar Jeol (Yaponiya) va Gatan (AQSh) uskunalari majmuasida amalga oshirildi. Natijalar maxsus dasturlar yordamida olingan: elementlarni sifat va miqdoriy tahlil qilish uchun – INCA Point & ID, xaritalash - Mapping va QuantMap, bosqichlarni miqdoriy taqsimlash va kiritish – Feature dasturlarida amalga oshirildi. Element tahlil natijalari Ilg'or texnologiyalar markazi laboratoriyasida olindi.

Birikmalarning yutilish infraqizil spektrlari 400-4000 cm^{-1} soha oralig'ida Avatar System 360 FT- IR va Rrotege 460 Magna-IR technology firma Nicolet Instrument Corporation (AQSh) spektrofotometrda KBr tabletka ko'rinishidagi diametri 7 mm bo'lgan namunasidan va 4 cm^{-1} aniqlikda foydalanib o'rganildi. IQ-spektr natijalari O'zR FA O.S.Sodiqov nomidagi Bioorganik kimyo instituti "Kompleks birikmalar kimyosi" laboratoriyasida olindi.

Sintez qilingan kompleks birikmalar DQES tahlili UV-2400 (Shimdazu, Yaponiya) spektrofotometrda olindi. Kukun shaklidagi namunalar optik uzunligi 2 mm bo'lgan kvarts kyuvetaga joylashtirildi va qaytarilish namunalarining DQES spektrlari 200-880 nm to'lqin uzunligida qayd etildi. DQES spektrlari TKTI Noorganik moddalar kimyoviy texnologiyasi fakulteti "Fizik-kimyoviy tahlillar" laboratoriyasida olindi.

Birikmalar strukturasi aniqlash Malvern Panalytical Empyrean kukunli difraktometri yordamida amalga oshirildi. XRD ma'lumotlar CuK_α radiatsiya bilan ($\lambda=1.54\text{\AA}$) yordamida qayd qilindi. Bu tajribada nurlanish generatorining tezlanuvchan kuchlanishi 45 kV, tok emissiyasi esa 40mA qilib belgilandi. Rentgen difraksiyon rentgenogrammalari $2\Theta = 20^\circ\text{-}120^\circ$ da Breggo – Brentano nur geometriyasida doimiy ravishda 0,33 daraja / min skanerlash tezligi bilan qayd etildi. Olingan natijalar tahlili VESTA dasturi orqali amalga oshirildi. Rentgenogrammalar O'zRFA Yadro fizikasi instituti "Qattiq jismlar fizikasi" laboratoriyasida olindi.

Termik tahlil termodinamik asbob – Netzsch Simultaneous Analyzer STA 409 PG (Germaniya), K-tipidagi (Low RG Silver) termobug' va alyuminiyli tigelda olib borilgan. Hamma o'lchashlar inert azot atmosferasida azotning oqim tezligi 50ml/min.da olib borilgan. Tahlilning harorat oralig'i $20\text{-}400^\circ\text{C}$, qizdirish 5K/min tezlikda olib borilgan. Bir o'lchashda namuna miqdori 6-10 mg. O'lchovchi sistema standart moddalar to'plami KNO_3 , In, Bi, Sn, Zn, CsCl yordamida tebrandi. Bir vaqtning o'zida namunaning massasi, komplekslarning parchalanish massasi va termik barqarorligi temperatura ortib borishi bilan o'zgarishi aniqlandi.

RSA tahlil Rigaku oxford diffraction XtaLAB Synergy gibrid piksellli massiv detektorli, tezkor kappi goniometri bilan muhrlangan naychadagi bir yoki ikkita mikrofokusli rentgen nurli difraktometrda amalga oshirildi. Tezkor kappi goniometri skanerlash tezligi ma'lumotlarni sekundiga 10° ga olishga qodir. RSA tahlil natijalari O'zR FA O.S.Sodiqov nomidagi Bioorganik kimyo instituti "Kompleks birikmalar kimyosi" laboratoriyasida "Rigaku oxford diffraction XtaLAB Synergy" rentgen nurli difraktometrda olindi.

Rentgenofluoressent o'lchashlar energodispersion rentgenofluoressent analizator NEX CG Applied Rigaku Technologies spektrometri yordamida amalga oshirildi. Ushbu spektrometr qotishma, kukun hamda suyuq holatdagi namunalarni ham tekshirib sifat va miqdor natijalarini beradi. Rentgenofluoressent tahlil TKTI Noorganik moddalar kimyoviy texnologiyasi fakulteti "Fizik-kimyoviy tahlillar" laboratoriyasida olib borildi.

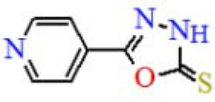
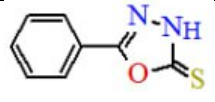
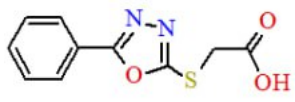
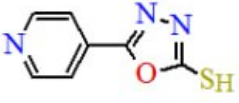
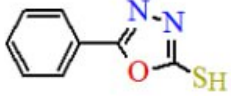
ESI-mass-spektrometriya natijalari O‘zR FA Geologiya institutida ESI-mass-spektrometriya (elektrosprey) metodida, “6420 Triple Quad LC/MS (Agilent Technologies, USA)” mass-spektrometida olindi. Namunalarning mass-spektrlari musbat ionlanish usuli bilan ro‘yxatga olindi. Fragmentor kuchlanishi 5.0 V, qurutuvchining gaz sarfi 12l/min, gaz temperaturasi 300 °C, purkagich ninasidagi gaz bosimi 20 psi, bug‘latuvchidagi temperatura 300 °C, kapillyardagi kuchlanish 4000 V da mass-spektr tahlil natijalari olindi.

Metall ionlari bilan ligandlarning koordinatsiyalanish jarayonlarini o‘rganish bo‘yicha tajriba natijalarini yanada mukammalroq izohlash uchun elektron strukturalarini hisoblash amalga oshirildi. Molekulaning kvant-kimyoviy hisoblashlari Gaussian09 programmasining B3LYP nazariyasi doirasidagi LanL2DZ bazisida to‘liq geometrik parametrlarni optimatsiya qilish orqali o‘rganildi.

Komplekslarning antioksidantlik faolligi Agilent Technologies Cary 60 UV-Vis spektrofotometrda aniqlandi. Moddalarning antioksidantlik faolligi *in vitro* usulida aniqlanadi. Antioksidantlik hususiyatlarini tadqiq qilish uchun 2ml 0,2 M li Na₂CO₃ va NaHCO₃ larning pH=10,65 bo‘lgan bufer tayyorlanadi, unga 56mkl 0,1%li adrenalningidroxlorid (epenifrin), 30 mkl antioksidant (preparat) solinadi va aralashtirilib spektrofotometr Cary 60 UV-Vis Agilent Technologies da o‘rganildi. Antioksidantlik faolligi O‘zR FA O.S.Sodiqov nomidagi Bioorganik kimyo institutida o‘rganildi, olingan komplekslarda korroziyaga karshi ingibitorlik xossasi mavjudligi aniqlandi.

2.2-§. Co²⁺, Ni²⁺, Cu²⁺, Zn²⁺ ionlarning 1,3,4-oksadiazol hosilalari asosidagi kompleks birikmalari sintezi

Ushbu tadqiqot ishini amalga oshirishda quyidagi ligandlardan foydalanildi:

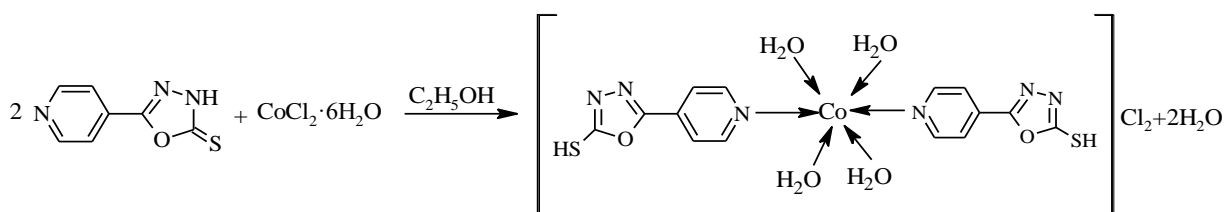
L ¹ -5-(4-piridil)-1,3,4-oksadiazol-2(3H)-tion/tiol	L ² -5-fenil-1,3,4-oksadiazol-2(3H)-tion/tiol	L ³ -2-karboksimetiltio-5-fenil-1,3,4-oksadiazol
		
		

L^{1,2} ligandlarda tautomeriya xodisasining mavjudligi, turli erituvchilarda eruvchanligi va erituvchi tabiatiga qarab tion yoki tiol holatda reaksiyaga kirishish ehtimolligi borligi sabab turli sintez usullari qo‘llanildi.

2.2.1. Co²⁺, Ni²⁺, Cu²⁺ va Zn²⁺ larning L¹ asosidagi kompleks birikmalari sintezi

L¹ asosida gomometalli kompleks birikmalarning sintezi:

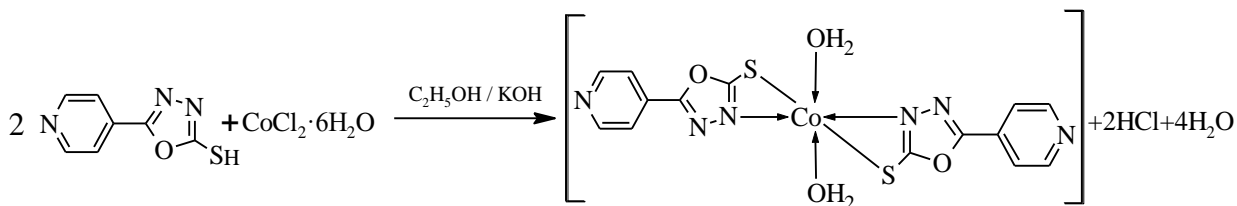
1-Usul. Co²⁺ xlorid kristallogidratning 5 ml 0,2 M li etanoldagi eritmasi ustiga 5 ml 0,4 M L¹ etanoldagi eritmasi tomichilatib qo‘shildi. Eritma teskari sovutgich ulangan holatda 1,5 soat davomida magnitli aralashtirgichda aralashtirilib, T=70°C da qaynatildi. Hosil bo‘lgan qizg‘ish-qo‘ng‘ir cho‘kma filtrlab ajratib olindi, etanolda bir necha marta yuvildi va ochiq havoda quritildi. T_s=240°C. Unum 69%.



2.1-Sxema. L¹ ning CoCl₂·6H₂O bilan kompleks birikmasi sintezi

Zn²⁺, Ni²⁺ va Cu²⁺ xlorid tuzlari ishtirokidagi sintez ham ushbu metodika bo‘yicha quyidagi reaksiyaga muvofiq olib borildi (2.1-sxema).

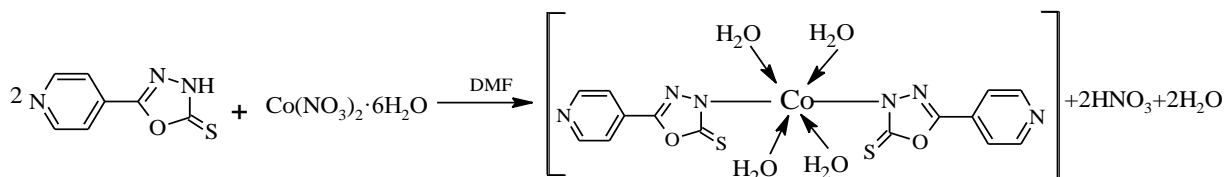
2-Usul. 5 ml 0,4 M li L¹ ning etanoldagi eritmasiga KOH (0,01 M, 1 ml) suvli eritmasi qo‘shildi. CoCl₂·6H₂O ning 5 ml 0,2 M li etanoldagi eritmasi ustiga eritmasiga ligandning spirtli eritmasi tomchilatib qo‘shildi va teskari sovutgich ulangan holatda T=70°C da 40 min magnitli aralashtirgichda aralashtirilib qaynatildi. Hosil bo‘lgan to‘q qizil rangdagi cho‘kma filtrlab ajratib olindi, etanolda bir necha marta yuvildi va ochiq havoda quritildi. T_s=251°C. Unum 76%.



2.2-Sxema. L¹ ning CoCl₂·6H₂O bilan kompleks birikmasi sintezi

Zn^{2+} , Ni^{2+} va Cu^{2+} xlorid tuzlari ishtirokidagi sintez ham quyidagi reaksiyaga muvofiq olib borildi (2.2-sxema).

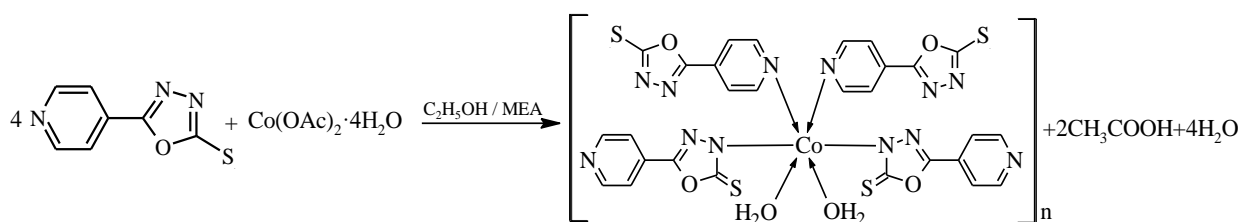
3-Usul. 5 ml 0,4 M li L^1 ning DMFA dagi eritmasiga $Co(NO_3)_2 \cdot 6H_2O$ ning 0,2 M li spirtli eritmasidan 5 ml tomchilatib qo‘shildi va teskari sovutgich ulangan holatda $T=70^\circ C$ da, 30 min davomida magnitli aralashtirgichda aralashtirilib qaynatildi. Hosil bo‘lgan to‘q qizil rangdagi mayda cho‘kma filtrlab olindi, bir necha marta etanolda yuvildi va ochiq havoda quritildi. $T_s=220^\circ C$. Unum 75%.



2.3-Sxema. L^1 ning $Co(NO_3)_2 \cdot 6H_2O$ bilan kompleks birikmasi sintezi

Zn^{2+} , Ni^{2+} va Cu^{2+} nitrat tuzlari ishtirokidagi sintez ham quyidagi reaksiyaga muvofiq olib borildi (2.3-sxema).

4-Usul. $Co(OAc)_2 \cdot 2H_2O$ ning 5 ml 0,2 M li spirtli eritmasiga 5 ml 0,4 M li L^1 ning etil spirtidagi eritmasi bir necha tomchi MEA tomchilatib qo‘shilgan eritmasi qo‘shildi. Eritma teskari sovutgich ulangan holatda 1soat davomida magnitli aralashtirgichda aralashtirilib qaynatildi. Hosil bo‘lgan oq-sarg‘ish cho‘kma filtrlab olindi, bir necha marta etanolda yuvildi va ochiq havoda quritildi. $T_s=215^\circ C$. Unum 52%.



2.4-Sxema. L^1 ning $Co(OAc)_2 \cdot 4H_2O$ bilan kompleks birikmasi sintezi

Zn^{2+} , Ni^{2+} va Cu^{2+} atsetat tuzlari ishtirokidagi sintez ham quyidagi reaksiyaga muvofiq olib borildi (2.4-sxema).

Kompleks birikmalarni sintez qilishning 4 ta usuli batafsil tahlil qilinganda, ligandning tautomer shakliga erituvchilarning ta‘sir qilishi o‘rganildi. Bunda $L^{1,2}$ proton erituvchilarda tiol S-H holatda, aproton erituvchilarda esa tion C=S holatda bo‘lishi aniqlandi.

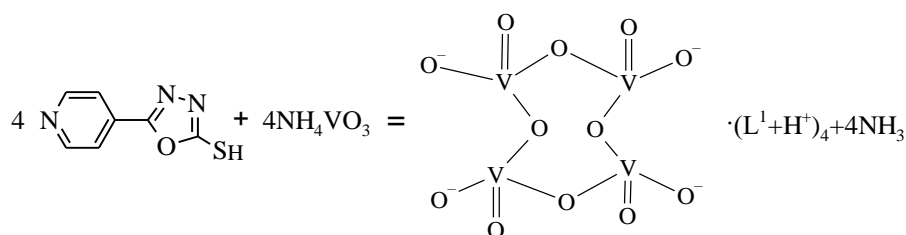
Proton erituvchilar:	Aproton erituvchilar:
H ₂ O, CH ₃ OH, C ₂ H ₅ OH, HF, HCOOH	DMFA, DMSO, O(CH ₂ CH ₂) ₂ O

Etil spirti boshqa erituvchilarga nisbatan uchuvchanligining yaxshiligi va kristallanish uchun kamroq vaqt talab etilishini inobatga olgan holda, keyingi sintezlar (2.2-sxema) asosida olib borildi.

NH₄VO₃ ning L¹ bilan hosil qilgan kompleks birikmasi sintezi:

Vanadiyli [V₄O₁₂](L¹+H)₄ tarkibli kompleks birikmaning sintezi suvli spirtli muhitda olib borilib, V:L 1:1 molyar nisbatda 5 ml 0,2 M li NH₄VO₃ ning suvli eritmasiga 5ml 0,2 M li L¹ ligandning spirtli eritmasi qo‘shildi (pH=6-8).

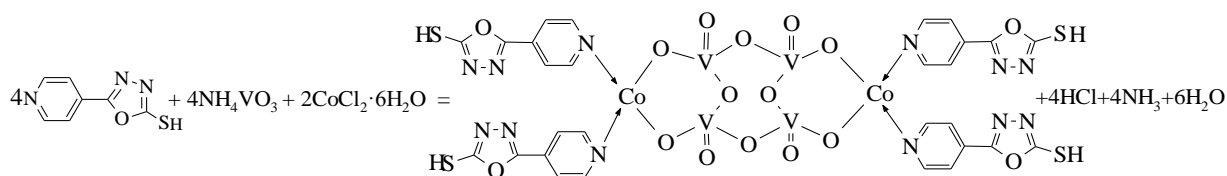
Reaksiya T=70°C da 20 minut davomida suv hammomida magnitli aralashtirgichda aralashtirilib qaynatish bilan olib borildi. Hosil bo‘lgan och yashil rangdagi cho‘kma issiq holatda filtrlab olindi va bir necha bor etanolda yuvildi va xona haroratida quritildi. Mahsulot unumi 64%. T_s = 184-185°C (2.5-sxema).



2.5-Sxema. NH₄VO₃ ning L¹ bilan kompleks birikmasi sintezi

L¹ asosida geterometalli kompleks birikmalarning sintezi:

[Co₂V₄O₁₂(L¹)₄]·2H₂O tarkibli geterometalli kompleks birikmaning sintezi uchun 5ml 0,4M li ammoniy vanadatning suvli eritmasiga 5ml 0,4M li L¹ ligandning spirtli eritmasi qo‘shildi va uning ustiga 5ml 0,2 M li Co²⁺ xloridning spirtli eritmasi (M:VO₂⁺:L¹=1:2:2 mol nisbatda) qo‘shildi, pH=6-8. Reaksiya T=70°C da 40 minut davomida suv hammomida magnitli aralashtirgichda aralashtirilib qaynatish bilan olib borildi. Hosil bo‘lgan to‘q yashil rangdagi cho‘kma issiq holatda filtrlab olindi va bir necha bor etanolda yuvildi va xona haroratida ochiq havoda quritildi. Mahsulot unumi 71%, T_{suyuq}=196-197°C ni tashkil qildi (2.6-sxema).



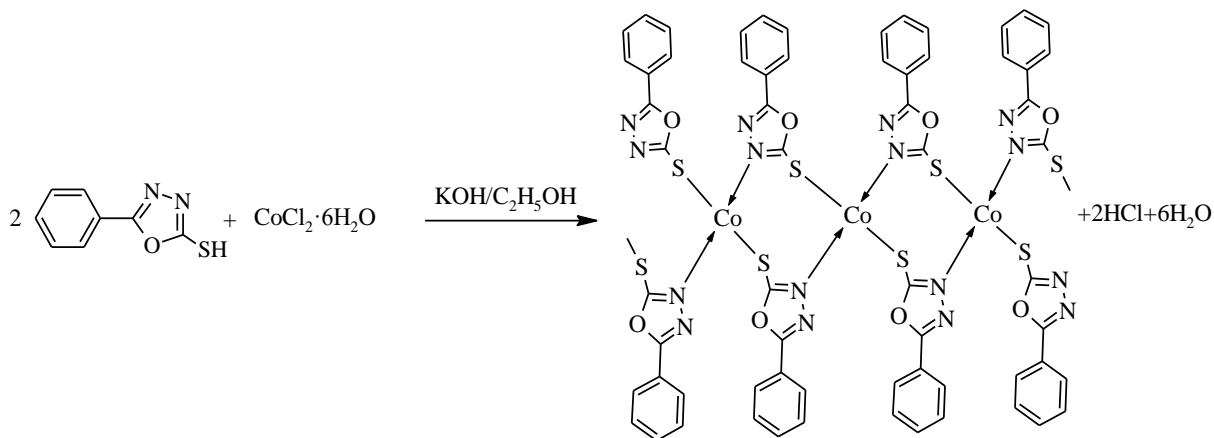
2.6-Sxema. L¹ ning CoCl₂·6H₂O bilan geterometalli kompleks birikmasi sintezi

L¹ ning boshqa Zn²⁺, Ni²⁺ va Cu²⁺ metall xloridlari bilan yuqoridagi 2.6-sxemadagi reaksiya tenglamasiga muvofiq geterometalli kompleks birikmalarining sintezi amalga oshirildi.

2.2.2. Co²⁺, Ni²⁺, Cu²⁺ va Zn²⁺ larning L² asosidagi kompleks birikmalar sintezi

L² asosida gomometalli kompleks birikmalarning sintezi:

5 ml 0,4 M li L¹ ning etanoldagi eritmasiga KOH (0,01 M, 1 ml) suvli eritmasi qo‘shildi. CoCl₂·6H₂O ning 5 ml 0,2 M li etanoldagi eritmasi ustiga eritmasiga ligandning spirtli eritmasi tomchilatib qo‘shildi va teskari sovutgich ulangan holatda T=70°C da 40 min magnitli aralashtirgichda aralashtirilib qaynatildi. Hosil bo‘lgan oq rangdagi cho‘kma filtrlab ajratib olindi, etanolda bir necha marta yuvildi va ochiq havoda quritildi. Qurigan cho‘kma DMFA:atseton (1:1) erituvchilarida qayta kristallandi, 7 kundan so‘ng oq sarg‘ish mayda kristallar ajratib olindi. T_s=343-344°C. Unum 49%.



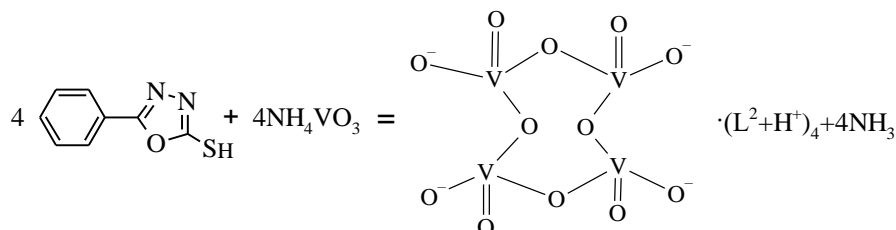
2.7-Sxema. L² ning CoCl₂·6H₂O bilan kompleks birikmasi sintezi

L² ning boshqa Zn²⁺, Ni²⁺ va Cu²⁺ metall xloridlari bilan yuqoridagi 2.7-sxema reaksiya tenglamasiga muvofiq amalga oshirildi.

NH₄VO₃ ning L² bilan hosil qilgan kompleks birikmasi sintezi:

Vanadiyli $[V_4O_{12}](L^2+H)_4$ tarkibli kompleks birikmaning sintezi suvli spirtli muhitda olib borilib, $VO_2^+:L=1:1$ molyar nisbatda 5 ml 0,2 M li NH_4VO_3 ning suvli eritmasiga 5ml 0,2 M li L^2 ligandning spirtli eritmasi qo'shildi (pH=6-8).

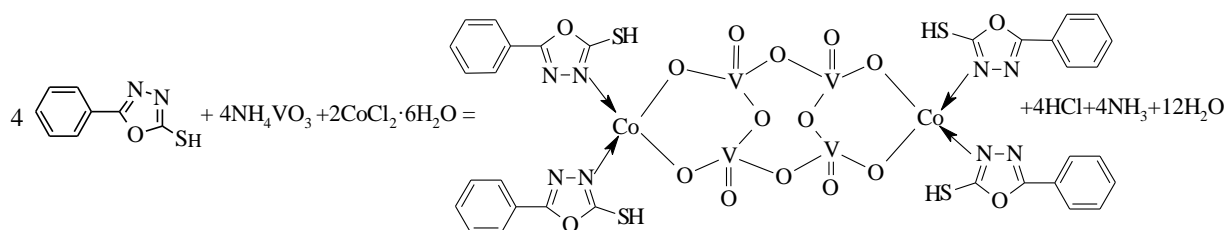
Reaksiya $T=70^\circ C$ da 20 minut davomida suv hammomida magnitli aralashtirgichda aralashtirilib qaynatish bilan olib borildi. Hosil bo'lgan och yashil rangdagi cho'kma issiq holatda filtrlab olindi va bir necha bor etanolda yuvildi va xona haroratida quritildi. Mahsulot unumi 80%. $T_s = 149-150^\circ C$ (2.8-sxema).



2.8-Sxema. NH_4VO_3 ning L^2 bilan kompleks birikmasi sintezi.

L^2 asosida geterometalli kompleks birikmalarning sintezi:

$[Co_2V_4O_{12}(L^2)_4]\cdot 2H_2O$ tarkibli geterometalli kompleks birikmaning sintezi uchun 5ml 0,4M li ammoniy vanadatning suvli eritmasiga 5ml 0,4M li L^2 ligandning spirtli eritmasi qo'shildi va uning ustiga 5ml 0,2 M li Co^{2+} xloridning spirtli eritmasi ($M:VO_2^+:L^2=1:2:2$ mol nisbatda) qo'shildi, pH=6-8. Reaksiya $T=70^\circ C$ da 40 minut davomida suv hammomida magnitli aralashtirgichda aralashtirilib qaynatish bilan olib borildi. Hosil bo'lgan to'q ko'k rangdagi cho'kma issiq holatda filtrlab olindi va bir necha bor etanolda yuvildi va xona haroratida ochiq havoda quritildi. Mahsulot unumi 67%, $T_{suyuq}=188-189^\circ C$ ni tashkil qildi (2.9-sxema).



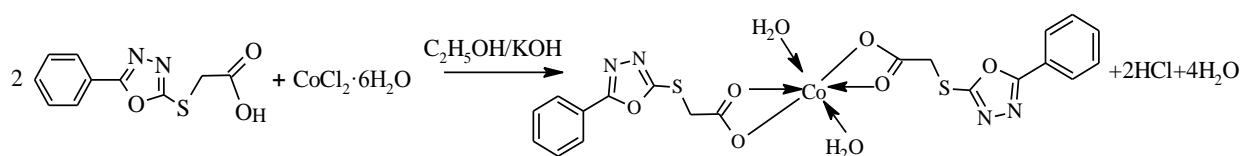
2.9-Sxema. L^2 ning $CoCl_2\cdot 6H_2O$ bilan geterometalli kompleks birikmasi sintezi

L^2 ning boshqa Zn^{2+} , Ni^{2+} va Cu^{2+} metall xloridlari bilan yuqoridagi 2.9-sxemadagi reaksiya tenglamasiga muvofiq geterometalli kompleks birikmalarining sintezi amalga oshirildi.

2.2.3. Co^{2+} , Ni^{2+} , Cu^{2+} va Zn^{2+} larning L^3 asosidagi kompleks birikmalar sintezi

L^3 asosida olib borilgan gomometalli kompleks birikmalarining sintezi:

5 ml 0,4 M li L^1 ning etanoldagi eritmasiga KOH (0,01 M, 1 ml) suvli eritmasi qo'shildi. $CoCl_2 \cdot 6H_2O$ ning 5 ml 0,2 M li etanoldagi eritmasi ustiga eritmasiga ligandning spirtli eritmasi tomchilatib qo'shildi va teskari sovutgich ulangan holatda $T=70^\circ C$ da 40 min magnitli aralashtirgichda aralashtirilib qaynatildi. Hosil bo'lgan to'q jigarrang rangdagi cho'kma filtrlab ajratib olindi, etanolda bir necha marta yuvildi va ochiq havoda quritildi. $T_s=178-179^\circ C$. Unum 49%.



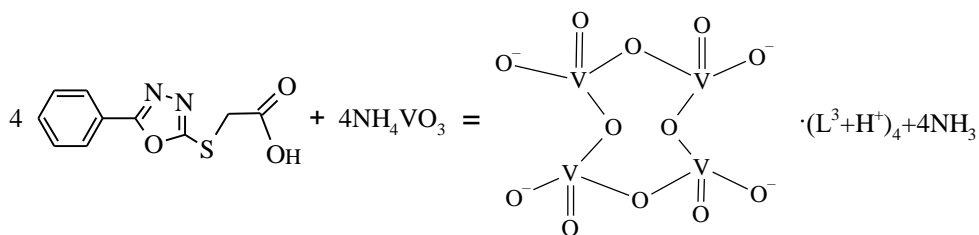
2.10-Sxema. L^3 ning $CoCl_2 \cdot 6H_2O$ bilan kompleks birikmasi sintezi

L^3 ning boshqa Zn^{2+} , Co^{2+} va Cu^{2+} metall xloridlari bilan yuqoridagi 2.10-sxemadagi reaksiya tenglamasiga muvofiq amalga oshirildi.

NH_4VO_3 ning L^3 bilan hosil qilgan kompleks birikmasi sintezi:

Vanadiyli $[V_4O_{12}](L^3+H)_4$ tarkibli kompleks birikmaning sintezi suvli spirtli muhitda olib borilib, V:L 1:1 molyar nisbatda 5 ml 0,2 M li NH_4VO_3 ning suvli eritmasiga 5ml 0,2 M li L^3 ligandning spirtli eritmasi qo'shildi (pH=6-8).

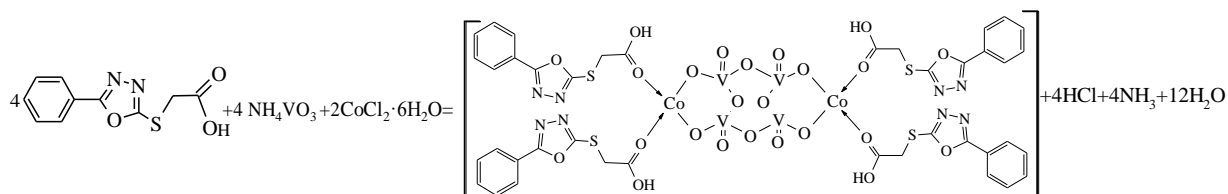
Reaksiya $T=70^\circ C$ da 20 minut davomida suv hammomida magnitli aralashtirgichda aralashtirilib qaynatish bilan olib borildi. Hosil bo'lgan to'q sariq rangdagi cho'kma issiq holatda filtrlab olindi va bir necha bor etanolda yuvildi va xona haroratida quritildi. Mahsulot unumi 65%. $T_s = 149-150^\circ C$ (2.11-sxema).



2.11-Sxema. NH_4VO_3 ning L^3 bilan kompleks birikmasi sintezi

L^3 asosida geterometalli kompleks birikmalarning sintezi:

$[\text{Co}_2\text{V}_4\text{O}_{12}(\text{L}^3)_4] \cdot 2\text{H}_2\text{O}$ tarkibli geterometalli kompleks birikmaning sintezi uchun 5ml 0,4M li ammoniy vanadatning suvli eritmasiga 5ml 0,4M li L^2 ligandning spirtli eritmasi qo‘shildi va uning ustiga 5ml 0,2 M li Co^{2+} xloridning spirtli eritmasi ($\text{M}:\text{VO}_2^+:\text{L}^3=1:2:2$ mol nisbatda) qo‘shildi, $\text{pH}=6-8$. Reaksiya $T=70^\circ\text{C}$ da 40 minut davomida suv hammomida magnitli aralashtirgichda aralashtirilib qaynatish bilan olib borildi. Hosil bo‘lgan to‘q ko‘k rangdagi cho‘kma issiq holatda filtrlab olindi va bir necha bor etanolda yuvildi va xona haroratida ochiq havoda quritildi. Mahsulot unumi 61%, $T_{\text{suyuq}}=174-175^\circ\text{C}$ ni tashkil qildi (2.12-sxema).



2.12-Sxema. L^3 ning $\text{CoCl}_2 \cdot 6\text{H}_2\text{O}$ bilan geterometalli kompleks birikmasi sintezi

L^3 ning boshqa Zn^{2+} , Ni^{2+} va Cu^{2+} metall xloridlari bilan yuqoridagi 2.12-sxemadagi reaksiya tenglamasiga muvofiq geterometalli kompleks birikmalarining sintezi amalga oshirildi.

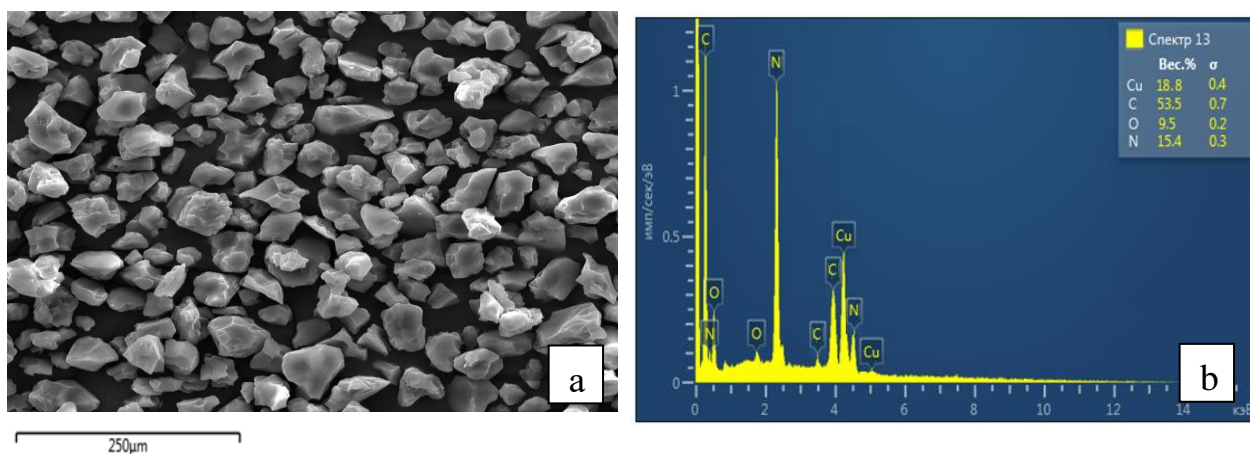
Sintez qilingan koordinatsion birikmalarning hosil bo‘lish unumi, suyuqlanish xarorati, Brutto formulasi hamda turli erituvchilardagi eruvchanligi 2.2-2.9 jadvallarda keltirilgan.

2.3-§. Kompleks birikmalar tarkibidagi elementlar miqdorini SEM – EDT va rentgenofluoressent tahlil usullari bilan aniqlash

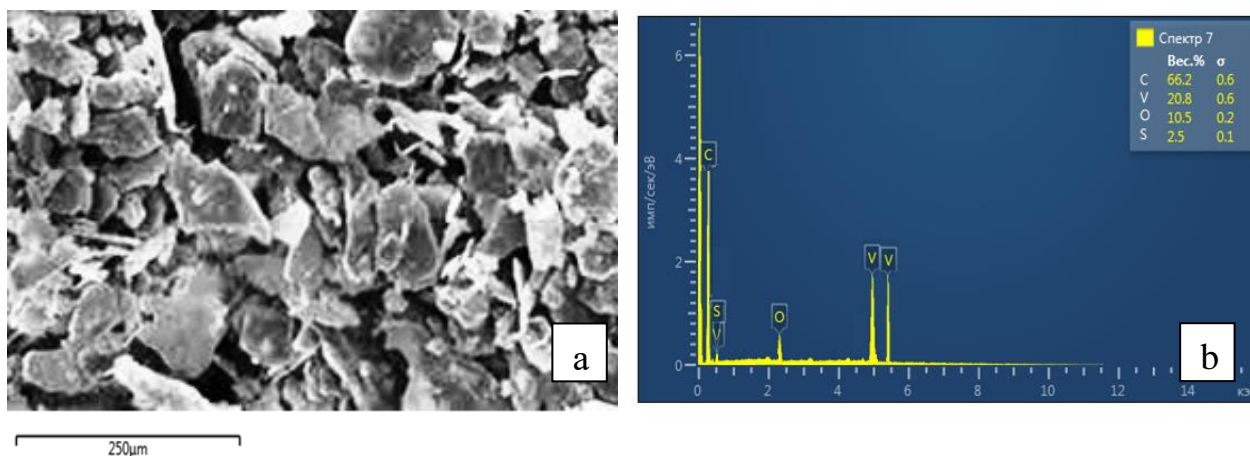
Moddalar tarkibidagi elementlar miqdorini energiya dispersion tahlil (EDT) skanerlovchi elektron mikroskop (SEM) yordamida aniqlash materiallarni tahlil

qilish uchun yuqori axborot mazmuni va olingan tadqiqot natijalarining ishonchliligi tufayli aniq ilmiy texnologik muammolarni hal qilishda keng qo‘llaniladi [123].

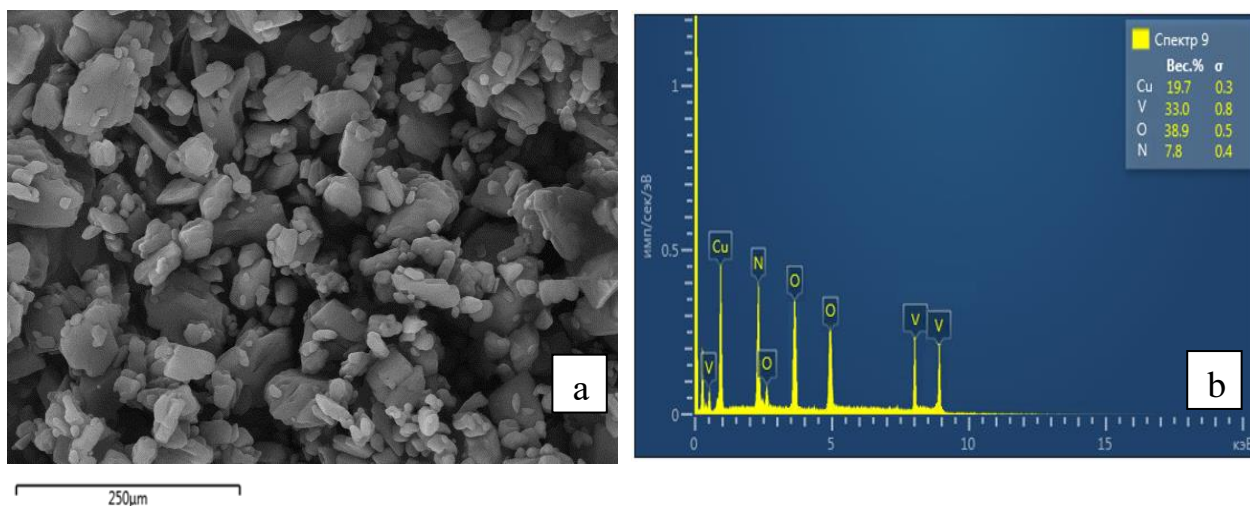
Hosil bo‘lgan kompleks birikmalardagi azot, kislorod va metallarning miqdorlarini SEM-EDT usulida aniqlandi (2.2-2.3-jadvallar). SEM-EDT natijasida olingan ma’lumotlar asosida shunday xulosaga kelish mumkinki, ligandlar bilan metall ionlarining koordinatsiyalanishi ligandlar mikrostrukturasining o‘zgarishiga olib keladi, xususan, uni ko‘plab metall cho‘qqilar qayd etildi, bu esa EDT tomonidan tasdiqlandi (2.1-2.5 rasmlar)[124].



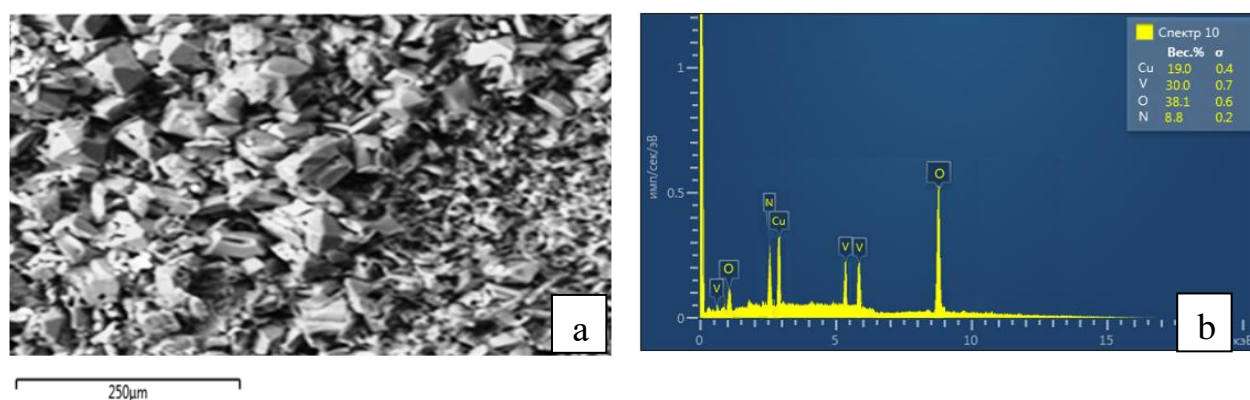
2.1-Rasm. $[\text{Cu}(\text{L}^1)_2(\text{H}_2\text{O})_2]$ mikrostrukturasini (a) va EDT natijasi (b)



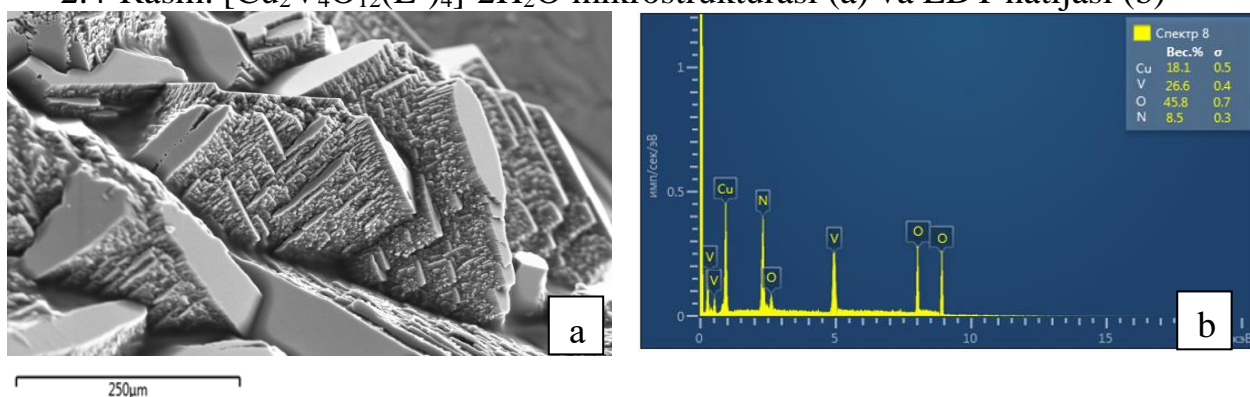
2.2-Rasm. $[\text{V}_4\text{O}_{12}](\text{L}^1+\text{H})^4$ mikrostrukturasini (a) va EDT natijasi (b)



2.3-Rasm. $[\text{Cu}_2\text{V}_4\text{O}_{12}(\text{L}^1)_4] \cdot 2\text{H}_2\text{O}$ mikrostrukturasi (a) va EDT natijasi (b)



2.4-Rasm. $[\text{Cu}_2\text{V}_4\text{O}_{12}(\text{L}^2)_4] \cdot 2\text{H}_2\text{O}$ mikrostrukturasi (a) va EDT natijasi (b)



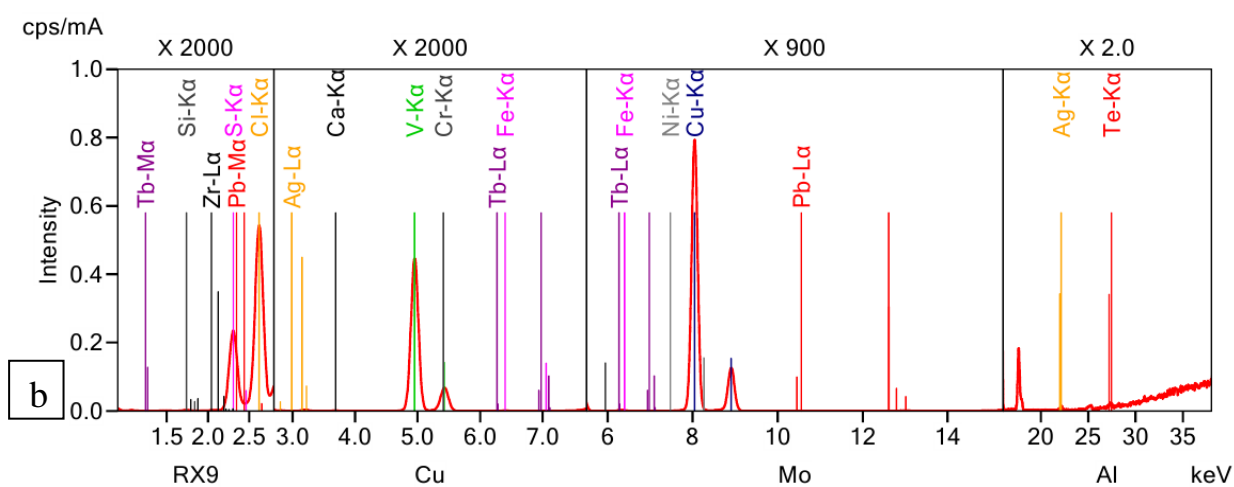
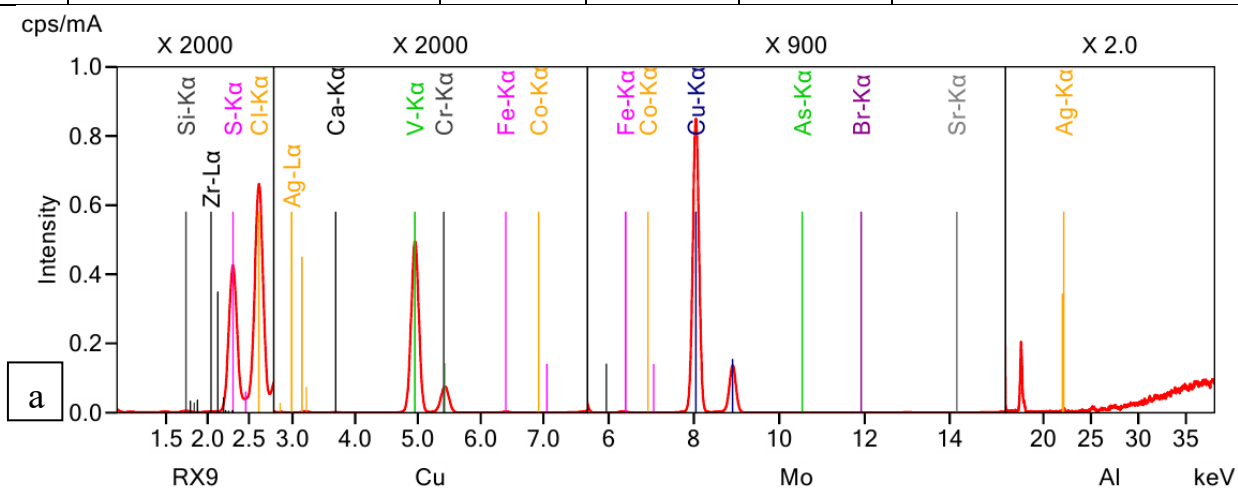
2.5-Rasm. $[\text{Cu}_2\text{V}_4\text{O}_{12}(\text{L}^3)_4] \cdot 2\text{H}_2\text{O}$ mikrostrukturasi (a) va EDT natijasi (b)

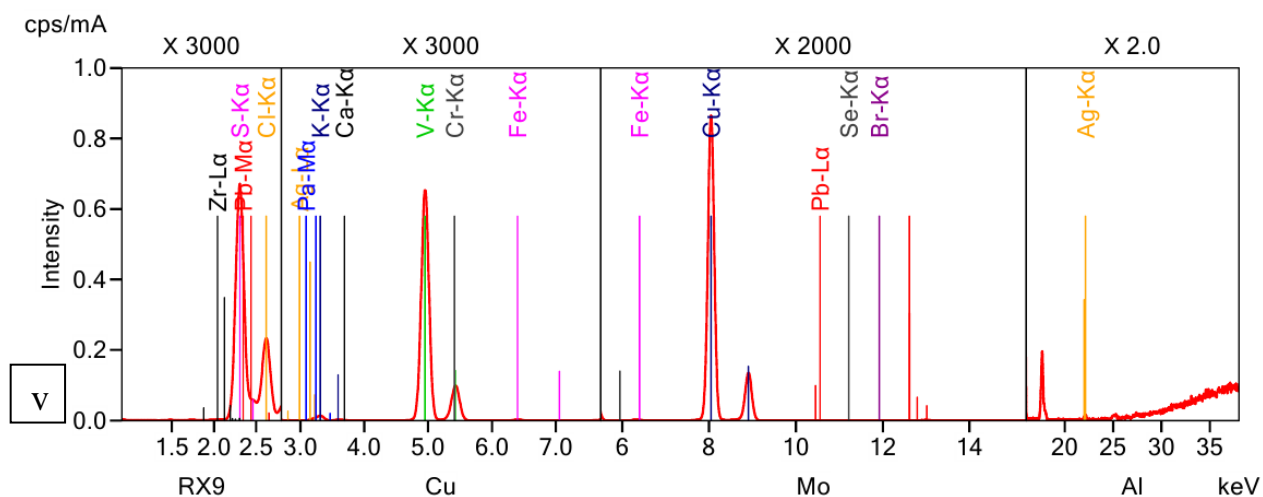
Rentgenofluoressent tahlil moddaning elementar tarkibi, ya'ni element analiz tahlilini olish uchun qo'llaniladigan zamonaviy spektroskopik usullardan biri [125, 126].

Sintez qilingan koordinatsion birikmalar tarkibidagi metallarning mol nisbatlarini aniqlash maqsadida rentgenofluoressent tahlil amalga oshirildi (2.6-rasm; 2.1-jadval).

$[\text{Cu}_2\text{V}_4\text{O}_{12}(\text{L}^1)_4] \cdot 2\text{H}_2\text{O}$, $[\text{Cu}_2\text{V}_4\text{O}_{12}(\text{L}^2)_4] \cdot 2\text{H}_2\text{O}$ va $[\text{Cu}_2\text{V}_4\text{O}_{12}(\text{L}^3)_4] \cdot 2\text{H}_2\text{O}$ kompleks
birikmalarining rentgenofluoressent tahlil usuli bo'yicha olingan natijalar

No	Birikmalar	Cu (%)	V (%)	S (%)	Mol nisbat
1	$[\text{Cu}_2\text{V}_4\text{O}_{12}(\text{L}^1)_4] \cdot 2\text{H}_2\text{O}$	4,3	8,36	5,5	1:2:2
2	$[\text{Cu}_2\text{V}_4\text{O}_{12}(\text{L}^2)_4] \cdot 2\text{H}_2\text{O}$	4,6	8,2	3,5	1:2:2
3	$[\text{Cu}_2\text{V}_4\text{O}_{12}(\text{L}^3)_4] \cdot 2\text{H}_2\text{O}$	8,6	10,8	6,8	1:2:1





2.6-Rasm. $[\text{Cu}_2\text{V}_4\text{O}_{12}(\text{L}^1)_4] \cdot 2\text{H}_2\text{O}$ (a), $[\text{Cu}_2\text{V}_4\text{O}_{12}(\text{L}^2)_4] \cdot 2\text{H}_2\text{O}$ (b) va $[\text{Cu}_2\text{V}_4\text{O}_{12}(\text{L}^3)_4] \cdot 2\text{H}_2\text{O}$ (v) kompleks birikmalarining rentgenofluoressent tahlil usuli bo'yicha olingan spektrlar

Ushbu 2.6-rasm va 2.1-jadvalda rentgenofluoressent tahlil natijalari keltirilgan bo'lib, koordinatsion birikmalar tarkibidagi M:V:S larning foizlari taqqoslanib, 1:2:2 nisbatda birikkanligi aniqlandi.

L¹ ligand asosida sintez qilingan gomometalli kompleks birikmalarning xarakteristikasi

Erituvchi	Birikma	Rangi	Unum %	Topildi, %				Hisoblandi, %				
				C	H	N	M	Brutto formula	C	H	N	M
	L ¹	Sariq	-	46,92	2,81	23,45		C ₇ H ₅ N ₃ OS	47,16	2,93	23,76	
C ₂ H ₅ OH (Cl ⁻)	[Ni(L ¹) ₂ (H ₂ O) ₄]*2H ₂ O	To‘q yashil	80	31,89	4,15	15,97	11,14	NiC ₁₄ H ₂₂ N ₆ O ₈ S ₂	32,0	4,19	16,0	11,23
	[Co(L ¹) ₂ (H ₂ O) ₄]*2H ₂ O	Qizil qo‘ng‘ir	69	31,75	4,17	15,64	11,20	CoC ₁₄ H ₂₂ N ₆ O ₈ S ₂	32,0	4,19	16,0	11,23
	[Zn(L ¹) ₂ (H ₂ O) ₄]*2H ₂ O	Och sariq	74	31,60	4,11	15,73	12,19	ZnC ₁₄ H ₂₂ N ₆ O ₈ S ₂	31,63	4,14	15,82	12,24
	[Cu(L ¹) ₂ (H ₂ O) ₄]*2H ₂ O	Jigarrang	80	31,65	4,11	15,79	12,03	CuC ₁₄ H ₂₂ N ₆ O ₈ S ₂	31,69	4,15	15,85	12,07
C ₂ H ₅ OH /KOH(Cl ⁻)	[Ni(L ¹) ₂ (H ₂ O) ₂]	To‘q yashil	71	37,0	1,73	18,0	13,1	NiC ₁₄ H ₈ N ₆ O ₄ S ₂	37,1	1,76	18,5	13,0
	[Co(L ¹) ₂ (H ₂ O) ₂]	To‘q qizil	76	37,1	1,75	18,6	12,9	CoC ₁₄ H ₈ N ₆ O ₄ S ₂	37,1	1,76	18,5	13,1
	[Zn(L ¹) ₂ (H ₂ O) ₂]	Novotrang	83	36,4	1,71	18,12	14,0	ZnC ₁₄ H ₈ N ₆ O ₄ S ₂	36,6	1,74	18,3	14,2
	[Cu(L ¹) ₂ (H ₂ O) ₂]	Qo‘ng‘ir	88	36,2	1,79	18,33	14,5	CuC ₁₄ H ₈ N ₆ O ₄ S ₂	36,7	1,78	18,4	14,4
DMF (NO ₃ ⁻)	[Ni(L ¹) ₂ (H ₂ O) ₄]	Och yashil	73	34,43	3,21	17,12	12,07	NiC ₁₄ H ₁₆ N ₆ O ₆ S ₂	34,49	3,29	17,25	12,11
	[Co(L ¹) ₂ (H ₂ O) ₄]	Pushti	75	34,39	3,23	17,18	12,03	CoC ₁₄ H ₁₆ N ₆ O ₆ S ₂	34,49	3,29	17,25	12,11
	[Zn(L ¹) ₂ (H ₂ O) ₄]	Sariq	73	39,97	3,20	17,01	13,11	ZnC ₁₄ H ₁₆ N ₆ O ₆ S ₂	34,07	3,24	17,04	13,18
	[Cu(L ¹) ₂ (H ₂ O) ₄]	To‘q qizil	79	34,08	3,21	17,03	12,97	CuC ₁₄ H ₁₆ N ₆ O ₆ S ₂	34,14	3,25	17,07	13,01
C ₂ H ₅ OH / MEA (CH ₃ COO ⁻)	{[Ni(L ¹) ₄ (H ₂ O) ₂]} _n	Och yashil	60	41,49	2,69	20,78	7,23	NiC ₂₈ H ₂₂ N ₁₂ O ₆ S ₄	41,54	2,74	20,76	7,25
	{[Co(L ¹) ₄ (H ₂ O) ₂]} _n	To‘q sariq	52	41,52	2,71	20,72	7,18	CoC ₂₈ H ₂₂ N ₁₂ O ₆ S ₄	41,54	2,74	20,76	7,25
	{[Zn(L ¹) ₄ (H ₂ O) ₂]} _n	Sariq	51	41,18	2,63	20,50	8,00	ZnC ₂₈ H ₂₂ N ₁₂ O ₆ S ₄	41,20	2,72	20,59	8,01
	{[Cu(L ¹) ₄ (H ₂ O) ₂]} _n	To‘q sariq	62	41,27	2,68	20,59	7,74	CuC ₂₈ H ₂₂ N ₁₂ O ₆ S ₄	41,30	2,72	20,64	7,8

Ligandlar (L^1 , L^2 , L^3) va sintez qilingan gomometalli kompleks birikmalarning xarakteristikasi

Birikma	Unum %	Rangi	Suyuq. har. °C	Brutto formula	Topilgan / hisoblangan, %			
					C	O	N	M
L^1 - $C_7H_5N_3OS$	-	Och sariq	268-270	$C_7H_5N_3OS$	47,1/46,9	17,4/ 17,87	23,22/23,46	-
$[Ni(L^2)_2(H_2O)_2]$	71	To‘q yashil	242	$C_{14}H_8N_6O_4S_2Ni$	37,0/37,1	1,73/1,76	18,0/18,5	13,0/13,0
$[Co(L^1)_2(H_2O)_2]$	76	To‘q qizil	221	$C_{14}H_8N_6O_4S_2Co$	37,1/37,1	1,75/1,76	18,6/18,5	12,9/13,1
$[Zn(L^1)_2(H_2O)_2]$	83	Novotrang	239	$C_{14}H_8N_6O_4S_2Zn$	36,4/6,6	1,71/1,74	18,12/18,3	14,0/14,2
$[Cu(L^1)_2(H_2O)_2]$	88	Qo‘ng‘ir	268	$C_{14}H_8N_6O_4S_2Cu$	36,236,7	1,791,78	18,33/18,4	14,5/14,4
$[V_4O_{12}](L^1 + H^+)_4$	64	Och yashil	250-251	$C_{28}H_{20}N_{12}O_{16}S_4V_4$	30,20/30,21	11,46/11,51	14,97/15,10	18,30/18,34
L^2 - $C_8H_6N_2OS$	-	Oq	223-224	$C_8H_6N_2OS$	40,8/ 40,4	16,4/17,9	15,1/15,7	-
$[Co(L^2)_2]$	73	To‘q qizil	225-226	$C_{16}H_{12}N_4O_2S_2Co$	55,0/56,6	8,9/9,4	14,7/16,5	12,8/17,4
$[Cu(L^2)_2]$	69	Qo‘ng‘ir	280-281	$C_{16}H_{12}N_4O_2S_2Cu$	53,5/55,8	9,5/9,3	15,4/16,27	18,8/18,6
$[Ni(L^2)_2]$	51	To‘q yashil	245-246	$C_{16}H_{12}N_4O_2S_2Ni$	29,5/56,6	4,8/9,4	9,8/16,5	16,3/17,4
$[Zn(L^2)_2]$	79	Oq	343-344	$C_{16}H_{12}N_4O_2S_2Zn$	51,2/55,6	8,3/9,27	16,1/16,23	17,9/18,8
$[V_4O_{12}](L^2 + H^+)_4$	80	Och yashil	196-197	$C_{32}H_{28}N_8O_{16}S_4V_4$	66,2/64,9	10,5/11,4	2,5/2,8	20,8/20,5
L^3 - $C_{10}H_8N_2O_3S$	-	Oq	117-118	$C_{10}H_8N_2O_3S$	50,8/ 50,2	13,6/13,5	11,9/11,7	-
$[Co(L^3)_2(H_2O)_2]$	56	To‘q qizil	167-168	$C_{20}H_{14}N_4O_6S_2Cl_2Co$	40,0/38,9	10,7/10,3	9,3/8,9	9,8/9,0
$[Cu(L^3)_2(H_2O)_2]$	62	Qo‘ng‘ir	190-191	$C_{20}H_{14}N_4O_6S_2Cl_2Cu$	39,6/39,0	10,5/10,3	9,3/9,2	10,6/10,3
$[Ni(L^3)_2(H_2O)_2]$	49	Yashil	178-179	$C_{20}H_{14}N_4O_6S_2Cl_2Ni$	40,0/39,4	10,7/10,5	9,3/8,7	9,8/9,4
$[Zn(L^3)_2(H_2O)_2]$	53	Sariq	204-205	$C_{20}H_{14}N_4O_6S_2Cl_2Zn$	39,5/39,1	10,6/10,5	9,5/9,1	10,5/10,7
$[V_4O_{12}](L^3 + H^+)_2$	65	To‘q sariq	149-150	$C_{40}H_{36}N_8O_{24}S_4V_4$	35,71/ 35,0	9,52/ 9,50	8,33/ 8,8	15,17/15,04

Sintez qilingan geterometalli kompleks birikmalarning xarakteristikasi

Birikma	Unum %	Rangi	Suyuq. har. °C	Brutto formula	Topilgan / hisoblangan, %			
					O	N	V	M
L ¹ -C ₇ H ₅ N ₃ OS	-	Och sariq	268-270	C ₇ H ₅ N ₃ OS	47,1/46,9	17,4/17,87	23,22/23,46	-
[Co ₂ V ₄ O ₁₂ (L ¹) ₄]·2H ₂ O	71	To‘q qizil	196-197	C ₂₈ H ₁₆ N ₁₂ O ₁₆ S ₄ V ₄ Co ₂	34,12/34,31	21,82/22,52	26,48/27,34	15,47/15,81
[Cu ₂ V ₄ O ₁₂ (L ¹) ₄]·2H ₂ O	78	Qo‘ng‘ir	244-245	C ₂₈ H ₁₆ N ₁₂ O ₁₆ S ₄ V ₄ Cu ₂	33,27/33,86	20,24/22,22	26,39/26,98	16,27/16,93
[Ni ₂ V ₄ O ₁₂ (L ¹) ₄]·2H ₂ O	59	To‘q yashil	266-267	C ₂₈ H ₁₆ N ₁₂ O ₁₆ S ₄ V ₄ Ni ₂	33,92/34,31	22,21/22,52	27,11/27,34	15,13/15,81
[Zn ₂ V ₄ O ₁₂ (L ¹) ₄]·2H ₂ O	72	Och yashil	258-259	C ₂₈ H ₁₆ N ₁₂ O ₁₆ S ₄ V ₄ Zn ₂	10,29/10,30	13,26/13,29	16,40/16,43	10,30/10,32
L ² - C ₈ H ₆ N ₂ OS	-	Oq	223-224	C ₈ H ₆ N ₂ OS	16,4/17,9	15,1/15,7	-	-
[Co ₂ V ₄ O ₁₂ (L ²) ₄]·2H ₂ O	67	Ko‘k	188-189	C ₃₂ H ₂₄ N ₈ O ₁₆ S ₄ V ₄ Co ₂	36,8/37,1	16,10/16,23	28,40/29,56	16,50/17,1
[Cu ₂ V ₄ O ₁₂ (L ²) ₄]·2H ₂ O	83	To‘q yashil	224-226	C ₃₂ H ₂₄ N ₈ O ₁₆ S ₄ V ₄ Cu ₂	38,9/39,75	7,8/8,69	33,0/31,67	19,70/19,87
[Ni ₂ V ₄ O ₁₂ (L ²) ₄]·2H ₂ O	74	To‘q sariq	174-175	C ₃₂ H ₂₄ N ₈ O ₁₆ S ₄ V ₄ Ni ₂	35,9/37,04	16,17/16,12	29,33/29,42	16,81/17,0
[Zn ₂ V ₄ O ₁₂ (L ²) ₄]·2H ₂ O	71	Sarg‘ish	184-185	C ₃₂ H ₂₄ N ₈ O ₁₆ S ₄ V ₄ Zn ₂	31,42/36,46	14,83/15,95	21,78/29,05	15,37/18,85
L ³ - C ₁₀ H ₈ N ₂ O ₃ S	-	Oq	117 -118	C ₁₀ H ₈ N ₂ O ₃ S	13,6/13,5	11,9/11,7	-	-
[Co ₂ V ₄ O ₁₂ (L ³) ₂]·2H ₂ O	61	Pushti	174-175	C ₄₀ H ₃₆ N ₈ O ₂₆ S ₄ V ₄ Co ₂	48,57/48,94	12,58/13,17	23,74/24,0	12,90/13,88
[Cu ₂ V ₄ O ₁₂ (L ³) ₂]·2H ₂ O	84	Qo‘ng‘ir	227-228	C ₄₀ H ₃₆ N ₈ O ₂₆ S ₄ V ₄ Cu ₂	48,51/48,37	13,0/13,02	23,06/23,27	14,51/14,88
[Ni ₂ V ₄ O ₁₂ (L ³) ₂]·2H ₂ O	68	Och yashil	180-181	C ₄₀ H ₃₆ N ₈ O ₂₆ S ₄ V ₄ Ni ₂	48,22/48,92	12,66/13,09	23,92/23,98	13,70/13,84
[Zn ₂ V ₄ O ₁₂ (L ³) ₂]·2H ₂ O	59	Sariq	230-231	C ₄₀ H ₃₆ N ₈ O ₂₆ S ₄ V ₄ Zn ₂	48,19/48,25	12,67/12,99	23,44/23,66	14,99/15,08

L¹ ligand asosida sintez qilingan gomometalli kompleks birikmalarning eruvchanligi

Erituvchi	Birikma	Suv	Metanol	Etanol	Xloroform	DMFA
	L ¹	EM	E	E	OE	E
C ₂ H ₅ OH (Cl ⁻)	[Ni(L ¹) ₂ (H ₂ O) ₄]*2H ₂ O	∅	E	E	OE	E
	[Co(L ¹) ₂ (H ₂ O) ₄]*2H ₂ O	∅	E	E	OE	E
	[Zn(L ¹) ₂ (H ₂ O) ₄]*2H ₂ O	∅	E	E	OE	E
	[Cu(L ¹) ₂ (H ₂ O) ₄]*2H ₂ O	OE	OE	OE	EM	E
C ₂ H ₅ OH /KOH(Cl ⁻)	[Ni(L ¹) ₂ (H ₂ O) ₂]	E	E	E	OE	E
	[Co(L ¹) ₂ (H ₂ O) ₂]	E	E	E	OE	E
	[Zn(L ¹) ₂ (H ₂ O) ₂]	E	E	E	OE	E
	[Cu(L ¹) ₂ (H ₂ O) ₂]	OE	OE	OE	EM	E
DMF (NO ₃ ⁻)	[Ni(L ¹) ₂ (H ₂ O) ₄]	OE	OE	E	OE	E
	[Co(L ¹) ₂ (H ₂ O) ₄]	OE	OE	E	OE	E
	[Zn(L ¹) ₂ (H ₂ O) ₄]	OE	E	E	OE	E
	[Cu(L ¹) ₂ (H ₂ O) ₄]	OE	OE	OE	EM	E
C ₂ H ₅ OH / MEA (CH ₃ COO ⁻)	{[Ni(L ¹) ₄ (H ₂ O) ₂]} _n	E	E	E	OE	E
	{[Co(L ¹) ₄ (H ₂ O) ₂]} _n	E	E	E	OE	E
	{[Zn(L ¹) ₄ (H ₂ O) ₂]} _n	OE	E	E	OE	E
	{[Cu(L ¹) ₄ (H ₂ O) ₂]} _n	OE	OE	OE	EM	OE

Izoh: E. – Eriydi, OE. –Oz eriydi, EM – Erimaydi

Ligandlar (L^1, L^2, L^3) va sintez qilingan gomometalli kompleks birikmalarning eruvchanligi

Birikmalar (Dipol momenti)	Suv (1,83 D)	Metanol (1,65 D)	Etanol (1,7 D)	Xloroform (1,01 D)	DMFA (3,82 D)
L^1 (2,876 D)	EM	E	E	OE	E
$[\text{Ni}(L^1)_2(\text{H}_2\text{O})_2]$	E	E	E	OE	E
$[\text{Co}(L^1)_2(\text{H}_2\text{O})_2]$	OE	E	E	OE	E
$[\text{Zn}(L^1)_2(\text{H}_2\text{O})_2]$	E	E	E	OE	E
$[\text{Cu}(L^1)_2(\text{H}_2\text{O})_2]$	OE	E	E	EM	E
$[\text{V}_4\text{O}_{12}](L^1 + \text{H}^+)_4$	E	OE	OE	EM	E
L^2 - (2,667 D)	EM	E	E	OE	E
$[\text{Co}(L^2)_2]$	E	E	E	EM	E
$[\text{Cu}(L^2)_2]$	OE	OE	OE	EM	E
$[\text{Ni}(L^2)_2]$	E	E	E	EM	E
$[\text{Zn}(L^2)_2]$	E	E	E	EM	E
$[\text{V}_4\text{O}_{12}](L^2 + \text{H}^+)_4$	E	OE	OE	EM	E
L^3 - (3,944 D)	EM	E	E	EM	E
$[\text{Co}(L^3)_2(\text{H}_2\text{O})_2]$	E	E	E	EM	E
$[\text{Cu}(L^3)_2(\text{H}_2\text{O})_2]$	OE	OE	OE	EM	E
$[\text{Ni}(L^3)_2(\text{H}_2\text{O})_2]$	E	E	E	OE	E
$[\text{Zn}(L^3)_2(\text{H}_2\text{O})_2]$	E	E	E	OE	E
$[\text{V}_4\text{O}_{12}](L^3 + \text{H}^+)_2$	E	OE	OE	EM	E

Izoh: E. – Eriydi, OE. –Oz eriydi, EM – Erimaydi

Sintez qilingan geterometalli kompleks birikmalarning eruvchanligi

Birikmalar (Dipol momenti)	Suv (1,83 D)	Metanol (1,65 D)	Etanol (1,7 D)	Xloroform (1,01 D)	DMFA (3,82 D)
L^{-1} (2,876 D)	EM	E	E	OE	E
$[Co_2V_4O_{12}(L^1)_4] \cdot 2H_2O$	E	E	E	EM	E
$[Cu_2V_4O_{12}(L^1)_4] \cdot 2H_2O$	OE	E	E	EM	E
$[Ni_2V_4O_{12}(L^1)_4] \cdot 2H_2O$	E	E	E	EM	E
$[Zn_2V_4O_{12}(L^1)_4] \cdot 2H_2O$	E	E	E	EM	E
L^{-2} (2,667 D)	EM	E	E	OE	E
$[Co_2V_4O_{12}(L^2)_4] \cdot 2H_2O$	OE	E	E	EM	E
$[Cu_2V_4O_{12}(L^2)_4] \cdot 2H_2O$	OE	E	E	EM	E
$[Ni_2V_4O_{12}(L^2)_4] \cdot 2H_2O$	E	E	E	EM	E
$[Zn_2V_4O_{12}(L^2)_4] \cdot 2H_2O$	E	E	E	EM	E
L^{-3} (3,944 D)	EM	E	E	EM	E
$[Co_2V_4O_{12}(L^3)_2] \cdot 2H_2O$	E	E	E	EM	E
$[Cu_2V_4O_{12}(L^3)_2] \cdot 2H_2O$	OE	E	E	EM	E
$[Ni_2V_4O_{12}(L^3)_2] \cdot 2H_2O$	E	E	E	EM	E
$[Zn_2V_4O_{12}(L^3)_2] \cdot 2H_2O$	E	E	E	EM	E

Izoh: E. – Eriydi, OE. –Oz eriydi, EM – Erimaydi

II – bob bo‘yicha xulosalar

Ushbu bobda dissertatsiya tadqiqoti doirasida foydalanilgan asbob-uskunalar va reaktivlarning tavsifi, maqsadli birikmalarni sintez qilish usullarini tanlashga yondashuv, bir va aralash metalli kompleks birikmalarni olish hamda ularning fizik – kimyoviy xossalarini aniqlash usullari keltirilgan. Yangi koordinatsion birikmalar sintez qilishning optimal usullari ishlab chiqildi va Co(II), Ni(II), Cu(II), Zn(II) larning 27 ta gomo- va VO_2^+ bilan 12 ta geterometalli koordinatsion birikmalari sintez qilindi. Komplekslar sintezining optimal sharoitini ishlab chiqish maqsadida dastlab L^1 asosida 4 ta metodika bo‘yicha sintez olib borildi. Ushbu 4 xil metodikada o‘rganishdan asosiy maqsad ligand tarkibida tion-tiol tautomerlanish xolatining mavjudligidir. Kompleks xosil bo‘lish jarayonida atsidoligand tabiatining ta'siri kuzatilmadi, ammo liganddagi o‘rinbosar proton erituvchilarda tiol S-H holatda, aproton erituvchilarda esa tion C=S holatda bo‘lishini ko‘rsatdi. Sintez jarayonida reaksiya muhitiga ko‘ra kompleks hosil bo‘lishida rangning o‘zgarishi kuzatildi, bu ligand va 3d-metall tuzi o‘zaro kompleks hosil qilganligini ko‘rsatdi. Kompleks birikmalarning tarkibi element va rentgenofluoressent tahlili o‘tkazildi, element tahlil natijalari shuni ko‘rsatdiki, M:L molyar nisbati reaktivlarning dastlabki nisbatiga mos keladi.

Olingan kompleks birikmalarning rangi, reaksiyaning unumi va suyuqlanish haroratlari aniqlandi. Kompleks birikmalarning suyuqlanish harorati boshlang‘ich birikmalar, ya’ni ligand va oraliq metallarning tuzidan farq qilishi aniqlandi. Sintez qilingan kompleks birikmalarning turli erituvchilarda eruvchanligi o‘rganildi.

Olingan kompleks birikmalarning element tarkibi SEM-EDT usuli bilan o‘rganildi, organik ligandlar bilan metall ionlarining murakkab shakllanishi ularning mikro tuzilishining o‘zgarishiga olib keladi degan xulosaga kelish mumkin, xususan, ko‘plab metall va oltigugurt, azot, kislorod cho‘qqilari qayd etilgan, bu EDT tomonidan tasdiqlangan. Natijalarga ko‘ra gomometalli kompleks birikmalarning M:L 1:2 nisbatda, geterometalli kompleks birikmalar esa L^{1-3} M:V:L:1:2:2 mol nisbatda reaksiyaga kirishganligi xulosa qilindi. Ushbu SEM-EDT ma’lumotlari, rentgenofluoressent tahlil natijalari bilan tasdiqlandi.

III BOB. 1,3,4-OXSADIAZOL HOSILALARI ASOSIDAGI GOMO-, GETEROMETALLI KOMPLEKS BIRIKMALARINI FIZIK-KIMYOVIY TADQIQOT USULLARI YORDAMIDA O'RGANISH

3.1-§. Ligandlarning reaksiyon qobiliyatini yarim emperik kvant- kimyoviy usulda o'rganish

Kompleks hosil bo'lish jarayonini o'rganish uchun ko'p funksional oksadiazol hosilalari, jumladan 2,5-almashingan 1,3,4-oksadiazol (L^1 , L^2 , L^3) hosilalari ishlatildi. Ligandning tuzilishi kvant-kimyoviy hisoblash, IQ-spektroskopiya, rentgenfazaviy va termik tahlil usullari bilan o'rganilgan.

1,3,4-Oksadiazol va ularning oraliq metallar bilan hosil qilgan kompleks birikmalari biologik faollikka ega bo'lib, hozirda tibbiyotda qo'llanilayotgan ko'plab dorivor moddalarning tarkibiga kiradi. 1,3,4-Oksadiazol hosilalarini mikroelement sifatida qo'llaniladigan metallar bilan koordinatsion birikmalarini sintez qilishda, biofaol ligand va mikroelementlarning koordinatsion birikma holda faolligi o'zgaradi va ta'sir qilish xususiyatlari yaxshilanishi mumkin. Kvant-kimyoviy tahlil polifunksional ligandlarning koordinatsiyaga uchraydigan raqobatdosh donor markazlarni oldindan aytib berish imkonini beradi [127-129].

Ushbu ishda geteroatomli ligand 1,3,4-oksadiazol hosilalaridan: 5-(4-piridin)-1,3,4-oksadiazol-2(3N)-tion (L^1), 5-fenil-1,3,4-oksadiazol-2(3H)-tion (L^2) va 2-karboksimetiltio-5-fenil-1,3,4-oksadiazol (L^3) kvant-kimyoviy hisoblashlar orqali elektron tuzilishi o'rganildi. Kvant-kimyoviy tahlil Gaussian09 dasturiy paketida B3LYP nazariyasi doirasida LanL2DZ bazisida amalga oshirildi. Kvant-kimyoviy tadqiqotlar bir nechta bosqichda: o'rganilayotgan moddalarning nazariy modelini tuzib olish, optimizatsiyalash va fizik-kimyoviy ko'rsatkichlarni hisoblash, olingan natijalarni qayta ishlash va vizualizatsiyalash ketma ketligida olib borildi.

3.1-Jadvalda 1,3,4-oksadiazol hosilalarini optimizatsiyalash bo'yicha kvant-kimyoviy o'rganish natijalari va 3.1-rasmda ligandlarning optimizatsiya qilingan strukturalari keltirilgan.

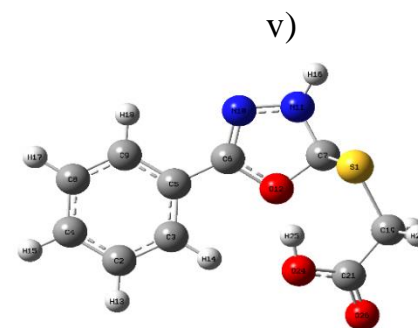
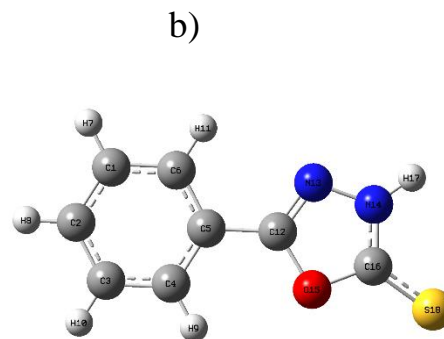
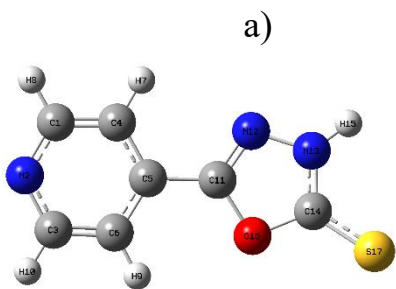
3.1-Jadval

1,3,4-Oksadiazol hosilalarini optimizatsiyalash natijasida olingan ayrim
fizik-kimyoviy ko'rsatkichlar

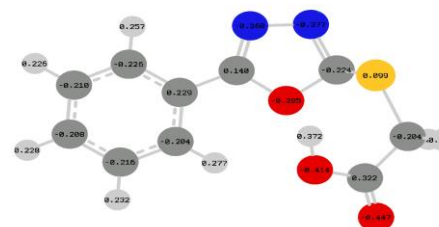
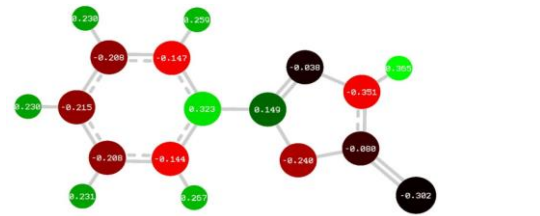
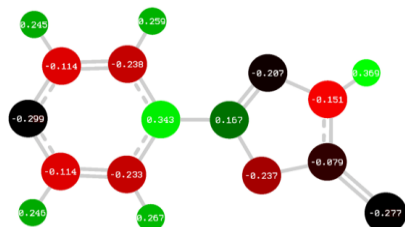
Ligand	E_{sis} , Ha	μ , Debay	α , a.u.	E_T , kkal/mol	C_v , kkal/mol-K	S , kkal/mol-K
L^1	-519,2	2,876	115,886	80,003	34,611	96,915
L^2	-445,2	2,667	110,978	89,965	37,662	95,533
L^3	-732,2	3,944	149,016	130,818	54,276	126,410

Kvant-kimyoviy tadqiqotlar davomida 1,3,4-oksadiazol hosilalarining Malliken zaryadlari taqsimoti o'rganildi. 3.1-Rasmda keltirilgan ma'lumotlardan ko'rish mumkinki, barcha hosilalarda konyugirlanish kuzatiladi. Konyugirlanish benzol va piridin halqalaridagi p -, p - elektronlar hamda oksadiazol halqasidagi amin ($-NH$), imin ($=NH$), merkapt ($=S$) guruhlari elektronodonor atomlar va kislorod atomidagi (faqat L^3 molekulasida) taqsimlanmagan elektron juftlari (musbat mezomer (+M) effekti) hisobiga amalga oshadi. Konyugirlanish oqibatida elektron zichliklarining qayta taqsimoti kuzatiladi. L^1 va L^2 ligandlarning amin guruhining azot atomi oksadiazol halqasidagi eng yuqori manfiy zaryadga ($L^1=-0.151$, $L^2=-0.351$) ega bo'lib qoladi (3.2-rasm). Shuningdek, oksadizaol halqasidagi kislorod atomida ham elektron zichlik ancha yuqori. E'tiborlisi shundaki, L^1 va L^2 ligandlarda konyugirlanishda S atomi ham ishtirok etadi va bu holatlarda musbat mezomer (+M) effekt manfiy induktiv (-I) effektini amaliy jihatdan neytrallaydi, oqibatda bu birikmalardagi S atomida elektron zichligi mos ravishda $L^1=-0,277$, $L^2=-0,302$, gacha ortadi. Imin guruhidagi azot atomi (N14) elektron zichligi juda siyrak ($L^1=-0.207$, $L^2=-0.038$). L^3 ligand molekulasidagi elektron zichligi taqsimotiga karboksil guruhi sezirlarli darajada ta'sir ko'rsatadi. Karboksil guruhining manfiy induktiv (-I) effekti natijasida oltingugurt atomida elektron zichligi tanqisligi kuzatiladi (0.099).

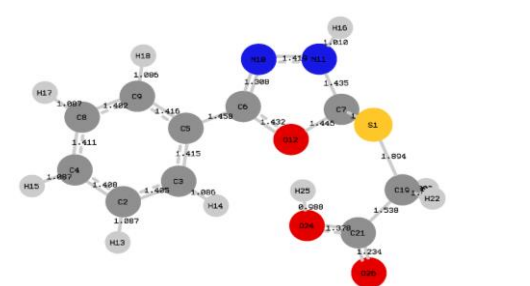
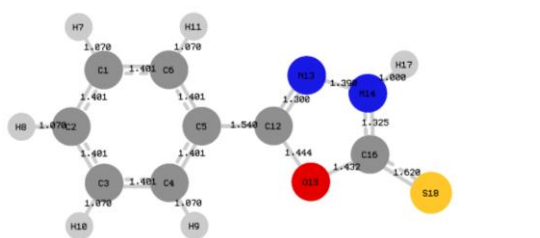
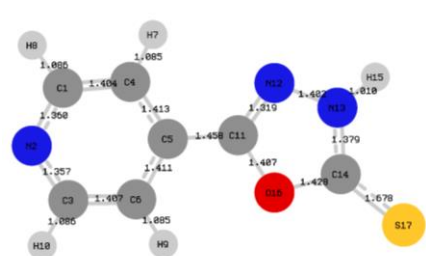
Optimizatsiya
qilingan
strukturalar:



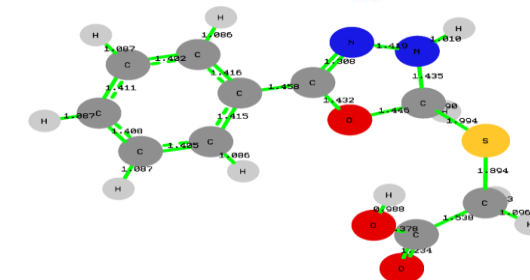
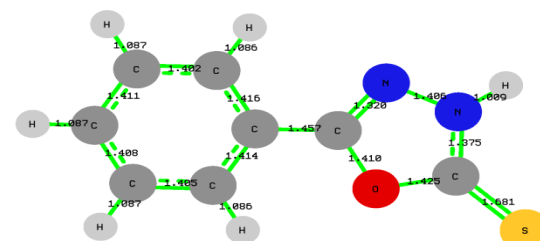
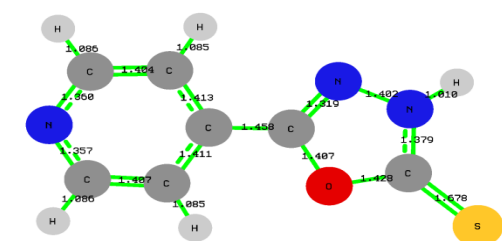
Malliken
zaryadlari
taqsimoti



Bog' uzunliklari



Bog' tartiblari



3.1-Rasm. Ligandlarning reaksiyon qobiliyatini yarim emperik kvant-kimyoviy o'rganish: a – L¹, b – L², v – L³.

1,3,4-Oksadiazol halqasiga birikkan o‘rinbosarlar tabiatining o‘zgarishi ligandlarning qutblanuvchiligiga ham ta'sir etadi. 3.1-Jadvalda keltirilgan ma'lumotlardan ko‘rish mumkinki, ligandlarning dipol momenti qiymatlari $L^2 \rightarrow L^1 \rightarrow L^3$ tartibida oshib boradi.

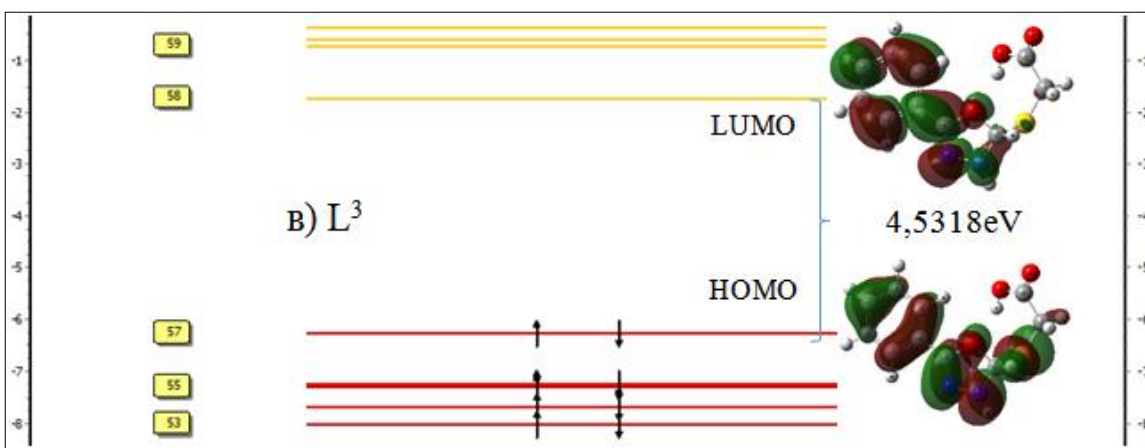
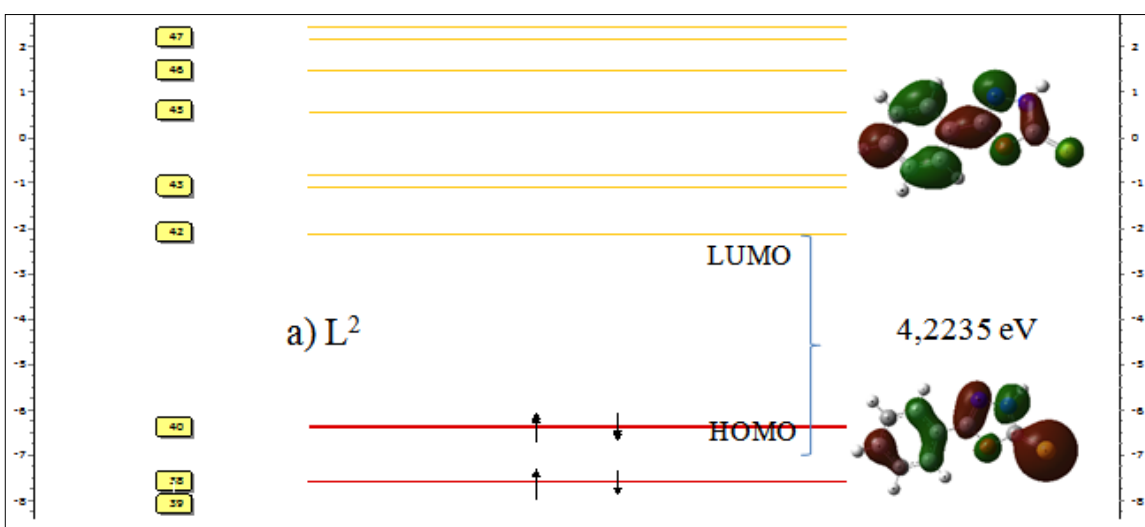
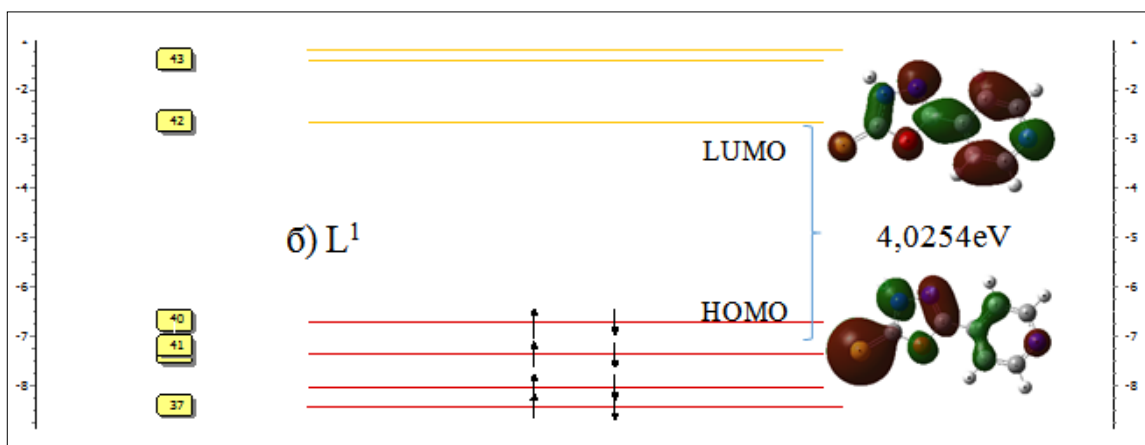
Yuqorida keltirilgan ma'lumotlarga asoslangan holda L^1 va L^2 ligandlar kislorod atomi va imin guruhi hisobida bidendatlikni, L^3 esa polidentatlikni namoyon qilishi mumkinligini ta'kidlash mumkin. Umumiy koordinatsiyalash qobiliyati ligandlarning $L^2 \rightarrow L^1 \rightarrow L^3$ qatori ko‘rinishida oshib borishi borishi aniqlandi.

Ammo shunga qaramasdan, real sharoitlarda metall kationlari, anionlar va erituvchi molekulari ta'siri ostida geterohalqalardagi geteroatomlar elektron zichligining qayta taqsimlanishi oqibatida ularning koordanatsion qobiliyati o‘zgarishlarga uchrashishi mumkin. Shu sababli kvant-kimyoviy hisoblashlarni turli d-metall tuzlari hamda erituvchilar ishtirokida amalga oshirish yanada ko‘proq ma'lumot olishga imkon yaratadi.

Ligandlardagi konyugirlanish, ya'ni manfiy induktiv (-I) va musbat mezomer (+M) effektlar tufayli ularda ayrim bog‘ uzunliklari va tartiblarida o‘zgarishlar kuzatiladi. Jumladan, C=S bog‘ uzunligi odatdagi 1,55 Å (uglerod disulfidida) dan ancha farq qiladi va mos ravishda 1,628 va 1,678 Å ga teng bo‘lib qoladi (3.1-rasm). Ligandlardagi bog‘ tartiblarida ham Malliken zaryadlariga muvofiq keluvchi o‘zgarishlar kuzatiladi. Jumladan, L^1 ligand tarkibidagi N13-C14 va C14-S17 bog‘lari, L^2 ligand tarkibidagi N14-C16 va C12-O15, shuningdek L^3 liganddagi C6-O12 bog‘ uzunliklari 1,5 ga tengdir (3.1-rasm).

Nazariy kvant-kimyoviy tadqiqotlar doirasida barcha ligandlar molekularining asosiy va qo‘zg‘algan holatlaridagi molekulyar orbitallari holati va elektron qo‘zg‘alishlarning energetik ko‘rsatkichlari aniqlandi.

Kvant-kimyoviy tadqiqotlar davomida o‘rganilayotgan ligandlarning asosiy va qo‘zg‘algan holatdagi frontal (chegaraviy) molekulyar orbitallari (MO) tadqiq etildi (3.2-rasm va 3.2-jadval).



3.2-Rasm. Ligandlar MO energetik qavatlar diagrammasi

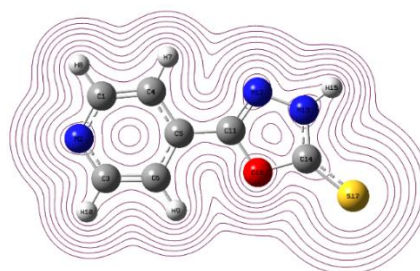
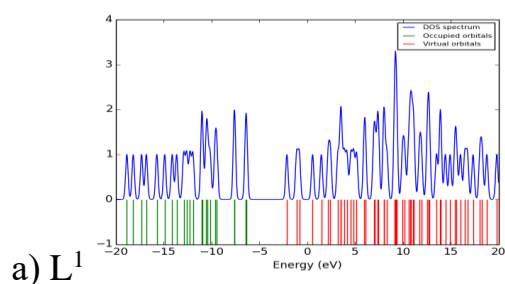
3.2-Rasm va 3.2-jadvalda keltirilgan ma'lumotlardan ko'rinib turibdiki, ta'qiqlangan zona (HOMO – LUMO farqi) ning kengligi bo'yicha eng yuqori qiymat (4,5318 eV) L^3 ligandda namoyon bo'ladi, ya'ni bu ligand molekulasida asosiy holatdan (HOMO) qo'zg'algan holatga (LUMO) o'tishi uchun ko'proq energiya talab etiladi.

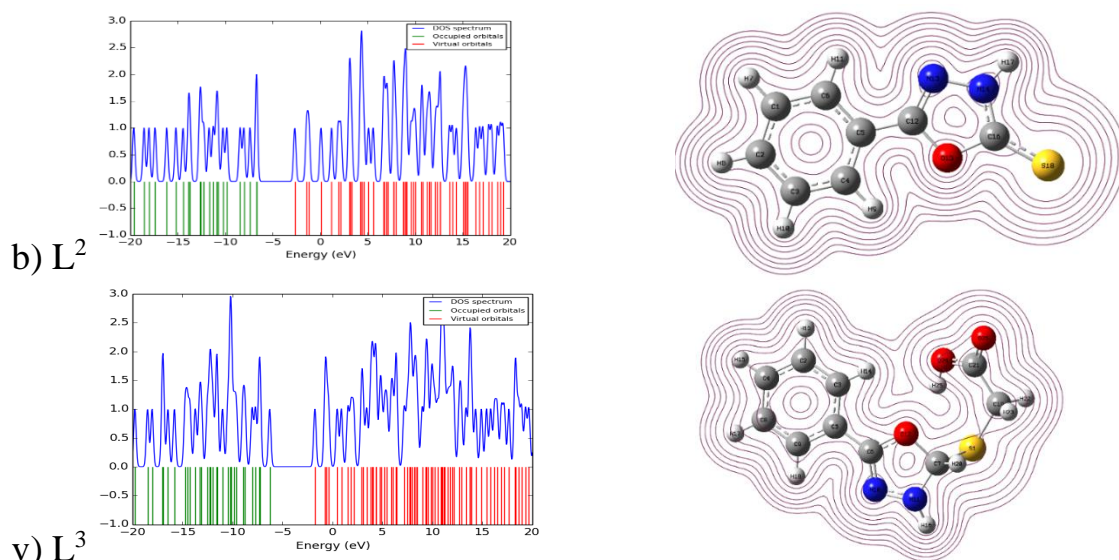
Ligandlarda chegaraviy molekulyar orbitallar va ta'qiqlangan zona energiyalari

Ligand	HOMO, eV	LUMO, eV	E _g , eV
L ¹	-6,7044	-2,6790	4,0254
L ²	-6,3430	-2,1195	4,2235
L ³	-6,2744	-1,7426	4,5318

3.2-Rasmdan ko'rish mumkinki, barcha ligandlarda elektron bilan to'lgan eng yuqori MO lar singlet holatga ega, ya'ni qarama-qarshi spinli ikkita elektron bilan to'lgan. Qo'zg'algan holatdagi eng quyi MO lar esa bo'sh turibdi. Shu sababli, barcha ligandlar elektron spinlari bo'yicha simmetrik ko'rinishga, boshqacha qilib aytganda, "yopiq" elektron qobiqlarga ega.

Yuqorida keltirilgan ma'lumotlarga muvofiq ravishda, 3.3-rasmdan ko'rinib turibdiki, umumiy olganda $\sim -6,3 \div -1,7\text{eV}$ oraliqda elektron qobiqlari zichligi 0 ga teng, ya'ni yuqorida ta'kidlagandek, elektron mazkur energetik oraliqda mavjud bo'la olmaydi. Ya'ni ligandlar molekulari molekulyar orbitallari energiya diagrammasi uzluksiz ravishda, balki diskret ravishda o'zgaradi. Boshqacha qilib aytganda, ligandlar molekulyar orbitallari istalgan qiymatlarni emas, balki cheklangan diskret qiymatlarni qabul qiladi. Shu sababli, L¹, L² va L³ ligandlar molekulari asosiy holatdan qo'zg'algan holatga o'tishi uchun talab etiladigan minimal energiya qiymati mos ravishda: L¹ = 41 MO (HOMO) – 42 MO (LUMO) = 4,0254 eV (388,392kJ/mol), L² = 41 MO (HOMO) – 42 MO (LUMO) = 4,2235 eV (407,5057kJ/mol) va L³ = 57 MO (HOMO) - 58 MO (LUMO) = 4,5318 eV (437,2521 kJ/mol) tashkil etadi.

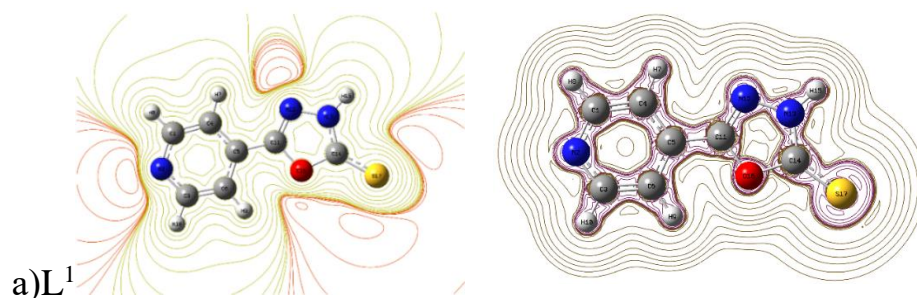


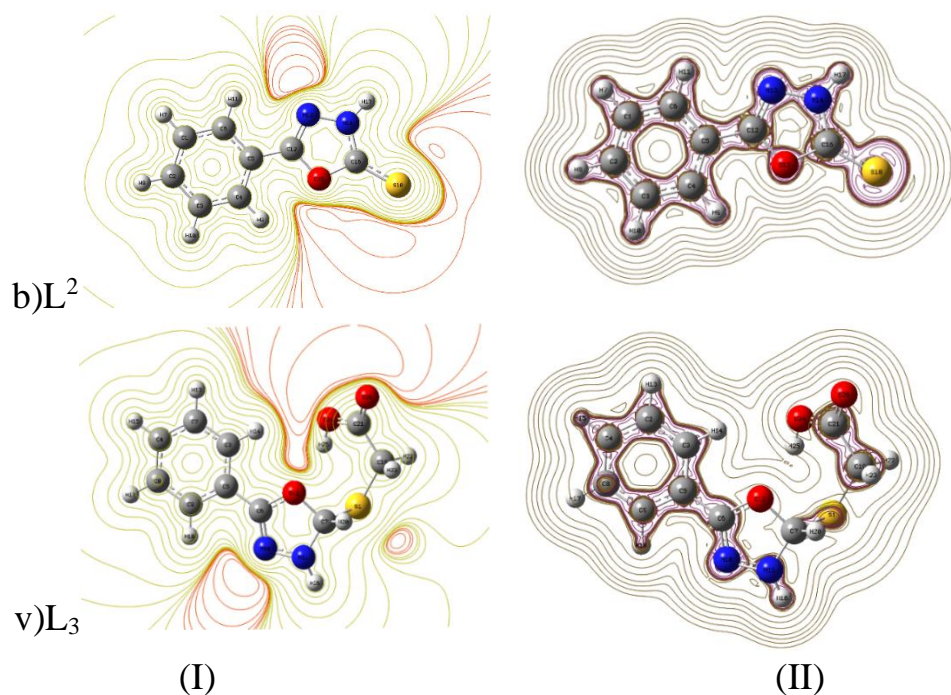


3.3-Rasm. L^1 (a), L^2 (b), L^3 (v) Ligandlarning molekulyar orbital qavatlarining umumiy zichligi va zichlik spektri (DOS – density of orbital state) grafiklari

(ko‘k rang – DOS spektri, yashil rang – asosiy holatdagi orbitallar, qizil rang – qo‘zg‘algan holatdagi orbitallar).

Ligandlar molekularining to‘lqin funksiyalarini hisoblash orqali aniqlangan elektrostatik potensial (ESP) konturlari 3.4-rasmda tasvirlangan. ESP elektron zichligi bilan bog‘langan bo‘lib, kimyoviy reaksiyalarda elektrofil va nukleofil hujumlar tabiatini yoki hududini aniqlashga yordam beradi. Tasavvur qilaylik, agarda musbat zaryad molekulaga yaqinlashayotganda u musbat hududlarni chetlab o‘tib, manfiy hududlarni ma’qul ko‘radi. Ya’ni, ESP dipol momentga aloqador bo‘lib, u molekulaning nisbiy qutblanuvchanligini hamda lokal musbat va lokal manfiy hududlarni vizual ko‘rsatib berishga xizmat qiladi. Chunki elektrostatik kuchlar birinchi galda molekularo uzoq ta’sirlarga (nokovalent, elektrostatik, Van-der-Vaals bog‘lar) javobgardir.





3.4-Rasm. L^1 (a), L^2 (b), L^3 (v) Ligandlar molekularining:

I) elektrostatik potensial (ESP) konturlari; II) Laplasian konturlari

ESP konturidagi qizil konturlar elektrostatik potensialning minimal qiymatlariga mos keladi hamda bu hududlar elektrofil hujumga, masalan, anionlar – kislota qoldiqlariga moyil bo‘ladi. Yashil rang esa elektrostatik potensialning yuqoriligidan dalolat beradi. Bu hududlar nukleofil hujumga (metall kationlari ta'siriga) moyil bo‘ladi. Ushbu xulosalar Malliken zaryadlarining taqsimoti borasidagi natijalarga mos keladi.

Haqiqatdan ham imin-, merkapto- guruhlar hamda oksadiazol halqasidagi kislorod atomi atrofida manfiy zaryad zichligi juda past (qizil konturlar). Shunday holatni L^1 molekulasidagi piridin halqasi azot atomi (N2) hamda L^3 ligand molekulasida karboksil guruhi va oltingugurt atomi (S1) atrofida ham ko‘rish mumkin. Bu esa mazkur hududlarda donor-akseptor bog‘larning hosil bo‘lish ehtimolligining pasayganligidan dalolat beradi.

Shuningdek, kvant-kimyoviy tadqiqotlar davomida elektron zichlikning umumiy taqsimoti kontur chiziqlari hamda Laplasian konturlari aniqlandi (3.4-rasm).

3.4-Rasmdan ko‘rinib turibdiki, Laplasian manfiy qiymatlarga ega bo‘lgan hududlarda (binafsha rang) manfiy zaryad zichlashgan bo‘lib, potensial energiya dominantlik qiladi. Laplasian musbat hududlarda esa kinetik energiya dominantlik qiladi, manfiy zaryad esa siyraklashadi. Bu natijalar yuqorida bayon qilingan xulosalarni tasdiqlaydi.

3.3-Jadval

Ligand o‘rinbosarlarini elektrodonor atomlari va oksadiazol halqasining donor atomlarida hisoblangan elektron zichliklari

Ligand	O‘rinbosar	Oksadiazol halqasi				Py
		-NH(C)	= O	= S	=N(N)	(C)-N=(C)
B3LYP/ LanL2DZ						
L ¹	- Py	-0.151	-0.237	- 0.277	-0.207	-0.299
L ²	- Ph	-0.351	-0.240	- 0.302	-0.038	-
L ³	- Ph, -(S)-CH ₂ - COOH	-0.377	-0.285 -0.447(C=O) -0.414(C-O)	0.099	-0.306	-

3.3-Jadvaldagi ma'lumotlar asosida, L¹⁻³- lar uchun ularning reaksiyon qobiliyati va elektron zaryadlarni kamayishiga, oksadiazol halqasidagi o‘rinbosarlarning umumiy elektron ta'siriga ko‘ra quyidagi qatorda joylashtirilishi: L²<L¹<L³ (- Ph <- Py <- Ph, -(S)-CH₂-COOH) xulosa qilindi.

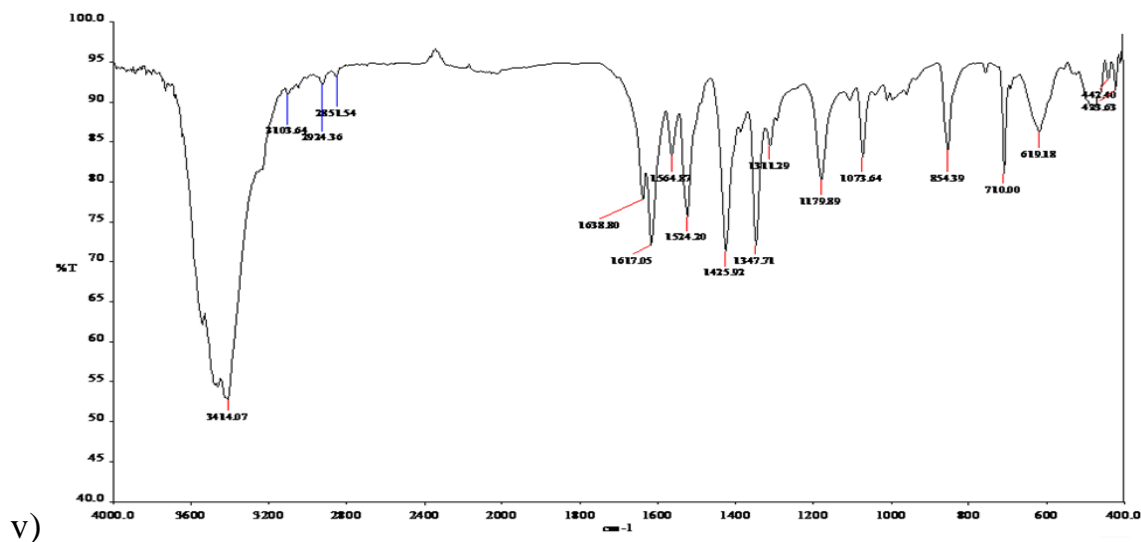
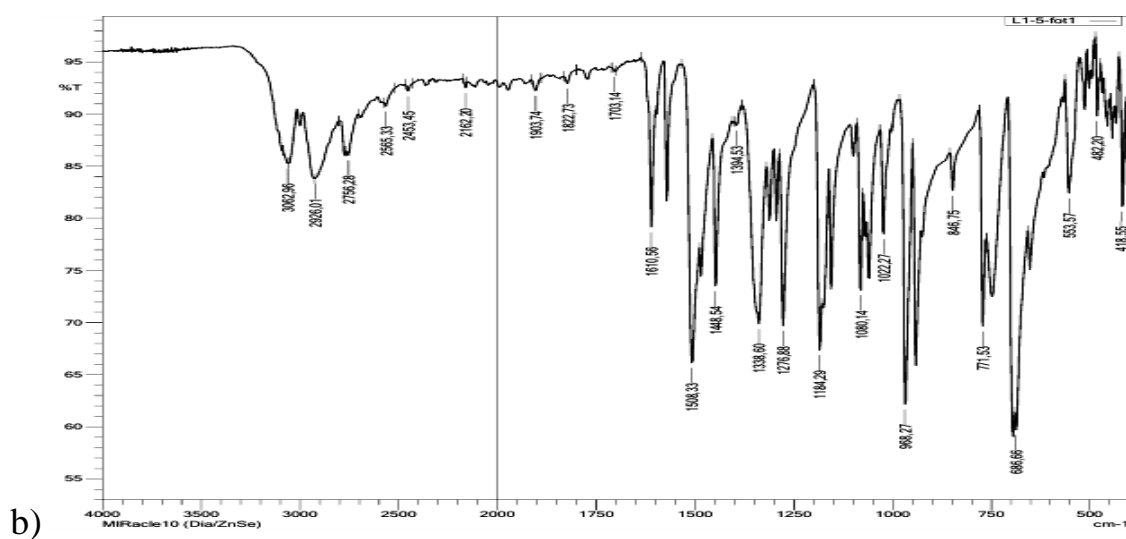
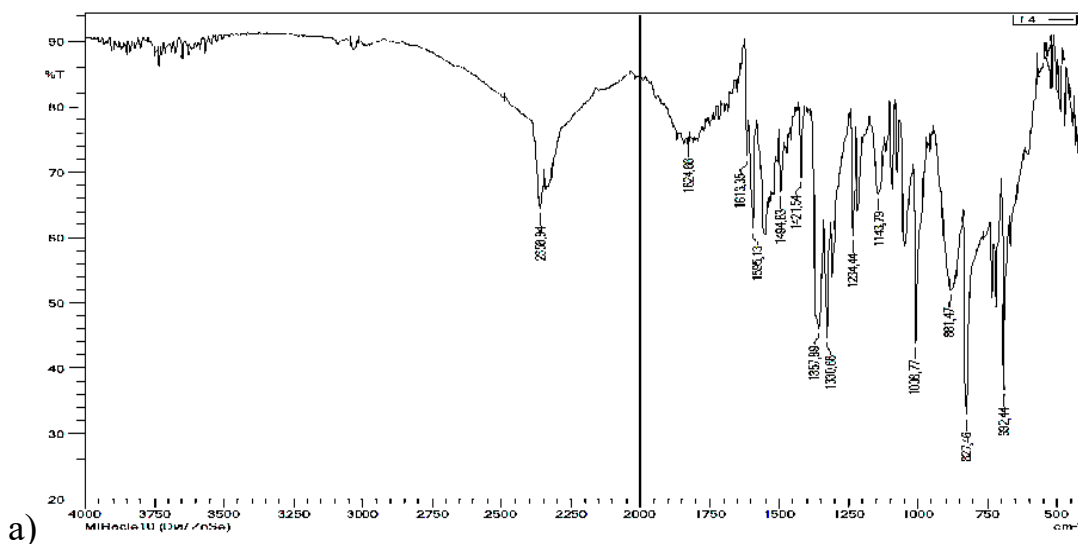
Bundan tashqari, 5-o‘rin almashgan-1,3,4-oksadiazol-2-tion/tiol hosilasi tautomer shakllarini mavjudligini inobatga olib, ushbu ikki holatning reaksiyon qobiliyatini va barqaror holatini aniqlash maqsadida kvant-kimyoviy hisoblash olib borildi. DFT/B3LYP/6-311+G(d,p) bazisidagi, LanL2DZ metodi bilan 5-o‘rin almashgan-1,3,4-oksadiazol-2-tion/tiol hosilasining geometrik tuzilishi MEP va zaryadlarining taqsimlanishi, elektrofil va nukleofil jarayonlarning reaksiya markazlarini aniqlash uchun optimizatsiyalashtirilgan geometriyasi bilan sirt elektrostatik potenciallari hisoblandi. Sirt elektrostatik potenciallaridagi turli hil qiymatlar har xil ranglar bilan ifodalanadi va potenciallar qiymati quyidagi tartibda oshib boradi: qizil <to‘q sariq <sariq <yashil <ko‘k.

5-o‘rin almashgan-1,3,4-oksadiazol-2-tion/tiol hosilalaridan L^1 , L^2 larning -tiol tautomer holatda nukleofil va elektrofil markazlar mavjud bo‘lib, uning reaksiyon faolligi yuqori bo‘lishi aniqlandi.

3.2-§. Ba’zi 3d-metallarni NH_4VO_3 bilan oksadiazoltion hosilalari asosida gomo- va geterometalli kompleks birikmalarini IQ-spektroskopiya usulda o‘rganish

Ligandlar va sintez qilingan kompleks birikmalarning tuzilishini va individualligini aniqlash maqsadida IQ-spektroskopik tahlil o‘tkazildi. 3.5-3.8-jadvallarda va 3.6-3.10-rasmlarda 1,3,4-oksadiazol hosilalari asosida sintez qilingan kompleks birikmalarning IQ-spektroskopiya natijalari keltirilgan.

IQ-spektr natijalari L^{1-3} ligandlar bo‘yicha umumiy holatda tahlil qilib chiqilganda, aromatik halqaga tegishli bo‘lgan C-H bog‘i valent tebranishlari $\sim 2925-3100\text{ cm}^{-1}$ sohada kuzatildi. L^{1-2} da C=N funksional guruhining simmetrik va assimetrik tebranishlarining yutilish chiziqlari o‘rtacha 1595 cm^{-1} ($\nu_{as}C=N$), $\sim 1616\text{ cm}^{-1}$ ($\nu_sC=N$) chastotaga ega, L^3 ligandda esa S=N guruhi $1524-1564\text{ cm}^{-1}$ sohada joylashgan bo‘lib, L^{1-2} ligandlarga nisbatan yutilish chizig‘ining bunday siljishi karboksil guruhining ta'siri bilan izohlanadi. L^2 ligand tarkibida boshqa ligandlar tarkibida mavjud bo‘lmagan, koordinatsiyalanish ehtimolligi yuqori bo‘lgan piridil halqasidagi $\nu(C-N=C)$ bog‘ yuqori intensivlik bilan 1006 cm^{-1} sohada kuzatildi. L^3 da karboksil guruhiga tegishli assimetrik va simmetrik valent tebranish chiziqlari $1617-1638\text{ cm}^{-1}$ sohada joylashgan bo‘lib, bu karboksil guruhi uchun odatda qabul qilingan chastotalardan biroz pastroqdir, bu holatni molekuladagi ichki molekulyar vodorod bog‘lanish orqali izohlash mumkin. Ushbu karboksil guruhiga tegishli assimetrik va simmetrik valent tebranish sohalari ayirmasi $\Delta=\nu_{as}(COO)-\nu_s(COO)=200$ va undan yuqori bo‘lsa bidentat, 200 dan kam bo‘lsa monodentat birikishini ko‘rsatadi [130-134].



3.6-Rasm. a) L¹; b) L²; v) L³ larning IQ spektrlari;

Tion/tiol holatda mavjud bo‘lish ehtimolligi bo‘lgan L¹⁻² ning IQ-spektrlari tahlil qilinganda ~1494-1421 sm⁻¹ sohada oksadiazol halqasidagi =N-N- bog‘iga

tegishli xarakterli chiziqlar aniqlandi. Ushbu L^{1-2} ligandlarda $3100-3200\text{ cm}^{-1}$ sohada iminoguruhga tegishli valent tebranish chastotasiining yo'qligi, L^{1-2} ning quruq holatda tiol holatda bo'lishidan darak beradi. Bu ligandning IQ-spektridagi muhim xarakterli chiziqlardan biri S-H valent tebranishlari bilan tasdiqlanadi, u 2358 cm^{-1} sohada paydo bo'ladi. Ammo shuni takidlash kerakki, L^1 ning turli erituvchilarda erishi natijasida tautomer shaklini o'zgartirishi mumkin. Turli erituvchilarda olib borilgan tadqiqotlar natijasida qaysi tautomer shaklning ustunligi haqida qaror qabul qilish mumkin.

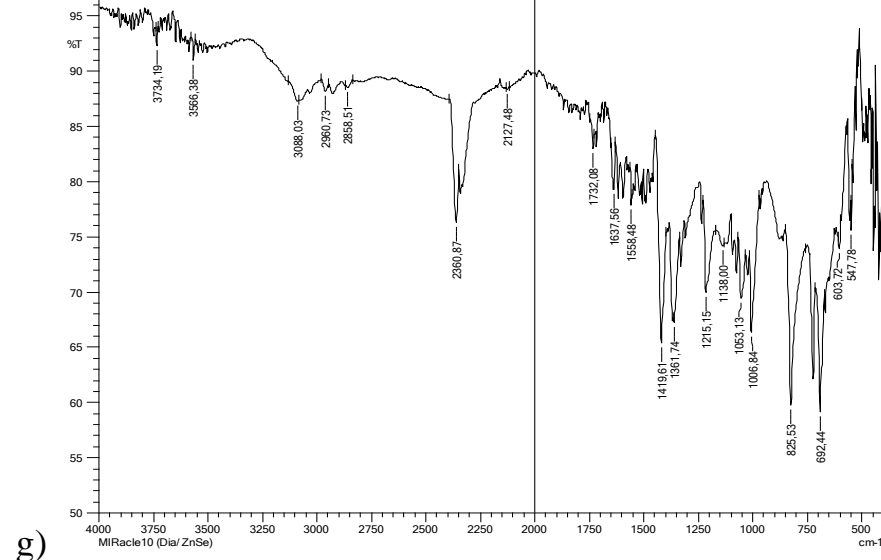
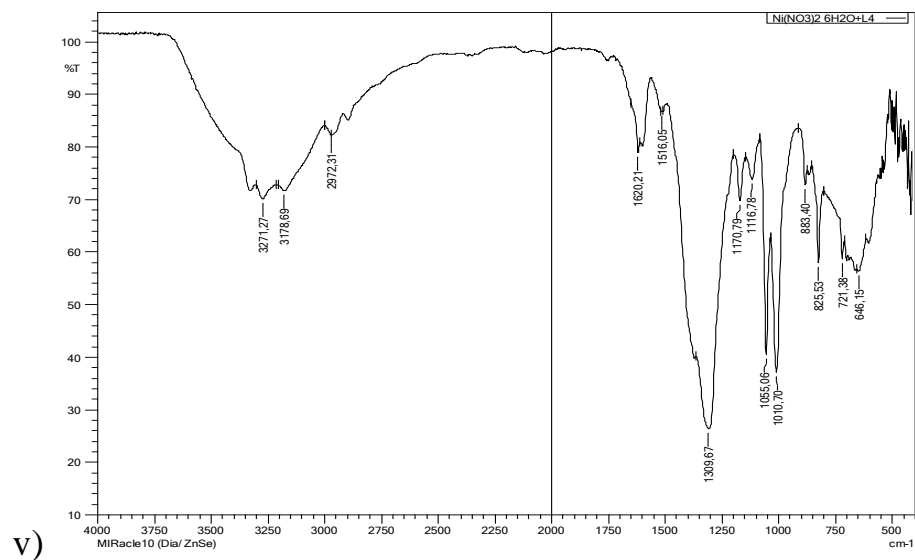
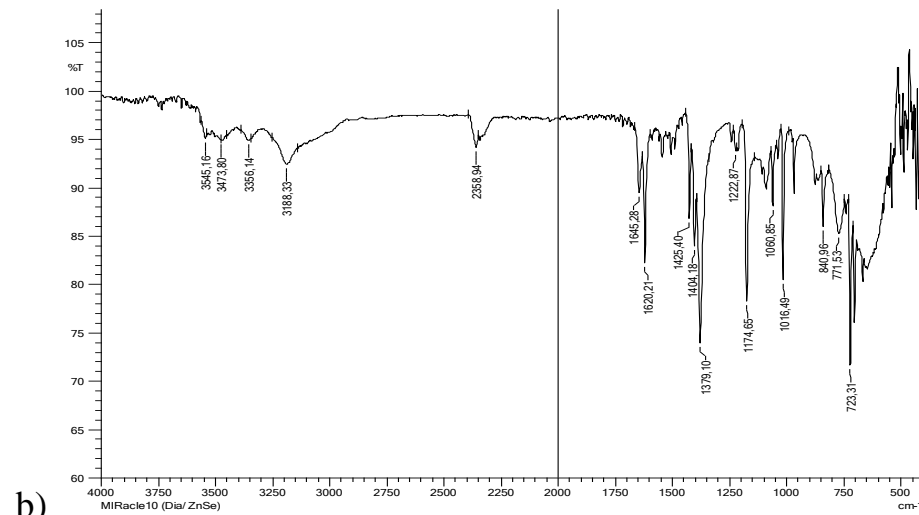
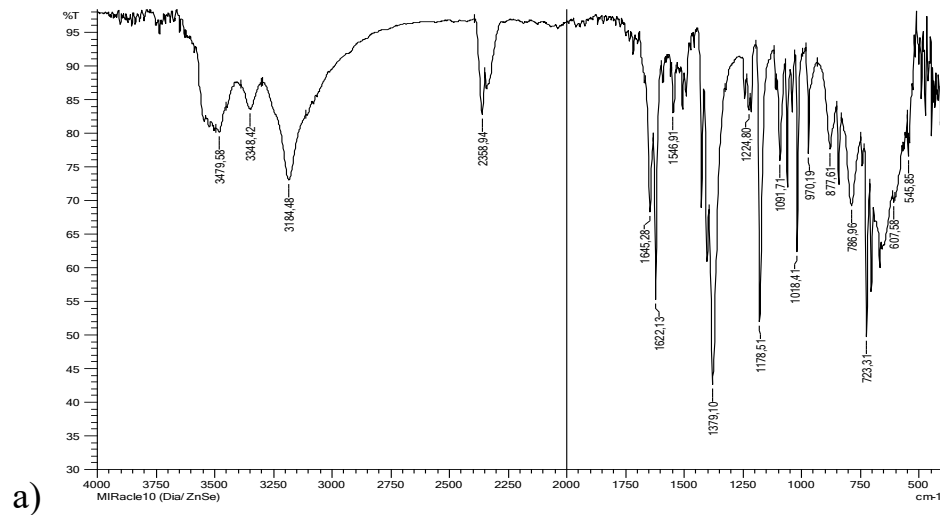
Sintez qilingan kompleks birikmalarning infraqizil spektrlarida ligandlarning funksional guruhlarining xarakterli yutilish sohalarida kompleks hosil bo'lishi tufayli mos siljishlar kuzatildi. Erkin ligandda 1595 cm^{-1} sohada kuzatiladigan $\nu C=N$ bog'ining valent tebranish chiziqlari, kompleks birikmalarda past chastota tomon siljiydi va $1516-1573\text{ cm}^{-1}$ soha oralig'ida kuzatildi. Bu chiziqlar $\nu C=N$ bog' intensivligining qisqarishiga to'g'ri keladi. Buni metallning elektron zichligini ligandning π -holati bilan delokallashishi deb izohlash mumkin, bu azotning (C=N) metall atomlari bilan koordinatsiyalanganligini ko'rsatadi. L^{1-2} ligandlar asosida sintez qilingan barcha gomometalli kompleks birikmalarda $\nu S-H$ ga tegishli xarakterli chiziq yo'qoladi. Bu esa metall kationi va oltingugurt o'rtasida ion bog'lanish hosil bo'ladi degan xulosaga kelishga imkon beradi. Geterometalli kompleks birikmalarda esa $\nu S-H$ funksional guruhiga mos keladigan yutilish chizig'i saqlanadi. Gomo- va geterometalli kompleks birikmalardagi bog'lanishlarning bunday farqli jihatlarini ushbu birikmalarning sintez usullarini turlichaligi bilan izohlash mumkin. Ligand L^3 tarkibidagi karboksil guruhiga tegishli yutilish chiziqlarining gomo- va geterometalli kompleks birikmalar infraqizil spektrlarida quyi sohaga tomon $10-40\text{ cm}^{-1}$ gacha siljiganligi, ushbu ligand metall atomiga karboksil guruhi orqali koordinatsiyalanganligidan dalolat beradi.

Bundan tashqari ba'zi gomometalli kompleks birikmalarning IQ-spektrlarida $3000\text{ cm}^{-1} - 3700\text{ cm}^{-1}$ gacha sohalarga cho'zilgan o'rtacha intinsivlikdagi kengaygan valent chiziqlar kuzatildi. Bu esa -OH guruhiga tegishli

bog‘ni, ya‘ni 3000 sm^{-1} - 3400 sm^{-1} sohalarda koordinatsiyalangan hamda 3500 sm^{-1} - 3700 sm^{-1} soha oralig‘idagi o‘rtacha intensivlikdagi valent chiziqlar kristalizatsiyalangan suv molekulasi mavjudligini ko‘rsatadi.

$[\text{V}_4\text{O}_{12}](\text{L}+\text{H}^+)_4$ tarkibli oniyli kompleks birikmalar tahlil qilinganda, L^{1-3} ligandlarda uchramagan $\nu(\text{V}-\text{O})$ $650-700 \text{ sm}^{-1}$, $\nu(\text{V}=\text{O})$ $900-980 \text{ sm}^{-1}$ va $\nu(\text{N}-\text{H})$ $3251-3202 \text{ sm}^{-1}$ sohalar o‘rtacha intensivlikdagi valent chiziqlar kuzatildi, bu esa ligand molekulasi protonlangan holatda ekanligini va markaziy atom vanadiy siklik vanadil holatidalgidan dalolat beradi. Bunda oniyli kompleksning hosil bo‘lishi molekulararo vodorod bog‘lanish hisobiga ekanligi aniqlandi [130; 536 b, 131; 528 b, 132; 305-358 b, 133; 189 b, 134; 234 b].

L^{1-2} ligandlarning IQ-spektridan farqli o‘laroq, barcha sintez qilingan gomometalli kompleks birikmalarda 500 sm^{-1} soha atrofida M-N bog‘linishiga mos keladigan tebranish chiziqlari mavjud bo‘lib, bu chiziqlar oksadiazol halqasining imin guruhi va L^1 ligandining piridil halqasidagi azot atomi metall ioni bilan koordinatsiyalanishda ishtirok etishi mumkin degan xulosani beradi. Ligand L^3 ning gomometalli kompleks birikmalarida (M-O) bog‘i karboksil guruhidagi $\Delta=\nu_{\text{as}}(\text{COO})-\nu_{\text{s}}(\text{COO})$ farqi 200 sm^{-1} dan yuqoriligi aniqlandi, bu esa karboksil guruhidagi kislorod atomlari orqali bidentat koordinatsiya ketganligidan dalolat beradi. L^{1-2} ligandlar asosidagi gomometalli kompleks birikmalarning IQ-spektrlarida $\sim 450 \text{ sm}^{-1}$ chastotada M-S bog‘iga mos keladigan yutilish chiziqlari kuzatildi. Oniyli va geterometalli kompleks birikmalarda $\sim 680 \text{ sm}^{-1}$ (V-O) va 595 sm^{-1} (M-O) chastotalarda M-O bog‘iga mos keladigan yutilish chiziqlari aniqlandi. L^1 - L^2 -ligandlar geterometalli kompleks markazida joylashgan oksovanadiyli (oniyli) qismga oksadiazol halqasidagi uchinchi azot atomi orqali koordinatsiyalanadi, L^3 esa tarkibidagi karboksil guruhidagi kislorod atomlari orqali oksovanadiyli qism bilan donor-akseptor bog‘lanish hosil qilishi aniqlandi (3.11-3.16 rasmlarda kompleks birikmalarning IQ spektrlari keltirilgan).

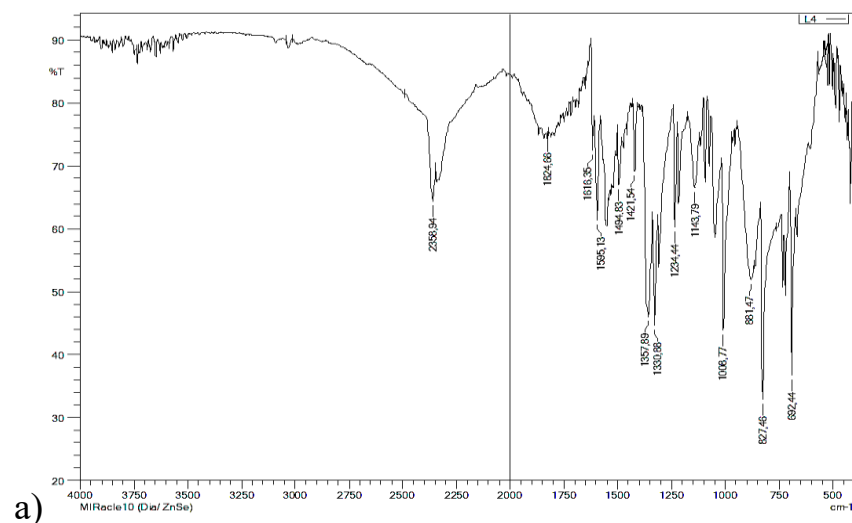


3.7-Rasm. L¹ ning turli erituvchilardagi kompleks birikmalari IQ-spektri

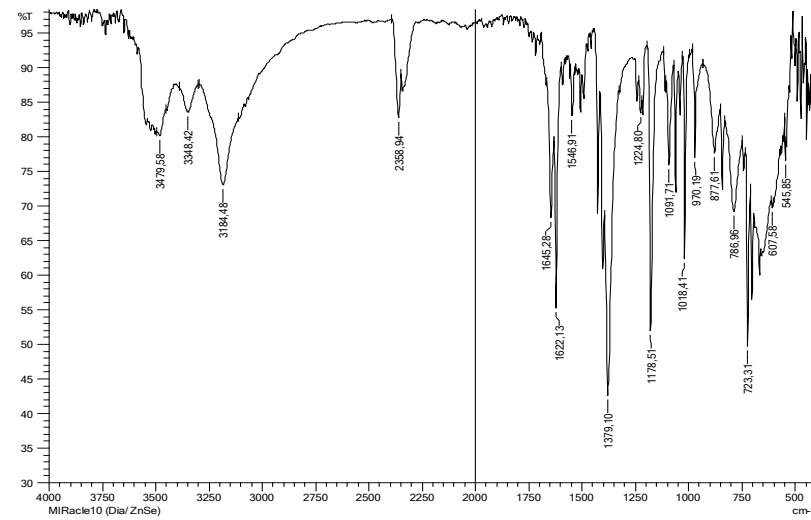
a) [Ni(L¹)₂(H₂O)₄]·2H₂O; b) [Ni(L¹)₂(H₂O)₂]; v) [Ni(L¹)₂(H₂O)₄]; g) {[Ni(L¹)₄(H₂O)₂]_n}

L¹ va uning turli erituvchilarda olingan kompleks birikmalarining IQ-spektridagi muhim qiymatlari (sm⁻¹)

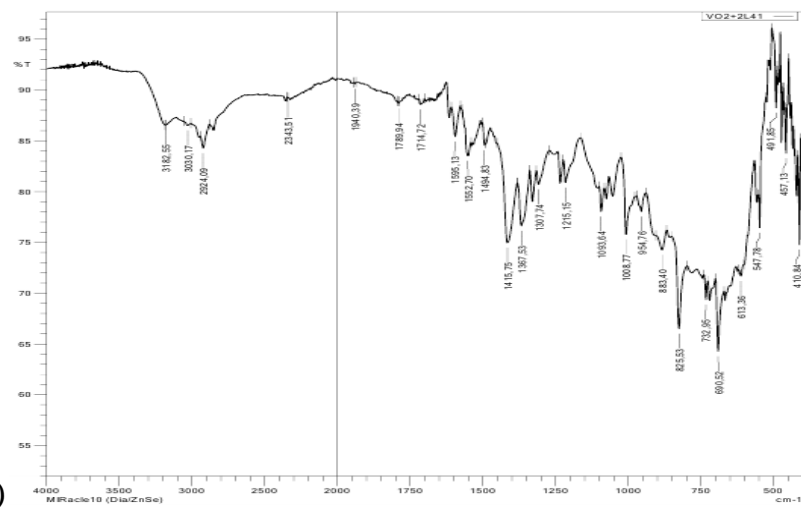
Birikma	ν_s (C=N)	ν_{as} (C=N)	ν (S=C)	ν (C-O-C)	ν S-H	ν O-H	ν (N-M)
L ¹ –	1595	1616	-	1421	2358		-
[Ni(L ¹) ₂ (H ₂ O) ₄]*2H ₂ O	1546	1645	-	1379	2358	3479-3348	490
[Co(L ¹) ₂ (H ₂ O) ₄]*2H ₂ O	1550	1645	-	1379	2358	3545-3473	493
[Zn(L ¹) ₂ (H ₂ O) ₄]*2H ₂ O	1558	1637	-	1361	2360	3566	507
[Cu(L ¹) ₂ (H ₂ O) ₄]*2H ₂ O	1550	1635	-	1396	2360	3649	500
[Ni(L ¹) ₂ (H ₂ O) ₂]	1562	1630	-	1384	-	3243	501 462(M-S)
[Co(L ¹) ₂ (H ₂ O) ₂]	1553	1642	-	1392	-	3275	510 458(M-S)
[Zn(L ¹) ₂ (H ₂ O) ₂]	1556	1637	-	1369	-	3266	506 467(M-S)
[Cu(L ¹) ₂ (H ₂ O) ₂]	1555	1621	-	1390	-	3254	511 479(M-S)
[Ni(L ¹) ₂ (H ₂ O) ₄]	1516	1620	1170	1404	-	3271-3178	487
[Co(L ¹) ₂ (H ₂ O) ₄]	1573	1633	1170	1396	-	3242	515
[Zn(L ¹) ₂ (H ₂ O) ₄]	1550	1639	1165	1415	-	3250	511
[Cu(L ¹) ₂ (H ₂ O) ₄]	1556	1612	1178	1400	-	3367-3161	500
{[Ni(L ¹) ₄ (H ₂ O) ₂]} _n	1552	1600	1157	1404	2362	3261-2951	487
{[Co(L ¹) ₄ (H ₂ O) ₂]} _n	1537	1637	1170	1406	2358	3074	486
{[Zn(L ¹) ₄ (H ₂ O) ₂]} _n	1573	1633	1205	1396	2358	3242-2924	495
{[Cu(L ¹) ₄ (H ₂ O) ₂]} _n	1539	1645	1178	1404	2358	3200-3000	490



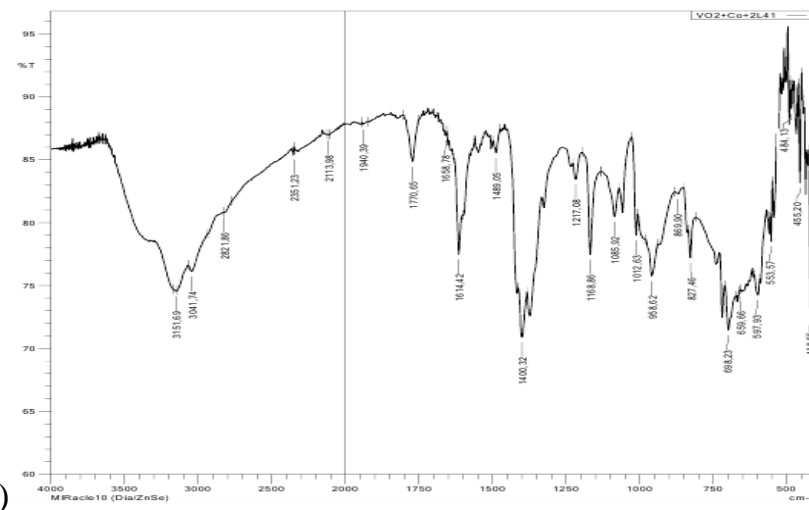
a)



b)



v)

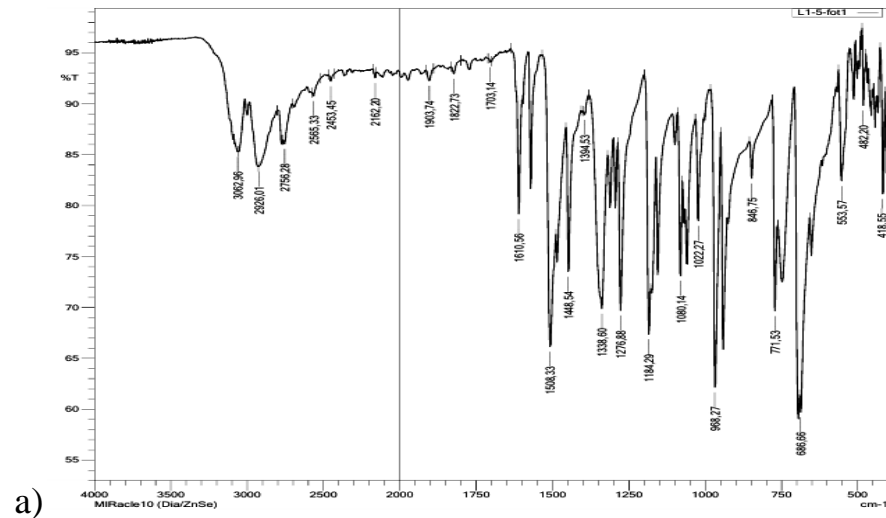


g)

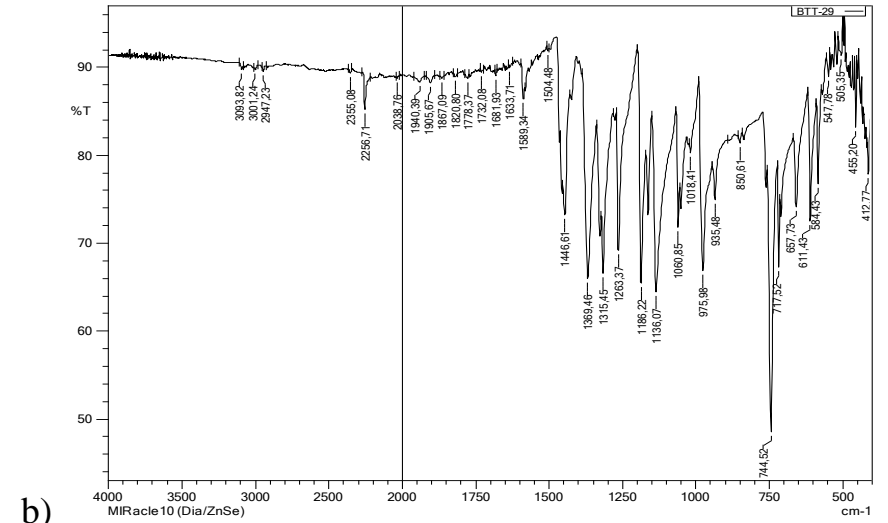
3.8-Rasm.a) L^1 ; b) $[Co(L^1)_2(H_2O)_2]$; v) $[V_4O_{12}](L^1+H^+)_4$; g) $[Co_2V_4O_{12}(L^1)_4] \cdot 2H_2O$ larning IQ-spektrlari.

L¹ bilan sintez qilingan gomo- va geterometalli kompleks birikmalarining IQ-spektrlaridagi asosiy tebranish chastotalari (sm⁻¹)

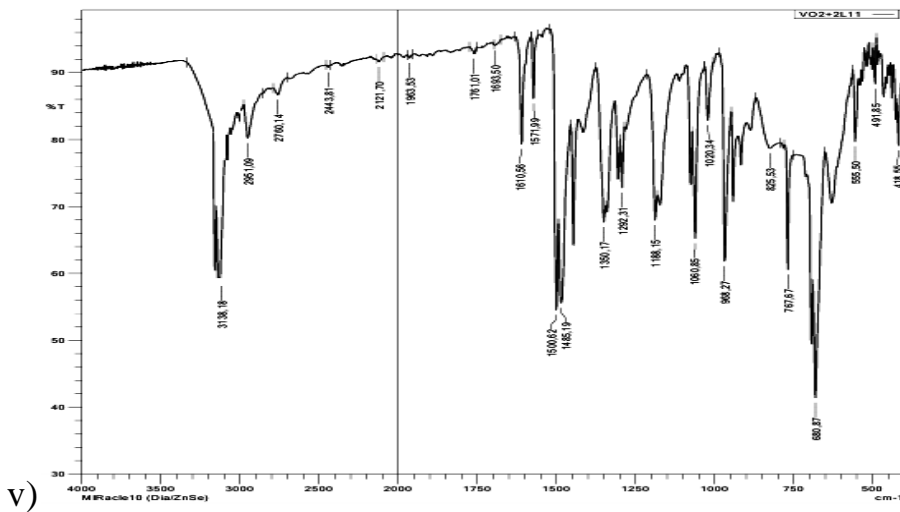
Birikma	v _{as} (C=N)	v _s (C=N)	(S-H)	v(C-O-C)	v(OH)	v(V=O)	v(V-O)	v(M-N) v(M-O)
L ¹	1595	1616	2358	1421	-	-	-	-
[Co(L ¹) ₂ (H ₂ O) ₂]	1562	1630	-	1384	3243	-	-	501 462(M-S) -
[Cu(L ¹) ₂ (H ₂ O) ₂]	1553	1642	-	1392	3275	-	-	510 458(M-S) -
[Ni(L ¹) ₂ (H ₂ O) ₂]	1556	1637	-	1369	3266	-	-	506 467(M-S) -
[Zn(L ¹) ₂ (H ₂ O) ₂]	1555	1621	-	1390	3254	-	-	511 479(M-S) -
[V ₄ O ₁₂ (L ¹) ₄]	1595	1630	2360	1367	-	825	690	410 547
[Cu ₂ V ₄ O ₁₂ (L ¹) ₄] \cdot 2H ₂ O	1592	1614	2368	1400	3122	958	698	418 597
[Ni ₂ V ₄ O ₁₂ (L ¹) ₄] \cdot 2H ₂ O	1548	1635	2380	1402	3151	985	682	418 601
[Co ₂ V ₄ O ₁₂ (L ¹) ₄] \cdot 2H ₂ O	1500	1616	2369	1371	3115	956	692	426 599
[Zn ₂ V ₄ O ₁₂ (L ¹) ₄] \cdot 2H ₂ O	1544	1614	2393	1415	3130	958	692	410 599



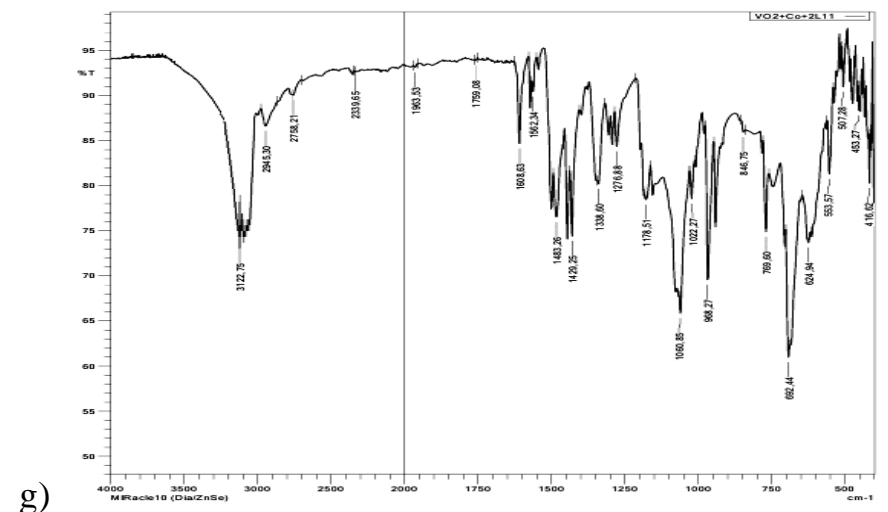
a)



b)



v)

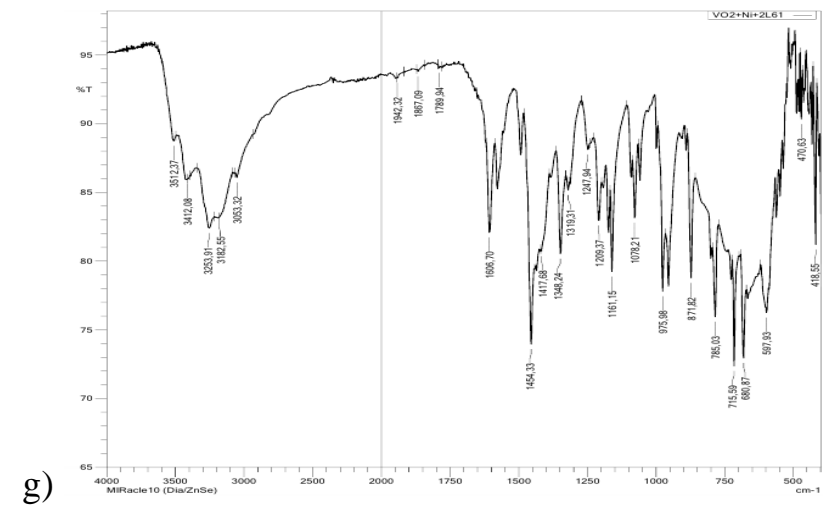
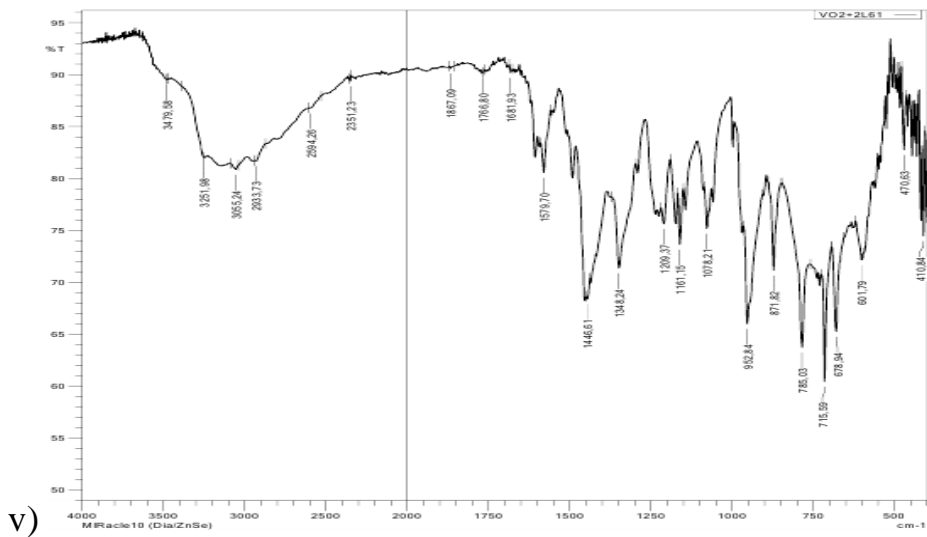
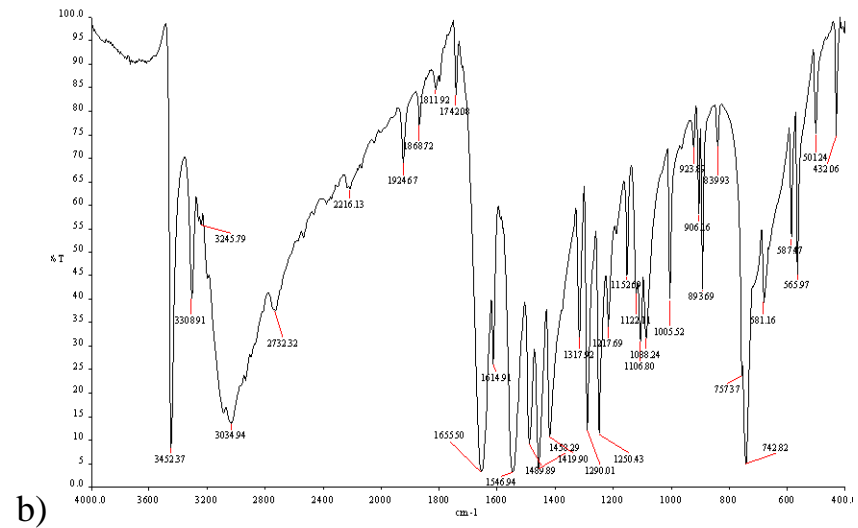
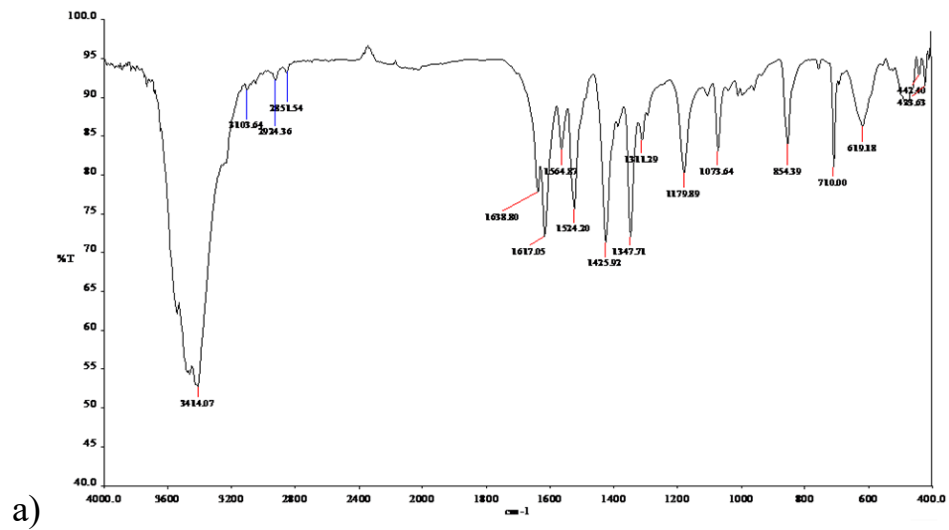


g)

3.9-Rasm. a) L^2 ; b) $[Co(L^2)_2]$; v) $[V_4O_{12}](L^2+H^+)_4$; g) $[Co_2V_4O_{12}(L^2)_4] \cdot 2H_2O$ larning IQ-spektrlari

L² bilan sintez qilingan kompleks birikmalarning IQ-spektrlaridagi asosiy tebranish chastotalari (sm⁻¹)

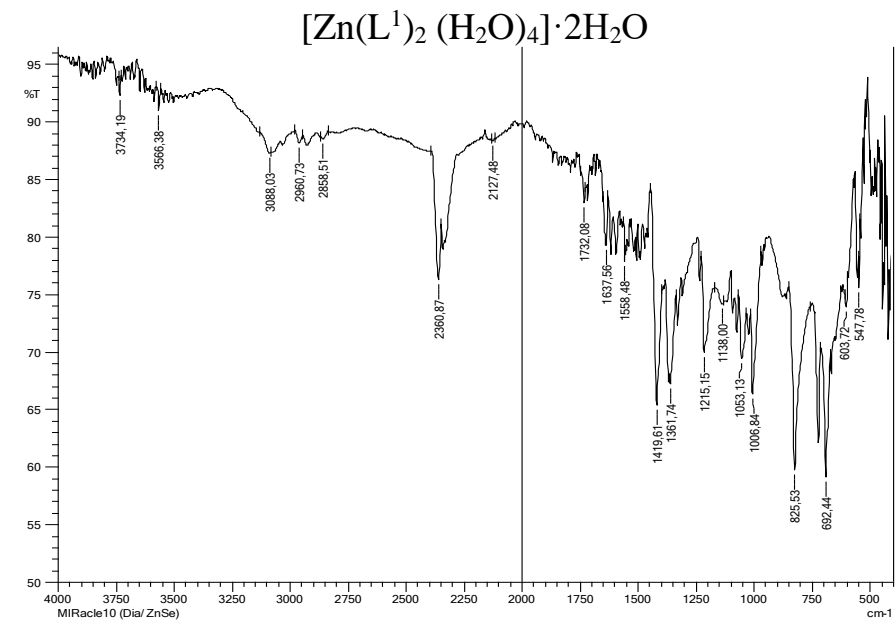
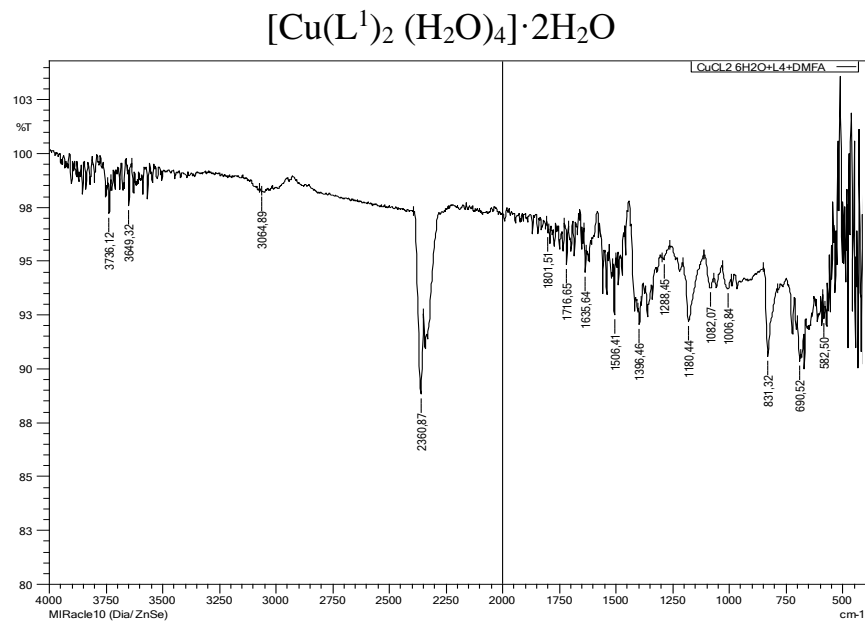
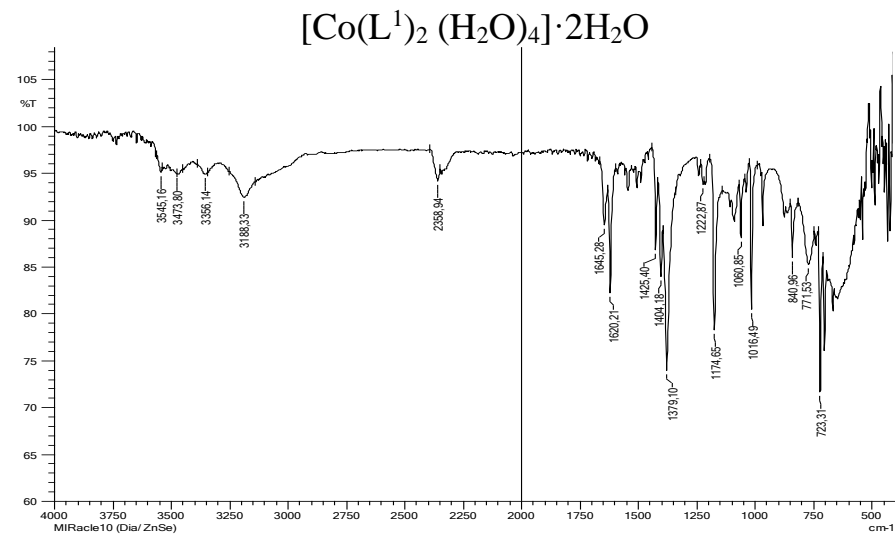
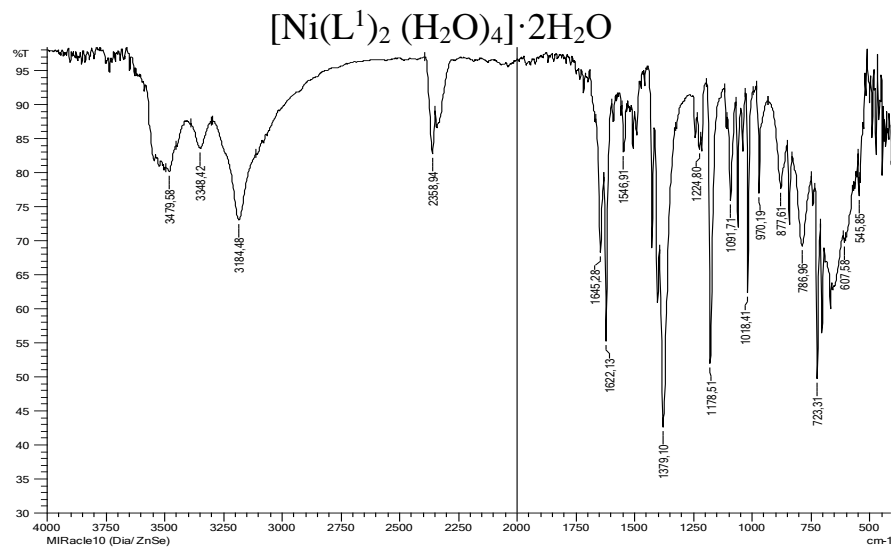
Birikma	v _s (C=N)	v _{as} (C=N)	v(C-O-C)	v(OH)	v(V=O)	v(V-O)	v(M-N)	v(M-S)	v(M-O)
L ²	1595	1610	1338	-	-	-	-	-	-
[Co(L ²) ₂]	1582	1617	1301	-	-	-	v(M-N)584	v(M-S)455	-
[Cu(L ²) ₂]	1564	1604	1284	-	-	-	v(M-N)569	v(M-S)424	-
[Ni(L ²) ₂]	1566	1616	1322	-	-	-	v(M-N)560	v(M-S)450	-
[Zn(L ²) ₂]	1580	1605	1331	-	-	-	v(M-N)583	v(M-S)425	-
[V ₄ O ₁₂](L ² +H ⁺) ₄	1571	1600	1350	-	955	680	-	-	-
[Co ₂ V ₄ O ₁₂ (L ²) ₄].2H ₂ O	1592	1608	1339	3122	968	624	v(M-N)562	-	v(M-O)533
[Cu ₂ V ₄ O ₁₂ (L ²) ₄].2H ₂ O	1587	1606	1340	3157	956	692	v(M-N)581	-	v(M-O)526
[Ni ₂ V ₄ O ₁₂ (L ²) ₄].2H ₂ O	1573	1610	1350	3138	968	628	v(M-N)567	-	v(M-O)515
[Zn ₂ V ₄ O ₁₂ (L ²) ₄].2H ₂ O	1571	1610	1341	3155	960	650	v(M-N)577	-	v(M-O)520



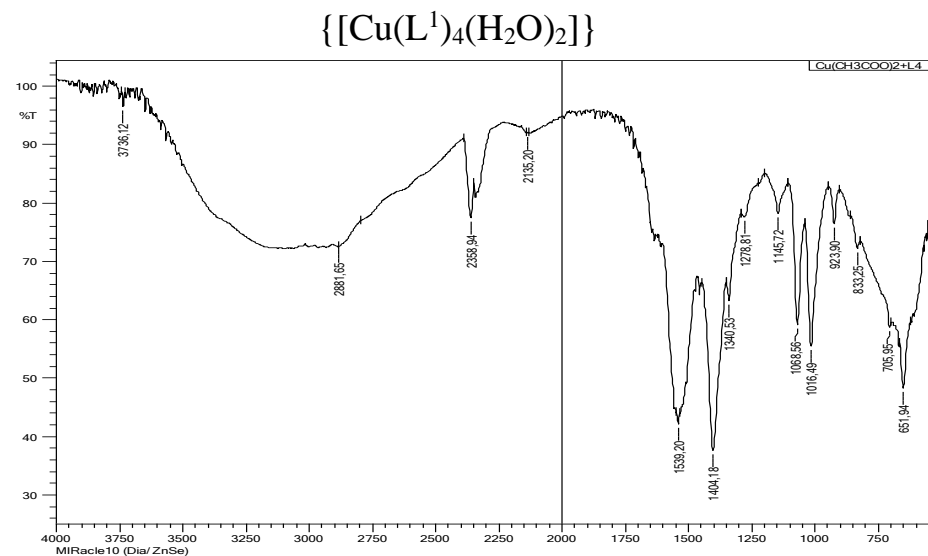
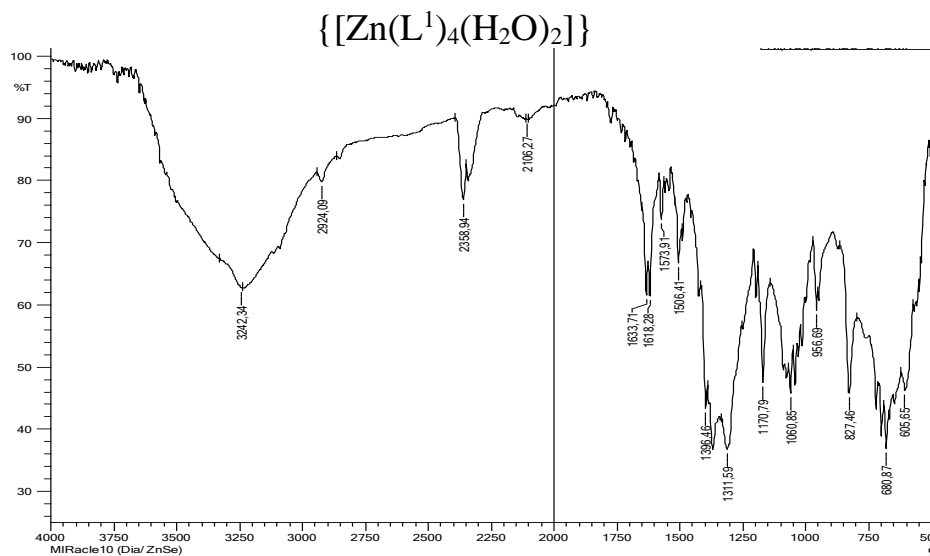
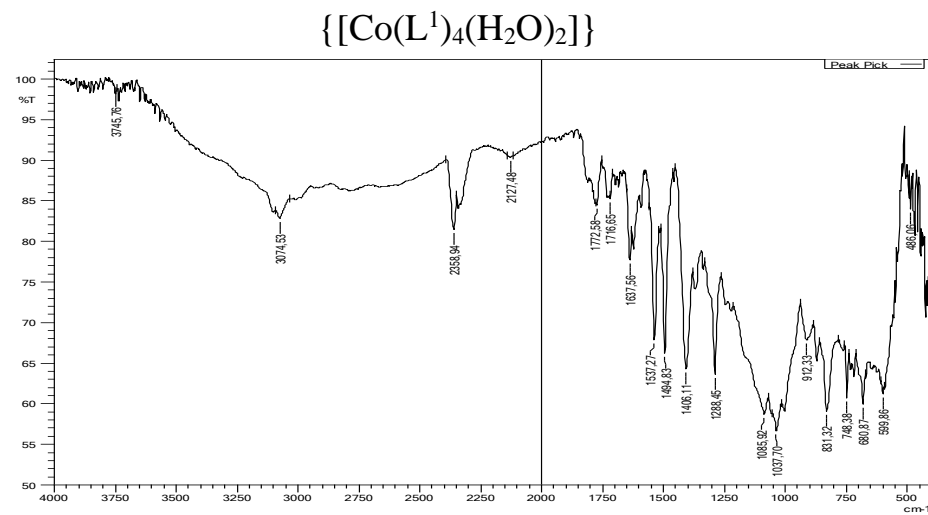
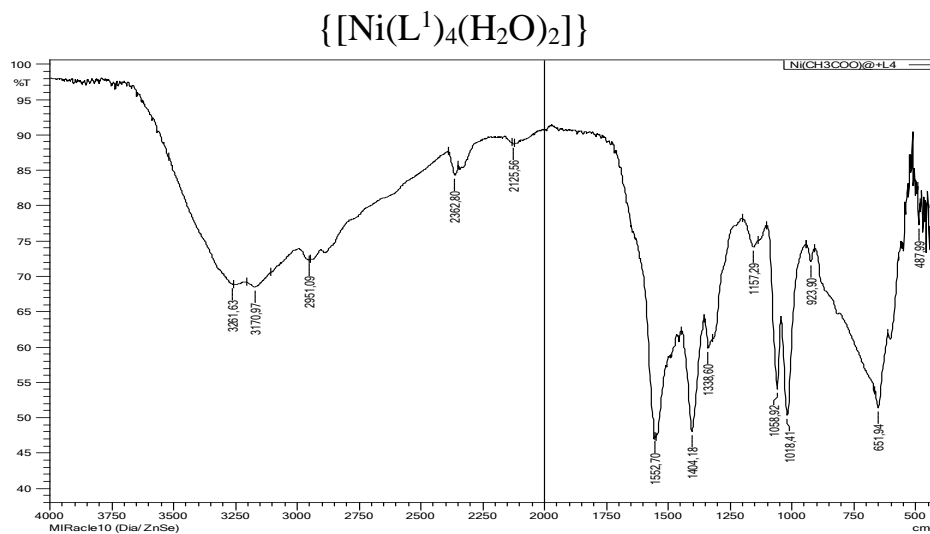
3.10-Rasm. a) L^3 ; b) $[Co(L^3)_2(H_2O)_2]$; v) $[V_4O_{12}](L^3+H^+)_2$; g) $[Co_2V_4O_{12}(L^3)_2] \cdot 2H_2O$ larning IQ-spektrlari.

L³ bilan sintez qilingan kompleks birikmalarning IQ-spektrlaridagi asosiy tebranish chastotalari (sm⁻¹)

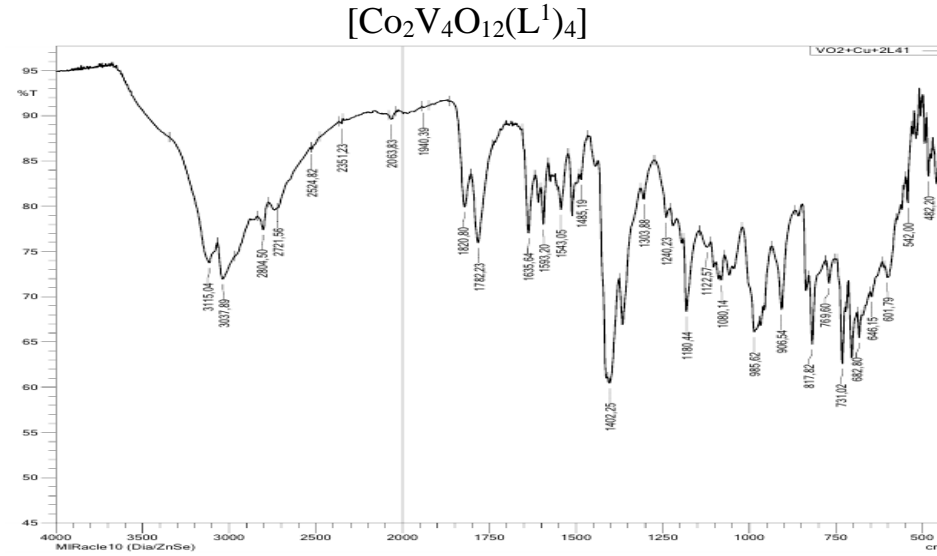
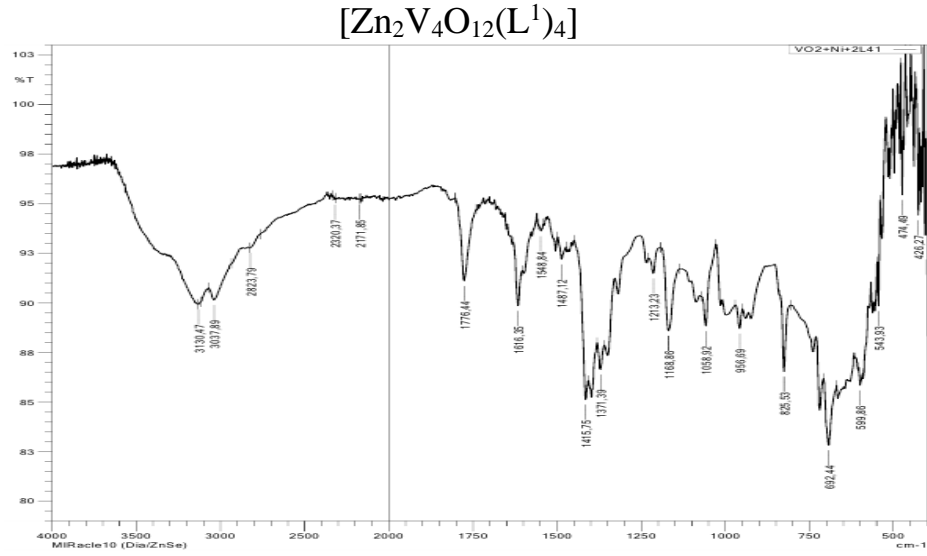
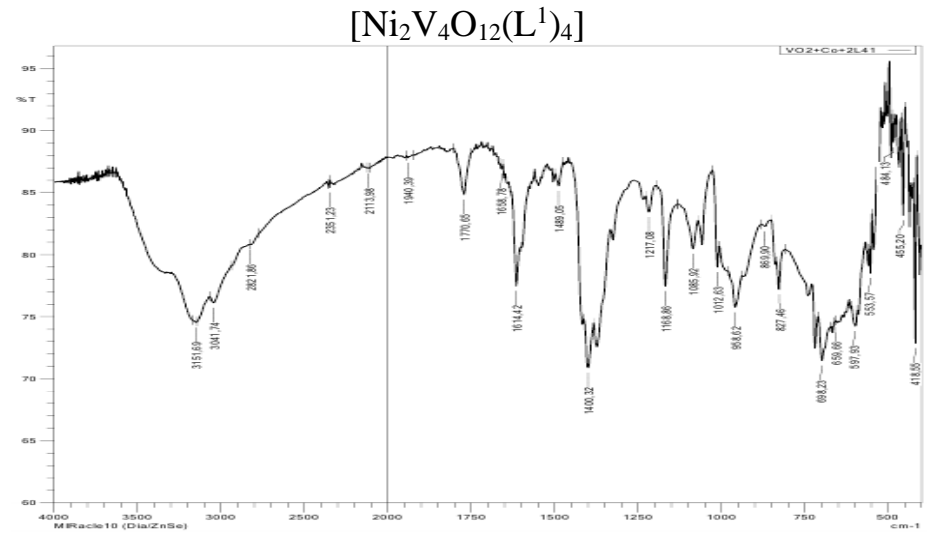
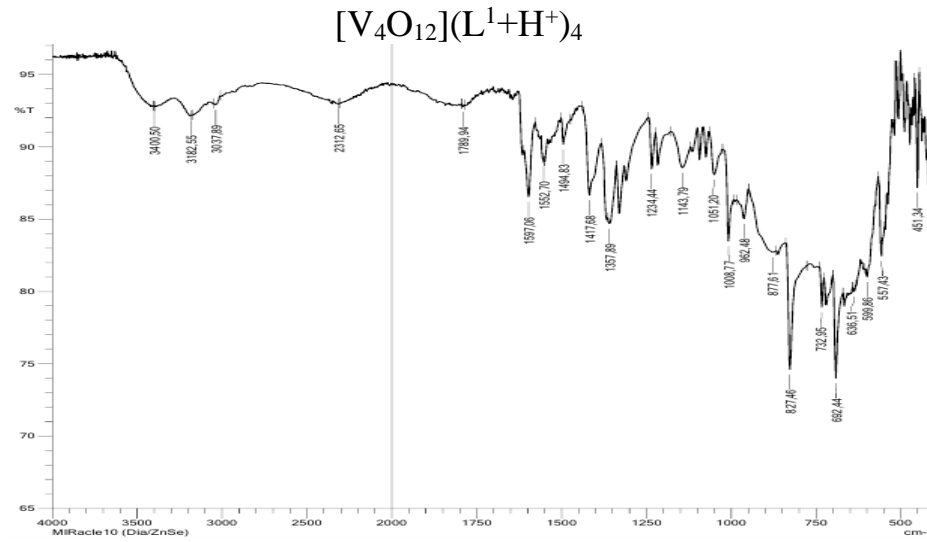
Бирикма	$\nu(\text{C-O-C})$	$\nu_{\text{as}}(\text{COO})$ $\nu_{\text{s}}(\text{COO})$	$\nu_{\text{as}}(\text{CN})$ $\nu_{\text{s}}(\text{CN})$	$\nu(\text{OH})$	$\nu(\text{V=O})$	$\nu(\text{V-O})$	$\nu(\text{M-O})$	$\Delta=\nu_{\text{as}}(\text{COO})-\nu_{\text{s}}(\text{COO})$
L ³	1294	1564 1425	1638 1617	-	-	-	-	139
[Co(L ³) ₂ (H ₂ O) ₂]	1290	1546 1317	1742 1655	3452	-	-	565	229
[Cu(L ³) ₂ (H ₂ O) ₂]	1299	1532 1322	1699 1656	3369	-	-	507	210
[Ni(L ³) ₂ (H ₂ O) ₂]	1302	1566 1331	1707 1647	3560	-	-	518	235
[Zn(L ³) ₂ (H ₂ O) ₂]	1307	1538 1337	1677 1619	3494	-	-	560	201
[V ₄ O ₁₂](L ³ +H ⁺) ₄	1298	1579 1446	1766 1681	-	952	678	470	133
[Co ₂ V ₄ O ₁₂ (L ³) ₂] \cdot 2H ₂ O	1301	1568 1431	1740 1687	3255	954	682	598	137
[Cu ₂ V ₄ O ₁₂ (L ³) ₂] \cdot 2H ₂ O	1310	1565 1421	1755 1693	3165	945	679	599	144
[Ni ₂ V ₄ O ₁₂ (L ³) ₂] \cdot 2H ₂ O	1312	1592 1412	1789 1742	3287	975	680	597	171
[Zn ₂ V ₄ O ₁₂ (L ³) ₂] \cdot 2H ₂ O	1319	1564 1408	1656 1616	3251	968	677	593	156



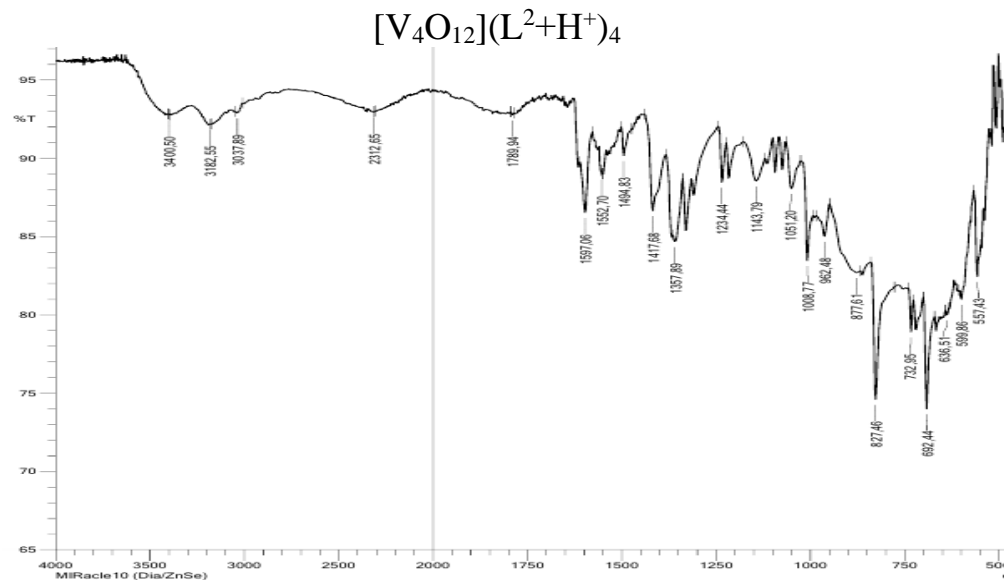
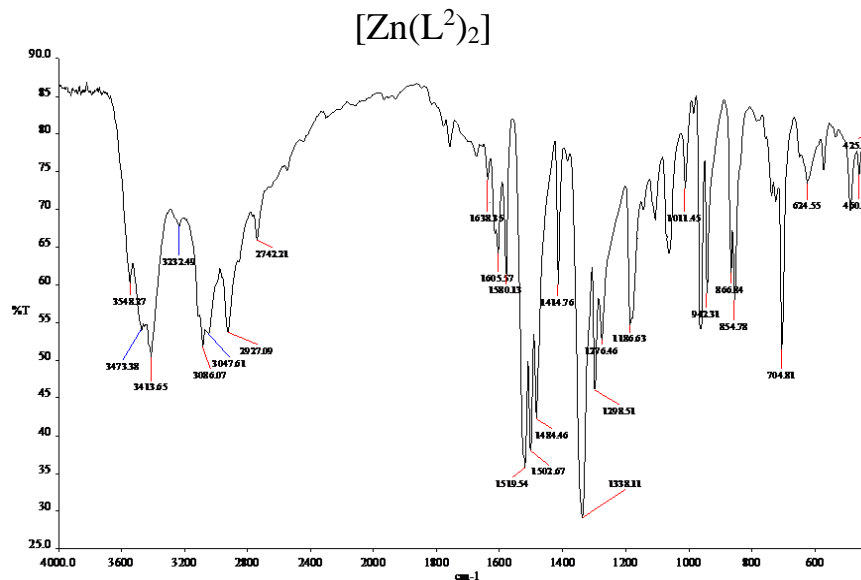
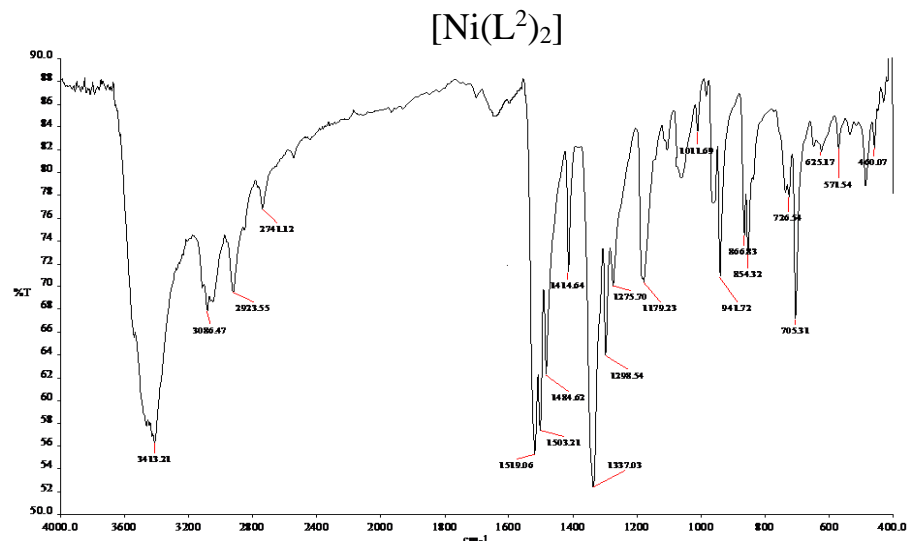
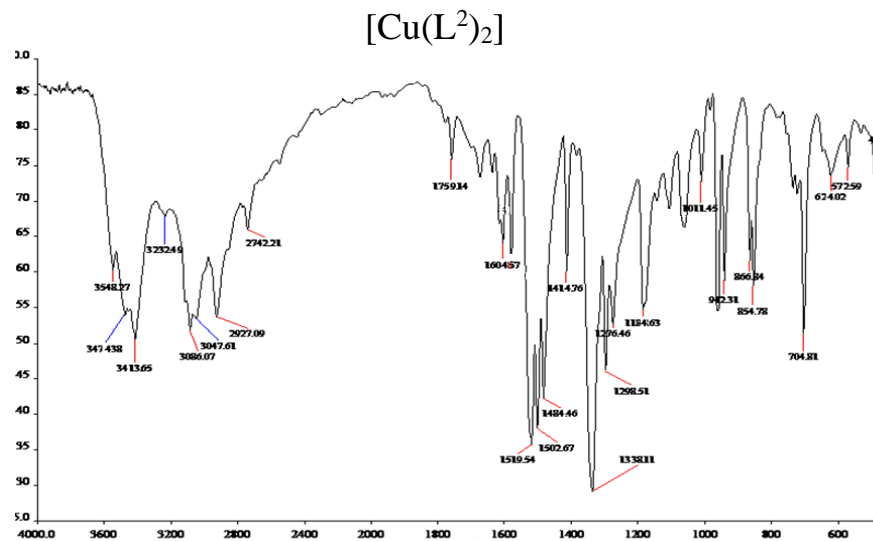
3.11-Rasm. L¹ ning MCl₂ ishtirokidagi kompleks birikmalari IQ spektrlari



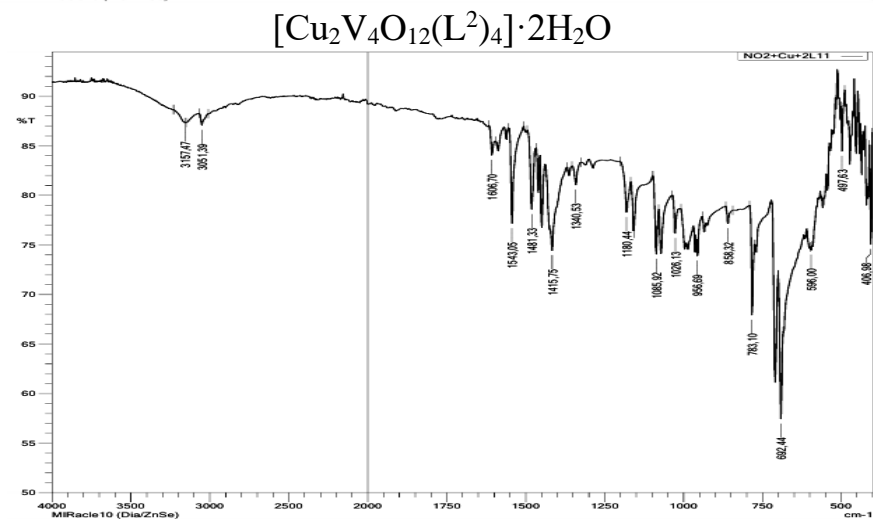
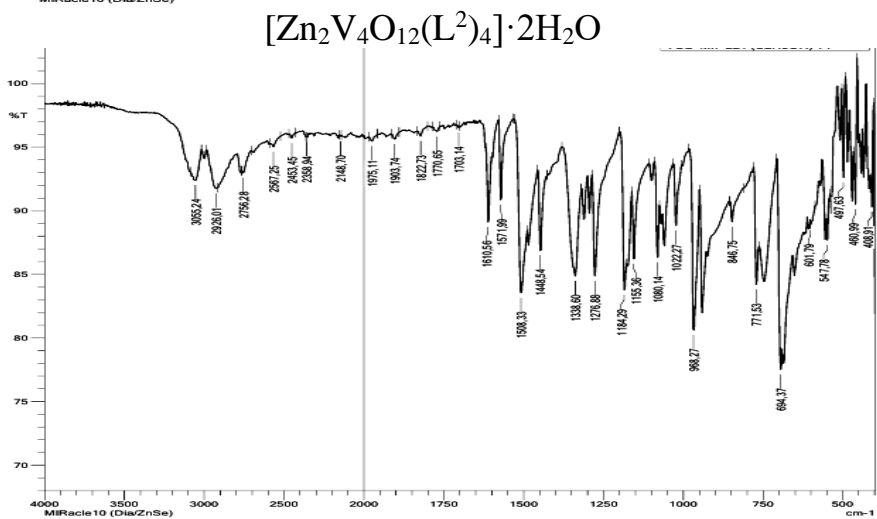
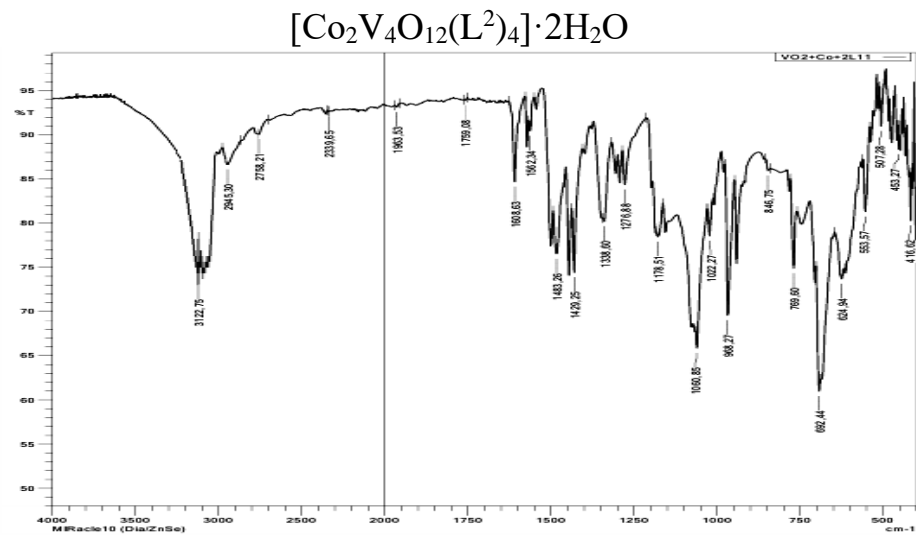
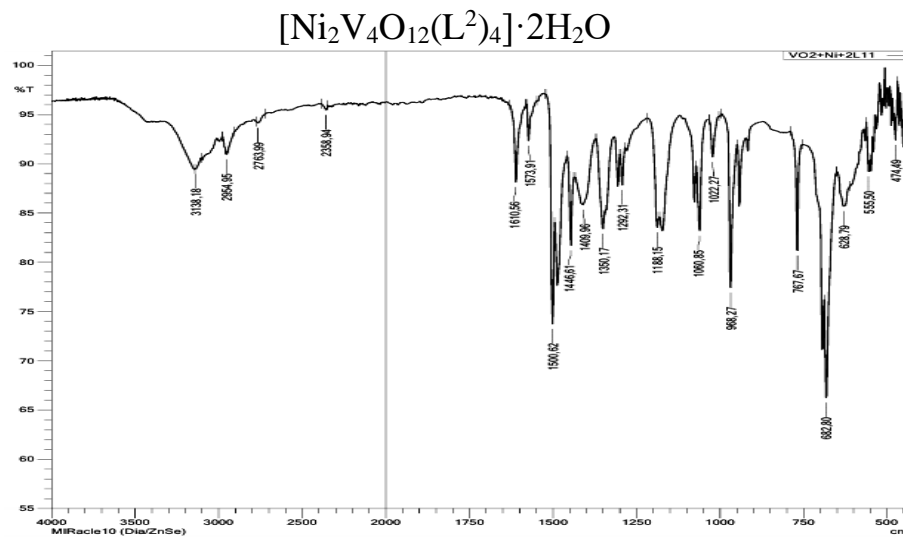
3.12-Rasm. L¹ ning M(OAc)₂ ishtirokidagi kompleks birikmalari IQ spektrlari



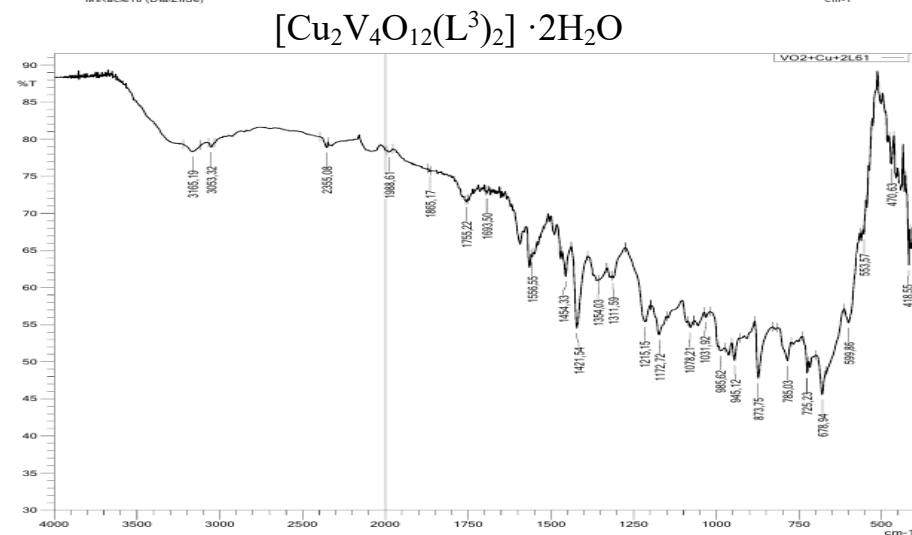
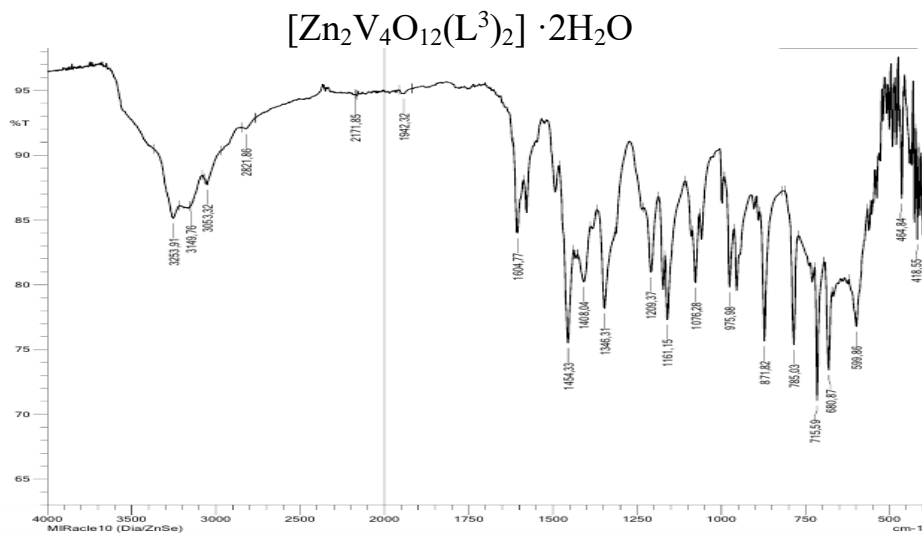
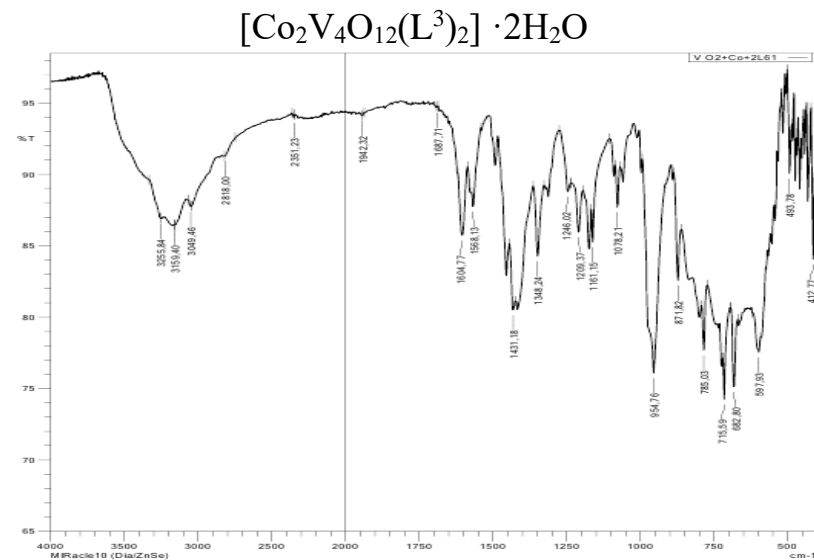
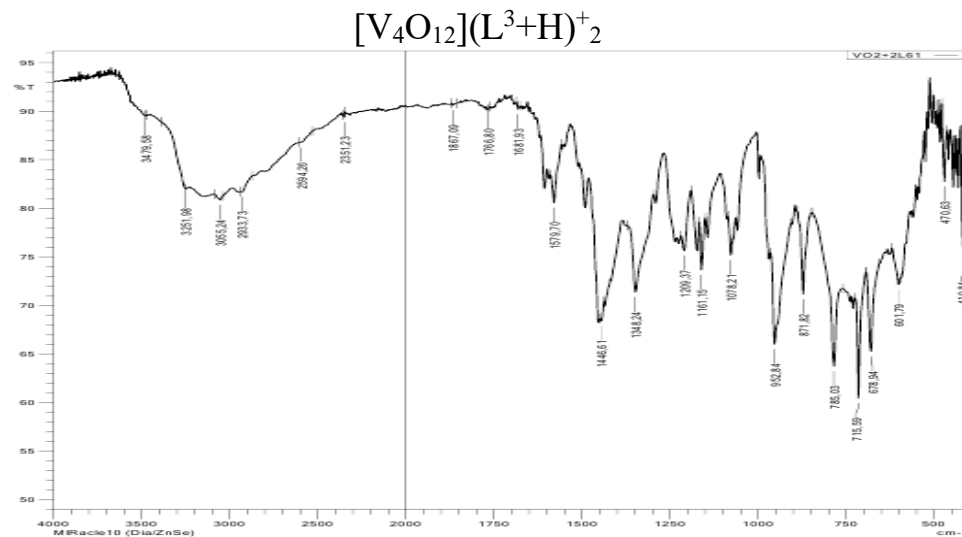
3.13-Rasm. L^1 ning MCl_2 ishtirokidagi geterometalli kompleks birikmalari IQ spektrlari



3.14-Rasm. L² ningr MCl₂ ishtirokidagi kompleks birikmalari IQ spektrlari



3.15-Rasm. L^2 ning MCl_2 ishtirokidagi geterometalli kompleks birikmalari IQ spektrlari

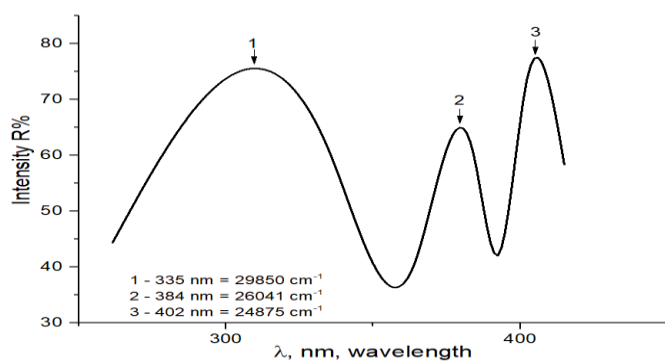


3.16-Rasm. L^3 ning MCl_2 ishtirokidagi geterometalli kompleks birikmalari IQ spektrlari

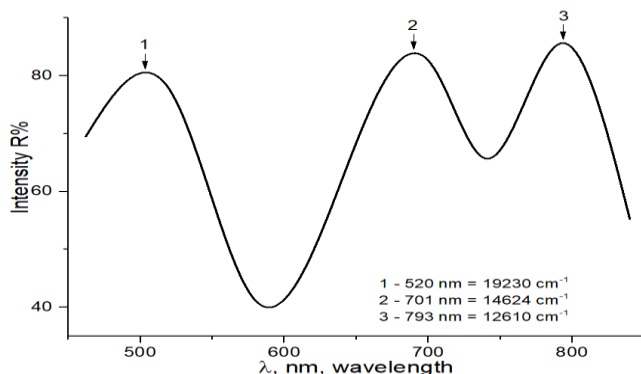
3.3-§. Sintez qilingan koordinatsion birikmalarning diffuz qaytarilish elektron spetrlari tahlili

Kompleks birikmalarning geometriyasini aniqlashda, markaziy atomning koordinatsion sonini topishda diffuz qaytarilishni elektron spetrlari tahlili muhim ma'lumotlar beradi [135]. Ushbu taxlil usuli UB-sohada 200-800 nm to'liq uzunligida, to'liqlar ta'sirida markaziy atomda turli elektron o'tishlar sodir bo'lishi orqali o'lchanadi. Bunda nafaqat markaziy atomning tabiati, balki uni atrofidagi ligand tabiati ham katta ahamiyatga ega bo'ladi.

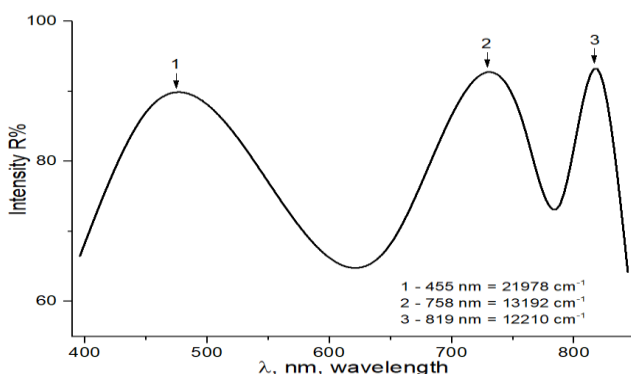
Sintez qilingan komplekslarda ligandlar tabiatining elektron o'tishlarga ta'sirini o'rganish va Co^{2+} , Ni^{2+} , Cu^{2+} va VO_2^+ ionlarining koordinatsion sonini hamda fazoviy joylashishini aniqlash uchun komplekslarning diffuz qaytarilish elektron spetrlari olindi. Bunda nafaqat markaziy atomning tabiati, balki uni atrofidagi ligand tabiati ham katta ahamiyatga ega bo'ladi. $[\text{V}_4\text{O}_{12}](\text{L}^1+\text{H}^+)_4$ tarkibli kompleksda vanadiy VO_2^+ (vanadil) holatda uchta o'tish: ${}^2\text{E} \rightarrow {}^2\text{B}_2$ (I-335 nm=29850 sm^{-1}), ${}^2\text{B}_1 \rightarrow {}^2\text{B}_2$ (II-384 nm=26041 sm^{-1}) va ${}^2\text{A}_1 \rightarrow {}^2\text{B}_2$ (III-402 nm=24875 sm^{-1}) orbitallarda kuzatildi. $[\text{Co}(\text{L}^2)_2]$ kompleksda kobaltning tetraedrik yuqori spinli koordinatsion birikmalarida quyidagi uchta o'tishlar kuzatilishi mumkin: ${}^4\text{T}_{1g}(\text{F}) \rightarrow {}^4\text{T}_{2g}(\text{I}-701 \text{ nm}=14624 \text{ sm}^{-1})$, ${}^4\text{T}_{1g}(\text{F}) \rightarrow {}^4\text{A}_{2g}$ (II-793 nm=12610 sm^{-1}) va ${}^4\text{T}_{2g}(\text{F}) \rightarrow {}^4\text{T}_{1g}(\text{P})$ (III-520 nm=19230 sm^{-1}) (4-rasm, a). $[\text{Ni}(\text{L}^3)_2(\text{H}_2\text{O})_2]$ kompleksda markaziy atomga xos bo'lgan I-o'tish ${}^1\text{E}_{2g}(\text{F}) \rightarrow {}^3\text{T}_{1g}$ (819 nm=12210 sm^{-1}), II-o'tish ${}^1\text{E}_{2g} \rightarrow {}^3\text{A}_{2g}(\text{P})$ (758 nm=13192 sm^{-1}), III-o'tish ${}^3\text{T}_{2g} \rightarrow {}^3\text{A}_{2g}$ (455 nm=21978 sm^{-1}) oralig'ida kuzatildi. Bu nikelli kompleks birikmaning oktaedrik tuzilishda ekanligidan dalolat berdi. Geterometalli tarkibi $[\text{Cu}_2\text{V}_4\text{O}_{12}(\text{L}^3)_4] \cdot \text{H}_2\text{O}$ bo'lgan kompleks birikmaning diffuz qaytarilish spetrlari tahlil qilinganda Cu^{2+} ioniga xos bo'lgan 2ta o'tish : ${}^2\text{E}_{2g} \rightarrow {}^2\text{T}_{2g}$ (758 nm=12992 sm^{-1}) va ${}^2\text{B}_2 \rightarrow {}^2\text{E}$ (665 nm=15037 sm^{-1}), vanadil (VO_2^+) uchun ${}^2\text{E} \rightarrow {}^2\text{B}_2$ (312 nm=32015 sm^{-1}), ${}^2\text{B}_1 \rightarrow {}^2\text{B}_2$ (349 nm=28653 sm^{-1}) hamda ${}^2\text{A}_1 \rightarrow {}^2\text{B}_2$ (390 nm=25641 sm^{-1}) o'tishlar mavjudligi aniqlandi (4-rasm, b). Bunda strukturaning aksial siqilishi kuzatiladi, bunda Cu^{2+} va VO_2^+ ioni siqilgan tetraedrik tuzilishda ekanligi aniqlandi. Quyidagi 3.17-rasmda kompleks birikmalar tarkibidagi asosiy o'tishlarini hisoblash natijalari (sm^{-1}) keltirildi.



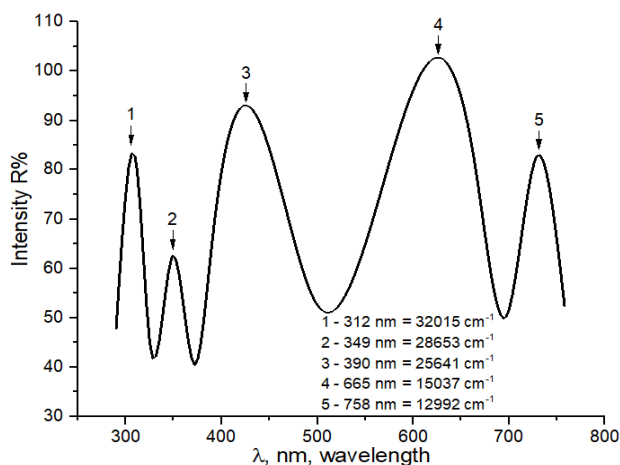
a) $[V_4O_{12}](L^1+H^+)_4$
 I-o'tish: ${}^2E \rightarrow {}^2B_2$ (30000 sm⁻¹)
 335 nm = 29850 sm⁻¹
 II-o'tish: ${}^2B_1 \rightarrow {}^2B_2$ (28000 sm⁻¹)
 384 nm = 26041 sm⁻¹
 III-o'tish: ${}^2A_1 \rightarrow {}^2B_2$ (25000 sm⁻¹)
 402 nm = 24875 sm⁻¹



b) $[Co(L^2)_2]$
 I-o'tish: ${}^4T_{1g}(F) \rightarrow {}^4T_{2g}$ (14000 sm⁻¹)
 I-701 nm = 14624 sm⁻¹
 II-o'tish: ${}^4T_{1g}(F) \rightarrow {}^4A_{2g}$ (12000 sm⁻¹)
 793 nm = 12610 sm⁻¹
 III-o'tish: ${}^4T_{2g}(F) \rightarrow {}^4T_{1g}(P)$ (19000 sm⁻¹)
 520 nm = 19230 sm⁻¹



v) $[Ni(L^3)_2(H_2O)_2]$
 I-o'tish: ${}^1E_{2g}(F) \rightarrow {}^3T_{1g}$ (8000-13000 sm⁻¹)
 819 nm = 12210 sm⁻¹
 II-o'tish: ${}^1E_{2g} \rightarrow {}^3A_{2g}(P)$ (13000-17000 sm⁻¹)
 758 nm = 13192 sm⁻¹
 III-o'tish: ${}^3T_{2g} \rightarrow {}^3A_{2g}$ (19000-27000 sm⁻¹)
 455 nm = 21978 sm⁻¹



g) $[Cu_2V_4O_{12}(L^3)_4] \cdot 2H_2O$
 Cu²⁺ uchun
 I-o'tish: ${}^2E_{2g} \rightarrow {}^2T_{2g}$ (10000-13000 sm⁻¹)
 758 nm = 12992 sm⁻¹
 II-o'tish: ${}^2B_2 \rightarrow {}^2E$ (13000-15000 sm⁻¹)
 665 nm = 15037 sm⁻¹
 VO₂⁺ uchun
 I-o'tish: ${}^2E \rightarrow {}^2B_2$ (30000 sm⁻¹)
 312 nm = 32015 cm⁻¹
 II-o'tish: ${}^2B_1 \rightarrow {}^2B_2$ (28000 sm⁻¹)
 349 nm = 28653 cm⁻¹
 III-o'tish: ${}^2A_1 \rightarrow {}^2B_2$ (25000 sm⁻¹)
 390 nm = 25641 sm⁻¹

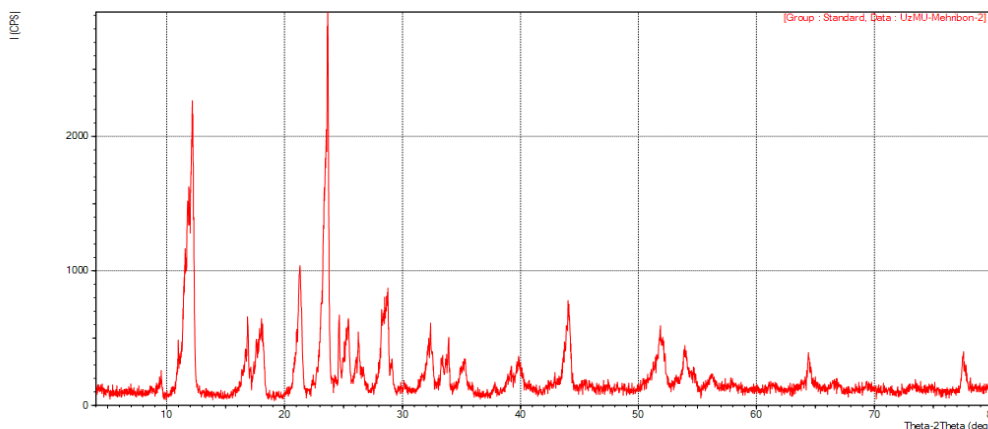
3.17-Rasm. a) $[V_4O_{12}](L^1+H^+)_4$; b) $[Co(L^2)_2]$; v) $[Ni(L^3)_2(H_2O)_2]$; g) $[Cu_2V_4O_{12}(L^3)_4] \cdot 2H_2O$ komplekslarning DQES lari

3.4-§. Sintez qilingan kompleks birikmalarining rentgenfazaviy tahlili tadqiqoti

Sintez qilingan gomo- va geterometalli kompleks birikmalarning individualligini, o'ziga xos kristall panjaraga ega ekanligini, boshlang'ich va sintez qilingan moddalar rentgenogrammalaridagi tekisliklar orasidagi masofalari va ularning sezgirliklarini solishtirish maqsadida rentgenfazaviy tahlildan foydalanildi.

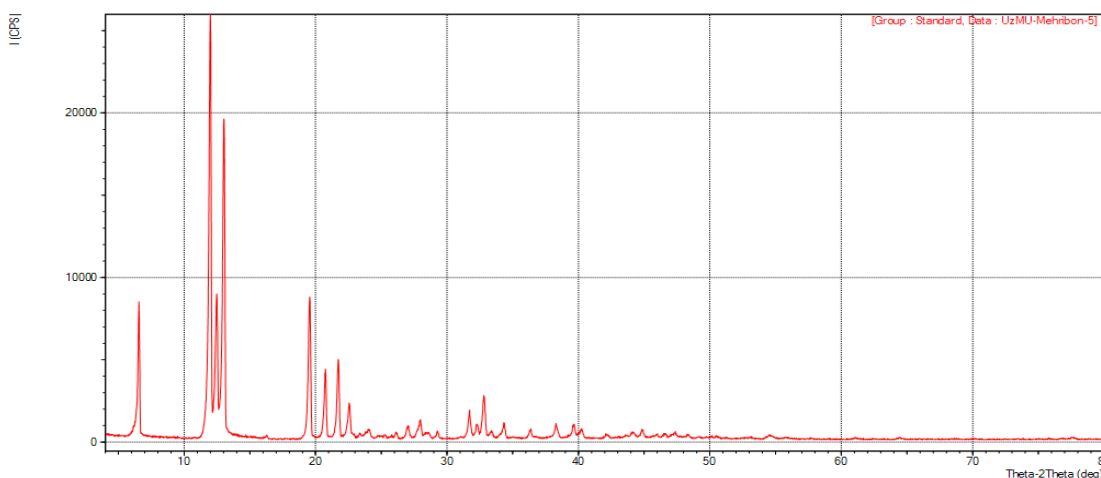
Kompleks birikmalarning rentgenogrammalari 3.18-3.20 rasmlarda, difraktogrammaning hisoblash natijalari 3.9-3.11 jadvallarda keltirilgan.

File Name : Standard\UzMU-Mehribon-2
Sample Name :
Date & Time : 07-05-19 13:58:12 Comment :
Condition
X-ray Tube : Cu(1.54060 A) Voltage : 30.0 kV Current : 30.0 mA
Scan Range : 4.0000 <-> 80.0000 deg Step Size : 0.0200 deg
Count Time : 0.30 sec Slit DS : 1.00 deg SS : 1.00 deg RS : 0.30 mm



3.18-Rasm. L¹ ning rentgenogrammasi.

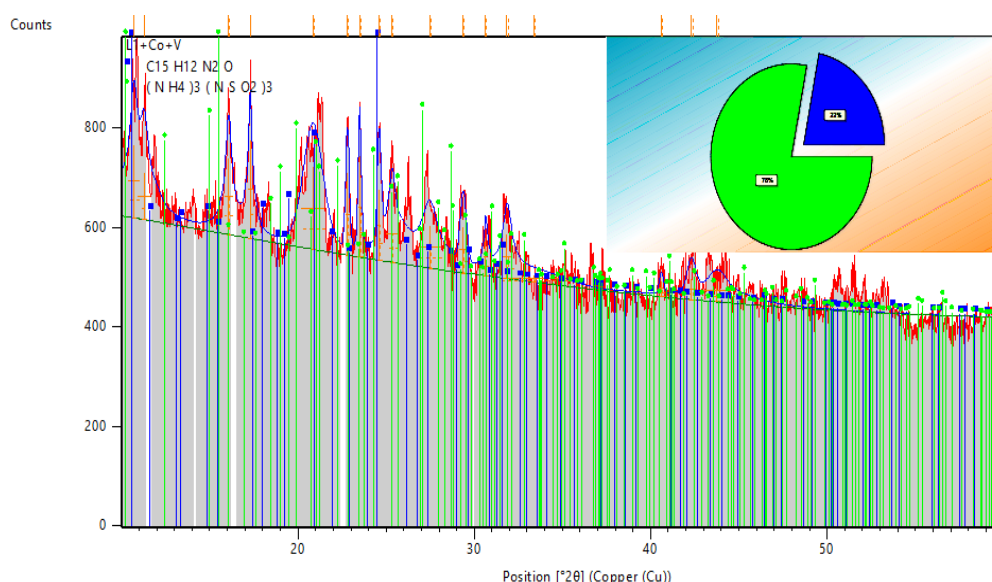
File Name : Standard\UzMU-Mehribon-5
Sample Name :
Date & Time : 07-05-19 15:06:16 Comment :
Condition
X-ray Tube : Cu(1.54060 A) Voltage : 30.0 kV Current : 30.0 mA
Scan Range : 4.0000 <-> 80.0000 deg Step Size : 0.0200 deg
Count Time : 0.30 sec Slit DS : 1.00 deg SS : 1.00 deg RS : 0.30 mm



3.19-Rasm. [Co(L¹)₂(H₂O)₂] ning rentgenogrammasi

L¹ ning rentgenogrammasidagi muhim ko'rsatkichlari

Burchak; [2θ]	Balandligi [cts]	Tekisliklar orasidagi masofa; [Å]	Intensivlik I (%)	Uch kengligi
9.4800	467	9.32180	5	0.2800
11.0400	1353	8.00784	11	0.4320
11.6200	6339	7.60941	43	0.5428
12.1600	7143	7.27268	84	0.3212
16.3400	534	5.42042	5	0.2400
16.7883	1806	5.27668	18	0.4433
17.5800	1436	5.04079	14	0.4200
18.0000	2253	4.92411	21	0.5040
20.7800	763	4.27120	8	0.2400
21.2582	3642	4.17619	38	0.4005
23.5217	11937	3.77918	100	0.4603
24.6112	852	3.61430	14	0.2358
25.2662	2132	3.52206	19	0.4725
26.2185	1167	3.39626	12	0.3571
26.6800	316	3.33855	4	0.1900
27.7800	299	3.20880	3	0.2400
28.3200	2268	3.14883	24	0.4756
28.6400	2067	3.11437	30	0.3534
29.0400	667	3.07238	10	0.2700
31.5800	362	2.83082	4	0.2600
32.2600	2042	2.77268	16	0.5360
33.3200	578	2.68686	9	0.2800
33.7571	962	2.65306	11	0.4208
35.1125	1187	2.55369	9	0.5450
38.8200	500	2.31791	4	0.1734
39.2000	0	2.29631	6	0.0000
39.8216	1637	2.26188	9	0.5767
42.8400	262	2.10925	3	0.1466
43.6400	960	2.07242	11	0.2960
43.9793	2400	2.05721	26	0.4653
51.3200	1017	1.77886	6	0.4800
51.8583	2172	1.76165	16	0.6567
53.9150	1432	1.69921	12	0.3900
54.7200	404	1.67610	5	0.2266
56.1500	476	1.63675	4	0.3800
63.8500	273	1.45667	3	0.2200
64.4008	953	1.44554	12	0.2717



3.20-Rasm. $[\text{Co}_2\text{V}_4\text{O}_{12}(\text{L}^1)_4] \cdot 2\text{H}_2\text{O}$ ning rentgenogrammasi

3.10-Jadval

Burchak; [2θ]	Balandlik [cts]	Tekisliklar orasidagi masofa; [Å]	Intensivlik I (%)	Uch kengligi
6.5395	1477	13.50528	29	0.1623
11.9614	5055	7.39298	100	0.1974
12.4478	1646	7.10517	33	0.2150
13.0009	3837	6.80411	76	0.2058
19.5228	1745	4.54332	35	0.1791
20.7190	832	4.28364	16	0.1887
21.6982	961	4.09249	19	0.2051
22.5348	410	3.94241	8	0.2600
27.9100	220	3.19415	4	0.2013
31.6784	312	2.82225	6	0.2006
32.2661	166	2.77217	3	0.2239
34.3032	523	2.72995	10	0.1992
38.2746	189	2.61206	4	0.2077
39.6120	177	2.27337	4	0.2219

3.11-Jadval

Burchak; [2θ]	Balandlik [cts]	Tekisliklar orasidagi masofa; [Å]	Intensivlik I (%)	Uch kengligi
10.7010	148.19	8.26077	73.01	0.7633
10.7276	74.09	8.26077	36.51	0.7633
11.2876	95.67	7.83275	47.14	0.8827
11.3157	47.84	7.83275	23.57	0.8827
16.0651	153.65	5.51254	75.70	0.5901
16.1053	76.82	5.51254	37.85	0.5901

17.2919	195.96	5.12411	96.55	0.3286
17.3352	97.98	5.12411	48.28	0.3286
20.8475	166.94	4.25752	82.25	1.6109
20.8998	83.47	4.25752	41.13	1.6109
22.7903	164.80	3.89878	81.20	0.2899
22.8477	82.40	3.89878	40.60	0.2899
23.4847	202.96	3.78505	100.00	0.2278
23.5439	101.48	3.78505	50.00	0.2278
24.5908	141.57	3.61724	69.75	0.2888
24.6529	70.78	3.61724	34.88	0.2888
25.3215	116.54	3.51449	57.42	0.7808
25.3855	58.27	3.51449	28.71	0.7808
27.4604	85.01	3.24541	41.89	1.5039
27.5300	42.51	3.24541	20.94	1.5039
29.3547	94.70	3.04015	46.66	0.4816
29.4292	47.35	3.04015	23.33	0.4816
30.6312	78.70	2.91630	38.78	0.2090
30.7092	39.35	2.91630	19.39	0.2090
31.8480	90.36	2.80760	44.52	0.7381
31.9292	45.18	2.80760	22.26	0.7381
33.3920	14.86	2.68123	7.32	4.4824
33.4774	7.43	2.68123	3.66	4.4824
40.5834	31.96	2.22116	15.75	0.2978
40.6887	15.98	2.22116	7.87	0.2978
42.2769	42.63	2.13603	21.00	0.6495
42.3870	21.31	2.13603	10.50	0.6495
43.7525	44.34	2.06734	21.85	2.1753
43.8669	22.17	2.06734	10.92	2.1753

Ligand va sintez qilingan gomo- va geterometalli kompleks birikmalarning rentgenogrammalarini solishtirilganda ular bir-biridan tubdan farq qilishi aniqlandi. Difraktogrammaning tahlilidagi hisoblash natijalari asosida olingan tahlil qiymatlari sintez qilingan gomo- va geterometalli kompleks birikmalarning individual ekanligini ko'rsatdi. Rentgenfazaviy tahlilda bir va aralash metalli komplekslar birikmalar o'zaro izostruktur emasligi isbotlandi [136].

3.5-§. Geterometalli koordinatsion birikma rentgenfazaviy tahlil natijalarini Fullprof dasturi yordamida qayta ishlashdan olingan natijalarning strukturaviy tahlili

Sintez qilingan geterometalli kompleks birikmalarning tuzilishini isbotlash uchun O‘zR FA Yadro fizikasi ilmiy tadqiqot institutida rentgen nurlari sochilishiga asoslanib ishlaydigan Malvern Pananalytical kompaniyasining Empyrean rusumli zamonaviy difraktometrida strukturaviy tahlil olib borildi. Ushbu qurilma o‘zining texnik ko‘rsatkichlari, tadqiqotlar o‘tkazish imkoniyatlari, qo‘shimcha asbob-uskunalar, zamonaviy dasturlari, difraksiya natijalari asosida to‘laqonli strukturalar bazasi mavjudligi bilan dunyodagi stabil, ishonchli ishlaydigan yetakchi qurilmalardan hisoblanadi. Boshqa difraktometrlardan farqli o‘laroq, bu difraktometr kichik va keng sochilish burchaklaridan tashqari o‘ta kichik sochilish burchaklarida ham tadqiqotlar o‘tkazishga imkon beradi. Turli material, birikma hamda har xil o‘lcham va holatdagi namunalarning strukturasi, tarkib-tuzilish hamda ularning xossalari orasidagi bog‘liqlikni aniqlash asosida ularning xossalarini yaxshilashga imkoniyatlar yaratib beradi [137].

Difraktogramma natijalarini Fullprof dasturi orqali qayta ishlashdan olingan kristallografik xarakteristikalar va rentgenostrukturaviy tahlil natijalari 3.12-3.15-jadvallar va 3.21-3.22 rasmlarda keltirilgan.

3.12-Jadval

[Ni₂V₄O₁₂(L²)₄]·2H₂O kompleksining kristallografik ma'lumotlari va struktura detallari

Parametrlar	Ko‘rsatkich	Parametrlar	Ko‘rsatkich
Formula	Ni ₂ V ₄ O ₁₆ C ₃₂ H ₂₄ N ₈ S ₄	Z	8
Molyar massa	1220	μ (CuK _α), mm ⁻¹	1.929
Singoniya	ortorombik	T, °K	298
Fazoviy guruh	P n/a 21	Kristal o‘lchami	54 nm
a, Å	27.701870	Nur sindirish ko‘rsatkichi	6,2175
b, Å	29.338186	R _{int}	0,673
c, Å	27.275402	F ² ≥ 2σ(F ²) kriteriy	0,071
α, β, γ, deg	90, 90, 90	Parametr	1,01
V, Å ³	22409.297825	Muvofiqlik mezonlari (F ²)	0,210

θ° , grad	min: 0094 max: 49.986877	$R_1, \omega R_2 (I > 2\sigma(I))$	298
-----------------------	-----------------------------	------------------------------------	-----

Difraksiyon intensivliklarning kengligi yordamida rentgen nurlarining kogerent tarqalish mintaqalari (KTM) o'lchamlarini tahmin qilish mumkin, bu esa kristallarning o'rtacha o'lchamlariga to'g'ri keladi. Buning uchun odatda Debay-Sherrer formulasidan foydalaniladi:

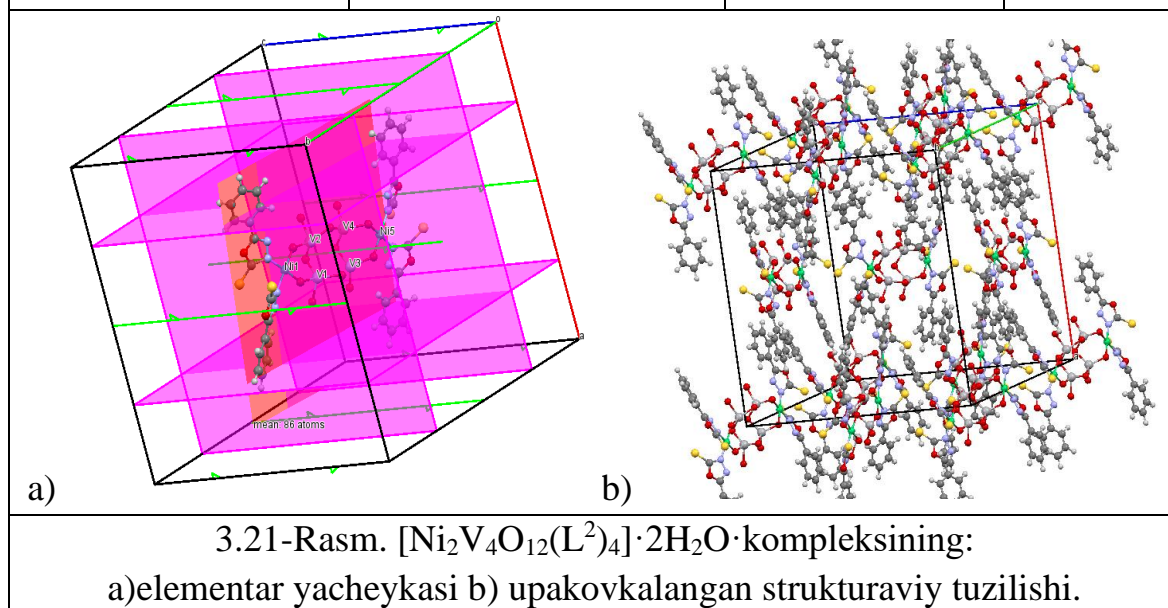
$$D = \frac{k\lambda}{\beta_s \cos \theta} \quad (3.1)$$

Bu yerda, k – zarra shaklini hisobga olish uchun tuzatish koeffitsienti ($k \sim 0,9$), λ – nurlanish to'lqin uzunligi (masalan, Cu anod uchun 0,15406 nm), θ – difraksiya refleksi uchun Bragg burchagi, β_s –maksimal yarmining to'lqin kengligi (radianlarda) [138].

3.13-Jadval

Rentgen nurlarining kogerent tarqalish mintaqalari o'lchamlari

$2\theta^\circ$	FWHM $^\circ$	β_s , rad	D, nm
9.20616	0.09763	0.00170	81.68
10.66235	0.08667	0.00151	91.82
21.47379	0.16324	0.00285	49.52
25.38050	0.34147	0.00596	23.84
32.50150	0.35496	0.00619	23.34



Molekulalarning bog' uzunliklari

BoF	Å	BoF	Å
Ni1-N1	2.164	O8-V4	2.412
Ni1-N3	2.260	V3-O10	2.135
Ni1-O3	2.099	V3-O11	2.0905
Ni1-O4	2.112	V3-O13	2.401
O1-C1	1.4997	V4-O11	2.0994
O1-C3	1.4823	V4-O12	2.130
N1-N2	1.488	V4-O14	2.360
N1-C3	1.625	O13-Ni5	2.124
N2-C1	1.480	O14-Ni5	2.095
C1-C2	1.6429	Ni5-N5	2.242
C2-C4	1.5586	Ni5-N6	2.245
C2-C5	1.609	N5-N7	1.5033
C3-S1	1.9560	N5-C17	1.654
C4-H1	1.220	N6-N8	1.5179
C4-C6	1.5208	N6-C19	1.624
C5-H2	1.2060	N7-C18	1.4503
C5-C7	1.5288	N8-C20	1.494
C6-C8	1.588	C17-O15	1.4970
C6-H19	1.2126	C17-S3	2.001
C7-H3	1.229	C18-O15	1.535
C7-C8	1.557	C18-C30	1.700
C8-H20	1.1837	C19-O16	1.4972
O2-C9	1.4807	C19-S4	1.9474
O2-C11	1.4761	C20-O16	1.5136
N3-N4	1.5080	C20-C24	1.722
N3-C11	1.649	C21-C22	1.5690
N4-C9	1.484	C21-C30	1.6002
C9-C10	1.649	C21-H9	1.251
C10-C12	1.5479	C22-C32	1.613
C10-C13	1.614	C22-H10	1.2098
C11-S2	1.9624	C23-C31	1.5374
C12-H4	1.2156	C23-C32	1.5387
C12-C14	1.522	C23-H12	1.253
C13-H5	1.2040	C24-C25	1.650
C13-C15	1.533	C24-C26	1.609
C14-H6	1.1969	C25-C29	1.554
C14-C16	1.574	C25-H14	1.235
C15-H7	1.2270	C26-C27	1.532
C15-C16	1.5455	C26-H18	1.229
C16-H8	1.1795	C27-C28	1.574

O3-V1	2.431	C27-H17	1.2252
O4-V2	2.444	C28-C29	1.580
V1-O5	2.431	C28-H16	1.1896
V1-O6	2.0936	C29-H15	1.242
V1-O9	2.137	C30-C31	1.625
V2-O6	2.0861	C31-H13	1.1981
V2-O7	2.120	C32-H11	1.1990
V2-O8	2.411		

3.15-Jadval

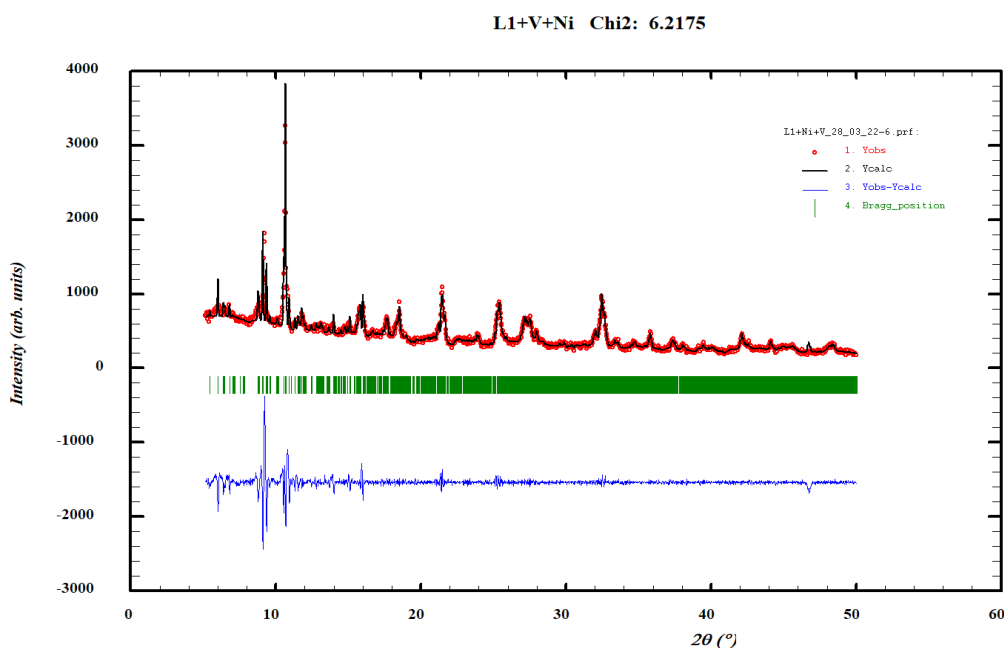
Molekuladagi atomlar orasidagi valent burchaklar

Burchak	ω , grad	Burchak	ω , grad
N1-Ni1-N3	84.93	V1-O6-V2	94.52
N1-Ni1-O3	91.44	V2-O8-V4	139.63
N1-Ni1-O4	178.84	O10-V3-O11	111.85
N3-Ni1-O3	176.35	O10-V3-O13	94.53
N3-Ni1-O4	96.15	O11-V3-O13	102.02
O3-Ni1-O4	87.48	O8-V4-O11	108.69
C1-O1-C3	102.21	O8-V4-O12	97.85
Ni1-N1-N2	123.70	O8-V4-O14	135.09
Ni1-N1-C3	133.84	O11-V4-O12	115.22
N2-N1-C3	102.45	O11-V4-O14	107.57
N1-N2-C1	108.67	O12-V4-O14	89.83
O1-C1-N2	114.48	V3-O11-V4	98.65
O1-C1-C2	120.85	V3-O13-Ni5	133.01
N2-C1-C2	124.54	V4-O14-Ni5	128.74
C1-C2-C4	117.25	O13-Ni5-O14	83.76
C1-C2-C5	122.71	O13-Ni5-N5	92.35
C4-C2-C5	119.94	O13-Ni5-N6	174.51
O1-C3-N1	112.11	O14-Ni5-N5	175.78
O1-C3-S1	118.88	O14-Ni5-N6	93.10
N1-C3-S1	128.87	N5-Ni5-N6	90.65
C2-C4-H1	121.55	Ni5-N5-N7	116.39
C2-C4-C6	119.54	Ni5-N5-C17	141.62
H1-C4-C6	118.87	N7-N5-C17	101.05
C2-C5-H2	123.71	Ni5-N6-N8	124.24
C2-C5-C7	120.55	Ni5-N6-C19	134.83
H2-C5-C7	115.71	N8-N6-C19	100.70
C4-C6-C8	120.01	N5-N7-C18	111.88
C4-C6-H19	116.40	N6-N8-C20	110.55
C8-C6-H19	123.57	N5-C17-O15	111.07
C5-C7-C8	118.28	N5-C17-S3	130.41
H3-C7-C8	121.34	O15-C17-S3	118.35

C6-C8-C7	121.57	N7-C18-O15	112.57
C6-C8-H20	121.21	N7-C18-C30	118.49
C7-C8-H20	117.22	O15-C18-C30	128.60
C9-O2-C11	102.75	C17-O15-C18	103.26
Ni1-N3-N4	127.00	N6-C19-O16	112.84
Ni1-N3-C11	133.08	N6-C19-S4	126.76
N4-N3-C11	99.81	O16-C19-S4	119.25
N3-N4-C9	110.00	N8-C20-O16	112.30
O2-C9-N4	114.21	N8-C20-C24	126.32
O2-C9-C10	118.95	O16-C20-C24	120.83
N4-C9-C10	126.84	C19-O16-C20	102.90
C9-C10-C12	117.56	C22-C21-C30	117.68
C9-C10-C13	122.96	C30-C21-H9	125.03
C12-C10-C13	119.48	C21-C22-C32	121.59
O2-C11-N3	113.04	C21-C22-H10	118.70
O2-C11-S2	114.82	C32-C22-H10	119.71
N3-C11-S2	131.56	C31-C23-C32	117.42
C10-C12-H4	121.29	C31-C23-H12	121.25
C10-C12-C14	119.43	C32-C23-H12	121.32
H4-C12-C14	119.28	C20-C24-C25	124.13
C10-C13-H5	123.96	C20-C24-C26	118.50
C10-C13-C15	120.76	C25-C24-C26	117.23
C12-C14-H6	117.79	C24-C25-H14	125.92
C12-C14-C16	120.69	C29-C25-H14	113.36
H6-C14-C16	121.52	C24-C26-C27	121.01
C13-C15-H7	121.23	C24-C26-H18	125.27
C13-C15-C16	118.09	C27-C26-H18	113.66
H7-C15-C16	120.68	C26-C27-C28	120.44
C14-C16-C15	121.55	C26-C27-H17	118.70
C14-C16-H8	119.93	C28-C27-H17	120.85
C15-C16-H8	118.52	C27-C28-C29	121.73
Ni1-O3-V1	142.24	C27-C28-H16	116.87
Ni1-O4-V2	133.13	C29-C28-H16	121.41
O3-V1-O5	154.34	C25-C29-C28	118.84
O3-V1-O6	98.21	C25-C29-H15	120.39
O3-V1-O9	84.62	C28-C29-H15	120.76
O5-V1-O6	101.90	C18-C30-C21	127.40
O5-V1-O9	100.07	C18-C30-C31	114.76
O6-V1-O9	116.95	C21-C30-C31	117.78
O4-V2-O6	103.70	C23-C31-C30	124.09
O4-V2-O7	84.23	C23-C31-H13	114.30
O4-V2-O8	157.50	C30-C31-H13	121.57
O6-V2-O7	127.26	C22-C32-C23	121.40

O6-V2-O8	98.74	C22-C32-H11	122.95
O7-V2-O8	83.58	C23-C32-H11	115.65

$[\text{Ni}_2\text{V}_4\text{O}_{12}(\text{L}^2)_4] \cdot 2\text{H}_2\text{O}$ geterometalli kompleksning strukturaviy tuzilishini rentgen difraktogrammasi eksperimentda kuzatilgan spektrini hisoblangan spektr bilan taqqoslash diagrammasi taqqoslanganda, kuzatilgan spektrini hisoblangan spektr bilan moslik darajasidagi chetlanish 6,2175 ga teng.



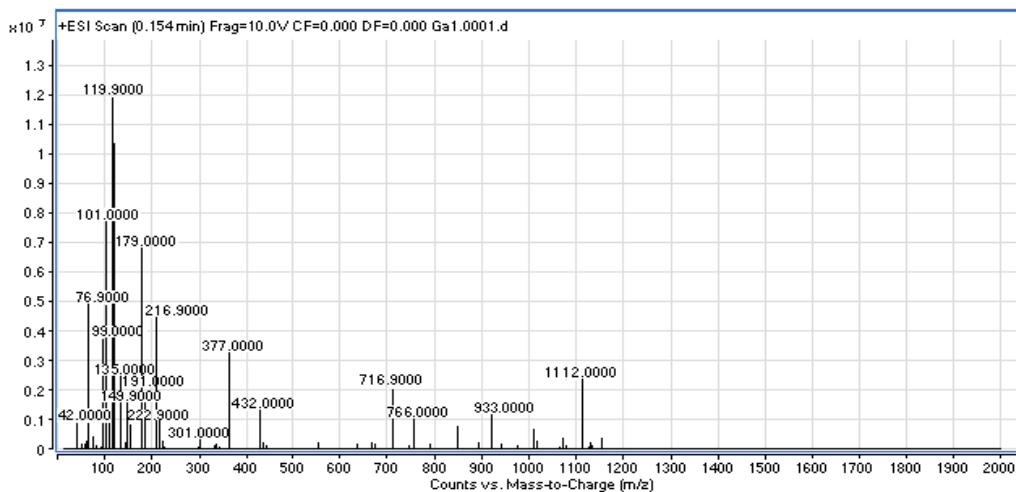
3.22-Rasm. $[\text{Ni}_2\text{V}_4\text{O}_{12}(\text{L}^2)_4] \cdot 2\text{H}_2\text{O}$ strukturaviy tuzilishining rentgen difraktogrammasi. I –eksperementda kuzatilgan spektrini (—) hisoblangan spektr (—) bilan taqqoslash, II – Bragg reflekslari (|), III – kuzatilgan spektr va hisoblangan spektr o‘rtasidagi farq (√).

Olingan natijalarga ko‘ra aralash metalli kompleksda vanadiy kislorod bog‘lari mavjud bo‘lib, ular o‘zaro ma'lum izchillikda birikkan va nikel ioni bilan ham bog‘lanish hosil qilgan. Ligand Ni^{2+} ioniga oksadiazol halqasidagi azot atomi orqali bog‘langanligidan dalolat beradi

3.6-§. YuESX-mass spektrometriya usuli yordamida $[\text{V}_4\text{O}_{12}](\text{L}^1+\text{H}^+)_4$ kompleksini o‘rganish

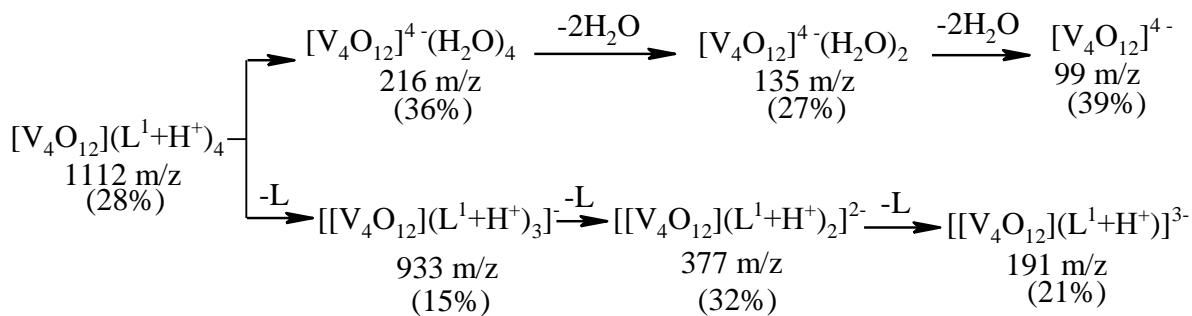
Komplekslarning nisbiy molekulyar massalari va komplekslarning miqdor ko‘rsatkichlarini aniqlash uchun namunalar YuESX-mass (ESI-mass)

spektrometriya tahlili yordamida o'rganildi va [139] adabiyot yordamida tahlil qilindi.



3.23-Rasm. L^1 asosidagi vanadiyli kompleksning elektr maydonida sachratib ionlantirish sharoitida olingan mass-spektri, erituvchi – metanol.

$[V_4O_{12}](L^1+H^+)_4$ kompleksning ESI-MS spektrida to'rtta turdagi kompleks ionlari: $[[V_4O_{12}](L^1+H^+)_3]^-$, $[[V_4O_{12}](L^1+H^+)_2]^{2-}$, $[[V_4O_{12}](L^1+H^+)]^{3-}$, $[[V_4O_{12}]\cdot 2H_2O]^{4-}$ va $[L^1]^+$. Tarkibi $[V_4O_{12}](L^1+H^+)_4$ kompleksning fragmentatsiyalanishida $[L^1]^+$ ning bosqichli yo'qotilishi natijasida noturg'un $[[V_4O_{12}](L^1+H^+)_3]^-$ $m/z=933$, $[[V_4O_{12}](L^1+H^+)_2]^{2-}$ $m/z=377$, $[[V_4O_{12}](L^1+H^+)]^{3-}$ $m/z=191$ kompleks ionlari hosil bo'lgan. Spekrda ligandning $[L^1]^+$ protonlangan molekulasi $m/z=179,0$ sohada namoyon bo'lgan. Kompleks $[V_4O_{12}]^{4-}$ $m/z=99,0$ ionigacha fragmentatsiyalangan. $m/z=135$ sohadagi pik siklovanadat ioniga $[[V_4O_{12}]\cdot 2H_2O]^{4-}$ gidratlanish ro'y berganligini kuzatishimiz mumkin. Kompleks molekulasi quyidagi sxemada keltirilgan tartibda parchalanadi (sxema).



Sxema. $[V_4O_{12}](L^1+H^+)_4$ kompleksning fragmentatsiyasi

3.7-§. Oksadiazoltion hosilalari asosida gomo- va geterometalli kompleks birikmalarini termik tahlil usuli bilan o'rganish

Kompleks birikmalarning termik barqarorligini va tarkibida suv molekulari mavjudligini aniqlash maqsadida derivatografiya natijalari tahlil qilindi. Ligandlar L^1 , L^2 va L^3 hamda ular asosida sintez qilingan kompleks birikmalarning termik xossalari differensial termik taxlili yordamida o'rganildi [140-142].

Bir vaqtning o'zida o'rganilayotgan birikmalarning termogravigrammalarida turli xil jarayonga mos keladigan endo- va ekzo- effektlar, namuna massasining parchalanish tezligi, komplekslarning parchalanish massasining o'zgarishi va termik barqarorlikning harorat ortib borishi bilan o'zgarishi aniqlanadi. Shunday qilib, termik analiz natijasida kompleksning parchalanishini va suyuqlanishini, ligandning termik barqarorligi va kompleksning oxirgi mahsulotlari aniqlanadi.

Kompleks birikmalarning derivatogrammalari va olingan natijalar 3.24-3.28 rasmlarda, 3.16-3.17 jadvalda keltirilgan.

L^1 termogrammasi (3.25-(a)rasm) tahlil qilinganda $256,8^{\circ}\text{C}$ - 265°C harorat oralig'ida TG egri chizig'ining massa yo'qotilishi 23% ni tashkil qiladi, qizdirish egri chizig'ida $263,5^{\circ}\text{C}$ da bitta endotermik effekttni va $267,2^{\circ}\text{C}$ da bitta ekzotermik effekttni ko'rsatdi. $267,2^{\circ}\text{C}$ da ekzotermik effekttni tabiati ligandning kuchli parchalanishiga to'g'ri keladi. Keyingi termik effektlarning bosqichma-bosqich parchalanish, yonish jarayonlari bilan bog'liqligi kuzatildi va o'rganilayotgan birikma termolizining yakuniy mahsuloti aniqlandi. TG egri chizig'iga ko'ra $256,8$ - 360°C harorat oralig'ida umumiy massa yo'qotish 83% ni tashkil qiladi [140-142].

L^1 asosida sintez qilingan komplekslarning derivatogrammalari (3.25-(b), (c), (d) rasmlar) tahlil qilinganda barcha namunalar $\sim 400^{\circ}\text{C}$ da parchalanadi. Cu(II) va Ni(II) komplekslarining xloridlari termogrammasidagi 50 - 150°C oralig'ida past haroratli massa yo'qotish qayd etilgan. 150 - 200°C oralig'ida yana massa yo'qotilishi kuzatildi. Ushbu ma'lumotlar komplekslarning IQ-spektrlari tahlili natijasida taklif qilingan koordinatsion va kristalizatsion suv molekularining mavjudligini aniq ravshan ko'rsatdi. O'z navbatida, Cu (II) nitrat kompleksining

termogrammasida 130°C gacha massa yo‘qotish kuzatilmadi, bu ham kompleksning IQ-spektrida kristallogidrat holatdagi suv yo‘qligi haqidagi natijani tasdiqladi.

3.16-Jadval

Kompleks birikmalarning termik analiz natijalari

Birikma	Fragment	Piroliz oralig‘i (°C)	Piroliz ko‘rsatkich (°C) (DTA)	Issiqlik effekti	Massa yo‘qotilishi mg/%
L ¹	NCO	240-265	263,5	endoterm	1,173/23
	Py+CNS	265-300	267,2	ekzoterm	3/60
	Py+CNS	300-370		-	0,85/17
[NiL ¹ (H ₂ O) ₄].2H ₂ O	2 H ₂ O	43-67	55,07	endoterm	0,246/6,86
	4 H ₂ O	95-143	123,08	endoterm	0,468/13
	2NCS	143-260			0,576/16
	Ni+Py+NCO	350-420	400	ekzoterm	1,11/30,84
	Ni+Py+NCO	420-600		-	0,8/22,2
[CuL ¹ (H ₂ O) ₄]	2 H ₂ O	78-108	100	endoterm	0,34/7,35
	4 H ₂ O	108-184	150	endoterm	0,41/8,91
	2NCS	184-222	203	ekzoterm	0,62/14,13
	Cu+Py+NCO	266-304	278	endoterm	1,43/31
	Cu+Py+NCO	400-475	450	endoterm	0,6/13
[Cu(L ¹) ₂ (H ₂ O) ₂]	2 H ₂ O	100-215		-	1,2/14,6
	2 NCO	215-264	232	endoterm	1,43/17
	Cu+Py+NCS	365-390	377	endoterm	3,07/36,5

L¹ asosida olingan gomometalli kompleks birikmalarda 200-220°C harorat oralig‘ida maksimal massa yo‘qotilishini mavjudligini ko‘rsatdi, bu esa piridin, -NCS va -NCO fragmentlarinnig yo‘qotilishiga to‘g‘ri keladi. Tahlil o‘rganilayotgan koordinatsion birikmalar tadqiqoti doirasida to‘liq bo‘lmagan pirolizni ko‘rsatadi, bu termik parchalanish mahsulotlarining yonishi va metall oksidlarining hosil bo‘lishi bilan bog‘liq, shu sababli pirolizning yakuniy mahsulotini aniqlab bo‘lmadi.

Metall atsetatlarining L¹ asosida olingan gomometalli kompleks birikmalari gelga o‘xshash mahsulot hosil qilganligi sababli termogravimetrik analiz usuli bilan tahlil qilib bo‘lmadi.

Sintez qilingan gomo- va geterometalli kompleks birikmalarning termik xossalari taqqoslanganda, $[\text{CuL}^1_2(\text{H}_2\text{O})_2]$ kompleks birikmaning termogravigrammasida (3.24-(b)rasm) 100°C gacha bo'lgan haroratda massa yo'qotilishi kuzatilmaydi, bu kristalizatsion suv molekulasini mavjud emasligidan dalolat beradi, kristalizatsion suv molekulasini yo'qligini IK spektr natijasi ham tasdiqlaydi. $100\text{-}200^\circ\text{C}$ harorat oralig'ida $\sim 8\%$ massa yo'qotilishi bilan endotermik effekt kuzatildi, bu ikki molekula koordinatsion suvning yo'qotilishiga to'g'ri keladi. Kompleks birikmalarda $200\text{-}500^\circ\text{C}$ harorat oralig'ida maksimal massa yo'qotilishi kuzatildi, bu piridin, -NCS va -NCO fragmentlarining yo'qotilishiga to'g'ri keladi.

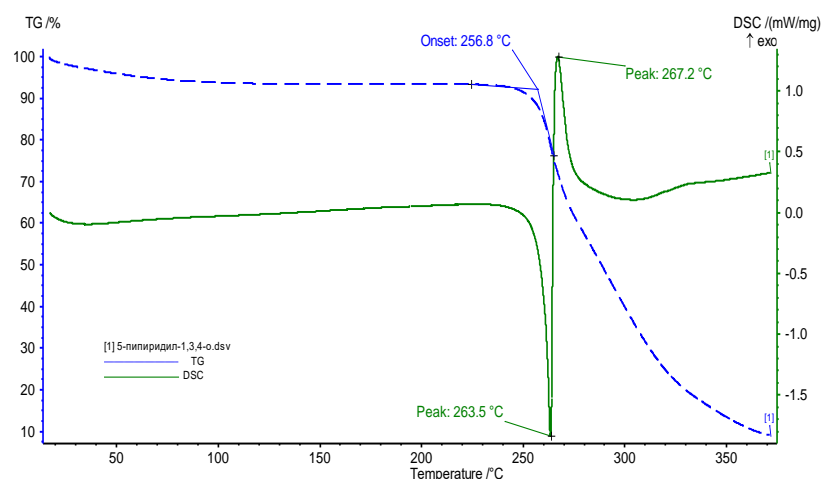
3.17-Jadval

L^1 ning gomo- va geterometalli kompleks birikmalarining termik tahlil natijalari

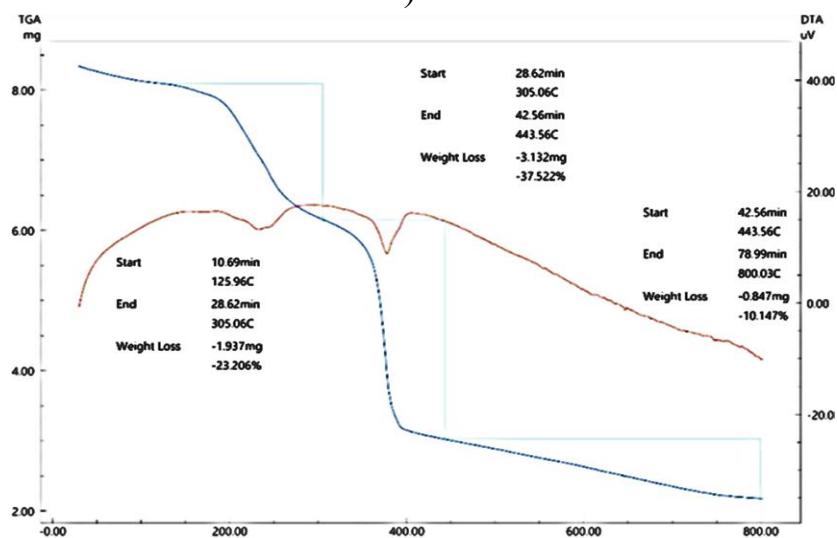
Birikma	Fragment	Piroliz ko'rsatkichi ($^\circ\text{C}$)	Piroliz piki	Issiqlik effekti
L^1	NCO	240-265	263,5	endoterm
	Py+CNS	265-300	267,2	ekzoterm
	Py+CNS	300-370	-	-
$[\text{CuL}^1_2(\text{H}_2\text{O})_2]$	2 H_2O	125-215	-	endoterm
	2 NCO	215-264	232	endoterm
	Cu+Py+ NCS	365-390	377	endoterm
$[\text{Cu}_2\text{V}_4\text{O}_{12}(\text{L}^1)_4]\cdot 2\text{H}_2\text{O}$	2 H_2O	50-110	-	endoterm
	4Py+4NCO	110-250	225	ekzoterm
	V_4O_{12}	250-400	320	ekzoterm
	Cu+2NCS	450-525	500	endoterm

$[\text{Cu}_2\text{V}_4\text{O}_{12}(\text{L}^1)_4]\cdot 2\text{H}_2\text{O}$ tarkibli geterometalli kompleks birikmaning termogravigrammalarida 110°C gacha bo'lgan sohada, ikki molekula kristalizatsion suvning massa yo'qotilishiga to'g'ri keladigan $\sim 3\%$ bo'lgan endoeffekt kuzatildi. $110\text{-}400^\circ\text{C}$ harorat oralig'ida, organik radikallar va tetraoksovanadatga to'g'ri keladigan $\sim 66\%$ massa yo'qotilishi bilan birga ikkita ketma-ket ekzotermik effekt

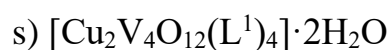
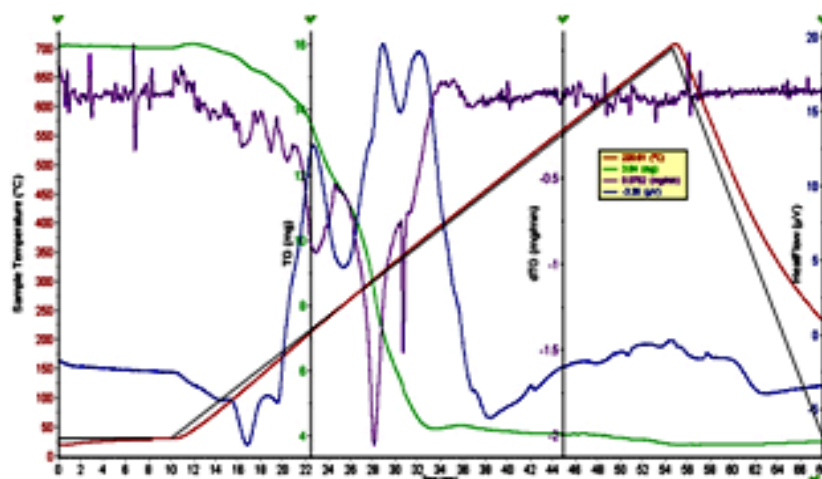
kuzatiladi. Keyingi piroliz cho‘qqisi $\sim 500^{\circ}\text{C}$ da 16% massa yo‘qotilishi bilan boradi, bu $\text{Cu}+2\text{NCS}$ fragmentiga to‘g‘ri keladi. O‘rganilayotgan kompleks birikmalar tadqiqot doirasida to‘liq bo‘lmagan pirolizni ko‘rsatdi, bu termal parchalanishining mahsulotlarining yonishi va metall oksidlarining hosil bo‘lishi bilan bog‘liq, shuning uchun pirolizning yakuniy bosqichini aniqlab bo‘lmadi. L^1 va $[\text{CuL}^1_2(\text{H}_2\text{O})_2]$, $[\text{Cu}_2\text{V}_4\text{O}_{12}(\text{L}^1)_4]\cdot 2\text{H}_2\text{O}$ larning parchalanish mahsulotlari 3.17-jadvalda keltirilgan (3.24-(s)rasm).



a) L^1

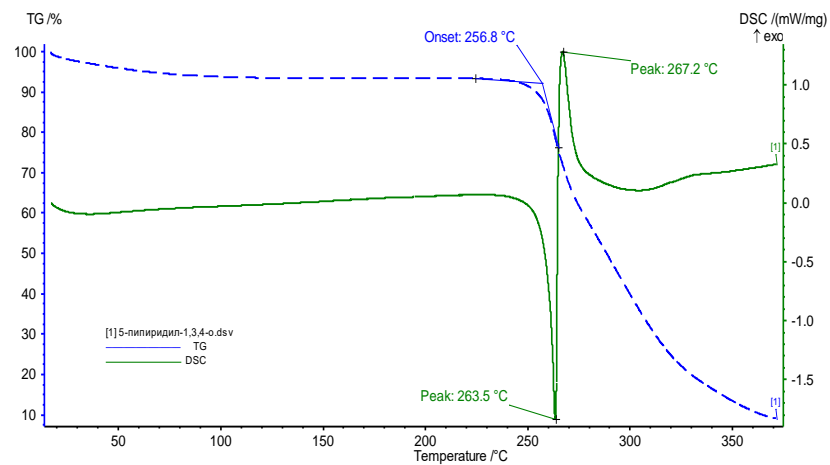


b) $[\text{CuL}^1_2(\text{H}_2\text{O})_2]$

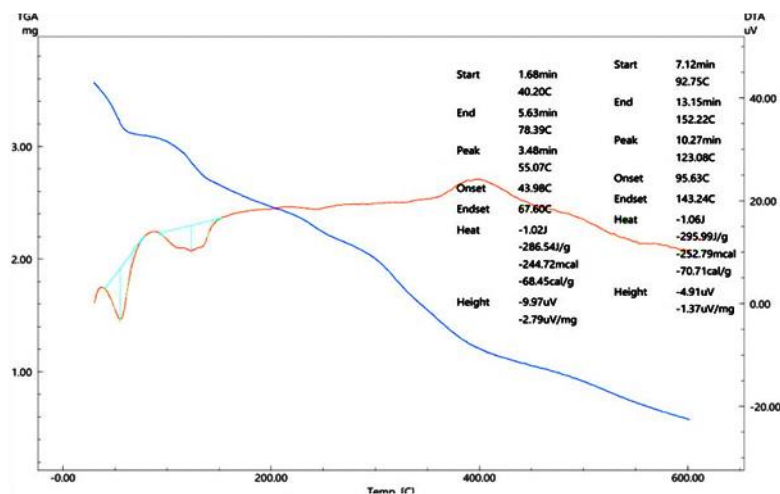


3.24-Rasm. a) L^1 ; b) $[\text{CuL}^1_2(\text{H}_2\text{O})_2]$; s) $[\text{Cu}_2\text{V}_4\text{O}_{12}(\text{L}^1)_4] \cdot 2\text{H}_2\text{O}$ larning termogrammalari

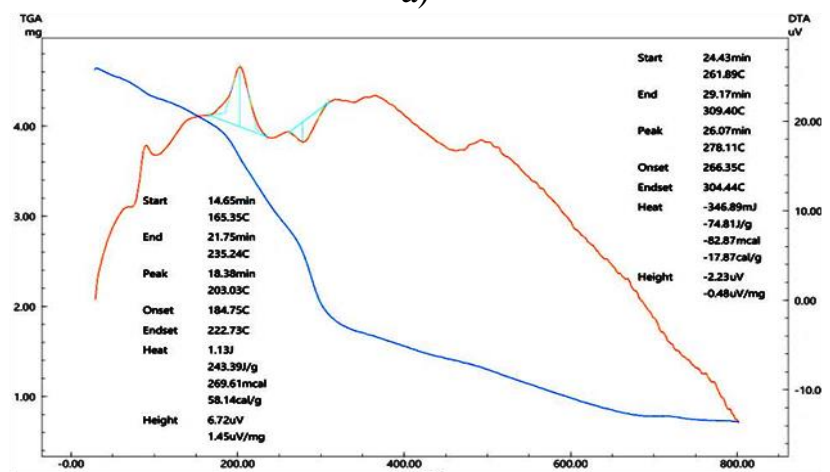
Ligandlar va barcha metall komplekslarining termik analiz natijalari tahlil qilinib, biz termik barqarorlik haqida umumiy xulosaga kelindi. Organik geterohalqali ligandlar $\text{L}^3 < \text{L}^2 < \text{L}^1$ qatori bo'yicha termik barqarorligi ortib boradi.



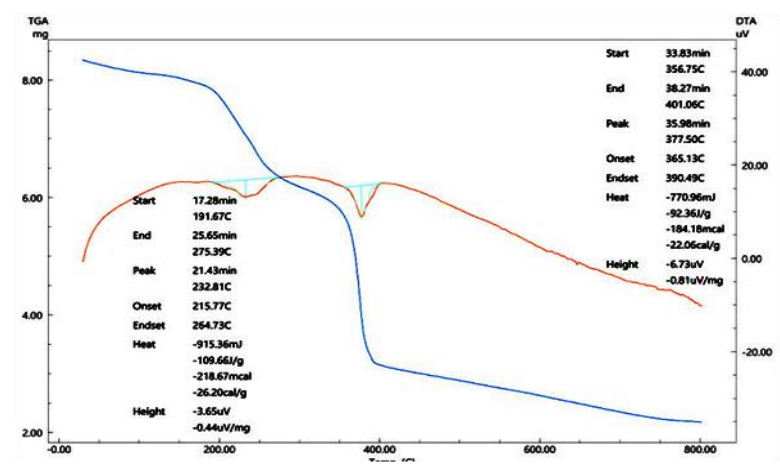
a)



b)

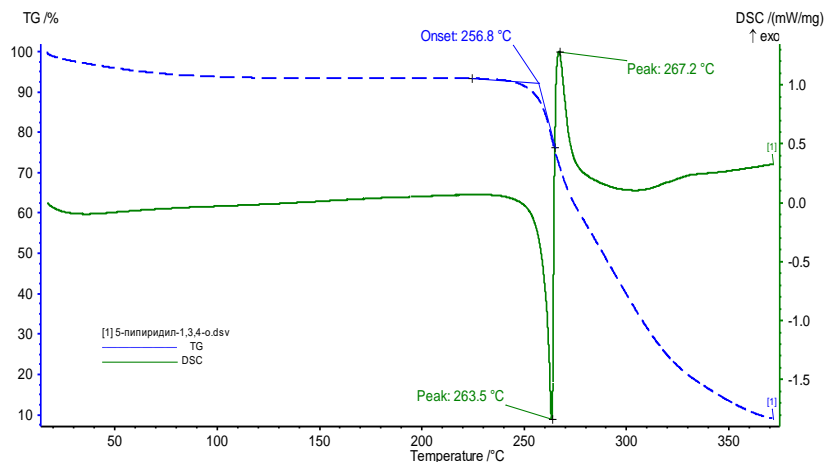


c)

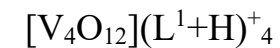
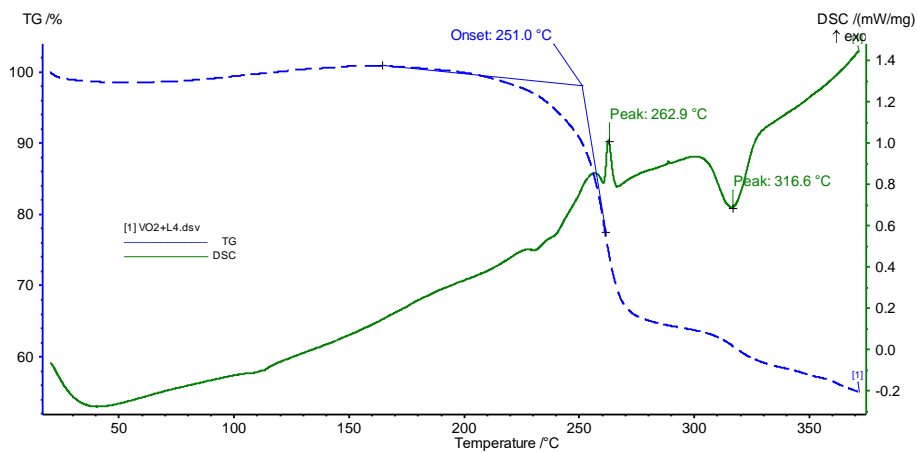


d)

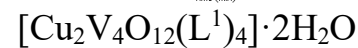
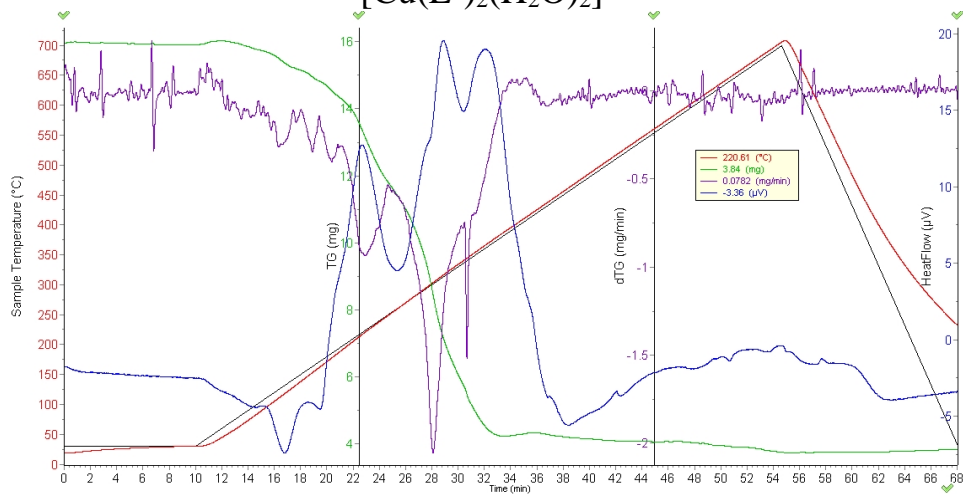
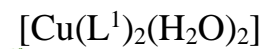
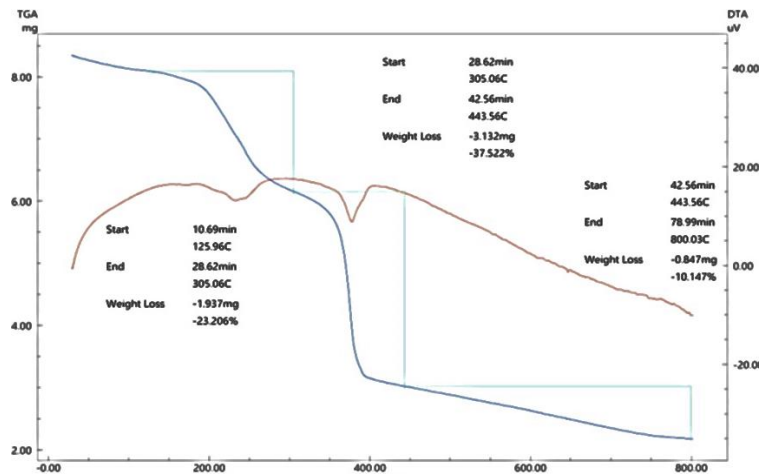
3.25-Rasm. a) L^1 ; b) $[NiL^1(H_2O)_4] \cdot 2H_2O$; c) $[CuL^1(H_2O)_4] \cdot 2H_2O$; d) $[CuL^1(H_2O)_2]$ derivatogrammalari; 1-Temperatura egri chizig'i; 2- differensial termogravimetrik tahlil egri chizig'i (DTGA); 3- differensial termogravimetrik tahlil egri chizig'ining hosilasi (DTGP);

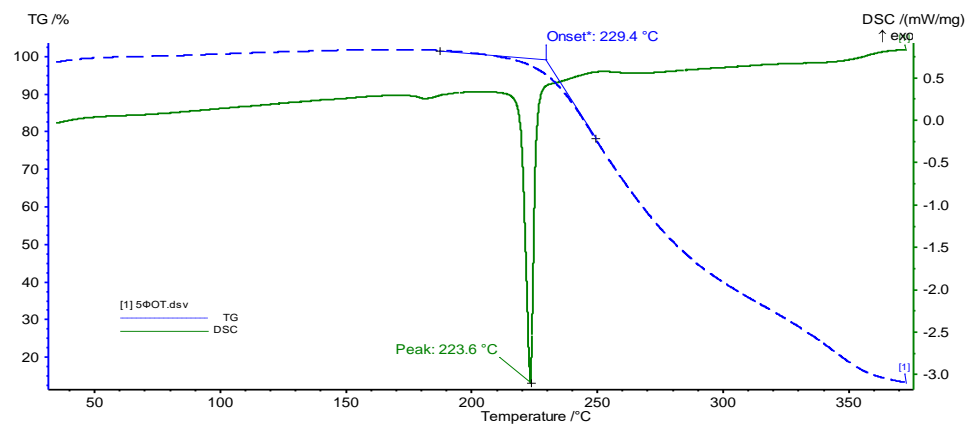


L^1 – 5-пиридил-1,3,4-оксадиазол-2(3H)-тион

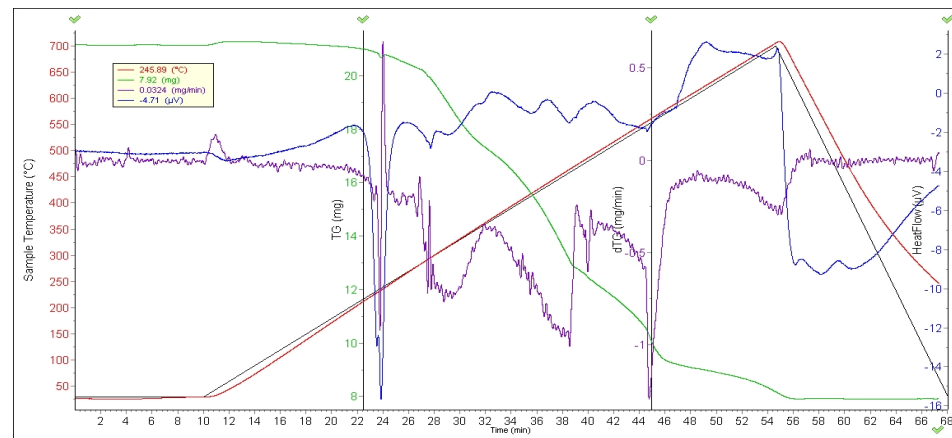


3.26-Rasm. L^1 va uning asosida olingan metallokomplekslarning termogrammalari

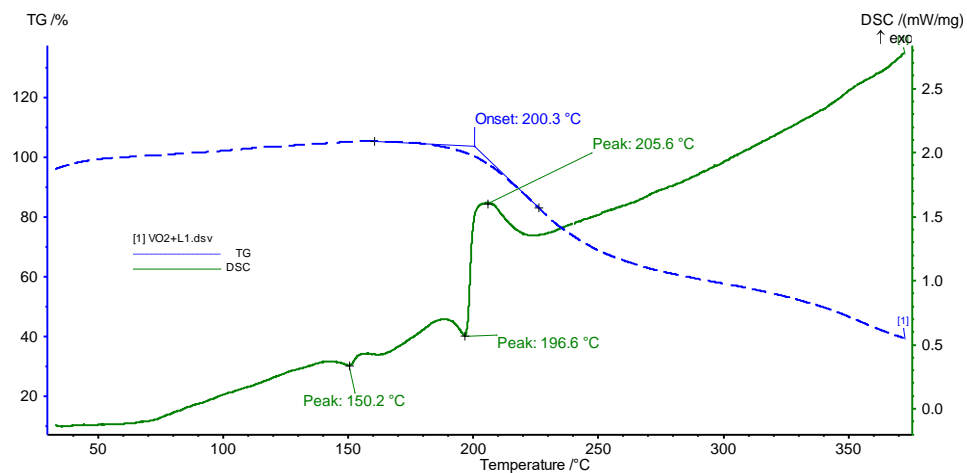




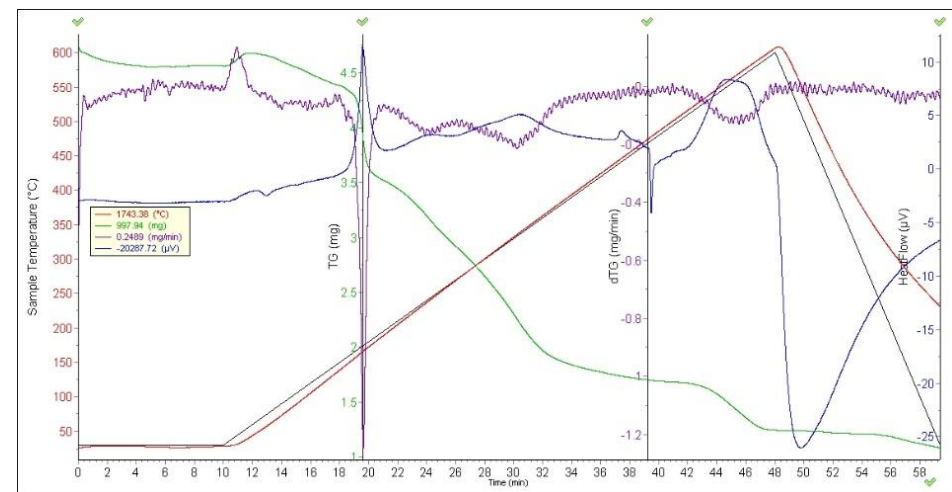
L^2 – 5-fenil-1,3,4-oksadiazol-2(3H)-tion



$[Ni(L^2)_2]$

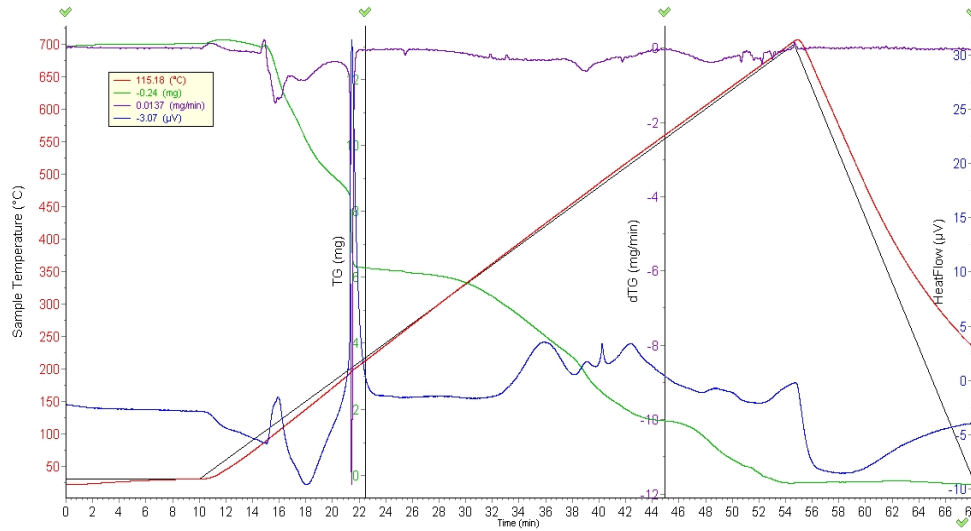


$[V_4O_{12}](L^2+H)_4$

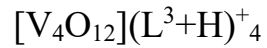
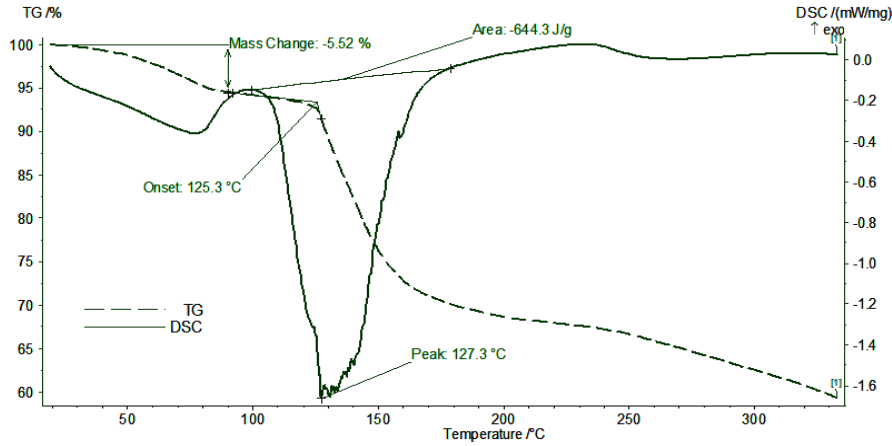


$[Ni_2V_4O_{12}(L^2)_4] \cdot 2H_2O$

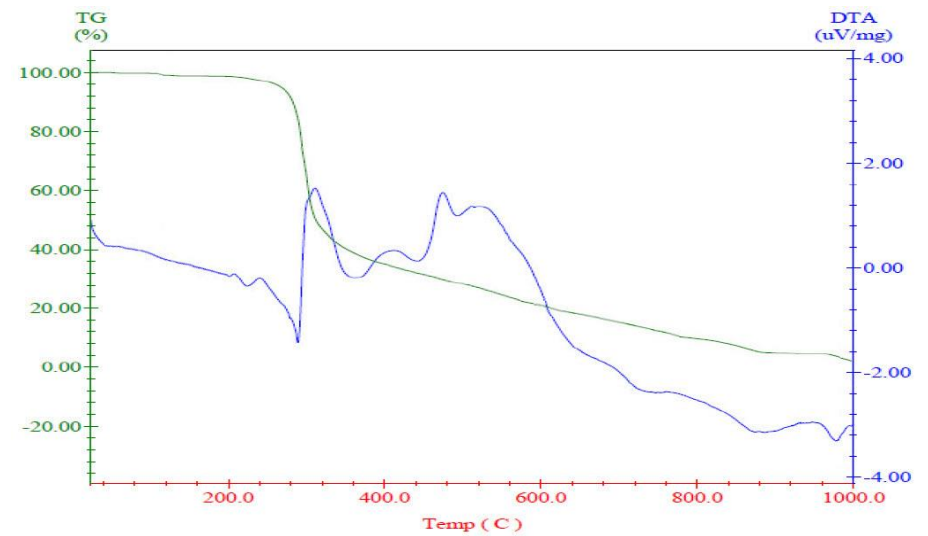
3.27-Rasm. L^2 va uning asosida olingan metallokomplekslarning termogrammalari



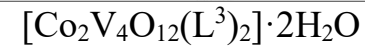
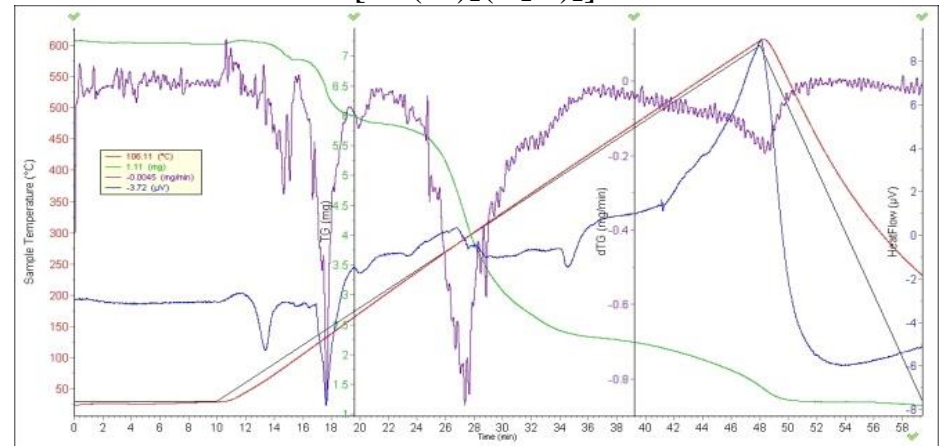
L³-2-karboksimetiltio-5-fenil-1,3,4-oksadiazol



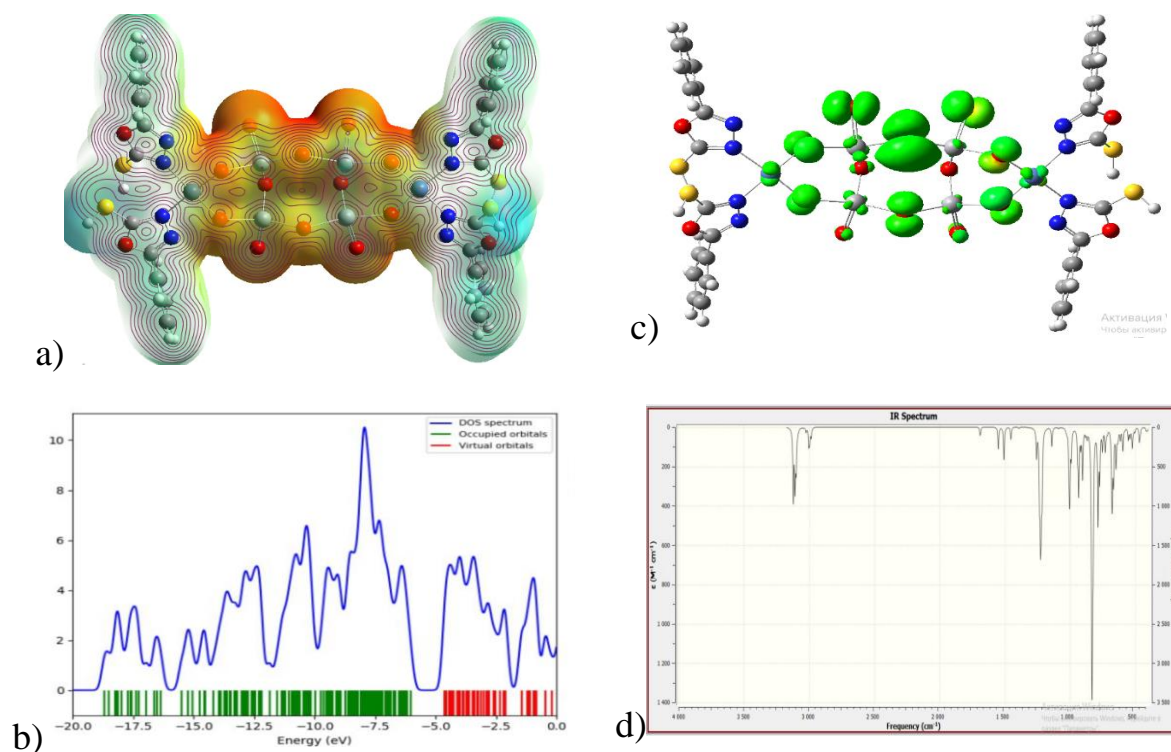
3.28-Rasm. L³ va uning asosida olingan metallokomplekslarning termogrammalari



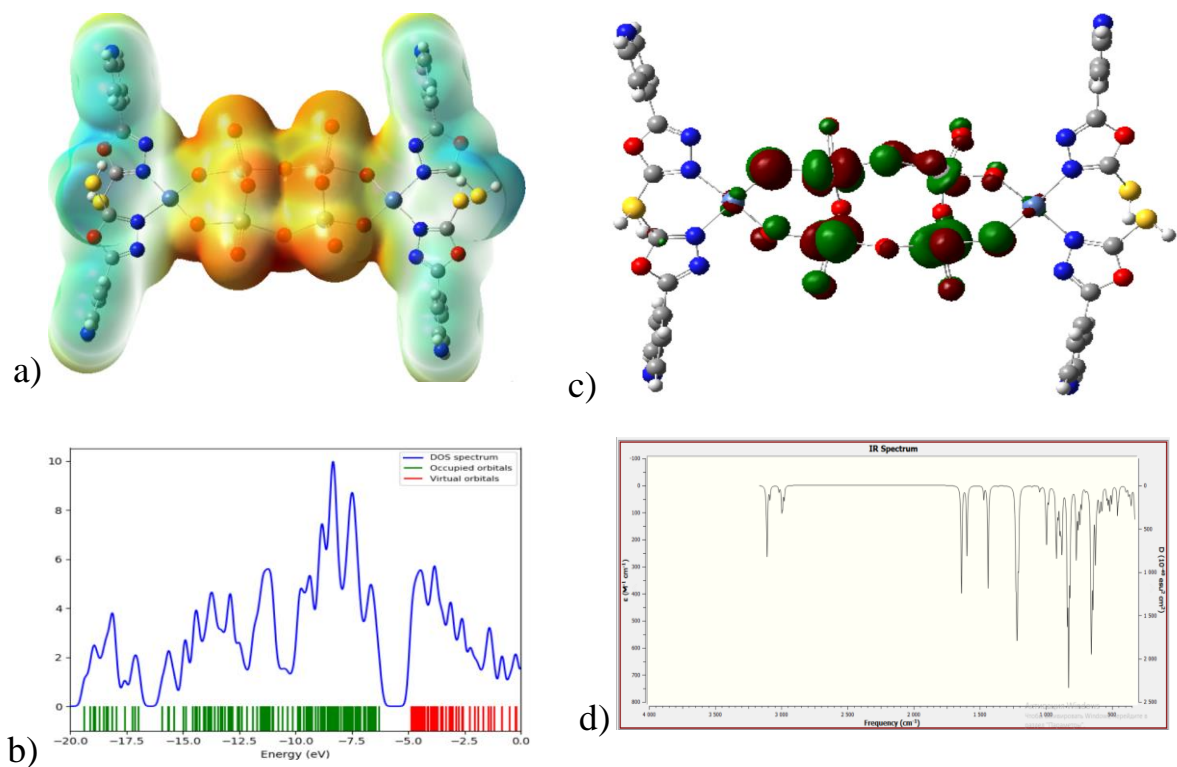
$[Co(L^3)_2(H_2O)_2]$



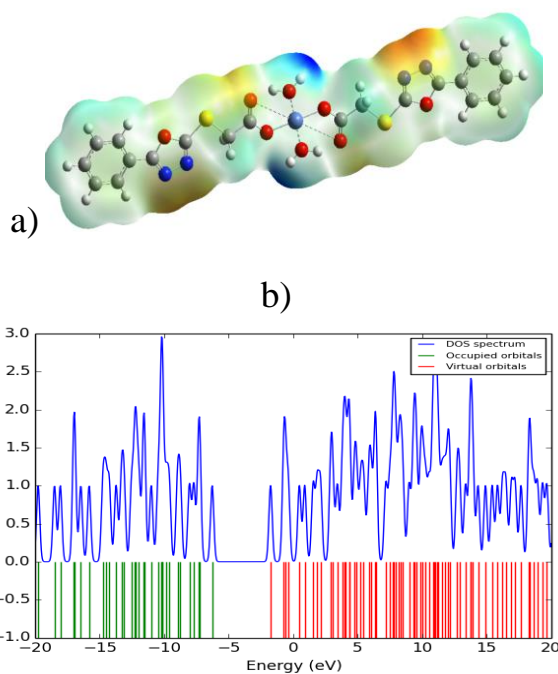
Gomo- va geterometalli kompleks birikmalarning termik hossalari o‘rganilganda, gomometalli kompleks birikmaning termik barqarorligi yuqoriligi geterometalli kompleks birikmanikidan yuqoriligi $[\text{Cu}_2\text{V}_4\text{O}_{12}(\text{L}^1)_4] \cdot 2\text{H}_2\text{O} < [\text{CuL}^1_2(\text{H}_2\text{O})_2]$ aniqlandi. Komplekslarning termogrammalari 3.29 -3.31 rasmlarda keltirilgan va bu holat gomo-, geterometalli kompleks birikmalarni kvant-kimyoviy hisoblash orqali olingan MO natijalari yordamida isbotlandi. Geterometalli komplekslarda d-orbitallarning qoplanishi natijasidagi $|\text{HOMO-LUMO}| = \Delta$ ayirmaning farqi $\Delta \leq 2$ ($[\text{Ni}(\text{L}^3)_2(\text{H}_2\text{O})_2]$, $\Delta = |-6.28 - (-4.86)| = 1.42$) ga, gomometalli kompleksda $\Delta \leq 5$ ($[\text{Ni}_2\text{V}_4\text{O}_{12}(\text{L}^1)_4] \cdot 2\text{H}_2\text{O}$, $\Delta = |-6.34 - (-1.77)| = 4.57$) ga nisbatan kichik bo‘lishi bilan izohlandi.



3.29-Rasm. $[\text{Ni}_2\text{V}_4\text{O}_{12}(\text{L}^2)_4] \cdot 2\text{H}_2\text{O}$ ning a)MO qavatlarining umumiy zichligi va zichlik spektri (b); c)HOMO, LUMO orbitallar; d)IQ spektri



3.30-Rasm. $[\text{Ni}_2\text{V}_4\text{O}_{12}(\text{L}^1)_4] \cdot 2\text{H}_2\text{O}$ ning a)MO qavatlarining umumiy zichligi va zichlik spektri (b); c)HOMO, LUMO orbitallar; d)IQ spektri



3.31-Rasm. $[\text{Ni}(\text{L}^3)_2(\text{H}_2\text{O})_2]$ ning a)MO qavatlarining umumiy zichligi va zichlik spektri (b); c)HOMO, LUMO orbitallar; d)IQ spektri

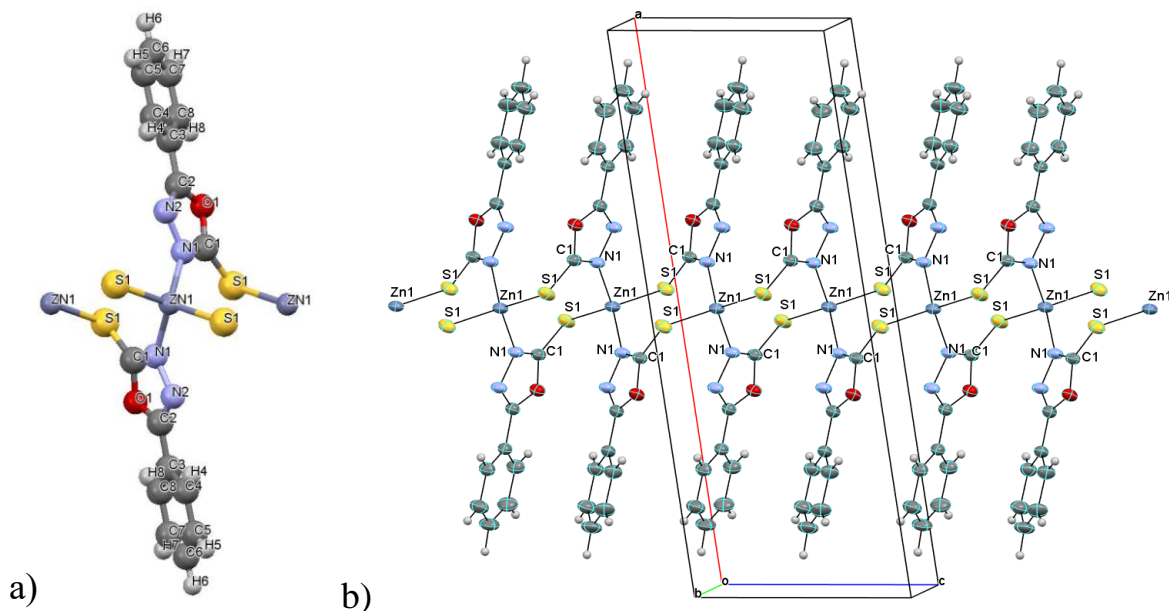
Gomo- va geterometalli kompleks birikmalarning termodinamik parametrlari

Xarakteristika	Gomometalli	Geterometalli
	$[\text{Ni}(\text{L}^3)_2(\text{H}_2\text{O})_2]$	$[\text{Ni}_2\text{V}_4\text{O}_{12}(\text{L}^1)_4] \cdot 2\text{H}_2\text{O}$
Ichki energiya (E, kkal/mol)	231.48	314.8
Dipol momenti (Debye)	0.05	9.19
Qutblanganlik (a.u)	355.9	1232
Entalpiya (H, kkal/mol)	315.38	231.54
Entropiya (S, kkal/mol *K)	0.346	0.399
Gibbs energiyasi (G, kkal/mol)	212.19	112.59
Issiqlik sig'imi (Cv, kal/mol *K)	235.5	135.7

3.8-§. Sintez qilingan kompleks birikmalarning rentgenstruktur tahlili

Rentgen strukturaviy tahlil (XDR, shuningdek: rentgen nurlanishini tahlil qilish) – moddaning tuzilishini o‘rganish uchun diffraksiya usullaridan biri hisoblanadi. Bu usul uch o‘lchamli kristall panjara ustidagi rentgen nurlarining diffraksiyasi hodisasiga asoslangan. RSA usuli elementar yacheykaning fazoviy guruhini, uning o‘lchamlari va shaklini o‘z ichiga olgan moddaning atom tuzilishini, shuningdek, kristallning simmetriya guruhini aniqlashga imkon beradi. Bugungi kunga kelib rentgen nurlari diffraksiyon tahlili oddiyligi, universalligi (har qanday monokristallni o‘rganish uchun qo‘llanilishi mumkin) va nisbatan arzonligi tufayli moddaning tuzilishini aniqlashning eng keng tarqalgan usuli hisoblanadi [143].

L^2 ning Zn^{2+} ioni bilan sintez qilingan gomometalli kompleksining tarkibi $[Zn(L^2)_2]$ ligi EA natijasi yordamida aniqlandi. Ushbu kompleks birikmaning tuzilishini chuqurroq tahlil qilish uchun rentgenstruktur tahlil o‘tkazildi (3.32-rasm).



3.32-Rasm. Molekula tuzilishi (a) va uning kristall yacheyka tuzilishi (b)

Kristallografik ma'lumotlari: $[Zn(L^2)_2]_n$, $M=[420]_n \text{ g}\cdot\text{mol}^{-1}$, monoklin singoniyali tiniq novot rang kristallar, fozoviy guruhi $C2/c$ ($N\text{o}15$), $a=20.4198(3)$, $b=11.3243(2)$, $c=7.4005(1) \text{ \AA}$, $\alpha=90^\circ$, $\beta=98,3067(14)^\circ$, $\gamma=90^\circ$, $V=1693.35(4)\text{\AA}^3$, $Z=8$, $D_{\text{cal}}=1.2982 \text{ g}/\text{sm}^3$ (3.14-jadval). Kristalda o‘qli diedrik simmetriya

ko‘rinishida birgina ikkinchi darajali simmetriya o‘qi – 2 bo‘ladi. Shu bilan bog‘liq ravishda simmetriya o‘qiga tik yo‘nalgan monoedr, bundan tashqari, pinakoid bilan diedr ishtirok etadi.

Ushbu 3.32-rasmda $[Zn(L^2)_2]_n$ kompleksning kristall tuzilishida markaziy Zn atomi ikkita oltingugurt va ikkita azot atomi orqali bog‘lanib, jami to‘rtta kristallografik jihatdan mustaqil ligandlar tomonidan muvofiqlashtirilib, $[\theta 2\theta]$ yo‘nalishi bo‘ylab zigzag zanjirlarini hosil qiladi. Zn1- N1 va Zn1- S1 mos ravishda 2.018Å, 2.3370Å ga teng. Bunday holda tetraedrik poliedr hosil qiluvchi atomlarning valent burchagi, N1- Zn1- N1 (111.37°), S1- Zn1- S1(100,46°) va N1- Zn1- S1(108,50°) bu ko‘rsatkichlar haqiqiy tetraedr burchaklaridan bir oz farq qiladi. Ligand tarkibidagi N1 va S1 atomlarining yuqori elektrodonorlikni namoyon qilib, ikkita Zn ioni bilan sakkiz a‘zoli $[Zn-S-C-N-Zn-S-C-N]$ o‘rindiqsimon halqa hosil qiladi.

3.18-Jadval

$[Zn(L^2)_2]_n$ kompleksning kristallografik tahlil natijasining asosiy parametrlari

Parametrlar	Ko‘rsatkich	Parametrlar	Ko‘rsatkich
Molekular formula	$[Zn(C_8H_6N_2OS)_2]_n$	O‘lchash intervali (θ , grad)	0.615
M_r	$[420]_n$	h, k, l o‘tishlar	0.099, 1.000
$a, \text{Å}$	20.4198(3)	T_{\min}, T_{\max}	0.039, 0.744
$b, \text{Å}$	11.3243(2)	$\mu_{\text{exp}} (\text{MM}^{-1})(\text{MoK}\alpha)$	3.99135
$c, \text{Å}$	7.4005(1)	Umumiy aks ettirish	7033
$\alpha, ^\circ$	90	Mustaqil aks ettirish	1536
$\beta, ^\circ$	98.3067(14)	Aks ettirish soni ($I > 2\sigma(I)$)	1634
$\gamma, ^\circ$	90	R_{int}	0.028
$V, \text{Å}^3$	1693.35(4)	Aniqlangan parametrlar	115
$\rho(\text{his.}), \text{g/cm}^3$	1.2982	Kuzatilgan aks ettirishlar $[F^2 \geq 2\sigma(F^2)]$	1634
Z	8	$R_1, wR_2 (I > 2\sigma(I))$	0.026, 0.073
Fazoviy guruh	C 2/c (15)	Muvofiqlik sifati	1.096
Singoniya	Monoklin	$\Delta\rho_{\max}, \Delta\rho_{\min} (e \text{ Å}^{-3})$	0.27, -0.30
Kristal o‘lchami (mm)	$0.098 \times 0.056 \times 0.026$	T, K	253

Ligand molekulasi fenil (C3–C8) va oksadiazol (C1/O1/C2/N2/N1) halqalarining o‘rtacha tekisliklari orasidagi ikki yoqli burchak 13,42 (8)° ga teng. Ligandning oksadiazol-tiol fragmentining konformatsiyasi taxminan tekis (standart og‘ish 0,006 Å), O1 atomi uchun eng kichik kvadratlar tekisligidan maksimal og‘ish 0,009 Å ga teng. Ikki qo‘shni mustaqil oksadiazol tiollari (C1/O1/C2/N2/N1/S1) fragmentlari tekisliklari orasidagi ikki yoqli burchak 64,10° ga teng bo‘lib, strukturadagi valent va torsion burchaklar 3.19-3.16 jadvallarda keltirilgan.

3.19-Jadval

[Zn(L²)₂]_n strukturadagi valent burchak kattaliklari

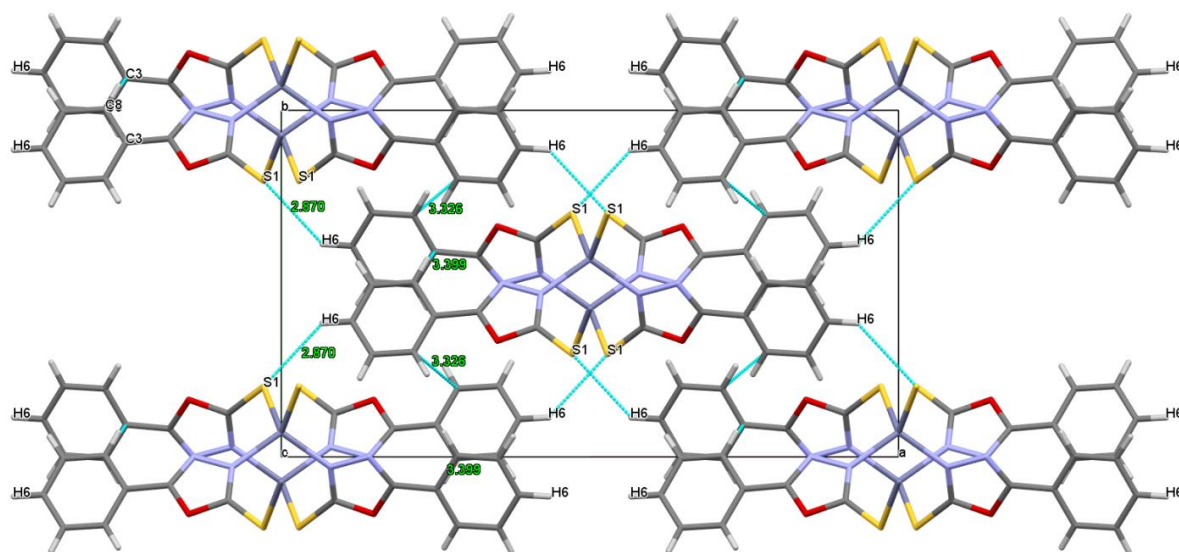
Burchak	ω,-grad	Burchak	ω,-grad	Burchak	ω,-grad
N1-Zn1-N1	111.37(2)	H4-C4-C5	119.94(2)	C2-C3-C4	118.63(2)
N1- Zn1-S1	113.83(2)	C3-C8-H8	120.15(2)	C2-C3-C8	121.46(2)
N1- Zn1-S1	108.49(4)	C3-C8-C7	119.69(2)	C4-C3-C8	119.91(2)
N1- Zn1-S1	113.83(2)	H8-C8-C7	120.15(2)	S1-C1-O1	120.27(2)
S1- Zn1-S1	100.46(2)	C4-C5-H5	120.18(2)	S1-C1-N1	129.90(2)
C1-S1- Zn1	102.39(2)	C4-C5-C6	119.65(2)	O1-C1-N1	109.81(2)
C2-O1-C1	103.92(2)	H5-C5-C6	120.18(2)	C3-C4-H4	119.94(2)
Zn1-N1-N2	119.57(2)	C8-C7-H7	119.90(2)	C3-C4-C5	120.12(2)
Zn1N1-C1	131.79(2)	C8-C7-C6	120.19(2)	H4-C4-C5	119.94(2)
N2-N1-C1	108.59(2)	H7-C7-C6	119.90(2)	C3-C8-H8	120.15(2)
N1-N2-C2	105.03(2)	C5-C6-C7	120.42(2)	C3-C8-C7	119.69(2)
O1-C2-N2	112.62(2)	C5-C6-H6	119.79(2)	H8-C8-C7	120.15(2)
O1-C2-C3	119.66(2)	C7-C6-H6	119.79(2)	C4-C5-H5	120.18(2)
N2-C2-C3	127.72(2)	C1-S1-ZN1	102.39(2)	C4-C5-C6	119.65(2)
C2-C3-C4	118.63(2)	C2-O1-C1	103.92(2)	H5-C5-C6	120.18(2)
C2-C3-C8	121.46(2)	Zn1-N1-N2	119.57(2)	C8-C7-H7	119.90(2)
C4-C3-C8	119.91(2)	Zn1-N1-C1	131.79(2)	C8-C7-C6	120.19(2)
S1-C1-O1	120.27(2)	N2-N1-C1	108.59(2)	H7-C7-C6	119.90(2)
S1-C1-N1	129.90(2)	N1-N2-C2	105.03(2)	C5-C6-C7	120.42(2)
O1-C1-N1	109.81(2)	O1-C2-N2	112.62(2)	C5-C6-H6	119.79(2)
C3-C4-H4	119.94(2)	O1-C2-C3	119.66(2)	C7-C6-H6	119.79(2)
C3-C4-C5	120.12(2)	N2-C2-C3	127.72(2)		

[Zn(L²)₂]_n strukturadagi torsion burchak kattaliklari

A1	A2	A3	A4	Torsion	A1	A2	A3	A4	Torsion
N1	Zn1	N1	N2	-136.1	H6	C6	C7	C8	177(2)
N1	Zn1	N1	C1	40.9	C6	C7	C8	C3	-0.5(3)
S1	Zn1	N1	N2	100.9	C6	C7	C8	H8	-179(2)
S1	Zn1	N1	C1	-82.1	H7	C7	C8	C3	180(2)
S1	Zn1	N1	N2	-10.0	H7	C7	C8	H8	1(3)
S1	Zn1	N1	C1	166.9	Zn1	S1	C1	O1	-116.5
N1	Zn1	N1	N2	-136.1	Zn1	S1	C1	N1	65.3
N1	Zn1	N1	C1	40.9	C2	O1	C1	S1	179.8(1)
S1	Zn1	N1	N2	-10.0	C2	O1	C1	N1	-1.7(2)
S1	Zn1	N1	C1	166.9	C1	O1	C2	N2	1.2(2)
S1	Zn1	N1	N2	100.9	C1	O1	C2	C3	-178.4(1)
S1	Zn1	N1	C1	-82.1	Zn1	N1	N2	C2	176.9
Zn1	S1	C1	O1	-116.5	C1	N1	N2	C2	-0.7(2)
Zn1	S1	C1	N1	65.3	Zn1	N1	C1	S1	2.7
C2	O1	C1	S1	179.8(1)	Zn1	N1	C1	O1	-175.7
C2	O1	C1	N1	-1.7(2)	N2	N1	C1	S1	179.9(1)
C1	O1	C2	N2	1.2(2)	N2	N1	C1	O1	1.5(2)
C1	O1	C2	C3	-178.4(1)	N1	N2	C2	O1	-0.4(2)
Zn1	N1	N2	C2	176.9	N1	N2	C2	C3	179.2(2)
C1	N1	N2	C2	-0.7(2)	O1	C2	C3	C4	-13.2(2)
Zn1	N1	C1	S1	2.7	O1	C2	C3	C8	166.6(2)
Zn1	N1	C1	O1	-175.7	N2	C2	C3	C4	167.3(2)
N2	N1	C1	S1	179.9(1)	N2	C2	C3	C8	-12.9(3)
N2	N1	C1	O1	1.5(2)	C2	C3	C4	H4	1(2)
N1	N2	C2	O1	-0.4(2)	C2	C3	C4	C5	-179.3(2)
N1	N2	C2	C3	179.2(2)	C8	C3	C4	H4	-179(2)
O1	C2	C3	C4	-13.2(2)	C8	C3	C4	C5	0.9(3)
O1	C2	C3	C8	166.6(2)	C2	C3	C8	C7	179.7(2)
N2	C2	C3	C4	167.3(2)	C2	C3	C8	H8	-1(2)
N2	C2	C3	C8	-12.9(3)	C4	C3	C8	C7	-0.6(3)
C2	C3	C4	H4	1(2)	C4	C3	C8	H8	178(2)
C2	C3	C4	C5	-179.3(2)	C3	C4	C5	H5	-178(2)
C8	C3	C4	H4	-179(2)	C3	C4	C5	C6	-0.2(3)
C8	C3	C4	C5	0.9(3)	H4	C4	C5	H5	2(3)
C2	C3	C8	C7	179.7(2)	H4	C4	C5	C6	180(2)
C2	C3	C8	H8	-1(2)	C4	C5	C6	H6	-177(2)
C4	C3	C8	C7	-0.6(3)	C4	C5	C6	C7	-0.9(3)
C4	C3	C8	H8	178(2)	H5	C5	C6	H6	1(3)
C3	C4	C5	H5	-178(2)	H5	C5	C6	C7	177(2)
C3	C4	C5	C6	-0.2(3)	C5	C6	C7	H7	-179(2)
H4	C4	C5	H5	2(3)	C5	C6	C7	C8	1.2(3)
H4	C4	C5	C6	180(2)	H6	C6	C7	H7	-3(3)

C4	C5	C6	H6	-177(2)	H6	C6	C7	C8	177(2)
C4	C5	C6	C7	-0.9(3)	C6	C7	C8	C3	-0.5(3)
H5	C5	C6	H6	1(3)	C6	C7	C8	H8	-179(2)
H5	C5	C6	C7	177(2)	H7	C7	C8	C3	180(2)
C5	C6	C7	H7	-179(2)	H7	C7	C8	H8	1(3)
C5	C6	C7	C8	1.2(3)					
H6	C6	C7	H7	-3(3)					

Supramolekulyar xususiyatlari. Polimer kompleksning monomeri sifatida $[Zn(L^2)_2]_n$ birligi berilgan. Polimer zanjir c o'qiga parallel. Kristalda bir birining o'rtasida tutilgan polimer zanjirlar C6-H6...S1 orasida molekulararo vodorod bog'lanish uchraydi, bu esa a va b o'qlari bo'ylab tarmoqlanishni hosil qiladi (3.33-rasm). Vodorod bog'lanishdan tashqari fenil halqasining C3...C8 atomlari orasida polimer ichidagi π kontaktlari (3.399Å) va polimerlararo zanjir (3.326Å) mavjud.

3.33-Rasm. $[Zn(L^2)_2]_n$ c o'qda joylashuvi.

3.21-Jadval

 $[Zn(L^2)_2]_n$ strukturadagi vodorod bog' geometriyasi

D-H...A	A atomning joylashuvi	Masofa, Å			Burchak AHD, grad
		D...A	D...H	H...A	
C6-H6...S1	$-1/2+x, -1/2+y, z$	3.608	0.997	2.860	132.2(2)

Vodorod bog‘lar geometriyasiga qaraydigan bo‘lsak, bir ligandning fenil halqasidagi C6-H6 va ikkinchi ligandning 1,3,4-oksadiazol halqasiga birikkan tiol guruhining oltingugurti S1 orasida (C6-H6...S1) molekulalararo vodorod bog‘lanish mavjud (3.21-3.22 jadvallar).

3.22-Jadval

[Zn(L²)₂]_n strukturadagi bog‘ uzunliklari

BoF		d, Å	BoF		d, Å	BoF		d, Å
Zn1	N1	2.018	N2	C2	1.285(2)	C6	H6	1.00(3)
Zn1	N1	2.018	C2	C3	1.460(2)	C6	C7	1.384(3)
Zn1	S1	2.3370	C3	C4	1.388(3)	C7	H7	0.91(2)
Zn1	S1	2.3370	C3	C8	1.385(3)	C7	C8	1.380(3)
S1	C1	1.706(2)	C4	H4	0.92(2)	C8	H8	0.89(2)
S1	Zn1	2.3370	C4	C5	1.382(3)	S1	C1	1.706(2)
O1	C1	1.363(2)	C5	H5	0.89(3)	S1	Zn1	2.3370
O1	C2	1.371(2)	C5	C6	1.377(3)	O1	C1	1.363(2)
N1	N2	1.406(2)	C6	H6	1.00(3)	O1	C2	1.371(2)
N1	C1	1.299(2)	C6	C7	1.384(3)	N1	N2	1.406(2)
N2	C2	1.285(2)	C7	H7	0.91(2)	N1	C1	1.299(2)
C2	C3	1.460(2)	C7	C8	1.380(3)	N2	C2	1.285(2)
C3	C4	1.388(3)	C8	H8	0.89(2)	C2	C3	1.460(2)
C3	C8	1.385(3)	S1	C1	1.706(2)	C3	C4	1.388(3)
C4	H4	0.92(2)	S1	Zn1	2.3370	C3	C8	1.385(3)
C4	C5	1.382(3)	O1	C1	1.363(2)	C4	H4	0.92(2)
C5	H5	0.89(3)	O1	C2	1.371(2)	C4	C5	1.382(3)
C5	C6	1.377(3)	N1	N2	1.406(2)	C5	H5	0.89(3)
C6	H6	1.00(3)	N1	C1	1.299(2)	C5	C6	1.377(3)
C6	C7	1.384(3)	N2	C2	1.285(2)	C6	H6	1.00(3)
C7	H7	0.91(2)	C2	C3	1.460(2)	C6	C7	1.384(3)
C7	C8	1.380(3)	C3	C4	1.388(3)	C7	H7	0.91(2)
C8	H8	0.89(2)	C3	C8	1.385(3)	C7	C8	1.380(3)
S1	C1	1.706(2)	C4	H4	0.92(2)	C8	H8	0.89(2)
S1	Zn1	2.3370	C4	C5	1.382(3)	Zn1	N1	2.018
O1	C1	1.363(2)	C5	H5	0.89(3)	Zn1	N1	2.018
O1	C2	1.371(2)	C5	C6	1.377(3)	Zn1	S1	2.3370
N1	N2	1.406(2)	C6	H6	1.00(3)	Zn1	S1	2.3370
N1	C1	1.299(2)	C6	C7	1.384(3)	S1	C1	1.706(2)
N2	C2	1.285(2)	C7	H7	0.91(2)	S1	Zn1	2.3370
C2	C3	1.460(2)	C7	C8	1.380(3)	O1	C1	1.363(2)
C3	C4	1.388(3)	C8	H8	0.89(2)	O1	C2	1.371(2)
C3	C8	1.385(3)	Zn1	N1	2.018	N1	N2	1.406(2)
C4	H4	0.92(2)	Zn1	N1	2.018	N1	C1	1.299(2)

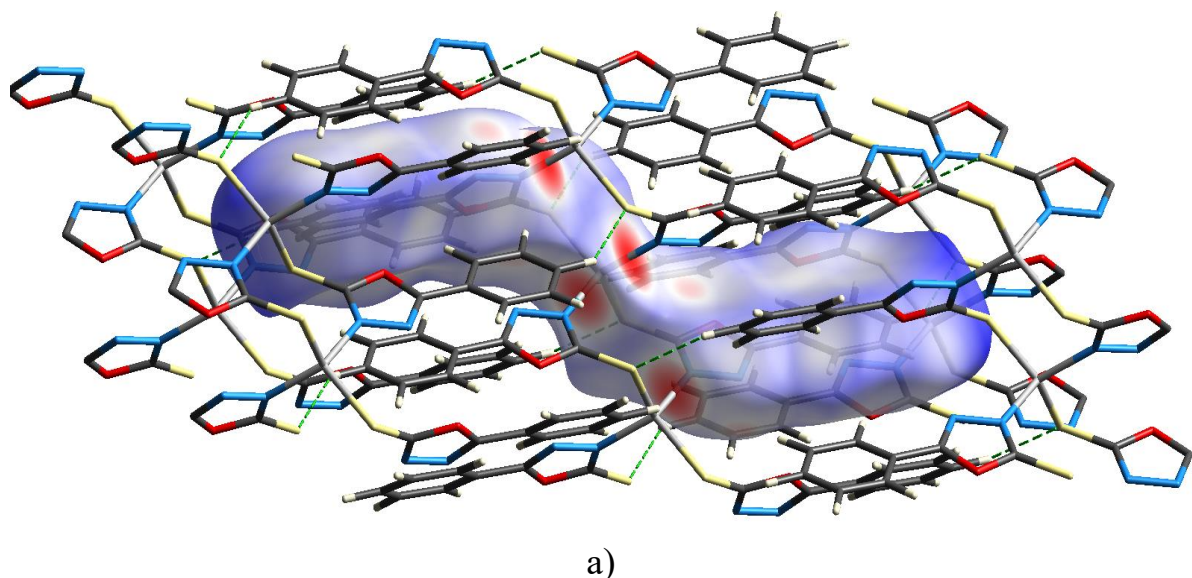
C4	C5	1.382(3)	Zn1	S1	2.3370	N2	C2	1.285(2)
C5	H5	0.89(3)	Zn1	S1	2.3370	C2	C3	1.460(2)
C5	C6	1.377(3)	S1	C1	1.706(2)	C3	C4	1.388(3)
C6	H6	1.00(3)	S1	Zn1	2.3370	C3	C8	1.385(3)
C6	C7	1.384(3)	O1	C1	1.363(2)	C4	H4	0.92(2)
C7	H7	0.91(2)	O1	C2	1.371(2)	C4	C5	1.382(3)
C7	C8	1.380(3)	N1	N2	1.406(2)	C5	H5	0.89(3)
C8	H8	0.89(2)	N1	C1	1.299(2)	C5	C6	1.377(3)
Zn1	N1	2.018	N2	C2	1.285(2)	C6	H6	1.00(3)
Zn1	N1	2.018	C2	C3	1.460(2)	C6	C7	1.384(3)
Zn1	S1	2.3370	C3	C4	1.388(3)	C7	H7	0.91(2)
S1	C1	1.706(2)	C3	C8	1.385(3)	C7	C8	1.380(3)
O1	C1	1.363(2)	C4	H4	0.92(2)	C8	H8	0.89(2)
O1	C2	1.371(2)	C4	C5	1.382(3)	S1	C1	1.706(2)
N1	N2	1.406(2)	C5	H5	0.89(3)	S1	Zn1	2.3370
N1	C1	1.299(2)	C5	C6	1.377(3)	O1	C1	1.363(2)

Rentgenstruktur tahlil natijalari CIF fayl ko‘rinishida Kembridj kristallografik ma'lumotlar bazasiga (CCDC reference: 2184492, <https://doi.org/10.1107/S2056989022006922>) joylandi.

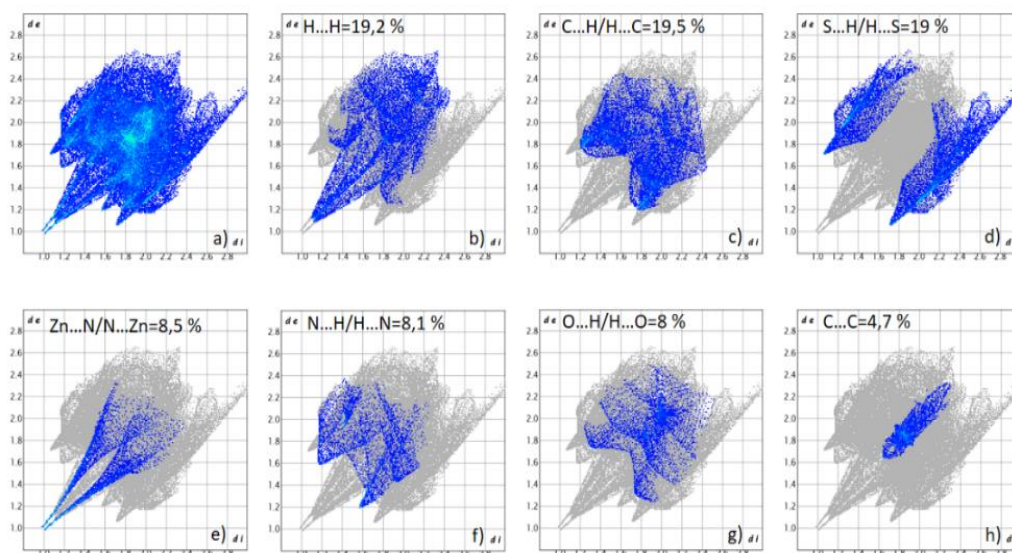
3.9-§. [(ZnL₂)_n] kompleks birikmaning Hirshfeld sirt tahlili

Hirshfeld sirt tahlili molekulyar kristallarning molekulararo o‘zaro ta'siri haqidagi qo‘shimcha ma'lumotlarni olish uchun qo‘llaniladigan kuchli tahlil usuli hisoblanadi. Ushbu tahlil usuli molekulyar kristallardagi sirtning o‘lchami, shakli, molekulararo yaqin kontaktlarning sifati, miqdorini o‘rganish va vizualizatsiya qilish imkonini beradi [144]. Hirshfeld yuza tahlili Crystal Explorer17 dasturida amalga oshirildi.

Hirshfeld yuzasi d_{norm} va turli o‘zaro ta'sirlarni ifodalovchi mos ranglar 3.34–rasm (a) da ko‘rsatilgan. Ushbu polimer kompleksining Hirshfeld yuzasini hisoblash uchun monomer birligi sifatida ZnL₂ molekulyar fragmentida olib borildi



a)



b)

3.34-Rasm. a) d_{norm} Hirshfeld sirt yuzasi va molekullarning o‘zaro elektrostatik ta’sirlari; b) molekulyar kristillardagi sirtning molekullararo yaqin kontaktlarning sifati va miqdori.

Sirdagi katta qizil nuqtalar Zn ... N o‘zaro ta’sirlarga to‘g‘ri keladi. Hirshfeld yuzasida eng katta ulush (19,2%), (19,5%) va (19%) mos ravishda H...H, C...H/H...C va S...H/H...S kontaktlarning mavjudligini ko‘rsatdi. N...H/H...N (8,1 %), O...H/H...O (8 %) va C...C (4,7 %) zaif kontaktlar ham kuzatildi. Ushbu o‘zaro ta’sirlar kristall taxlamining umumiy barqarorlashuvida hal qiluvchi rol o‘ynadi (3.34-rasm (b)).

3.10-§. Koordinatsion birikmalarni barqarorlik konstantasini Babko usulida aniqlash

Ko'pchilik koordinatsion birikmalarning eritmada barqarorligini aniqlash va ularni qo'llash imkoniyatlarini belgilovchi eng muhim xususiyatlaridan biri bu ularning barqarorlik konstantalari hisoblanadi [145]. Eritmada ko'p funksional ligandlar bilan oraliq metall ionlarining koordinatsiyalanish jarayonini o'rganish metall ionlarini bog'lanishining selektivligi va turli ligand markazlarining raqobatli koordinatsiyasi haqida ma'lumot berishi adabiyotlardan ma'lum. Eritma holatida 5-(4-piridil)-1,3,4-oksadiazol-2(3H)-tion (L^1), 5-fenil-1,3,4-oksadiazol-2(3H)-tion (L^2) va 2-karboksimetiltio-5-fenil-1,3,4-oksadiazol (L^3) bilan oraliq metall ionlarining kompleks hosil qilish jarayonlari amalda o'rganilmagan.

Ushbu tadqiqot ishida Co^{2+} , Ni^{2+} , Cu^{2+} , Zn^{2+} va V^{5+} ionlari komplekslarining spirtli eritmadagi barqarorlik konstantalari fotometrik usulda, Babkoning suyultirish usuli bilan hisoblandi. O'rganilayotgan komplekslar uchun ekvimolyar konsentratsiyali metall va ligand eritmalaridan foydalanildi.

Aniqlash usuli: sig'imi 25 ml bo'lgan o'lchov kolbalariga optimal pH =6-8 li universal bufer eritmalaridan 10 ml quyildi; stexiometrik nisbatda reaksiyaga kirishuvchi komponentlar ($M:L=1:2$; $M:V:L =1:2:2$) va ularning hajmi distillangan suv bilan kolbaning belgisigacha keltirildi. Eritmalar aralashtirildi va optik zichlik UV/VIS spektrofotometrda o'lchandi. Solishtirma eritma sifatida metall ionlari bo'lmagan va boshqa komponentlar bo'lgan eritmadan foydalanildi. So'ngra komplekslarning eritmaları distillangan suv bilan 2 marta suyultirilib optik zichlik qayta o'lchandi. O'lchash asosida olingan natijalar 3.18-jadvalda keltirilgan. Olingan natijalardan kompleks birikmalarning barqarorlik konstantasi (K_{bar}) 3.1-3.3-formulalar bo'yicha hisoblanadi:

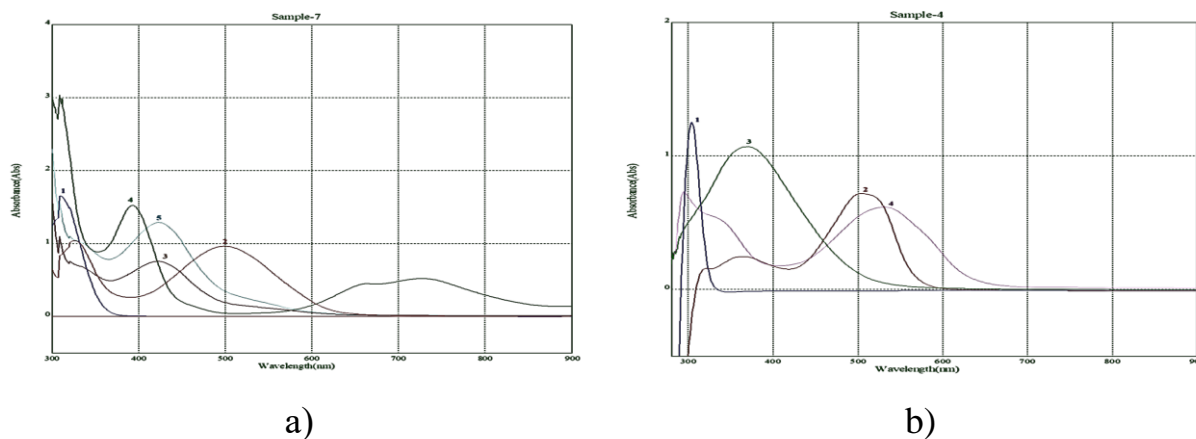
$$\Delta = \frac{A - pA_p}{A} \quad (3.1) \quad \alpha = \frac{\Delta}{\sqrt{2}-1} \quad (3.2) \quad \beta_K = \frac{1-\alpha}{\alpha^2 C_M} \quad (3.3)$$

Δ -dissotsilanish tufayli nur yutulish asosiy qonuniyatidan chetlanish; A va A_p -dastlabki va suyultirilgan eritmalarining optik zichliklari; suyultirishdan

oldingi va keyingi optik zichlik; α -kompleksning dissotsilanish darajasi; r-suyultirish darajasi ($r=2$);

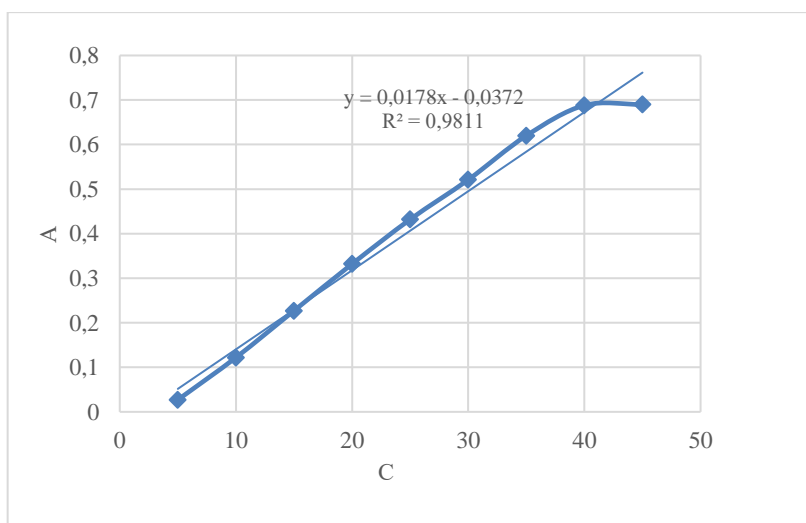
C_M -eritma suyultirilgandan keyin metall ionlarining konsentratsiyasi (C_2).

3.22-jadval ma'lumotlaridan ko'rinib turibdiki, Babko usuli bilan hisoblangan, etil spirt eritmasida hosil qilingan komplekslarning barqarorlik konstantalari qiymatlari qoniqarli bo'lib, eritmadagi metall xloridlari ligand bilan M:L 1:2; M:V:L 1:2:2 nisbatda hosil bo'ladi:



3.35- Rasm. a) L^1-1 ; $[Co(L^1)_2(H_2O)_2]-2$; $[Cu(L^1)_2(H_2O)_2]-3$; $[Ni(L^1)_2(H_2O)_2]-4$; $[Zn(L^1)_2(H_2O)_2]-5$ va b) L^1-1 ; $[Co(L^1)_2(H_2O)_2]-2$; $[V_4O_{12}](L^1 + H^+)_4-3$; $[Co_2V_4O_{12}(L^1)_4] \cdot 2H_2O-4$ larning nur yutilish spetrlari

Natijalarga ko'ra barqarorlik konstantasi qiymatlarini taqqoslash shuni ko'rsatdiki, Cu^{2+} va Zn^{2+} komplekslari uchun bu qiymatlar boshqa metall komplekslariga qaraganda yuqoriligi aniqlandi (3.35-rasm.(a))



3.36-Rasm. $[\text{Co}_2\text{V}_4\text{O}_{12}(\text{L}^1)_4] \cdot 2\text{H}_2\text{O}$ kompleksini Lambert Buger-Ber qonuniga bo'ysunish grafigi.

Ushbu olingan natijalar Lambert Buger-Ber qonuniga muvofiqligi aniqlandi, ushbu qonun faqat past konsentratsiyali eritmalar uchun amal qiladi (3.36-rasm). Bunda eritmaning nur yutilish intensivligi, konsentratsiyaga to'g'ri proporsional ravishda o'zgarishi kuzatildi [146- 147].

Gomo- va geterometalli kompleks birikmalarning barqarorligi taqqoslanganda gomometalli kompleks birikmalarning barqarorligi nisbatan yuqoriligi aniqlandi, bu geterometalli kompleks birikmalarning quyi gidratlanish energiyasiga ega bo'lishi hamda geterometalli kompleksning markaziy qismida zaryadlangan $[\text{V}_4\text{O}_{12}]^{4-}$ siklning mavjudligi bilan izohlandi. kompleks tarkibida $[\text{V}_4\text{O}_{12}]^{4-}$ ning mavjudligi Gibbs energiyasining kamayishiga olib keladi, bu esa erituvchida kompleksning gidratlanishini oshishi hisobiga bo'lishi ko'rsatildi.

3.22-Jadval

Co²⁺, Ni²⁺, Cu²⁺, Zn²⁺ va V⁵⁺ ionlarini gomo- va geterometalli kompleks birikmalarining barqarorlik konstantalarini suyultirish usuli bilan aniqlash natijalari (Babko usuli)

No	Kompleks birikma	Rangi	λ_{\max} nm	C ₁ mol/l	A ₁	C ₂ mol/l	A ₂	K _{бар} (β_K)	K _{бар} (lg β_K)
1	[Cu(L ¹) ₂ (H ₂ O) ₂]		484	1,43·10 ⁻⁴	0,450	7,16·10 ⁻⁵	0,182	4,84·10 ⁷	7,68
2	[Cu(L ³) ₂ (H ₂ O) ₂]		480	1,3·10 ⁻⁴	0,498	6,52·10 ⁻⁵	0,118	3,14·10 ⁷	7,49
3	[Zn(L ³) ₂ (H ₂ O) ₂]		349	1,19·10 ⁻⁴	0,478	5,95·10 ⁻⁵	0,194	2,24·10 ⁷	7,35
4	[Zn(L ¹) ₂ (H ₂ O) ₂]		344	1,29·10 ⁻⁴	0,389	6,45·10 ⁻⁵	0,136	2,11·10 ⁷	7,32
5	[Ni(L ¹) ₂ (H ₂ O) ₂]		611	1,3·10 ⁻⁴	0,342	6,5·10 ⁻⁵	0,124	9,10·10 ⁶	6,96
6	[Co(L ³) ₂ (H ₂ O) ₂]		521	1,31·10 ⁻⁴	0,438	6,54·10 ⁻⁵	0,139	8,86·10 ⁶	6,94
7	[Ni(L ³) ₂ (H ₂ O) ₂]		598	5,48·10 ⁻⁴	0,350	2,74·10 ⁻⁵	0,127	7,56·10 ⁶	6,87
8	[Co(L ¹) ₂ (H ₂ O) ₂]		503	1,28·10 ⁻⁴	0,324	6,44·10 ⁻⁵	0,129	6,78·10 ⁶	6,83
9	[Co(L ²) ₂]		510	2,82·10 ⁻⁴	0,307	1,41·10 ⁻⁴	0,109	6,40·10 ⁶	6,80
10	[V ₄ O ₁₂](L ¹ +H ⁺) ₄		374	3,49·10 ⁻⁴	0,383	1,74·10 ⁻⁴	0,142	5,84·10 ⁶	6,78
11	[V ₄ O ₁₂](L ² +H ⁺) ₄		382	1,44·10 ⁻⁴	0,381	7,19·10 ⁻⁵	0,193	5,77·10 ⁶	6,76
12	[V ₄ O ₁₂](L ³ +H ⁺) ₄		388	3,24·10 ⁻⁴	0,302	1,56·10 ⁻⁴	0,111	4,74·10 ⁶	6,65
13	[Cu ₂ V ₄ O ₁₂ (L ¹) ₄]·2H ₂ O		490	3,8·10 ⁻⁴	0,314	1,9·10 ⁻⁴	0,101	3,95·10 ⁶	6,60
14	[Co ₂ V ₄ O ₁₂ (L ¹) ₄]·2H ₂ O		521	3,53·10 ⁻⁴	0,425	1,75·10 ⁻⁴	0,133	2,99·10 ⁶	6,47
15	[Co ₂ V ₄ O ₁₂ (L ³) ₄]·2H ₂ O		508	1,93·10 ⁻⁴	0,324	9,64·10 ⁻⁵	0,116	2,82·10 ⁶	6,45
16	[Zn ₂ V ₄ O ₁₂ (L ¹) ₄]·2H ₂ O		602	3,0·10 ⁻⁴	0,327	1,83·10 ⁻⁴	0,142	3,52·10 ⁶	6,39
17	[Ni ₂ V ₄ O ₁₂ (L ¹) ₄]·2H ₂ O		591	3,84·10 ⁻⁴	0,408	1,52·10 ⁻⁴	0,128	3,67·10 ⁶	6,38
18	[Co ₂ V ₄ O ₁₂ (L ²) ₄]·2H ₂ O		524	3,54·10 ⁻⁴	0,318	1,76·10 ⁻⁴	0,113	1,67·10 ⁶	6,23

3.11. Sintez qilingan kompleks birikmalarning biologik faolligini o'rganish

1,3,4-Oksadiazol hosilalari va ular asosida sintez qilingan bir va aralash metalli kompleks birikmalarning fitokimyoviy tekshiruvlari orqali antioksidantlik faollik aniqlandi, u bir nechta metodlarni qo'llash orqali baholandi [148- 149].

Tekshiriladigan moddalarning antioksidantlik faolligi adrenalinning *in vitro* autooksidlanish reaksiyasining ingibirlanishi bilan aniqlanadi hamda kislorodning erkin shaklini hosil bo'lishiga to'sqinlik qiladi.

Buning uchun 0,2 M li natriy karbonat bufer pH=10,65 (0,2 M li Na₂CO₃ 0,2 M li NaHCO₃ buferi tayyorlanib 4 ml bufer ustiga 0,2 ml 0,1% li (5,46 ml M li adrenalin gidroxlorid (epinefrin) solinib, aralashtiriladi hamda Agilent Technologies Cary 60 UV-Vis spetrofotometrda tekshirildi. Eritma 347 nm 30 sek da 10 min ichida 1 sm li kyuvetada tekshiriladi (D₁). 4 ml Na₂CO₃ buferi 0,2 ml 0,1 % li adrenalin gidroxlorid aralashtiriladi va to'lqin uzunligida o'lchandi (D₂). Antioksidantlik faollik (AF) quyidagi formula orqali aniqlanadi.

$$AF = \frac{(D_1 - D_2)}{D_2} \cdot 100$$

AF 10% dan yuqori ko'rsatgichni namoyon qilsa, preparatning antioksidantlik faolligi yuqoriligidan dalolat beradi.

Ishlatilgan reaktivlar va laboratoriya jihozlari: 0,1% (56 mkl) adrenalin, Na₂CO₃.

Nazorat	Tajriba
2 ml bufer	2 ml bufer
55,55≈56 mkl adrenalin	56 mkl adrenalin
-	30 mkl antioksidant

Bu tekshirishlarni quyidagi reja asosida amalga oshirildi:

1. Har bir modda (preparatni) eruvchanligini, va ularning (100%, 75%, 50%, 25%, 10%) li eritmalarini tayyorlash.

2. Har bir moddaning qanday diapozonda (pik) berishini nm da o'lchash 200-1000 (800) nm uzunlikda o'lchash va ularni tahlil qilish.

3. Har bir preparatning 5 xil konsentratsiyali eritmalarining antioksidantlik xususiyatlarini tekshirish.

4. Olib borilgan tadqiqot natijalarini hisoblash va jadval ko‘rinishiga keltirish.

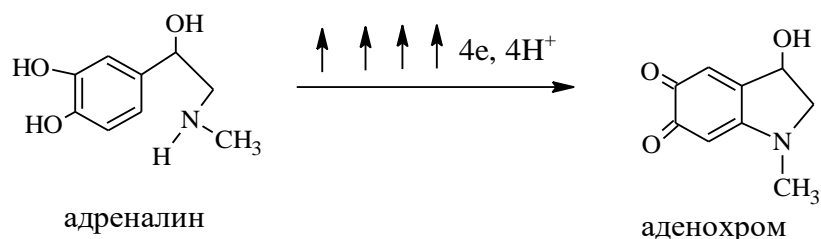
Sintez qilingan komplekslarning biologik faolligini o‘rganish uchun quyidagi komplekslar tanlab olindi:

1.	Ligandlar: L ¹ – 5-(4-piridin)-1,3,4-oksadiazol-2(3N)-tion; L ² – 5-fenil-1,3,4-oksadiazol-2(3H)-tion; L ³ – 2-karboksimetiltio-5-fenil-1,3,4-oksadiazol;
2.	[Co(L ¹) ₂ (H ₂ O) ₂]
3.	[Ni(L ¹) ₂ (H ₂ O) ₂]
4.	[Zn(L ¹) ₂ (H ₂ O) ₂]
5.	[Cu(L ¹) ₂ (H ₂ O) ₂]
6.	[V ₄ O ₁₂](L ¹ +H ⁺) ₄
7.	[Zn ₂ V ₄ O ₁₂ (L ¹) ₄]·2H ₂ O
8.	[Zn ₂ V ₄ O ₁₂ (L ²) ₄]·2H ₂ O
9.	[Zn ₂ V ₄ O ₁₂ (L ³) ₂]·2H ₂ O

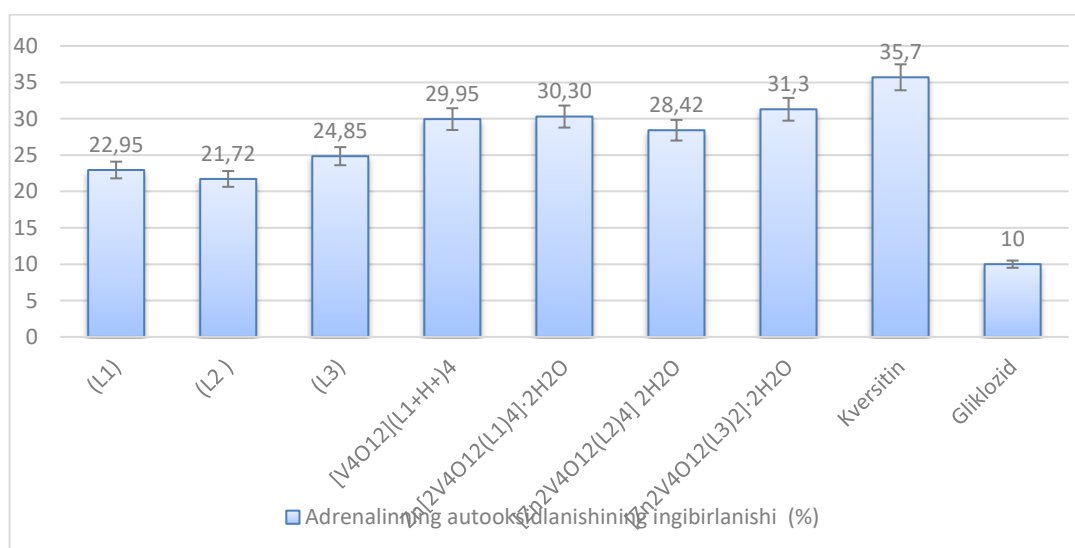
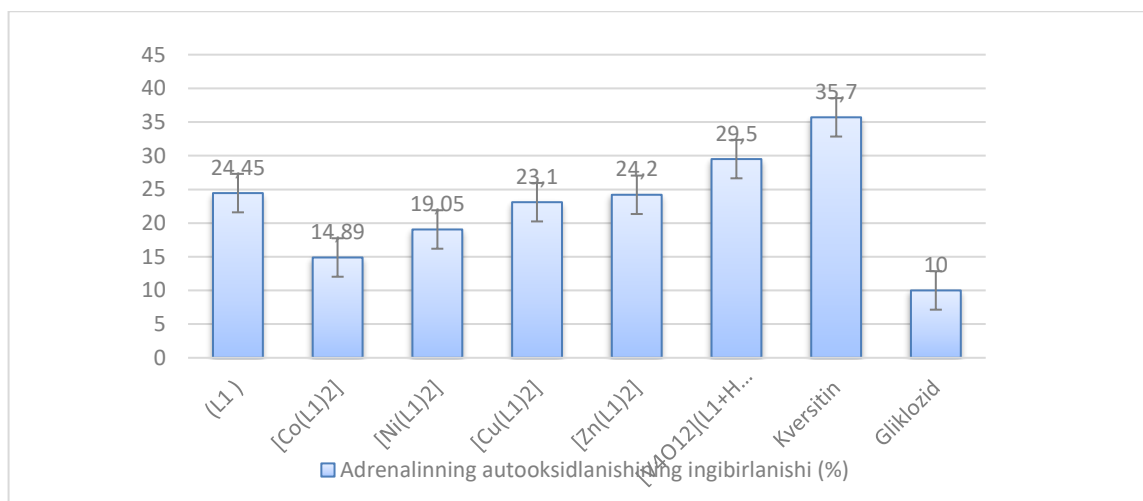
Har bir tuz 1mg (1000mkg) dan olinib 1ml H₂O da eritildi va proba 10 daqiqa ichida har 30 sekund davomida tekshirildi. Hamda o‘rtacha ko‘rsatkich chiqarildi va formulaga qo‘yildi. Buning uchun har bir preparatni (kompleks birikmani) hisoblandi.

Tekshirish uchun moddadan 1mg (1000mkg) olinib 1ml suvda eritildi. Tayyor bo‘lgan eritmani 100% lik desak. O‘sha eritmadan 75%, 50%, 25% va 100% li eritmalar hosil qilindi.

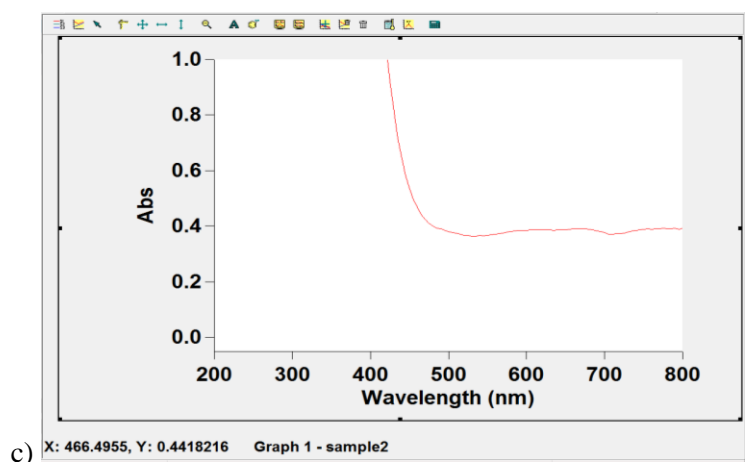
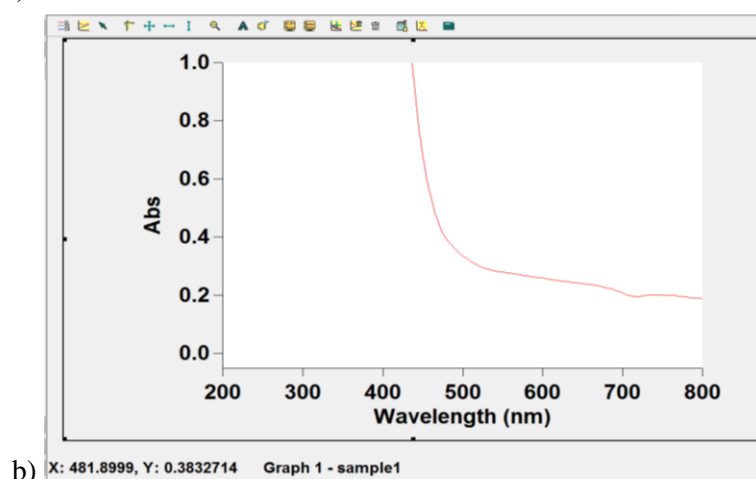
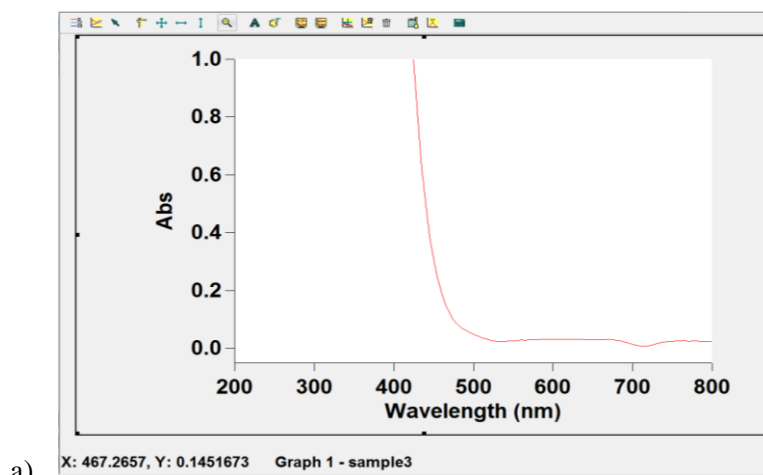
Adabiyotdagi [148,149] ma’lumotlarga ko‘ra xar bir moddani tekshirish uchun uni 1:80 (1 xajm antioksidant : 80 hajm H₂O) marta suyultirilishi lozim, chunki tekshiriladigan moddalar bu olingan miqdorda reaksiya qobiliyati optimal hisoblanadi. Bizga adrenalinning 0,1% li eritmasi kerak bo‘ladi. Adrenalin oksidlanishi natijasida organizm uchun zarali hisoblangan adrenoxrom hosil bo‘ladi.

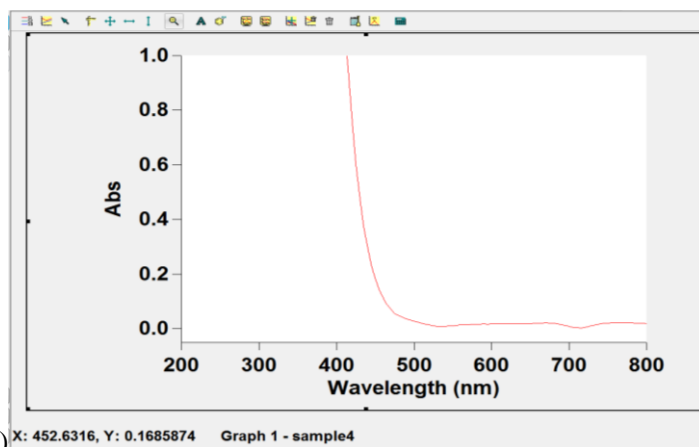


Ligandlar va ular asosida sintez qilingan gomo- va geterometalli kompleks birikmalarning antioksidantlik faolligi o‘rganildi hamda antioksidantlik faolligi yuqori bo‘lgan modda «Kversitin» bilan solishtirildi. Kversitin o‘simlik flavonoidi bo‘lib meva, sabzavot, barglarda bo‘ladi. Qizil piyozda, sitrus mevalar, grechixa va asal tarkibida uchraydi. Kversitinning antioksidantlik faolligi α -tokoferol (vitamin E) dan ham yuqori hisoblanadi. Kversitin allergiyaga qarshi, yurak-tomir kasalliklarining oldini olish, saraton kasalliklari, virusga qarshi, immunitetni kuchaytiruvchi xossalarga ega [149-151].



Yuqorida olib borilgan tadqiqot sintez qilingan komplekslarda antioksidantlik faolligi konsentratsiyaga bog‘liq ravishda o‘zgarishi 3.26-rasmda keltirilgan. Metall tabiatining antioksidantlik faolligiga ta’siri taqqoslanganda, ruxli (24,2%), vanadiyli (23,5%) va misli (23,1%) kompleks birikmaning antioksidantlik faolligi yuqoriligi aniqlandi (3.23-jadval).





3.37-Rasm. a) L^1 b) $[Zn(L^1)_2(H_2O)_2]$ c) $[V_4O_{12}](L^1+H^+)_4$ d)

$[Zn_2V_4O_{12}(L^1)_4] \cdot 2H_2O$ ning 1 mg/ml eritmasining konsentratsiyaga bog‘liqlik ko‘rsatgichi (nm)

Gomo- va geterometalli kompleks birikmalarning antioksidantlik faolligi o‘zaro solishtirilganda, geterometalli kompleks birikmalarning faolligi yuqoriligi kuzatildi. Bu geterometalli kompleks birikmalar tarkibidagi elektronodonor vazifasini bajarishi mumkin bo‘lgan metall atomlarining ko‘pligi orqali izohlandi.

3.23-Jadval

Ligand va kompleks birikmalarning antioksidantlik faolligi

Modda nomi	Modda miqdori	Eritma ning miqdori %	D ₁	D ₂	Tekshirilayotgan moddaning antioksidantlik faolligi (AF %)
L^1	100 mkg	10%	0,2125	0,1788	15,85
	250 mkg	25%	0,2424	0,1968	18,81
	500 mkg	50%	0,2539	0,2050	19,26
	750 mkg	75%	0,2468	0,1985	19,05
	1000 mkg=1mg	100%	0,3308	0,2499	24,45
L^2	100 mkg	10%	0,2014	0,1749	13,15
	250 mkg	25%	0,2294	0,1965	14,42
	500 mkg	50%	0,2684	0,2212	15,38
	750 mkg	75%	0,2750	0,2391	16,36

	1000 mkg=1mg	100%	0,4107	0,3268	21,95
L ³	100 mkg	10%	0,2571	0,2139	16,8
	250 mkg	25%	0,3097	0,2490	19,6
	500 mkg	50%	0,4074	0,3167	22,26
	750 mkg	75%	0,3781	0,2972	21,4
	1000 mkg=1mg	100%	0,7411	0,5193	29,72
[Co(L ¹) ₂ (H ₂ O) ₂]	100 mkg	10%	0,9302	0,9087	2,31
	250 mkg	25%	1,059	1,024	2,85
	500 mkg	50%	1,152	1,102	4,34
	750 mkg	75%	1,342	1,248	7
	1000 mkg=1mg	100%	1,572	1,339	14,89
[Ni(L ¹) ₂ (H ₂ O) ₂]	100 mkg	10%	0,9954	0,9486	4,7
	250 mkg	25%	0,9954	0,8418	15,43
	500 mkg	50%	0,9954	0,9757	11,97
	750 mkg	75%	0,9954	1,1187	11,02
	1000 mkg=1mg	100%	0,9954	1,2318	19,05
[Zn(L ¹) ₂ (H ₂ O) ₂]	100 mkg	10%	0,629	0,538	17,05
	250 mkg	25%	1,072	0,8945	19,89
	500 mkg	50%	1,5443	1,285	20,14
	750 mkg	75%	1,373	1,113	23,4
	1000 mkg=1mg	100%	1,990	1,603	24,2
[Cu(L ¹) ₂ (H ₂ O) ₂]	100 mkg	10%	0,611	0,5106	16,44
	250 mkg	25%	0,8424	0,6936	17,85
	500 mkg	50%	0,8207	0,6804	17,07
	750 mkg	75%	0,8804	0,7283	17,93

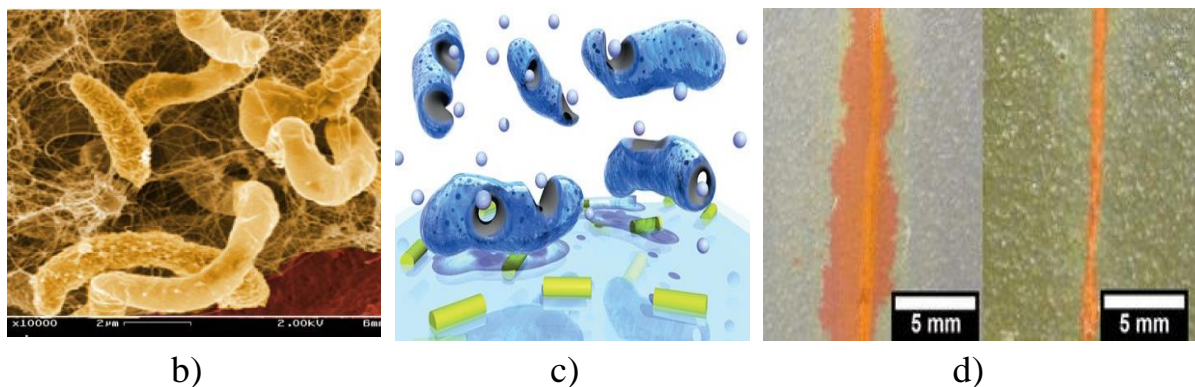
	1000 mkg=1mg	100%	1,5767	1,2230	22,30
[V ₄ O ₁₂](L ¹ +H ⁺) ₄	100 mkg	10%	0,9112	0,7343	19,41
	250 mkg	25%	1,3764	1,0391	24,81
	500 mkg	50%	1,7150	1,1594	32,39
	750 mkg	75%	1,6582	1,1471	30,82
	1000 mkg=1mg	100%	1,4193	1,0584	25,42
[Zn ₂ V ₄ O ₁₂ (L ¹) ₄] 2H ₂ O	100 mkg	10%	0,2814	0,2228	21,42
	250 mkg	25%	0,4615	0,3427	26,08
	500 mkg	50%	0,6128	0,4447	27,86
	750 mkg	75%	0,7497	0,5214	29,72
	1000 mkg=1mg	100%	1,1642	0,7844	32,75
[Zn ₂ V ₄ O ₁₂ (L ²) ₄] 2H ₂ O	100 mkg	10%	0,616	0,531	16,18
	250 mkg	25%	0,786	0,65	20,98
	500 mkg	50%	0,979	0,771	27,02
	750 mkg	75%	1,015	0,7957	27,66
	1000 mkg=1mg	100%	0,966	0,7527	28,4
[Zn(L ³) ₂ (H ₂ O) ₂]	100 mkg	10%	0,987	0,7954	24,18
	250 mkg	25%	0,997	0,7954	25,44
	500 mkg	50%	1,030	0,7954	29,56
	750 mkg	75%	1,042	0,7954	31,0
	1000 mkg=1mg	100%	1,044	0,7954	31,3
[Cu(L ³) ₂ (H ₂ O) ₂]	100 mkg	10%	0,563	0,49	15,04
	250 mkg	25%	0,962	0,8028	19,88
	500 mkg	50%	1,388	1,1287	23,2
	750 mkg	75%	1,129	0,91	24,11

	1000 mkg=1mg	100%	1,798	1,4434	24,6
[V ₄ O ₁₂](L ³⁺ +H ⁺) ₄	100 mkg	10%	1,138	0,9486	20,01
	250 mkg	25%	1,029	0,8418	22,23
	500 mkg	50%	1,235	0,9757	26,58
	750 mkg	75%	1,440	1,1187	28,74
	1000 mkg=1mg	100%	1,604	1,2318	30,23
[Zn ₂ V ₄ O ₁₂ (L ³⁺) ₂] 2H ₂ O	100 mkg	10%	0,9225	0,6995	31,88
	250 mkg	25%	0,965	0,7419	30,19
	500 mkg	50%	1,385	1,049	32,05
	750 mkg	75%	1,101	0,8077	36,40
	1000 mkg=1mg	100%	1,1387	0,8327	36,75

Ligandlarning sintez qilingan metallokomplekslar orasida, L³⁺ asosida sintez qilingan [Cu(L³⁺)₂(H₂O)₂], [Zn(L³⁺)₂(H₂O)₂] tarkibli komplekslarning antioksidantlik faolligi hamda eritmada barqarorligi boshqa ligandlarning metallokomplekslariga qaraganda yuqoriligi sababli, metallarni himoya qilish samaradorligini baholash metodologiyasi ishlab chiqilib, anaerob korroziyaning samarali ingibitori sifatida tajribaviy-sanoat sinovlaridan o‘tkazildi (3.38-rasm).



a) “Muborak gazni qayta ishlash zavodi” MChJ



3.38-Rasm. a) “Muborak gazni qayta ishlash zavodi” MChJ b) litotrof bakteriyaning ko‘rinishi; c) bakteriya qobig‘ini yemirilishi; d) metal sirtidagi o‘zgarish.

Bunda $[\text{Cu}(\text{L}^3)_2(\text{H}_2\text{O})_2]$, $[\text{Zn}(\text{L}^3)_2(\text{H}_2\text{O})_2]$ larning 10% li spirtidagi eritmasi, metallar korroziyasini keltirib chiqaruvchi litotrof bakteriyalarga qarshi yuqori ta'sirchanlikni namoyon qildi. Ishlab chiqilgan korroziya ingibitorining tajribaviy-sanoat sinovlari natijalari, mahalliy va xorijiy brendlarning mavjud ingibitorlari bilan taqqoslaganda ijobiy natijalarga erishildi – litotrof bakteriyalardan himoya ta'siri 76-80% ga teng. L^3 va uning metallokomplekslaridan $[\text{Cu}(\text{L}^3)_2(\text{H}_2\text{O})_2]$, $[\text{Zn}(\text{L}^3)_2(\text{H}_2\text{O})_2]$ “Muborak gazni qayta ishlash zavodi” MChJ ning “Texnik nazorat bo‘limi” qoshidagi laboratoriyada sinovdan o‘tkazildi va amaliyotga joriy qilindi, metall konstruktsiya va qurilmalarida korroziya jarayoniga qarshi ingibitor sifatida qo‘llash uchun tavsiya etildi.

III – bob bo‘yicha xulosalar

Ushbu bobda ligandlarning tarkibi va tuzilishi element tahlil, rentgenfluorescent, differensial termik, mass-spektrometrik, rentgenfazaviy, rentgenstrukturaviy tahlil, IQ-, elektron diffuz qaytarilish spektroskopiyasi bilan o‘rganildi. IQ spektroskopiyaga ko‘ra, L^{1-2} qattiq holatda tiol holatda bo‘lish aniqlandi hamda, ligand mono- va bidentantlikni namoyon qildi, gomometalli komplekslarni sintez qilishda $\text{L}^{1,2,3}$ ning etil spirtidagi eritmasiga bir nech tomchi ishqor qo‘shish bilan reaksiya olib borilganda, $\text{L}^{1,2,3}$ lar bidentantlikni namoyon qilishi o‘rganildi.

Ligandlar kvant-kimyoviy tahlil qilinganda, polifunksional ligandlarning koordinatsiyaga uchraydigan raqobatdosh donor markazlarni oldindan aytib berildi.

Bunda $L^{1,2}$ tiol holatda barqarorroq holatda bo'lishi aniqlandi. Kvant-kimyoviy hisoblash natijalariga ko'ra, oksadiazol halqasidagi o'rinbosarlarning umumiy elektron ta'siriga ko'ra quyidagi qatorda joylashtirish mumkin: $L^2 < L^1 < L^3$ ($-Ph < -Py < -Ph$, $-(S)-CH_2-COOH$). Kvant-kimyoviy tahlil natijalari olib borilgan zamonaviy fizik-kimyoviy tadqiqotlar asosida tasdiqlandi.

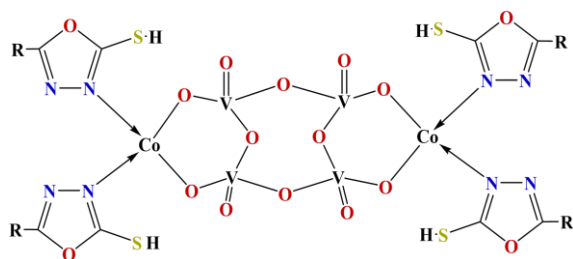
Sintez qilingan kompleks birikmalarning termik barqarorligi differensial termik tahlil orqali o'rganildi. Dastlabki ligandlar va sintez qilingan kompleks birikmalarning termogrammlarida endo- va ekzo- effektlarning hosil bo'lish sabablari yoritib berildi va parchalanish mahsulotlari aniqlandi.

Ilk marotaba rentgenstruktur tahlili bilan yangi polimer tuzilishli $[Zn(L^2)_2]_n$ kompleksning tuzilishi aniqlandi va uning tuzilishida molekulalararo va ichki molekulyar vodород bog'larining roli isbotlandi. Rentgenstruktur tahlil natijalari CIF fayl ko'rinishida Kembridj kristallografik ma'lumotlar bazasiga (CCDC reference: 2184492, <https://doi.org/10.1107/S2056989022006922>) joylandi.

Kompleks hosil bo'lishning fotometrik tadqiqoti o'tkazildi hamda Babko usuli bo'yicha, Co^{2+} , Ni^{2+} , Cu^{2+} , Zn^{2+} va VO_2^+ larning komplekslarining eritmadagi barqarorlik konstantalari hisoblanib, Cu^{2+} va Zn^{2+} komplekslari uchun bu qiymatlar boshqa metall komplekslariga qaraganda yuqoriligi aniqlandi. Ushbu olingan natijalar Lambert Buger-Ber qonuniga muvofiqi, eritmaning nur yutilish intensivligi konsentratsiyaga to'g'ri proporsional ravishda o'zgarishi kuzatildi. Gomo- va geterometalli kompleks birikmalarning barqarorligi taqqoslanganda gomometalli kompleks birikmalarning barqarorligi nisbatan yuqoriligi aniqlandi, buni geterometalli kompleks birikmalarning quyi gidratlanish energiyasiga ega bo'lishi hamda geterometalli kompleksning markaziy qismida zaryadlangan $[V_4O_{12}]^{4-}$ ning mavjudligi Gibbs energiyasining kamayishiga olib keladi, bu esa erituvchida kompleksning gidratlanishini oshishi hisobiga bo'lishi ko'rsatildi.

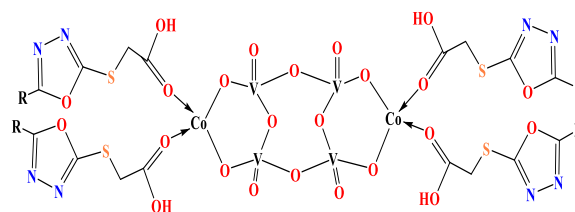
Fitokimyoviy tadqiqotlar natijasida sintez qilingan komplekslarning antioksidantlik faolligi aniqlandi va o'rganilgan komplekslar orasida ruxli (24,2%), vanadiyli (23,5%) va misli (23,1%) kompleks birikmaning antioksidantlik faolligi yuqoriligi aniqlandi. Ushbu komplekslar orasidan antioksidantlik faolligi hamda

Geterometalli kompleks birikmalar



VI

L^2 - (R)-Ph



VII

L^3 - (R)-Ph

Ushbu olib borilgan tadqiqot ishidan shularni xulosa qilishimiz mumkinki, birinchi marta Co^{2+} , Ni^{2+} , Cu^{2+} , Zn^{2+} xloridli, nitratli hamda asetatli tuzlarini VO_2^+ hamda 1,3,4-oksadiazol hosilalari bilan gomo- va geterometalli yangi kompleks birikmalari sintez qilindi, fizik-kimyoviy tadqiqot usullari yordamida ularning tarkibi, tuzilishi aniqlanib bunda $L^{1,2}$ ligandlar tiol guruhining oltingugurt atomi va oksadiazol halqasining azot atomi orqali, L^3 esa karboksil guruhidagi kislorod atomlari orqali bidentat holatda birikishi aniqlandi. Ligandlar va sintez qilingan kompleks birikmalarning termogrammlaridagi endo- va ekzoeffektlarning hosil bo‘lish sabablari aniqlanib, termik destruksiya mahsulotlari identifikasiyalandi. Gomometalli kompleks birikmaning termik barqarorligi geterometalli kompleks birikmanikidan yuqoriligi aniqlandi va bu holat geterometalli komplekslarda d-orbitallarning qoplanishi natijasidagi HOMO-LUMO= Δ ayirmasining farqi gomometalli komplekslardagiga nisbatan kichik bo‘lishi bilan izohlandi. Babko usulida komplekslarning eritmadagi barqarorlik konstanta qiymatlarini $Co(II) < Ni(II) < Zn(II) < Cu(II)$ ketma-ketligida ortishi Irving-Vilyams qatori qonuniyatlariga mos keldi. Geterometalli kompleks birikmalar tarkibida $[V_4O_{12}]^{4-}$ ionini saqlashi tufayli, ularning barqarorlik konstantasi va Gibbs energiyasining kamayishiga hamda gidratlanishining oshishiga olib kelishi ko‘rsatildi. Ilk bor rentgen strukturaviy tahlil usuli yordamida $[Zn(L^2)_2]_n$ kompleksining tuzilishiga ichki va molekulararo vodorod bog‘larning ta’siri natijasida, polimer tuzilishli kompleksning $[Zn-S-C-N-Zn-S-C-N]$ sakkiz a‘zoli “kreslo” hosil qilishi va kompleksning geometriyasi siqilgan tetraedrik shaklga ega bo‘lishi isbotlandi. L^1

asosida sintez qilingan $[\text{Cu}_2\text{V}_4\text{O}_{12}(\text{L}^1)_4] \cdot 2\text{H}_2\text{O}$, $[\text{Zn}_2\text{V}_4\text{O}_{12}(\text{L}^1)_4] \cdot 2\text{H}_2\text{O}$, $[\text{V}_4\text{O}_{12}](\text{L}^1+\text{H}^+)_4$ komplekslar yuqori antioksidantlik faolligini namoyon qilishi aniqlandi. 2-Karboksimetiltio-5-fenil-1,3,4-oksadiazol va uning $[\text{Cu}(\text{L}^3)_2(\text{H}_2\text{O})_2]$, $[\text{Zn}(\text{L}^3)_2(\text{H}_2\text{O})_2]$ tarkibli metallokomplekslari metall konstruksiya va qurilmalarida anaerob sharoitda boradigan biokorroziya jarayoniga qarshi 76-80% samara bilan korroziya ingibitori sifatida “Muborak gazni qayta ishlash zavodi” ning amaliyotiga qo‘llashga tavsiya etildi.

Shartli qisqartmalar

- RFA – Rentgenfazaviy tahlil;
RSA – Rentgenstrukturaviy tahlil;
DQES – Diffuz qaytarilish elektron spektrlari;
EDA – Energiya dispersion tahlil;
SeM – Skanerlovchi elektron mikroskop;
T – Harorat, °C;
TG – Termogravimetriya;
DTG – Differensial termogravimetriya;
DTA – Differensial termik tahlil;
IQ–Infraqizil spektroskopiya;
UB –Ultrabinafsha spektroskopiya;
YuBMO (LUMO) – Yuqori egallangan molekulyar orbital;
QVMO (HOMO) – Quyi vakant molekulyar orbital;
DMFA-dimetilformamid;
DMSO-dimetilsulfomid;
MeOH– metanol;
EtOH– etanol;
s – soat;
 $T_{\text{suyuq.}}$ –suyuqlanish harorati;
Å- angsterm (10^{-10}m);
La - 2,5 bis(4-piridil)-1,3,4-oksadiazol
Lb - 2,5 bis(3-piridil)-1,3,4-oksadiazol
 L^1 – 5-(4-piridin)-1,3,4-oksadiazol-2(3N)-tion;
 L^2 – 5-fenil-1,3,4-oksadiazol-2(3H)-tion;
 L^3 – 2-karboksimetiltio-5-fenil-1,3,4-oksadiazol;
Ph - fenil;
Py – piridil;
MEP – Manfiy effektiv potensial;
YuSSX – Mass-spektrometriya.

FOYDALANILGAN ADABIYOTLAR RO‘YXATI

1. Boström, J., Hogner, A., Llinàs, A., Wellner, E., & Plowright, A. T. (2011). Oxadiazoles in medicinal chemistry. *Journal of Medicinal Chemistry*, 55(5), 1817–1830. <https://doi.org/10.1021/jm2013248>
2. Pitasse-Santos P., Sueth-Santiago V., Lima M. 1,2,4- and 1,3,4-Oxadiazoles as Scaffolds in the Development of Antiparasitic Agents// Journal of the Brazilian Chemical Society. -2017.-V.29. -№.3. -P.435-456. [doi:10.21577/01035053.20170208](https://doi.org/10.21577/01035053.20170208)
3. Pace, A., & Pierro, P. (2009). The new era of 1,2,4-oxadiazoles. *Organic & Biomolecular Chemistry*, 7(21), 4337. <https://doi.org/10.1039/b908937c>
4. Vaidya, A., Jain, S., Jain, P., Jain, P., Tiwari, N., Jain, R., Jain, R., Jain, A. K., & Agrawal, R. K. (2016). Synthesis and biological activities of oxadiazole derivatives: a review. *Mini-Reviews in Medicinal Chemistry*, 16(10), 825–845. <https://doi.org/10.2174/1389557516666160211120835>
5. Khan, I., Ibrar, A., & Abbas, N. (2013). Oxadiazoles as privileged motifs for promising anticancer leads: recent advances and future prospects. *Archiv Der Pharmazie*, 347(1), 1–20. <https://doi.org/10.1002/ardp.201300231>
6. Shridhar, A. (2011). Synthesis of some novel bis 1,3,4-Oxadiazole fused azo dye derivatives as potent antimicrobial agents. *International Research Journal of Pure and Applied Chemistry*, 1(3), 119–129. <https://doi.org/10.9734/irjpac/2014/493>
7. Salahuddin, N., Mazumder, A., Yar, M. S., Mazumder, R., Chakraborty, G. S., Ahsan, M. J., & Rahman, M. U. (2017). Updates on synthesis and biological activities of 1,3,4-oxadiazole: A review. *Synthetic Communications*, 47(20), 1805–1847. <https://doi.org/10.1080/00397911.2017.1360911>
8. Majumdar, P., Pati, A., Patra, M., Behera, R. K., & Behera, A. K. (2014). Acid hydrazides, potent reagents for synthesis of oxygen-, nitrogen-, and/or Sulfur-Containing heterocyclic rings. *Chemical Reviews*, 114(5), 2942–2977. <https://doi.org/10.1021/cr300122t>
9. De Oliveira, C. S., Lira, B. F., Barbosa-Filho, J. M., Lorenzo, J. G. F., & De Athayde-Filho, P. F. (2012). Synthetic Approaches and Pharmacological Activity of

- 1,3,4-Oxadiazoles: A Review of the Literature from 2000–2012. *Molecules*, 17(9), 10192–10231. <https://doi.org/10.3390/molecules170910192>
10. ПАТ США 55580: Способ получения оксадиазолов. РХС ХИМ, 1982. -54 с.
11. Hetzheim, A., & Möckel, K. (1967). Recent advances in 1, 3, 4-Oxadiazole chemistry. In *Advances in heterocyclic chemistry* (pp. 183–224). [https://doi.org/10.1016/s0065-2725\(08\)60591-7](https://doi.org/10.1016/s0065-2725(08)60591-7)
12. Aydoğ an F., Turgut Z., Öcal N., Erdem S. Synthesis and Electronic Structure of New Aryl- and Alkyl-Substituted 1,3,4-Oxadiazole-2-thione Derivatives// *Turkish Journal of Chemistry*. -2002. –V.26. –P.1-11.
13. Chekler, E. L. P., Elokdah, H. M., & Butera, J. (2008). Efficient one-pot synthesis of substituted 2-amino-1,3,4-oxadiazoles. *Tetrahedron Letters*, 49(47), 6709–6711. <https://doi.org/10.1016/j.tetlet.2008.09.057>
14. Niu, P., Kang, J., Tian, X., Song, L., Liu, H., Wu, J., Yu, W., & Chang, J. (2014). Synthesis of 2-Amino-1,3,4-oxadiazoles and 2-Amino-1,3,4-thiadiazoles via sequential condensation and I₂-Mediated oxidative C–O/C–S bond formation. *The Journal of Organic Chemistry*, 80(2), 1018–1024. <https://doi.org/10.1021/jo502518c>
15. Reddy, M. A., Mallesham, G., Thomas, A., Srinivas, K., Rao, V. J., Bhanuprakash, K., Giribabu, L., Grover, R., Kumar, A., Kamalasanan, M., & Srivastava, R. (2011). Synthesis and characterization of novel 2,5-diphenyl-1,3,4-oxadiazole derivatives of anthracene and its application as electron transporting blue emitters in OLEDs. *Synthetic Metals*, 161(9–10), 869–880. <https://doi.org/10.1016/j.synthmet.2011.02.015>
16. Насыпов Е. П., Греков А. П. Успехи химии. 33 том. –М: Русс. хим. ред, -1964. -10 том. -С. 1184-1197.
17. Карцева В.Г. Химия и биологическая активность синтетических и природных соединений, кислород- и серу содержащие гетероциклы. 2 том. –М: IBS PRESS, 2003. –2 том. –С. 360.

18. Курьянов М.К., Токарев И.П. Изучение антимикробной активности новых синтетических химиопрепаратов// Серия «Биология, химия». -2005.- Т.22 (61). -№ 7. - С.65 - 68.
19. Łuczyński, M., Kubiesa, K., & Kudelko, A. (2022). Synthesis of 2,5-Dialkyl-1,3,4-oxadiazoles bearing carboxymethylamino groups. *Molecules*, 27(22), 7687. <https://doi.org/10.3390/molecules27227687>
20. Wang, L., Cao, J., Chen, Q., & He, M. (2015). One-Pot Synthesis of 2,5-Diaryl 1,3,4-Oxadiazoles via Di-tert-butyl Peroxide Promoted N-Acylation of Aryl Tetrazoles with Aldehydes. *The Journal of Organic Chemistry*, 80(9), 4743–4748. <https://doi.org/10.1021/acs.joc.5b00207>
21. AYDOĞAN, FERAY; TURGUT, ZUHAL; ÖCAL, NÜKET; and ERDEM, SAFIYE SAĞ (2002) "Synthesis and Electronic Structure of New Aryl- and Alkyl-Substituted 1,3,4-Oxadiazole-2-thione Derivatives," *Turkish Journal of Chemistry*: Vol. 26: No. 2, Article 3. Available at: <https://journals.tubitak.gov.tr/chem/vol26/iss2/3>
22. Pal, T., Somani, R. R., Shirodkar, P. Y., & Bhanushali, U. V. (2010). Quantitative structure activity relationship (QSAR) studies of a series of 2,5-disubstituted-1,3,4-oxadiazole derivatives as biologically potential compounds. *Medicinal Chemistry Research*, 20(9), 1550–1555. <https://doi.org/10.1007/s00044-010-9403-5>
23. Murty, M. S. R., Penthala, R., Buddana, S. K., Prakasham, R. S., Das, P., Polepalli, S., Jain, N., & Bojja, S. (2014). Recyclable CuO nanoparticles-catalyzed synthesis of novel-2,5-disubstituted 1,3,4-oxadiazoles as antiproliferative, antibacterial, and antifungal agents. *Medicinal Chemistry Research*, 23(10), 4579–4594. <https://doi.org/10.1007/s00044-014-1025-x>
24. Singh, S., Sharma, L. K., Saraswat, A., Srivastava, M. K., Siddiqui, I. R., & Singh, R. K. P. (2014). Anodic cyclization: a protocol for the green synthesis of 2,5-Disubstituted 1,3,4-Oxadiazoles. *Chemistry of Heterocyclic Compounds*, 49(10), 1508–1514. <https://doi.org/10.1007/s10593-014-1402-x>
25. Gao, P., Wang, J., Bai, Z., Cheng, H., Xiao, J., Lai, M., Yang, D., & Fan, M. (2016). One-pot cyclization/decarboxylation of α -keto acids and acylhydrazines for the

- synthesis of 2,5-disubstituted 1,3,4-oxadiazoles under transition-metal-free conditions. *Tetrahedron Letters*, 57(41), 4616–4619. <https://doi.org/10.1016/j.tetlet.2016.09.007>
26. Murty, M. S. R., Rao, R. V., Ram, K. R., Reddy, N. R., Yadav, J. S., & Sridhar, B. (2010). Zinc-Mediated facile and efficient Chemoselective S-Alkylation of 5-Aryl-1,3,4-oxadiazole-2-thiols in the absence of base. *Synthetic Communications*, 40(19), 2914–2921. <https://doi.org/10.1080/00397910903340660>
27. Beldovskaya, A. D., Dushenko, G. A., Vikrishchuk, N. I., Popov, L. D., Revinskii, Y. V., Mikhailov, I. E., & Minkin, V. I. (2013). Synthesis and luminescence properties of 2-(2-benzoyloxyphenyl)-5-aryl-1,3,4-oxadiazoles. *Russian Journal of Organic Chemistry*, 49(12), 1861–1863. <https://doi.org/10.1134/s1070428013120312>
28. Li, X., Liao, S., Chen, Y., Xia, C., & Wang, G. (2021). Cobalt(II) nitrate promoted cyclization of benzoyl hydrazone for the synthesis of 2,5-diphenyl-1,3,4-oxadiazole derivatives. *Journal of Chemical Research*, 45(11–12), 1038–1041. <https://doi.org/10.1177/17475198211045932>
29. Cao, J., & Wang, L. (2015). Organocatalytic Oxidative Amidation of Aldehydes with Tetrazoles to Construct 2,5-Diaryl 1,3,4-Oxadiazoles. *Chinese Journal of Chemistry*, 33(11), 1239–1243. <https://doi.org/10.1002/cjoc.201500598>
30. Проказников М. А., Проказников М.А., Котов А.Д., Орлов В.Ю. Синтез 2,5-диарил-1,3,4-оксадиазолов и производных фталазиндиона// XIV молодежная конференция по органической химии: Тез.докл. — Екатеринбург, 2011. — С. 452-454.
31. Mohamed, S. R. (2009). Synthesis of some substituted 1,3,4-oxadiazoles, thiadiazoles and 1,2,4-triazoles. *Mağallaṯ Al-tarbiyāṯ Wa-al-‘ilm*, 22(2), 29–37. <https://doi.org/10.33899/edusj.2009.57686>
32. Belen’kii, L. I., Luiksaar, S. I., Poddubnyi, I. S., & Krayushkin, M. M. (1998). Novel syntheses of symmetrical 2,5-diaryl-1,3,4-oxadiazoles and 1,4-phenylenebis-

- 1,3,4-oxadiazoles. *Russian Chemical Bulletin*, 47(11), 2238–2245. <https://doi.org/10.1007/bf02494289>
33. Wang, L., Wang, Y., Chen, Q., & He, M. (2018). Photocatalyzed facile synthesis of 2,5-diaryl 1,3,4-oxadiazoles with polyaniline- g-C₃N₄-TiO₂ composite under visible light. *Tetrahedron Letters*, 59(15), 1489–1492. <https://doi.org/10.1016/j.tetlet.2018.03.005>
34. Paraschivescu, C. C., Hădăde, N. D., Coman, A. G., Gautier, A., Cisnetti, F., & Matache, M. (2015). Symmetrical and non-symmetrical 2,5-diaryl-1,3,4-oxadiazoles: synthesis and photophysical properties. *Tetrahedron Letters*, 56(25), 3961–3964. <https://doi.org/10.1016/j.tetlet.2015.05.005>
35. Hassanzadeh, F., Jafari, E., Mohammadi, T., & Jahanian-Najafabadi, A. (2017). Synthesis and antimicrobial evaluation of some 2,5 disubstituted 1,3,4-oxadiazole derivatives. *Research in Pharmaceutical Sciences*, 12(4), 330. <https://doi.org/10.4103/1735-5362.212051>
36. Lee, L., Robb, L. M., Lee, M., Davis, R., Mackay, H., Chavda, S., Babu, B., O'Brien, E. L., Risinger, A. L., Mooberry, S. L., & Lee, M. (2009). Design, synthesis, and biological evaluations of 2,5-Diaryl-2,3-dihydro-1,3,4-oxadiazoline analogs of Combretastatin-A4. *Journal of Medicinal Chemistry*, 53(1), 325–334. <https://doi.org/10.1021/jm901268n>
37. Агатъев П.А., Шленев Р.М., Тарасов А.В. Синтез сульфонилхлоридных и сульфониламидных производных 2,5-дифенил-1,3,4-оксадиазолов// Известия ВУЗов. Химия и химическая технология. -2015. -№.10. -С. 25-27.
38. Li, M., Wang, R., Hao, W., & Jiang, B. (2020). Electrocatalytic synthesis of 2,5-Disubstituted 1,3,4-Oxadiazoles. *Chinese Journal of Organic Chemistry*, 40(6), 1540. <https://doi.org/10.6023/cjoc202002029>
39. Fernández, R., Lassaletta, J., Marqués-López, E., Díez, E., Martín-Zamora, E., & Álvarez, E. (2012). Studies on the Synthesis of 2-Alkyl-5-aryl-1,3,4-oxadiazolines from N-Acylhydrazones. *Synlett*, 23(06), 885–888. <https://doi.org/10.1055/s-0031-1290609>

40. Pal, T., Somani, R. R., Shirodkar, P. Y., & Bhanushali, U. V. (2010). Quantitative structure activity relationship (QSAR) studies of a series of 2,5-disubstituted-1,3,4-oxadiazole derivatives as biologically potential compounds. *Medicinal Chemistry Research*, 20(9), 1550–1555. <https://doi.org/10.1007/s00044-010-9403-5>
41. Singh, S., Sharma, L. K., Saraswat, A., Srivastava, M. K., Siddiqui, I. R., & Singh, R. K. P. (2014). Anodic cyclization: a protocol for the green synthesis of 2,5-Disubstituted 1,3,4-Oxadiazoles. *Chemistry of Heterocyclic Compounds*, 49(10), 1508–1514. <https://doi.org/10.1007/s10593-014-1402-x>
42. Gao, P., Wang, J., Bai, Z., Cheng, H., Xiao, J., Lai, M., Yang, D., & Fan, M. (2016). One-pot cyclization/decarboxylation of α -keto acids and acylhydrazines for the synthesis of 2,5-disubstituted 1,3,4-oxadiazoles under transition-metal-free conditions. *Tetrahedron Letters*, 57(41), 4616–4619. <https://doi.org/10.1016/j.tetlet.2016.09.007>
43. Fang, T., Tan, Q., Ding, Z., Liu, B., & Xu, B. (2014). Pd-Catalyzed Oxidative Annulation of Hydrazides with Isocyanides: Synthesis of 2-Amino-1,3,4-oxadiazoles. *Organic Letters*, 16(9), 2342–2345. <https://doi.org/10.1021/o15006449>
44. Yang, S., Lee, S., Kwak, H., & Gong, Y. (2012). Regioselective synthesis of 2-Amino-Substituted 1,3,4-Oxadiazole and 1,3,4-Thiadiazole derivatives via Reagent-Based cyclization of thiosemicarbazide intermediate. *The Journal of Organic Chemistry*, 78(2), 438–444. <https://doi.org/10.1021/jo302324r>
45. Yang, S., Choe, J., Abdildinova, A., & Gong, Y. (2015). A highly efficient diversification of 2-Amino/Amido-1,3,4-oxadiazole and 1,3,4-Thiadiazole derivatives via Reagent-Based cyclization of thiosemicarbazide intermediate on Solid-Phase. *ACS Combinatorial Science*, 17(12), 732–741. <https://doi.org/10.1021/acscombsci.5b00140>
46. Pardeshi, S. P., Patil, S. S., & Bobade, V. D. (2010). N-Chlorosuccinimide/1,8-Diazabicyclo[5.4.0]undec-7-ene (DBU)-Mediated Synthesis of 2,5-Disubstituted

- 1,3,4-Oxadiazoles. *Synthetic Communications*, 40(11), 1601–1606. <https://doi.org/10.1080/00397910903134592>
47. Salama, E. E. (2020). Synthesis of new 2-amino-1,3,4-oxadiazole derivatives with anti-salmonella typhi activity evaluation. *BMC Chemistry*, 14(1). <https://doi.org/10.1186/s13065-020-00682-6>
48. Zhang, L., Zhao, X., Jing, X., Zhang, X., Lü, S., Luo, L., & Jia, X. (2016). Oxidation of sp³ C H bonds in N-alkylhydrazides: Access to 2,5-disubstituted 1,3,4-oxadiazole derivatives. *Tetrahedron Letters*, 57(50), 5669–5672. <https://doi.org/10.1016/j.tetlet.2016.11.018>
49. Yan, X., Lee, G., Noh, K. T., Lee, H., Kim, H., Lee, K. H., Hur, N. H., Lee, B., & Park, Y. J. (2017). Highly Efficient One-Pot Solvent-Free Synthesis of 2,5-Disubstituted-1,3,4-Oxadiazole via BTI-mediated Oxidation of N-Acylhydrazone from Hydrazide and Aldehyde. *Bulletin of the Korean Chemical Society*, 38(7), 723–727. <https://doi.org/10.1002/bkcs.11160>
50. Lekkala, C., Bodala, V., Yettula, K., Karasala, B. K., Podugu, R. L., & Vidavalur, S. (2022). Copper-Catalyzed One-Pot Synthesis of 2,5-Disubstituted 1,3,4-Oxadiazoles from Arylacetic Acids and Hydrazides via Dual Oxidation. *ACS Omega*, 7(31), 27157–27163. <https://doi.org/10.1021/acsomega.2c01586>
51. Li, J., Lu, X., Xu, Y., Wen, J., Hou, G., & Liu, L. (2020). Photoredox Catalysis Enables Decarboxylative Cyclization with Hypervalent Iodine(III) Reagents: Access to 2,5-Disubstituted 1,3,4-Oxadiazoles. *Organic Letters*, 22(24), 9621–9626. <https://doi.org/10.1021/acs.orglett.0c03663>
52. Fan, Y., He, Y., Liu, X., Hu, T., Ma, H., Yang, X., Luo, X., & Huang, G. (2016). Iodine-Mediated Domino Oxidative Cyclization: One-Pot Synthesis of 1,3,4-Oxadiazoles via Oxidative Cleavage of C(sp²)–H or C(sp)–H Bond. *The Journal of Organic Chemistry*, 81(15), 6820–6825. <https://doi.org/10.1021/acs.joc.6b01135>
53. Gao, Q., Liu, S., Wu, X., Zhang, J., & Wu, A. (2015). Direct annulation of hydrazides to 1,3,4-Oxadiazoles via oxidative C(CO)–C(Methyl) bond cleavage of

- methyl ketones. *Organic Letters*, 17(12), 2960–2963. <https://doi.org/10.1021/acs.orglett.5b01241>
54. Kumar, D., Aggarwal, N., Kumar, V., Kumar, H., Deep, A., Bibi, S., Chopra, H., Marwaha, R. K., Alshammari, A., Alharbi, M., & Hayee, A. (2023). Synthesis, Anticancer, Antimicrobial and Antioxidant Potential of Novel 4-(Substituted phenyl-1,3,4-oxadiazol/thiadiazol-2-yl)-4-(4-substituted phenyl) Azetidin-2-One Derivatives. *Pharmaceuticals*, 16(4), 517. <https://doi.org/10.3390/ph16040517>
55. Kumar, D., Aggarwal, N., Deep, A., Kumar, H., Chopra, H., Marwaha, R. K., & Cavalu, S. (2023). An understanding of Mechanism-Based approaches for 1,3,4-Oxadiazole scaffolds as cytotoxic agents and enzyme inhibitors. *Pharmaceuticals*, 16(2), 254. <https://doi.org/10.3390/ph16020254>
56. Hkiri, S., Mekni-Toujani, M., Üstün, E., Hosni, K., Ghram, A., Touil, S., Samarat, A., & Sémeril, D. (2022). Synthesis of Novel 1,3,4-Oxadiazole-Derived α -Aminophosphonates/ α -Aminophosphonic Acids and Evaluation of Their In Vitro Antiviral Activity against the Avian Coronavirus Infectious Bronchitis Virus. *Pharmaceutics*, 15(1), 114. <https://doi.org/10.3390/pharmaceutics15010114>
57. Sharma, D., Om, H., & Sharma, A. K. (2022). Potential Synthetic routes and Metal-Ion sensing applications of 1,3,4-Oxadiazoles: An Integrative review. *Critical Reviews in Analytical Chemistry*, 54(2), 416–436. <https://doi.org/10.1080/10408347.2022.2080494>
58. Mutchu, B. R., Kotra, V., Onteddu, S. R., Boddapati, S. N. M., & Bollikolla, H. B. (2018). Synthesis, cytotoxicity and antimicrobial evaluation of some new 2-Aryl,5-Substituted 1,3,4-Oxadiazoles and 1,3,4-Thiadiazoles. *Chemistry Africa*, 2(1), 15–20. <https://doi.org/10.1007/s42250-018-00034-x>
59. Fray, M., ELBini-Dhouib, I., Hamzi, I., Doghri, R., Srairi-Abid, N., Lesur, D., Benazza, M., Abidi, R., & Barhoumi-Slimi, T. (2022). Synthesis, characterization and in vivo antitumor effect of new α,β -unsaturated-2,5-disubstituted-1,3,4-oxadiazoles. *Synthetic Communications*, 52(6), 849–860. <https://doi.org/10.1080/00397911.2022.2053993>

60. Simurova, N. V., & Maiboroda, O. I. (2019). Synthesis of mono- and disubstituted 1,3,4-oxadiazoles (microreview). *Chemistry of Heterocyclic Compounds*, 55(7), 604–606. <https://doi.org/10.1007/s10593-019-02504-7>
61. Yan, L., Deng, M., Chen, A., Li, Y., Zhang, W., Du, Z., Dong, C., Meunier, B., & Chen, H. (2019). Synthesis of N-pyrimidin[1,3,4]oxadiazoles and N-pyrimidin[1,3,4]-thiadiazoles from 1,3,4-oxadiazol-2-amines and 1,3,4-thiadiazol-2-amines via Pd-catalyzed heteroarylation. *Tetrahedron Letters*, 60(20), 1359–1362. <https://doi.org/10.1016/j.tetlet.2019.04.022>
62. Jian, L., Mei-Xiang, Z., Chang-Yun, J., Yu, L., Zhong-Lian, W., Jian-Ren, L., Kong-Qiang, X., Yong, C., & Wei-Guo, Z. (2005). Green-Yellow Electrophosphorescence from di [2,5-diphenyl-1,3,4-oxadiazole C 2' , N 3] Platinum(II) Doped PVK Devices. *Chinese Physics Letters*, 22(3), 723–726. <https://doi.org/10.1088/0256-307x/22/3/056>
63. Hughes, G., Kreher, D., Wang, C., Batsanov, A. S., & Bryce, M. R. (2004). Ethynyl π -extended 2,5-diphenyl-1,3,4-oxadiazoles and 2-phenyl 5-(2-thienyl)-1,3,4-oxadiazoles: synthesis, X-ray crystal structures and optical properties. *Organic & Biomolecular Chemistry*, 2(22), 3363–3367. <https://doi.org/10.1039/b407698m>
64. Pore, D. M., Mahadik, S. M., & Desai, U. V. (2008). Trichloroisocyanuric Acid-Mediated One-Pot synthesis of unsymmetrical 2,5-Disubstituted 1,3,4-Oxadiazoles at ambient temperature. *Synthetic Communications*, 38(18), 3121–3128. <https://doi.org/10.1080/00397910802054289>
65. Montazeri, N., & Rad-Moghadam, K. (2008). An expeditious and one-pot synthesis of unsymmetrical 2,5-disubstituted-1,3,4-oxadiazoles under microwave irradiation and solvent-free conditions. *Chinese Chemical Letters*, 19(10), 1143–1146. <https://doi.org/10.1016/j.ccllet.2008.06.050>
66. Wang, P., Shao, W., Xue, H., Fang, H., Zhou, J., Wu, Z., Song, B., & Yang, S. (2017). Synthesis of novel 1,3,4-oxadiazole derivatives containing diamides as promising antibacterial and antiviral agents. *Research on Chemical Intermediates*, 43(11), 6115–6130. <https://doi.org/10.1007/s11164-017-2980-x>

67. Siwach, A., & Verma, P. K. (2020). Therapeutic potential of oxadiazole or furadiazole containing compounds. *BMC Chemistry*, 14(1). <https://doi.org/10.1186/s13065-020-00721-2>
68. Ahsan M.J. Synthesis and cytotoxicity evaluation of [(2, 4-dichloro phenoxy) methyl]-5-aryl-1,3,4-oxadiazole/4H-1,2,4-triazole analogues// Turkish Journal of Chemistry. -2018. –V.42(5). –P. 1334–1343.
69. Kanthiah, S., Velayutham, R., Vimala, A. T., & Kalasalingam, A. (2011). 5-(2-AMINOPHENYL)-1,3,4-OXADIAZOLE-2(3H)-THIONE DERIVATIVES: SYNTHESIS, CHARACTERIZATION AND ANTIMICROBIAL EVALUATION Research article. *International Journal of ChemTech Research*. <https://www.globalresearchonline.net/journalcontents/volume6issue1/Article-015.pdf>
70. Patel, K. D., Prajapati, S. M., Panchal, S. N., & Patel, H. D. (2014). Review of synthesis of 1,3,4-Oxadiazole derivatives. *Synthetic Communications*, 44(13), 1859–1875. <https://doi.org/10.1080/00397911.2013.879901>
71. Abd-Ellah, H. S., Abdel-Aziz, M., Shoman, M. E., Beshr, E. A., Kaoud, T., & Ahmed, A. F. (2017). New 1,3,4-oxadiazole/oxime hybrids: Design, synthesis, anti-inflammatory, COX inhibitory activities and ulcerogenic liability. *Bioorganic Chemistry*, 74, 15–29. <https://doi.org/10.1016/j.bioorg.2017.06.003>
72. Ahsan, M. J., Samy, J. G., Khalilullah, H., Nomani, M. S., Saraswat, P., Gaur, R., & Singh, A. (2011b). Molecular properties prediction and synthesis of novel 1,3,4-oxadiazole analogues as potent antimicrobial and antitubercular agents. *Bioorganic & Medicinal Chemistry Letters*, 21(24), 7246–7250. <https://doi.org/10.1016/j.bmcl.2011.10.057>
73. Kavitha, S., Kannan, K., & Gnanavel, S. (2016). Synthesis, characterization and biological evaluation of novel 2,5 substituted-1,3,4 oxadiazole derivatives. *Saudi Pharmaceutical Journal*, 25(3), 337–345. <https://doi.org/10.1016/j.jsps.2016.07.004>

74. Hatti, I., Sreenivasulu, R., Jadav, S. S., Ahsan, M. J., & Raju, R. R. (2015). Synthesis and biological evaluation of 1,3,4-oxadiazole-linked bisindole derivatives as anticancer agents. *Monatshefte Für Chemie - Chemical Monthly*, *146*(10), 1699–1705. <https://doi.org/10.1007/s00706-015-1448-1>
75. Ahsan M.J., Hassan M., Jadav S.S., Geesi M.H., Bakht M.A., Riadi Y., Akhtar M., Mallick M.N., Akhter M. Synthesis and biological potentials of 5-aryl-N-[4-(trifluoromethyl) phenyl]-1,3,4-oxadiazol-2-amines// *Letters in Organic Chemistry*. - 2020. –V.17(2). –P. 133–140.
76. Biju, C., Ilango, K., Prathap, M., & Rekha, K. (2012). Design and microwave-assisted synthesis of 1,3,4-Oxadiazole derivatives for analgesic and anti-inflammatory activity. *Journal of Young Pharmacists*, *4*(1), 33–37. <https://doi.org/10.4103/0975-1483.93576>
77. Khan, B. A., Zafar, S., Mughal, E. U., Ahmed, M. N., Hamdani, S. S., Akhtar, T., Ihsan-Ul-Haq, N., Sadiq, A., & Khan, K. M. (2018). Design and synthesis of novel 1,3,4-Oxadiazole derivatives bearing azo moiety as biologically significant scaffolds. *Letters in Drug Design & Discovery*, *15*(12), 1346–1355. <https://doi.org/10.2174/1570180815666180326152204>
78. Джонс А.М., Хельм Дж. М. Новые методы лечения муковисцидоза // *Наркотики*. -2009. –V. 69. –P. 1903–1910. doi: 10.2165 / 11318500
79. Ahsan, M. J., Bhandari, L., Makkar, S., Singh, R., Hassan, M. Z., Geesi, M. H., Bakht, M. A., Jadav, S. S., Balaraju, T., Riadi, Y., Rani, S., Khalilullah, H., Gorantla, V., & Hussain, A. (2018). Synthesis, antiproliferative, and antioxidant activities of substituted N-[(1,3,4-Oxadiazol-2-yl) methyl] benzamines. *Letters in Drug Design & Discovery*, *17*(2), 145–154. <https://doi.org/10.2174/1570180816666181113110033>
80. Vismaya V. Insilico Design and Molecular Docking Studies of Novel 2-(4-chlorophenyl)-5-aryl-1,3,4-Oxadiazole Derivatives for Anti-cancer Activity// *Journal of Pharmaceutical Sciences and Research*. -2019. –V.11(7). –P.2604–2609. ISSN: 0975-1459

81. Summa, V., Petrocchi, A., Bonelli, F., Crescenzi, B., Donghi, M., Ferrara, M., Fiore, F., Gardelli, C., Paz, O. G., Hazuda, D. J., Jones, P., Kinzel, O., Laufer, R., Monteagudo, E., Muraglia, E., Nizi, E., Orvieto, F., Pace, P., Pescatore, G., . . . Rowley, M. (2008). Discovery of Raltegravir, a potent, selective orally bioavailable HIV-Integrase inhibitor for the treatment of HIV-AIDS infection. *Journal of Medicinal Chemistry*, *51*(18), 5843–5855. <https://doi.org/10.1021/jm800245z>
82. Botros S., Khalil N.A., Naguib B.H., El-Dash Y. Synthesis and anticonvulsant activity of new phenytoin derivatives// *European Journal of Medicinal Chemistry* - 2013. –V.60. –P.57-63.
83. Bhat M.A., Al-Omar M.A., Siddiqui N. Synthesis, anticonvulsant and neurotoxicity of some novel 1,3,4-oxadiazole derivatives of phthalimide// *Pharmaceutical Chemistry Journal*. -2010. -V.2. -P.1-10.
84. Dureja A. Synthesis and biological evaluation of newer analogues of 2,5-disubstituted 1,3,4-oxadiazole as antioxidant, and anticonvulsant agents. PhD diss: BCM chemistry. -India, 2011. -40 p.
85. Singh P., Jangra P.K. Oxadiazoles: a novel class of anti-convulsant agents// *Der Chemica Sinica*. -2010. –V.1(3). –P.118–123. ISSN: 0976-8505
86. Rajak, H., Singour, P., Kharya, M. D., & Mishra, P. (2010). A Novel Series of 2,5-Disubstituted 1,3,4-oxadiazoles: Synthesis and SAR Study for their Anticonvulsant Activity. *Chemical Biology & Drug Design*, *77*(2), 152–158. <https://doi.org/10.1111/j.1747-0285.2010.01066.x>
87. Mishra, P., Rajak, H., & Mehta, A. (2005). Synthesis of Schiff bases of 2-amino-5-aryl-1, 3, 4-oxadiazoles and their evaluation for antimicrobial activities. *The Journal of General and Applied Microbiology*, *51*(2), 133–141. <https://doi.org/10.2323/jgam.51.133>
88. Ahsan, M., Sharma, J., Bhatia, S., Goyal, P., Shankhala, K., & Didel, M. (2014). Synthesis of 2,5-Disubstituted-1,3,4-oxadiazole analogs as novel anticancer and antimicrobial agents. *Letters in Drug Design & Discovery*, *11*(4), 413–419. <https://doi.org/10.2174/1570180810666131113211647>

89. Malhotra, M., Rawal, R. K., Malhotra, D., Dhingra, R., Deep, A., & Sharma, P. C. (2013). Synthesis, characterization and pharmacological evaluation of (Z)-2-(5-(biphenyl-4-yl)-3-(1-(imino)ethyl)-2,3-dihydro-1,3,4-oxadiazol-2-yl)phenol derivatives as potent antimicrobial and antioxidant agents. *Arabian Journal of Chemistry*, *10*, S1022–S1031. <https://doi.org/10.1016/j.arabjc.2013.01.005>
90. Glomb, T., & Świątek, P. (2021c). Antimicrobial activity of 1,3,4-Oxadiazole derivatives. *International Journal of Molecular Sciences*, *22*(13), 6979. <https://doi.org/10.3390/ijms22136979>
91. Ahsan, M. J., Meena, R., Dubey, S., Khan, V., Manda, S., Jadav, S. S., Sharma, P., Geesi, M. H., Hassan, M. Z., Bakht, M. A., Riadi, Y., Akhter, M. H., Salahuddin, N., & Gundla, R. (2017). Synthesis and biological potentials of some new 1,3,4-oxadiazole analogues. *Medicinal Chemistry Research*, *27*(3), 864–883. <https://doi.org/10.1007/s00044-017-2109-1>
92. El-Sayed, W. A., El-Essawy, F. A., Ali, O. M., Nasr, B. S., Abdalla, M. M., & Abdel-Rahman, A. A. (2009). Anti-HIV Activity of New Substituted 1,3,4-Oxadiazole Derivatives and their Acyclic Nucleoside Analogues. *Zeitschrift Für Naturforschung C*, *64*(11–12), 773–778. <https://doi.org/10.1515/znc-2009-11-1203>
93. Cao S., Qian X., Song G., Huang Q. Syntheses and insecticidal activity of new 2-(5-(trifluoromethyl) pyridyloxymethyl)-1,3,4-oxadiazoles// *Journal of Fluorine Chemistry*. -2002. –V.117. –P.63-66. [doi.org/10.1016/S00221139\(02\)00172-0](https://doi.org/10.1016/S00221139(02)00172-0)
94. Bansal, S., Bala, M., Suthar, S. K., Choudhary, S., Bhattacharya, S., Bhardwaj, V., Singla, S., & Joseph, A. (2014). Design and synthesis of novel 2-phenyl-5-(1,3-diphenyl-1H-pyrazol-4-yl)-1,3,4-oxadiazoles as selective COX-2 inhibitors with potent anti-inflammatory activity. *European Journal of Medicinal Chemistry*, *80*, 167–174. <https://doi.org/10.1016/j.ejmech.2014.04.045>
95. Jakubkien V., Burbulien M., Mekusklen G., Udrnait E., Gaidelis P., et al. Synthesis and anti-inflammatory activity of 5-(6-methyl-2-substituted 4-pyrimidinyloxymethyl)-1,3,4-oxadiazole-2-thiones and their 3-morpholinomethyl derivatives// *II Farmaco*. -2003. –V.58. –P.323-328.

96. Malhotra, V., Pathak, S. R., Nath, R., Mukherjee, D., & Shanker, K. (2010). Substituted imidazole derivatives as novel cardiovascular agents. *Bioorganic & Medicinal Chemistry Letters*, *21*(3), 936–939. <https://doi.org/10.1016/j.bmcl.2010.12.062>
97. Bankar, G. R., Nampurath, G. K., Nayak, P. G., & Bhattacharya, S. (2009). A possible correlation between the correction of endothelial dysfunction and normalization of high blood pressure levels by 1,3,4-oxadiazole derivative, an L-type Ca²⁺ channel blocker in deoxycorticosterone acetate and NG-nitro-L-arginine hypertensive rats. *Chemico-Biological Interactions*, *183*(2), 327–331. <https://doi.org/10.1016/j.cbi.2009.11.001>
98. Makane, V. B., Krishna, V. S., Krishna, E. V., Shukla, M., Mahizhaveni, B., Misra, S., Chopra, S., Sriram, D., Dusthacker, V. N. A., & Rode, H. B. (2019). Novel 1,3,4-oxadiazoles As Antitubercular Agents With Limited Activity Against drug-resistant Tuberculosis. *Future Medicinal Chemistry*, *11*(6), 499–510. <https://doi.org/10.4155/fmc-2018-0378>
99. Dewangan D., Pandey A., Sivakumar T., Rajavel R., Dubey R. Synthesis of some novel 2,5-disubstituted 1,3,4-oxadiazole and its analgesic, anti-inflammatory, anti-bacterial and anti-tubercular activity// International Journal of ChemTech Research. -2010. -V.2. -P.1397-1412.
100. Rane, R. A., Bangalore, P., Borhade, S. D., & Khandare, P. K. (2013). Synthesis and evaluation of novel 4-nitropyrrole-based 1,3,4-oxadiazole derivatives as antimicrobial and anti-tubercular agents. *European Journal of Medicinal Chemistry*, *70*, 49–58. <https://doi.org/10.1016/j.ejmech.2013.09.039>
101. Macaev, F., Ribkovskaia, Z., Pogrebnoi, S., Boldescu, V., Rusu, G., Shvets, N., Dimoglo, A., Geronikaki, A., & Reynolds, R. (2011). The structure–antituberculosis activity relationships study in a series of 5-aryl-2-thio-1,3,4-oxadiazole derivatives. *Bioorganic & Medicinal Chemistry*, *19*(22), 6792–6807. <https://doi.org/10.1016/j.bmc.2011.09.038>

102. Ahsan, M. J., Choupra, A., Sharma, R. K., Jadav, S. S., Padmaja, P., Hassan, M. Z., Al-Tamimi, A. B. S., Geesi, M. H., & Bakht, M. A. (2017). Rationale design, synthesis, cytotoxicity evaluation, and molecular docking studies of 1,3,4-oxadiazole analogues. *Anti-Cancer Agents in Medicinal Chemistry*, *18*(1), 121–138. <https://doi.org/10.2174/1871520617666170419124702>
103. Ahsan M.J., Yadav R.P., Saini S., Hassan M., Bakht M.A., Jadav S.S., Al-Tamimi S., Bin A., Geesi M.H., Ansari M.Y., Khalilullah H. Synthesis, cytotoxic evaluation, and molecular docking studies of new oxadiazole analogues// *Letters in Organic Chemistry*. -2018. –V.15(1). –P.49–56.
104. Rathore, A., Sudhakar, R., Ahsan, M. J., Ali, A., Subbarao, N., Jadav, S. S., Umar, S., & Yar, M. S. (2016). In vivo anti-inflammatory activity and docking study of newly synthesized benzimidazole derivatives bearing oxadiazole and morpholine rings. *Bioorganic Chemistry*, *70*, 107–117. <https://doi.org/10.1016/j.bioorg.2016.11.014>
105. Du M., Bu X.H., Guo Y.M., Liu H., Batten S.R., Ribas J., Mak T.C. First Cu(II) diamondoid net with 2-fold interpenetrating frameworks. The role of anions in the construction of the supramolecular arrays// *Inorganic chemical reagent*. -2002. –V.41. –P.4904–4908. doi.org/10.1021/ic025559
106. Du, M., Bu, X., Huang, Z., Chen, S., Guo, Y., Diaz, C., & Ribas, J. (2002). From metallacyclophanes to 1-D coordination polymers: role of anions in Self-Assembly processes of Copper(II) and 2,5-Bis(3-pyridyl)-1,3,4-oxadiazole. *Inorganic Chemistry*, *42*(2), 552–559. <https://doi.org/10.1021/ic025851h>
107. Du, M., Guo, Y., Chen, S., Bu, X., Batten, S. R., Ribas, J., & Kitagawa, S. (2004). Preparation of Acentric Porous Coordination Frameworks from an Interpenetrated Diamondoid Array through Anion-Exchange Procedures: Crystal Structures and Properties. *Inorganic Chemistry*, *43*(4), 1287–1293. <https://doi.org/10.1021/ic0351242>
108. Du, M., Zhao, X., Guo, J., & Batten, S. R. (2005). Direction of topological isomers of silver(i) coordination polymers induced by solvent, and selective anion-

- exchange of a class of PtS-type host frameworks. *Chemical Communications*, 38, 4836. <https://doi.org/10.1039/b508479b>
109. Du, M., Li, C., & Guo, J. (2006). Distinct CdII and CoII thiocyanate coordination complexes with 2,5-bis(pyrazinyl)-1,3,4-oxadiazole: Metal-directed assembly of a 1-D polymeric chain and a 3-D supramolecular network. *Inorganica Chimica Acta*, 359(8), 2575–2582. <https://doi.org/10.1016/j.ica.2006.02.039>
110. Du, M., Li, C., You, Y., Jiang, X., Cai, H., Wang, Q., & Guo, J. (2006). New supramolecular complexes generated from MnII, FeII, CoII, ZnII, FeIII with a bent dipyridyl ligand: Metal- and anion-directed assembly. *Inorganica Chimica Acta*, 360(6), 2169–2174. <https://doi.org/10.1016/j.ica.2006.09.024>
111. Guo, J., Chen, J., Li, C., & Du, M. (2010). CuII, CoII, and NiII complexes with R-isophthalate (R=–CH₃ or –OCH₃) and a bent dipyridyl 2,5-bis(3-pyridyl)-1,3,4-oxadiazole: Structural diversification induced by metal ion and substituent of ligand. *Journal of Molecular Structure*, 975(1–3), 147–153. <https://doi.org/10.1016/j.molstruc.2010.04.008>
112. Chen, J., Li, C., Shang, J., & Du, M. (2011). A 3-D metal–organic framework of CuII perchlorate and 2-(2-pyridyl)-5-(4-pyridyl)-1,3,4-oxadiazole showing the exclusive anion-exchange selectivity to benzoate. *Inorganic Chemistry Communications*, 15, 172–175. <https://doi.org/10.1016/j.inoche.2011.10.017>
113. Terenzi, A., Barone, G., Piccionello, A. P., Giorgi, G., Guarcello, A., Portanova, P., Calvaruso, G., Buscemi, S., Vivona, N., & Pace, A. (2010). Synthesis, characterization, cellular uptake and interaction with native DNA of a bis(pyridyl)-1,2,4-oxadiazole copper(ii) complex. *Dalton Transactions*, 39(38), 9140. <https://doi.org/10.1039/c0dt00266f>
114. Terenzi, A., Barone, G., Piccionello, A. P., Giorgi, G., Guarcello, A., & Pace, A. (2011). Synthesis and chemical characterization of CuII, NiII and ZnII complexes of 3,5-bis(2'-pyridyl)-1,2,4-oxadiazole and 3-(2'-pyridyl)5-(phenyl)-1,2,4-oxadiazole ligands. *Inorganica Chimica Acta*, 373(1), 62–67. <https://doi.org/10.1016/j.ica.2011.03.057>

115. Florindo, P., Marques, I. J., Nunes, C. D., & Fernandes, A. C. (2013). Synthesis, characterization and cytotoxicity of cyclopentadienyl ruthenium(II) complexes containing carbohydrate-derived ligands. *Journal of Organometallic Chemistry*, 760, 240–247. <https://doi.org/10.1016/j.jorganchem.2013.09.004>
116. Sun, X., Wang, B., & Zhong, L. (2004). μ -Tetravanadato-bis[bis(2,2'-bipyridine)cadmium(II)]. *Acta Crystallographica Section E Structure Reports Online*, 60(8), m1100–m1102. <https://doi.org/10.1107/s160053680401623x>
117. Yang, L., Naruke, H., & Yamase, T. (2001). A three-dimensional inorganic/organic hybrid vanadium oxide complex with pentacoordinate CoII, [CoV₂O₆(4,4'-bipy)]. *Acta Crystallographica Section C Crystal Structure Communications*, 57(12), 1378–1380. <https://doi.org/10.1107/s0108270101014822>
118. Yang, L., Hu, C., Naruke, H., & Yamase, T. (2001). A three-dimensional inorganic/organic hybrid material, [Ni₂(4,4'-bipy)₃(H₂O)₂V₄O₁₂] \cdot 2.5H₂O. *Acta Crystallographica Section C Crystal Structure Communications*, 57(7), 799–801. <https://doi.org/10.1107/s0108270101006229>
119. Antal, P., Schwendt, P., Tatiersky, J., Gyepes, R., & Drábik, M. (2014). Interaction between chiral ions: synthesis and characterization of tartratovanadates(V) with tris(2,2'-bipyridine) complexes of iron(II) and nickel(II) as cations. *Transition Metal Chemistry*, 39(8), 893–900. <https://doi.org/10.1007/s11243-014-9873-2>
120. Zhang, X. (2004). catena-Poly[[bis[triaqua[2,5-bis(4-pyridyl)-1,3,4-thiadiazole]cobalt(II)]]- μ ₄-tetravanadato]. *Acta Crystallographica Section E Structure Reports Online*, 60(10), m1411–m1413. <https://doi.org/10.1107/s1600536804022111>
121. Huang, M., Bi, L., & Dong, S. (2004). Bis[tris(2,2'-bipyridyl- κ ₂N,N')iron(II)]cyclo-tetravanadate decahydrate. *Acta Crystallographica Section E Structure Reports Online*, 60(2), m153–m155. <https://doi.org/10.1107/s1600536803029532>

122. Бетнев А.Ф., Алов Е.М. Практикум по органической химии: Учебное пособие. – Ярославль: Изд-во ЯГТУ., 2012. –247 с.
123. Зеер Г.М., Фоменко О.Ю., Ледяева О.Н. Применение сканирующей электронной микроскопии в решении актуальных проблем материаловедения// Журнал Сибирского федерального университета. -2009. – Т.2. - №4. – С.287-293.
124. Калмыков К.Б., Дмитриева Н.Е. Сканирующая электронная микроскопия и рентгено-спектральный анализ неорганических материалов. Методическое пособие. –М., 2017. –54 с.
125. Косьянов П. М., Косьянов П.М. Рентгенофизический анализ неорганических веществ сложного химического состава : монография./– Тюмень : ТИУ., 2016. –195 с.
126. Соболев В.И. Качественный рентгенофлуоресцентный анализ: методические указания к выполнению лабораторных работ по курсу /Физико-химические методы анализа. – Томск: Изд-во Томского политехнического университета, 2014. –18 с.
127. Серба П.В., Блинов Ю.Ф., Мирошниченко С.П. Квантово-химические расчеты в программе Gaussian по курсу /Физика низкоразмерных структур. - Таганрог: Изд-во ТТИ ЮФУ, 2012. -100 с.
128. Барановский В.И. Квантовохимические расчеты повышенной точности: Учебное пособие, 2015. –89 с.
129. Бутырская Е.В. Компьютерная химия/ Основы теории и работа с программами Gaussian и GaussView : монография. – М: СОЛОН-ПРЕСС. - 2011. –224 с. – ISBN 978-5-91359-095-4.
130. Накамото К. ИК спектры и спектры КР неорганических и координационных соединений. Монография. Пер. с англ. к. х. н. Христенко Л.В., под ред.д.х.н.проф. Пентина Ю.А. —М.: Мир, 1991. —536 с.
131. Бёккер Ю. Спектроскопия. Москва: Техносфера, 2009. -528 с.ISBN 978-5-94836-220-5

132. Льюиса Дж., Уилкинса Р. Современная химия координационных соединений - М., 1963. С.305 – 358.
133. Вдовенко В.М. Спектроскопические методы в химии координационных соединений. - М./Л., 1964. -189 с.
134. Казицына Л.А., Куплетская Н.Б. Применение УФ-, ИК- и ЯМР-спектроскопии в органической химии. М.:Высшая школа, 1971. -234 с.
135. Nechiporenko, A. P., Orehova, S. M., Plotnikova, L. V., & Plotnikov, P. P. (2019). Diffuse-reflection electron spectroscopy in the study of muscle tissue of wild and domestic animals. *Proceedings of Universities Applied Chemistry and Biotechnology*, 3(9), 489–499. <https://doi.org/10.21285/2227-2925-2019-9-3-489-499>
136. Трушин В.Н., Андреев П.В., Фаддеев М.А. Рентгеноский фазовый анализ поликристаллических материалов. / Электронное учебно-методическое пособие. – Нижний Новгород: Нижегородский госуниверситет. -2012. –89 с.
137. Кржижановская М.Г., Фирсова В.А., Бубнова Р.С. Применение метода ритвельда для решения задач порошковой дифрактометрии/ Учебное пособие. - Санкт-Петербургский университет, 2016. –67 с.
138. Yuldashova, I., & Tashmetov, M. (2019). The influence of electron beams to structure parameters of multi walled carbon nanotube. *Physica B Condensed Matter*, 571, 280–284. <https://doi.org/10.1016/j.physb.2019.07.008>
139. Лебедев А.Т. Масс-спектрометрия в органической химии. -М.: Бином., 2003. –С.493.
140. Сазанов Ю.Н. Термический анализ органических соединений. - СПб.: Изд-во Политех. Университета., 2016. -367 с.
141. Топор Н.Д., Огородова Л.П., Мельчакова Л.В. Термический анализ минералов и неорганических соединений. -М.: Издательство МГУ, 1987. — 190 с.
142. Шаталова Т.Б., Шляхтин О.А., Веряева Е. Методы термического анализа. – М., 2011. -72 с.

143. Pirimova, M., Torambetov, B., Kadirova, S., Ziyaev, A., Gonnade, R. G., & Ashurov, J. (2022b). Synthesis, crystal structure and Hirshfeld surface analysis of a zinc(II) coordination polymer of 5-phenyl-1,3,4-oxadiazole-2-thiolate. *Acta Crystallographica Section E Crystallographic Communications*, 78(8), 794–797. <https://doi.org/10.1107/s2056989022006922>
144. Spackman, M. A., & Jayatilaka, D. (2008). Hirshfeld surface analysis. *CrystEngComm*, 11(1), 19–32. <https://doi.org/10.1039/b818330a>
145. Калинин И.П., Булатов М.И. Практическое руководство по фотометрическим методом анализа. –М.: Книго по требованию. -2013. -432 с.
146. Казицына Л.А., Куплетская Н.Б. Применение УФ-, ИК- и ЯМР-спектроскопии в органической химии. М.: Книга по Требованию, 2013. -264 с.
147. Кадирова Ш.А., Раззокова С.Р., Садуллаева Г.Б. Синтез и спектроскопическое исследование комплексов Co(II), Ni(II) и Zn(II) с 5-(3-гидроксифенил)-1,3,4-оксадиазолин-2-тионом// - ТерГУ. -2020. –С.317-320.
148. Roshan A., Rashid I., Humaira A., Zia-ul H., Helmut D., Lech S. Synthesis and structure determination of some oxadiazole-2-thione and triazole-3-thione galactosides//Istanbul. -1999. –P.1671-1682.
149. Gutteridge V., Westermarck T., Halliwell B. Oxygen damage in biological systems: Free radical, aging and degenerative disease. -New York, 1986. –211 p.
150. Пиримова М.А., Кадирова Ш.А., Зияев А.А. Хайруллаев Ф.У., Киньшакова Е.В. Определение антиоксидантных свойств комплексных соединений Co(II) и V(V) с 5-(пиридин-4-ил)-1,3,4-оксадиазол-2(3H)-тионом// *Universum: химия и биология: электрон. научн. журн.* –2020. –№ 4(70). –С.29-32.
151. Pirimova M.A., Kadirova Sh., Ziyaev A., Buvrayev E. Co(II) va V(V) ning 5-(fenil)-1,3,4-oksadiazol-2-tion asosidagi aralash metalli kompleks birikmasini antioksidantlik faolligini o'rganish// Самарқанд Давлат Университети илмий ахборотномаси. –2020. –№1 (119). –Б 65-68.